

HEMATO-MORPHOLOGY WORKSHOP

Dr. N.V.Shiran
Ph.D of Lab Hematology-SBMU



Histiocyte

Small Cells



Small round
(Lymphocyte)



Small cleaved
(Centrocyte)



Plasmacytoid small lymph
(Immunocyte)



Monocytoid small lymph
(Monocytoid lymph)

Intermediate Cells



Lymphoblast
(Convoluted Lymphoblast)



Small non-cleaved
(Burkitt's lymphoblast)

Large Cells

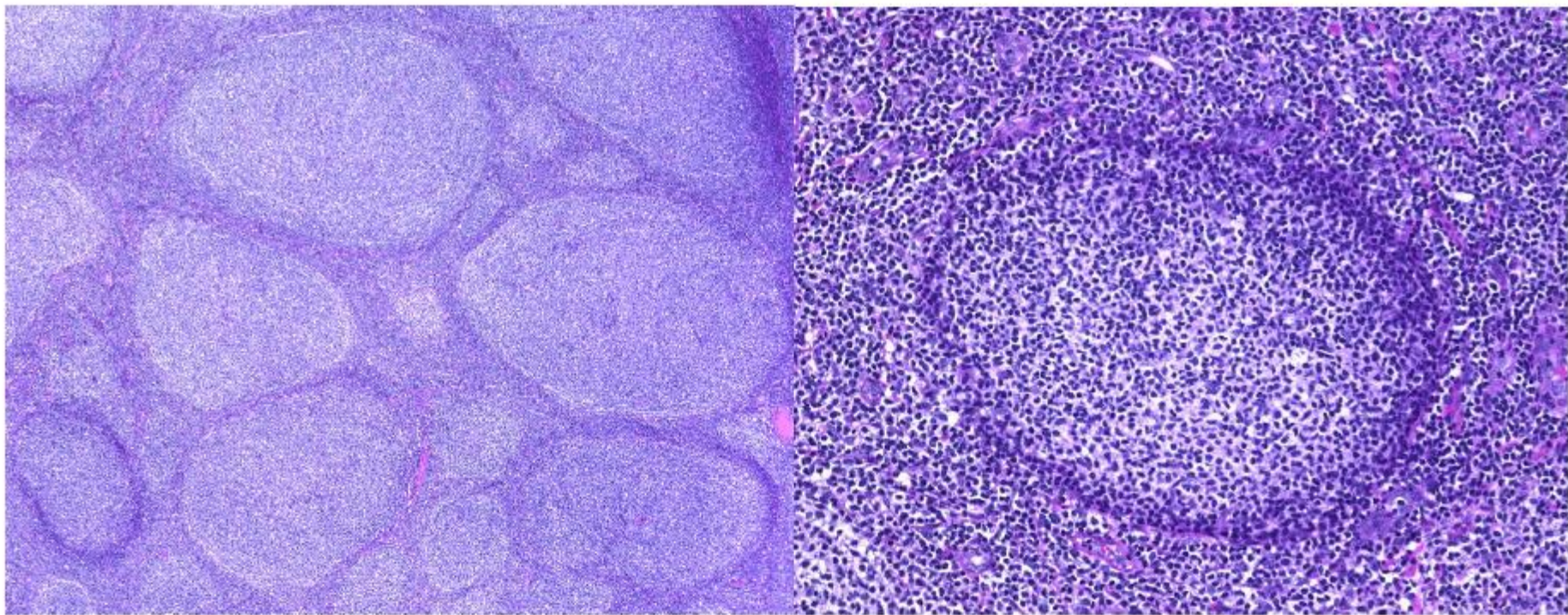


Large non-cleaved
(Centroblast)

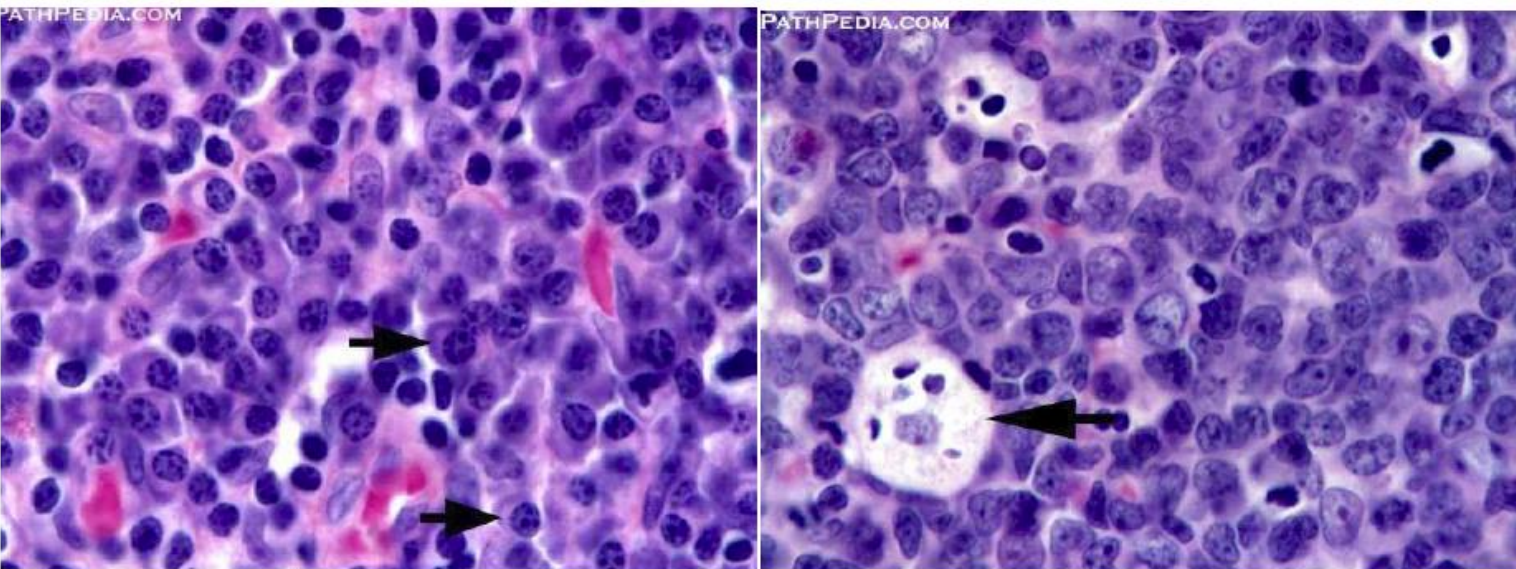


Immunoblast
(Immunoblast)

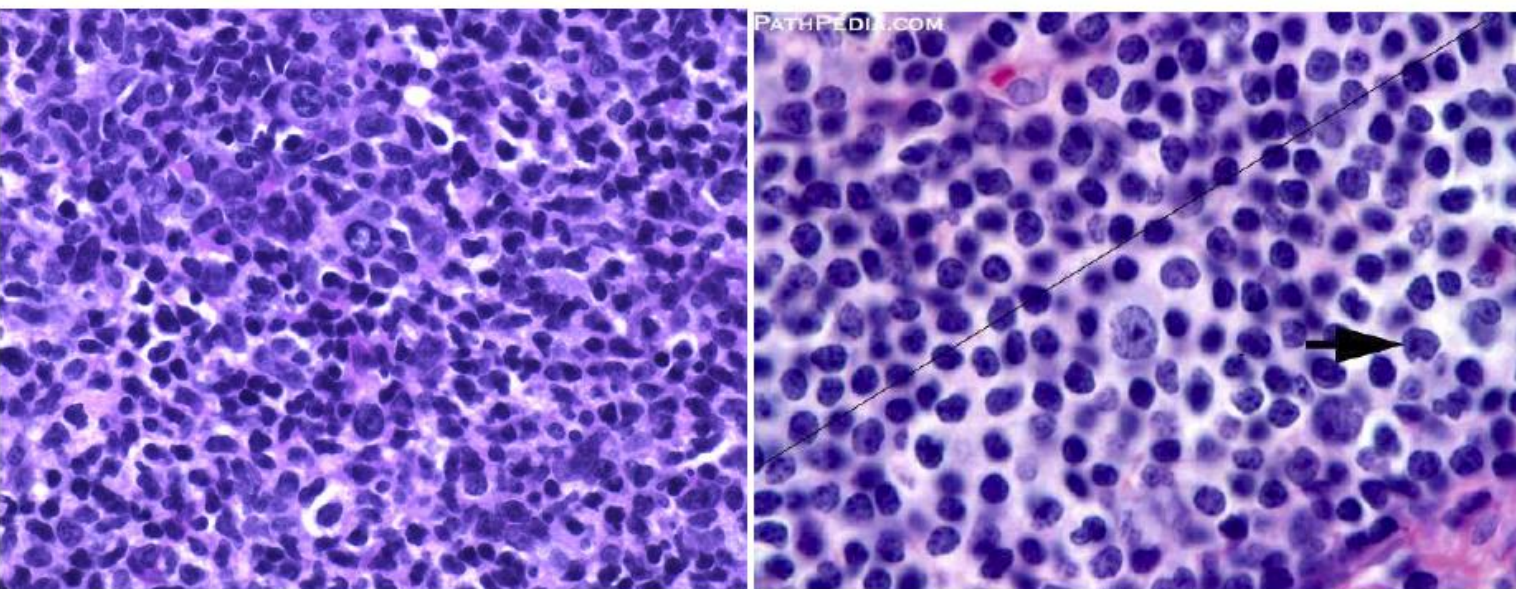
شكل ۳۴-۳۳: مورفولوژی انواع سلول‌های غدد لنفاوی (شامل سنتروبلاست، ایمونوبلاست، سنتروسیت، لنفوپلاست، لنفوپلاسماسیتوپلید و...)



شکل ۳۶-۷۴: لنفوم فولیکولار رقمنی حدود ۴۰٪ از لنفوم بالغین را تشکیل می‌دهد که در آن الگوی رشد به صورت ندولار و در شرایط پروگنوژی بد، منتشره بوده و در آن ناحیه متتل و مارژینال، نواحی دارکزون و لایت زون و همچنین ماکروفازهای Tingible-body از بین می‌روند. فاصله بین فولیکول‌ها نیز کم شده و در برخی نقاط به هم متصل می‌شوند.



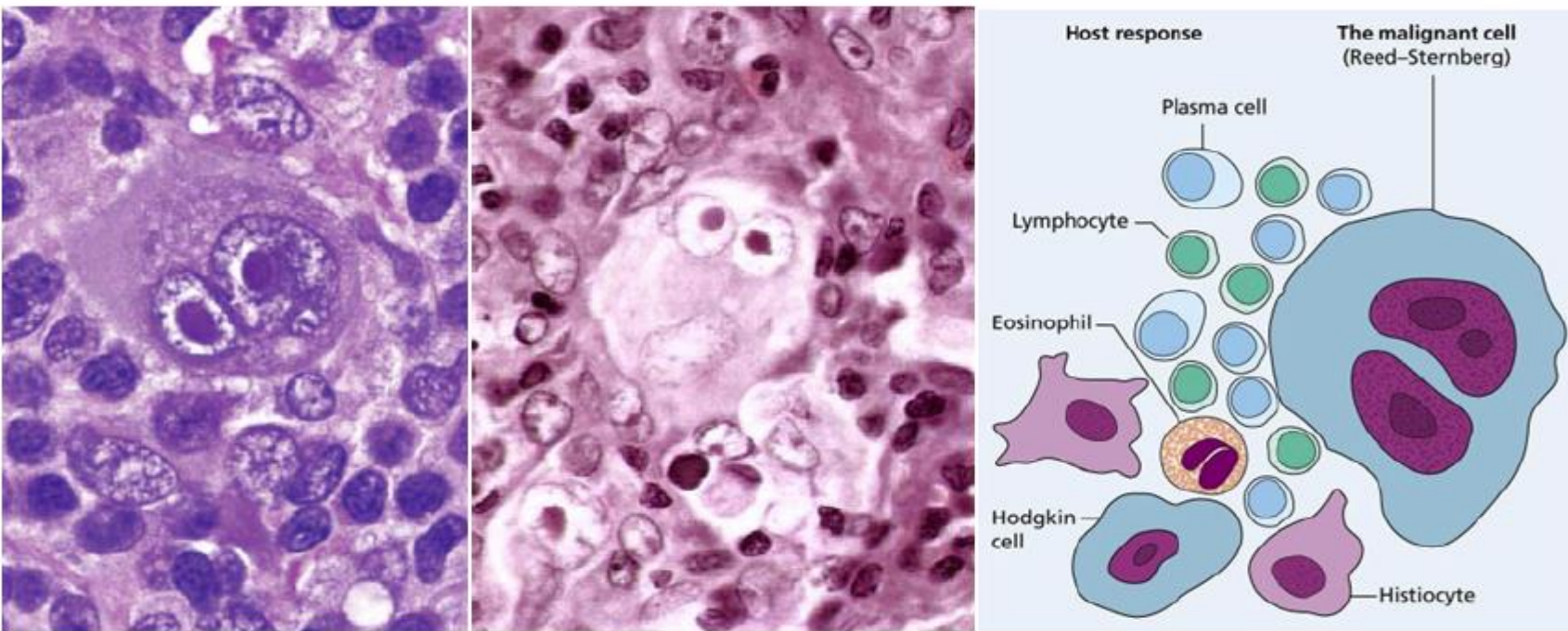
شکل ۷۴-۳۴: ناحیه مدولاری غدد لنفاوی که تعداد بالایی ماکروفاز و پلاسماسل با هسته چرخ در شکه‌ای (چپ) را نشان می‌دهد. ماکروفازهای مذکور به دلیل فاگوسیتوز بقایای سلول‌های آپوپتیک کاملاً مورفولوژی ملموس و خاصی دارند که از این جهت به آنها MQ tangibl-body نیز گفته می‌شود.



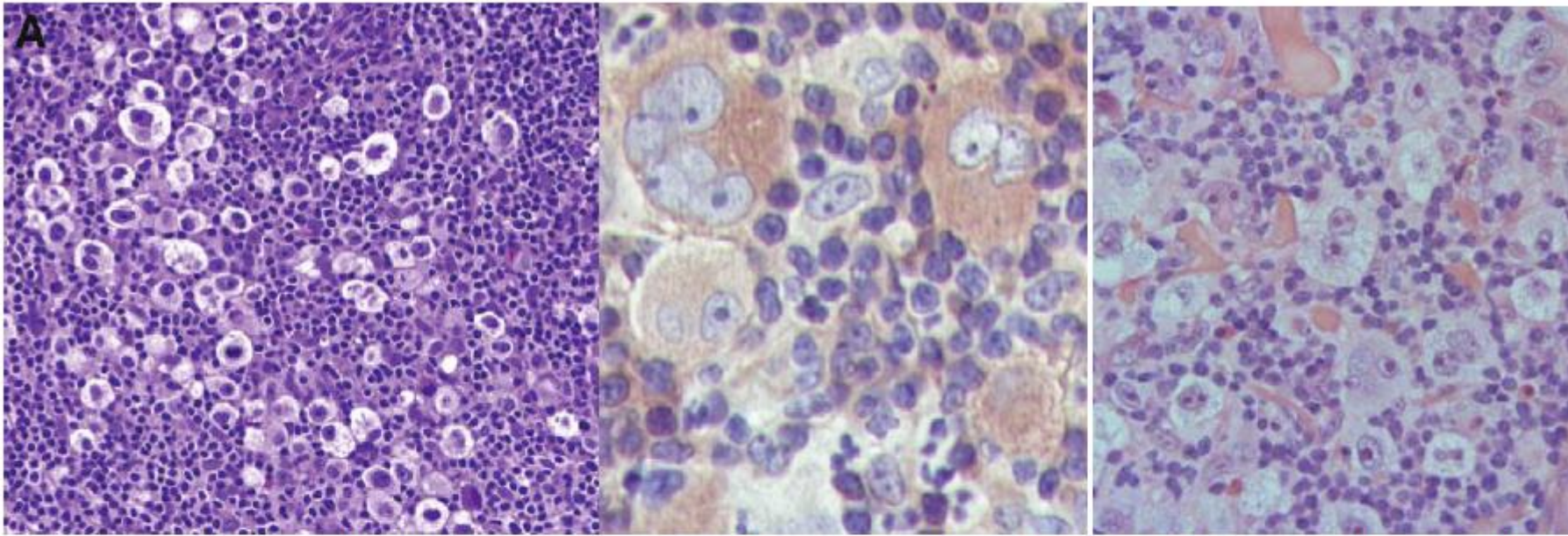
شکل ۷۴-۳۵: راست) سل‌های مارژینال / CD21+ گاهی در سطح خارجی متتل زون دیده می‌شود که سلول‌های آن کوچک، گاهآشکافدار و شبیه سنتروسیت بوده ولی در سطح خارجی (ونه داخلی) متتل قرار داشته و این لایه نیز همانند ناحیه متتل حالت متراکم دارد. این لایه در فولیکول‌های ثانویه و واکنشی دیده شده و اغلب از لنفوسیت‌هایی با سیتوپلاسم فراوان تر از B سل‌های متتل تشکیل می‌شوند. چپ) لنفوم فولیکولار با سلول‌های پلی‌مورفیک مشتمل از سنتروblastها و سنتروسیت‌های شکافدار کوچک و بزرگ که رشد فولیکولار داشته و برخلاف سنتروسیت‌ها، سنتروblast‌ها می‌توانند همانند لنفوبلاست‌ها، هستک نیز داشته باشند. به سنتروblast گاهی ژرمینوبلاست و به سنتروسیت، ژرمینوسیت نیز گفته می‌شود.



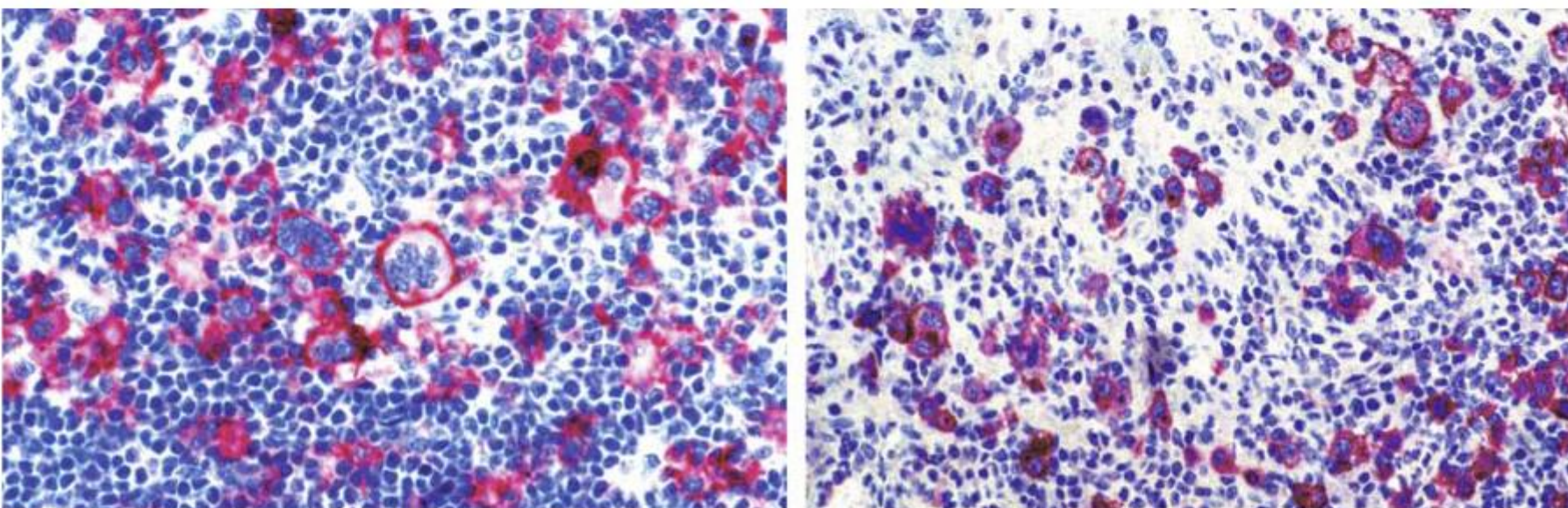
شکل ۳۷-۷۶: از راست به چپ: ۱) توماس هوجکین (Thomas Hodgkin)، ۲ و ۳) دوروثی رید (Dorothy Mabel Reed Mendenhal) و ۴) کارل اشتبرگ (Carl Sternberg)



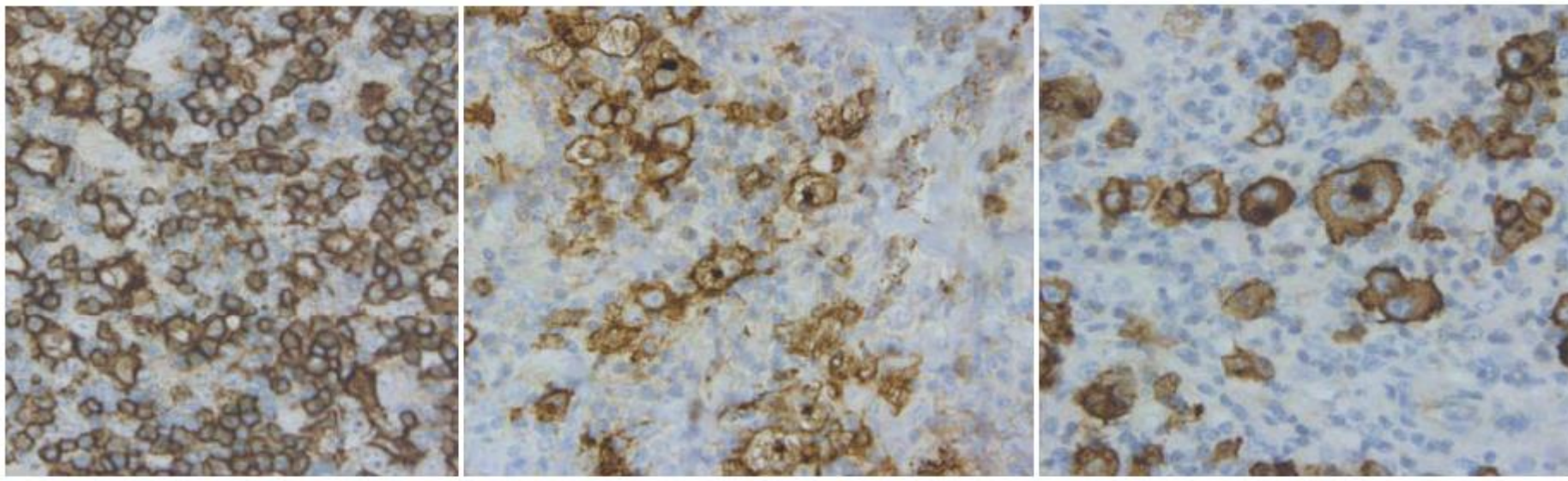
شکل ۳۸-۷۶: دیاگرامی از سلول‌های درگیر در لنفوم هوجکین که شامل سلول HRS، سلول لاکونار، انوزینوفیل، پلاسماسل، نوتروفیل، لنفوسيت کوچک و یلتومورف و هيستوسیت می‌باشد.



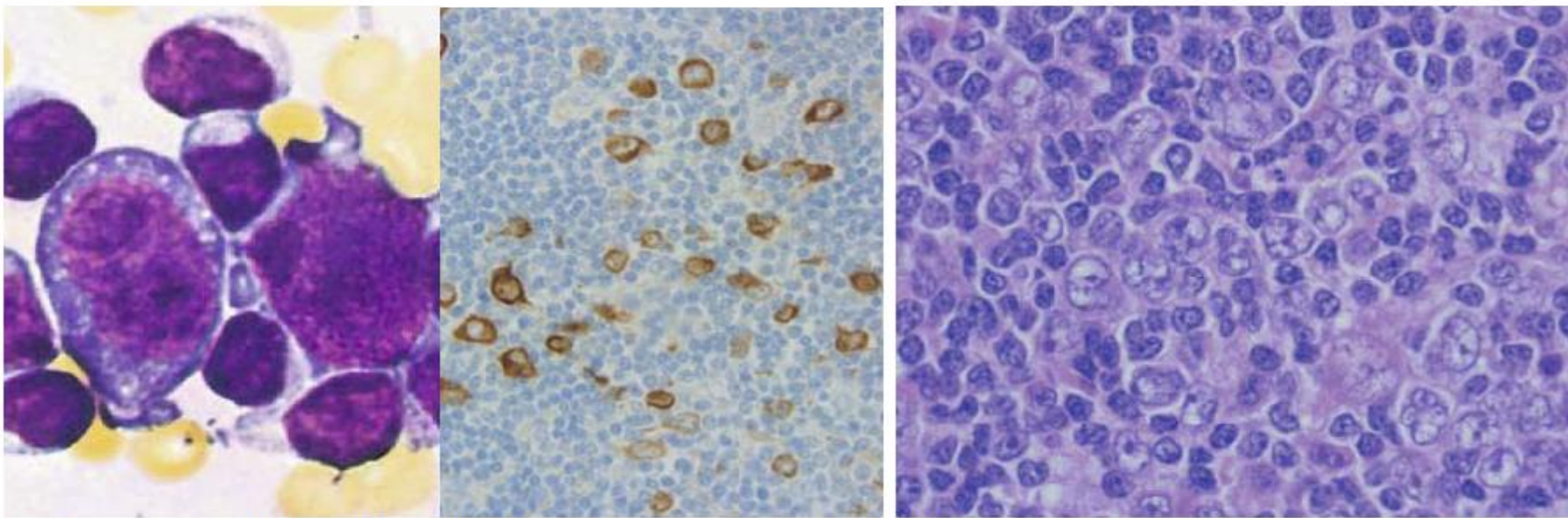
شکل ۷۴-۴۲: تصویر ۱ و ۲) سلول‌های ریداشترنبرگ کلاسیک (دوهسته‌ای یا HRS). تک‌هسته‌ای (MN) و چند‌هسته‌ای (HC) که در کنار لنفوцит‌ها و به تعداد فراوان دیده می‌شوند (لنفوم هوچکین نوع مخلوط). در تصویر ۳ سلول‌ها به صورت لاکونار با سیتوپلاسم سفید در برش بافتی دیده می‌شوند (لنفوم هوچکین نوع ندولار اسکلروز).



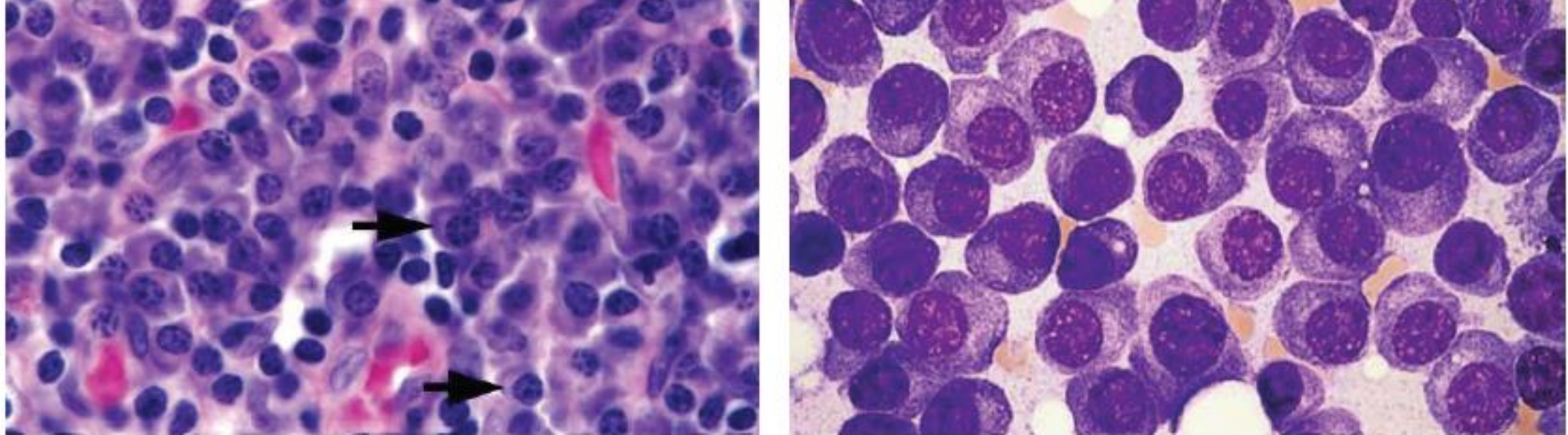
شکل ۷۴-۴۳: واکنش ایمونوستیتوشیمیایی مثبت سلول‌های ریداشترنبرگ به CD15 (راست) و CD30 (چپ)



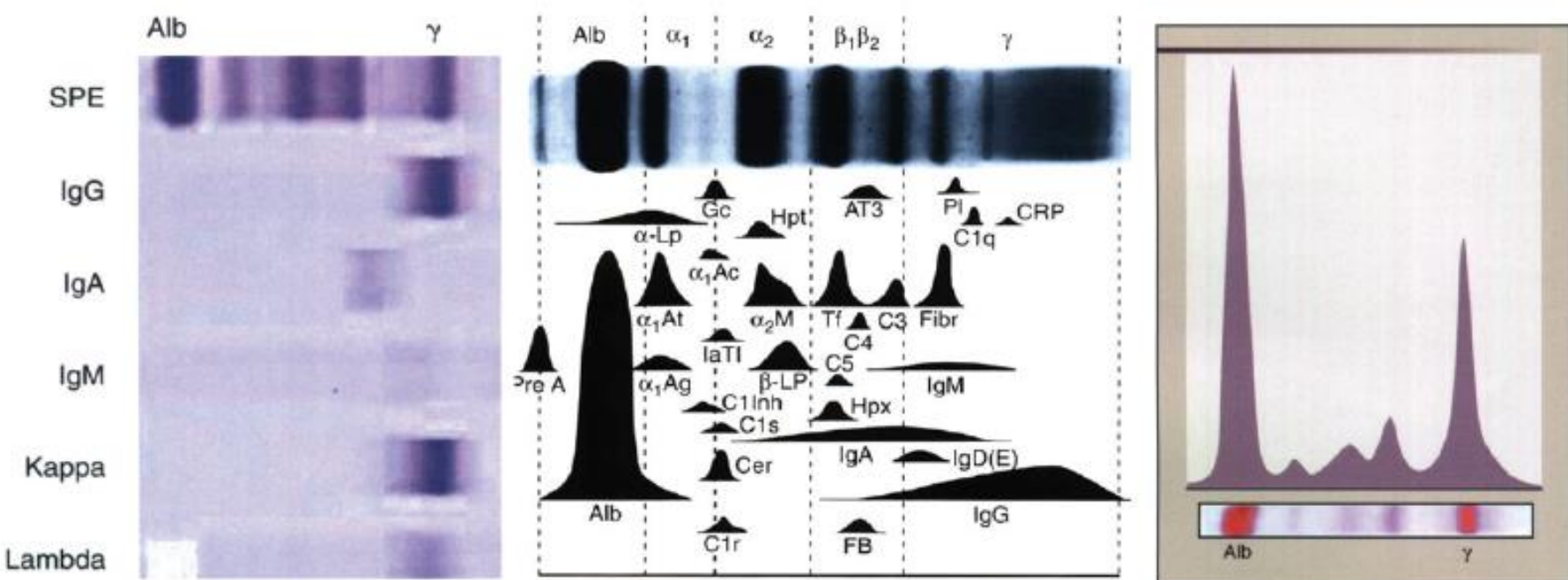
شکل ۷۴-۴۴: واکنش ایمونوستیوشیمیایی مشبت سلول‌های ریداشترنبرگ به CD30 (راست) و CD15 (وسط) که هم آنها، هم لنفوцит‌های B و هم لنفوهیستوسیت‌ها توسط سل‌های T منفی محصور می‌شوند (چپ). در این بیماری، لنفوцит‌های B خود جزء کلون بدخیم بوده ولی هیستوسیت‌ها، سل‌ها و انوزینوفیل‌ها به صورت واکنشی افزایش می‌یابند.



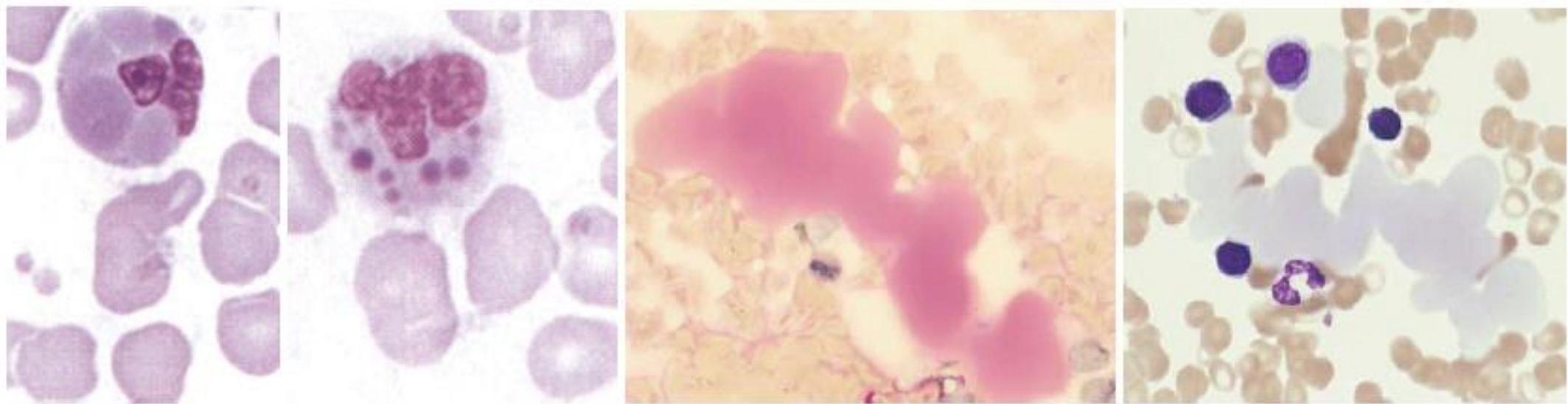
شکل ۷۴-۴۵: لنفوهیستوسیت‌های پاپکورن مانند با هسته پیچ خورده و دندانه‌دار (راست) که واکنش ایمونوستیوشیمیایی مشبت آنها و سل‌ها با Anti- γ -chain (وسط) دلالت بر رده لنفوئیدی B آنها داشته و اغلب در لنفوم هوچکین نوع ندولار با غلبه لنفوسيتن (NLP) دیده می‌شود. در تصویر چپ یک سلول HRS-Like دیده می‌شود که در واقع یک ایمونوبلاست با ظاهر شبیه سلول هوچکین در مونونوکلئوز عفونی می‌باشد.



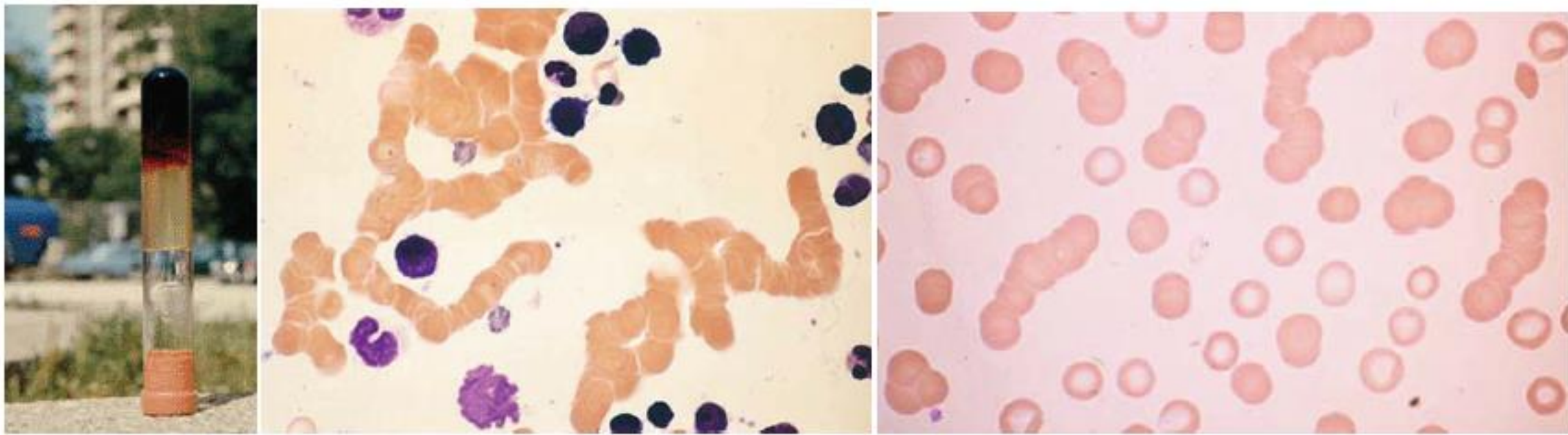
شکل ۷۷-۳۴: پلاسماسل‌های بالغ فراوان با زون گلزی و هستک‌های مشخص در BM (راست) و بافت لنفاوی (چپ) که منظره چرخ درشكه‌ای آن توسط فلش نشان داده است.



شکل ۷۷-۳۵: الکتروفورز پروتئین سرم (SPE) در یک فرد سالم (تصویر سمت چپ و وسط) و مقایسه آن با پاراپروتئینی (پروتئین باند M) در یک بیمار مبتلا به MM



شکل ۷۷-۵۱۶: مشاهده پاراپروتین‌های معلق در خون که به دلیل دربرداشتن کربوهیدرات و پروتئین، با PAS نیز مثبت می‌شود. پاراپروتین‌ها گاهی توسط فاکتوسیت‌ها اندوسیتیز می‌شوند و گاهی بسته به اندازه خود به عنوان پلاکت یا لکوسمیت در دستگاه‌های سلکانتر شمرده می‌شوند. پاراپروتین‌ها از ریسک انسداد عروق، ترومبوز و ایجاد زخم ساق پا برخوردار هستند.



شکل ۷۷-۵۸: تشکیل رولو در بیمار مبتلا به MM. چپ) افزایش شدید IgA که باعث افزایش ویسکوزیته خون می‌شود، به طوری که خون سانتریفیوژ شده در صورت سروته شدن نیز نمی‌ریزد.

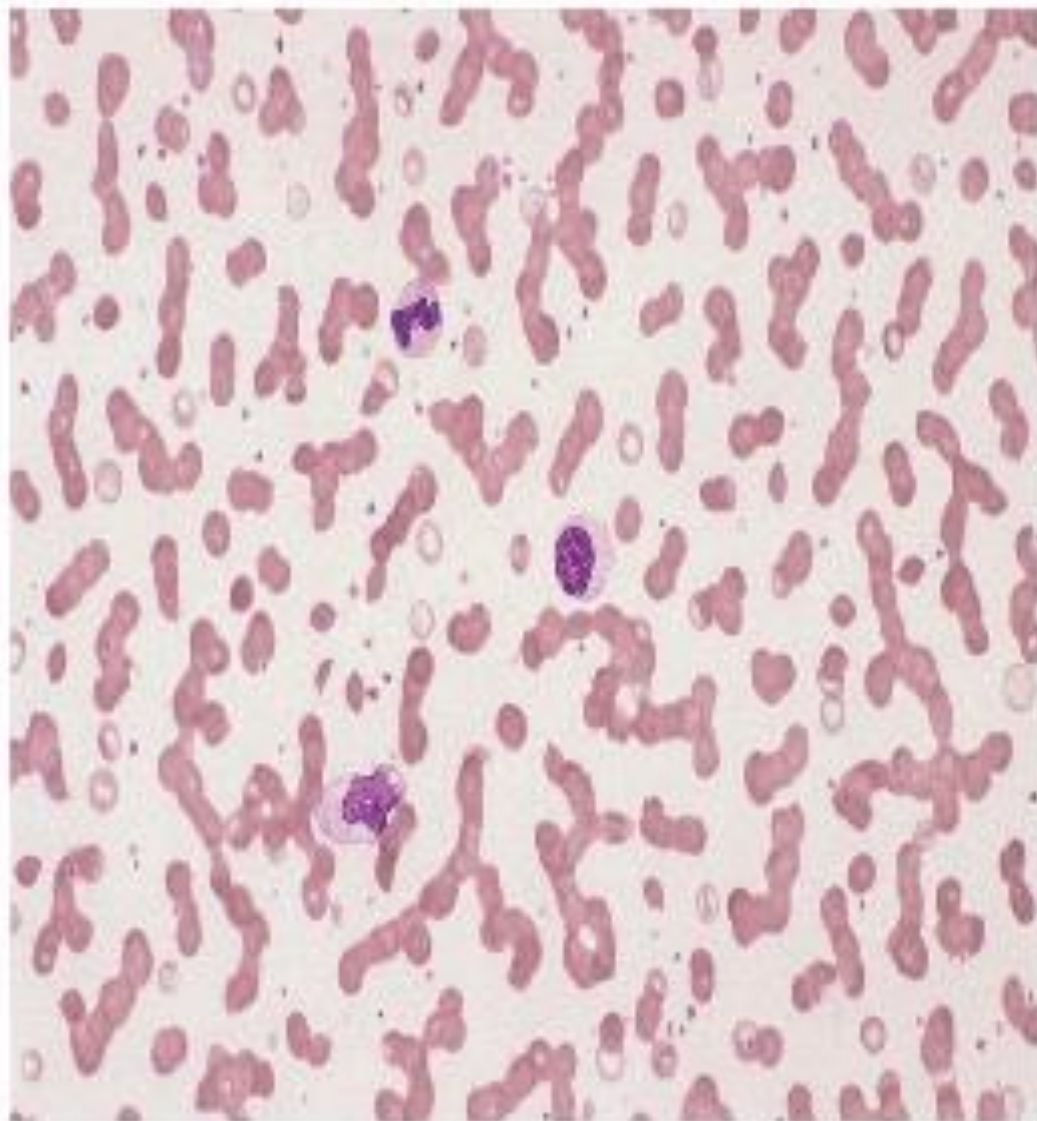


شکل ۷۷-۶۱: کرایوگلبولینمی در گستره خون محیطی و در پلاسمای بیمار که در شرایط In Vivo می‌تواند باعث جراحات پوستی شود. ESR بیمار نیز به بالای ۱۰۰ افزایش می‌یابد.

سلول‌های میلومایی برخلاف پلاسماسل نرمال به صورت سلول‌های CD19-, CD20-, CD22-, CD45-, CD79a+, CD38+, CD56+, CD138+, CD54(ICAM-1)+ HLA-DR-, PCA1+, PC1+, CD24+, CD27+/-, CD28+, CD30+, CD31+, CD40+, CD44 (HACAM)+ و Ki67+ شناخته می‌شود ولی علاوه بر آن، مارکرهای پلاکتی مثل CD41، مارکر اریتروئیدی مثل GP-A، مارکر T سل مثل CD10 و CD28 و BCL2+ مارکرهای میلومونوسیتی مثل CD33 و CD13، CD11c، CD11b می‌باشد. لذا به نظر می‌رسد که مالتیپل میلوما نیز همانند CML/CGL

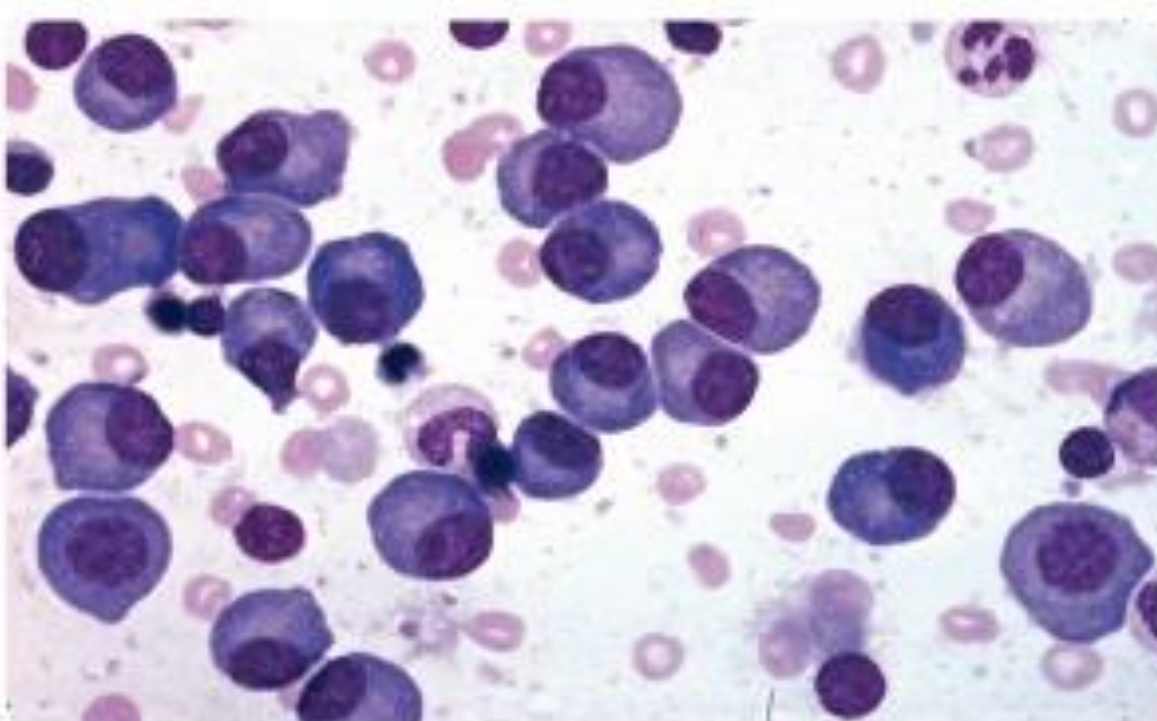
Blood Film morphology:

- A characteristic feature on PB smear is bluish background and **red cell rouleaux formation** due to hypergammaglobulinemia. Rouleaux formation may interfere with blood grouping.
- Differential count may show neutropenia with relative lymphocytic predominance and few plasma cells. In plasma cell leukemia, plasma cells are $\geq 20\%$ in PB.
- A leucoerythroblastic blood picture is observed in a minority of cases.



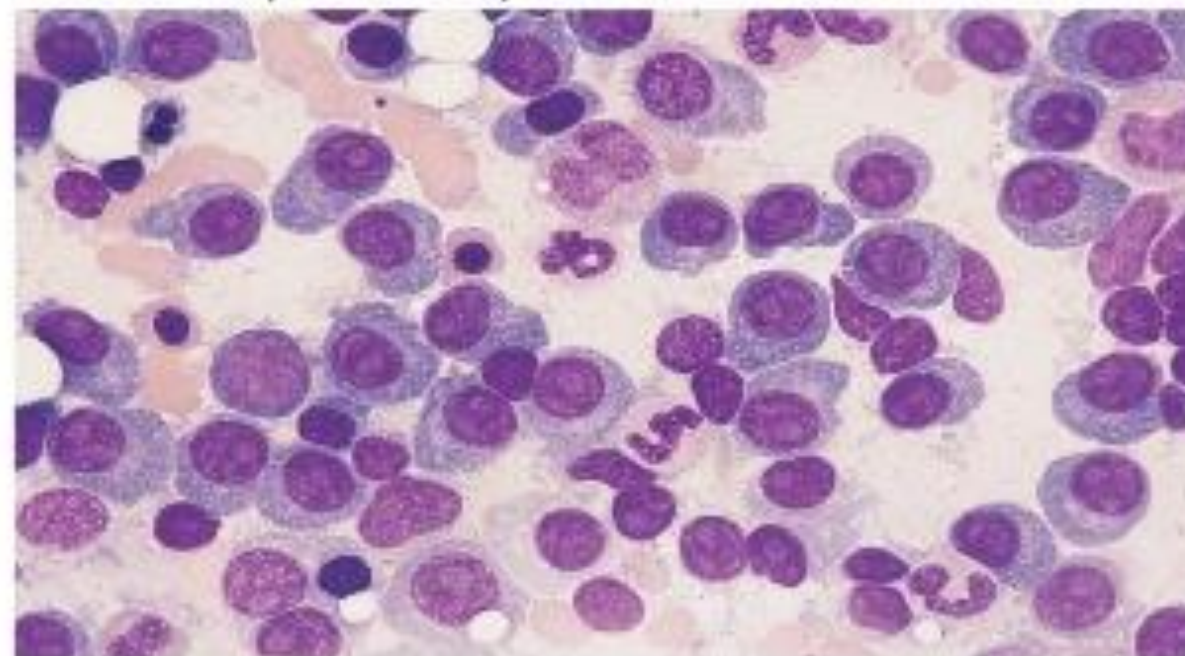
a. The mature-type myeloma:

- Cytoplasm: abundant, deeply basophilic cytoplasm with a perinuclear clear area or 'hof' representing Golgi zone.
- Nucleus: eccentrically-placed nucleus with coarse chromatin and no nucleoli.



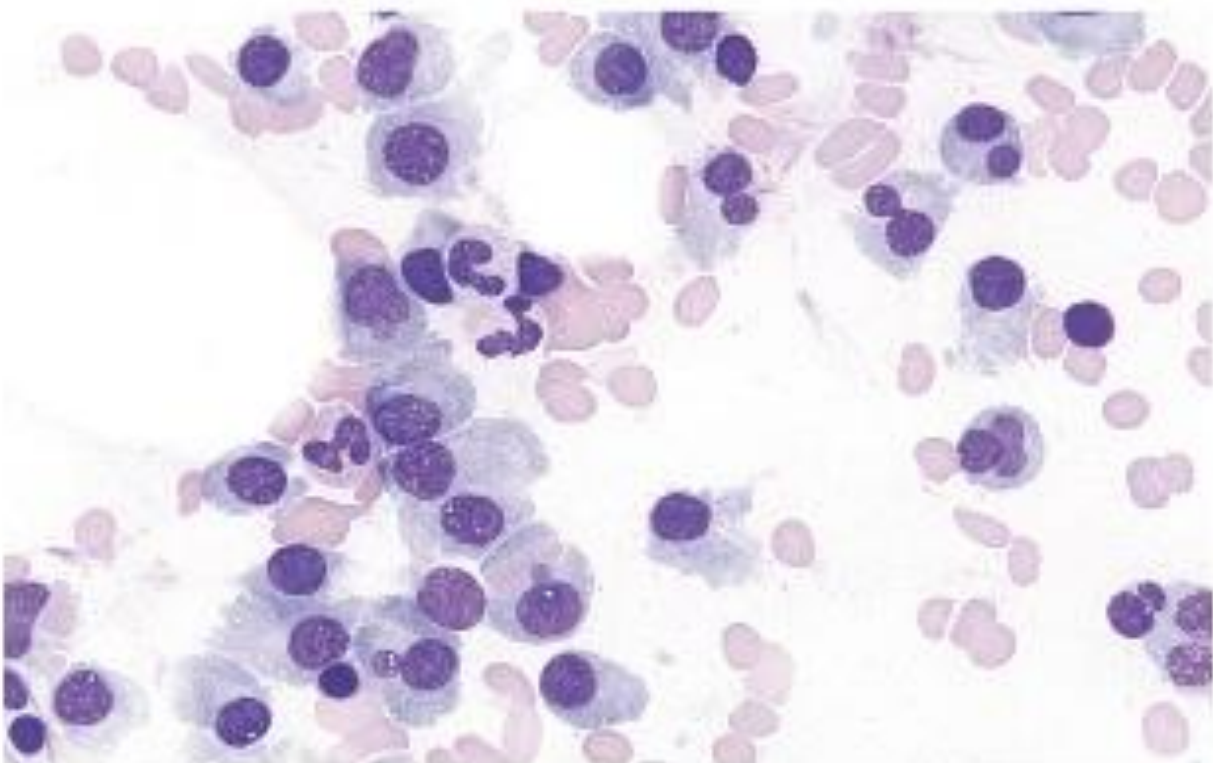
b. The immature-type myeloma:

- Size: Larger than typical plasma cells.
- Nucleus: Larger nucleus, which may be centrally or eccentrically located, finely dispersed nuclear chromatin, one or two prominent nucleoli. They may be bi-or multinucleated.
- Cytoplasm: Light blue cytoplasm.
- Pleomorphism may be seen.



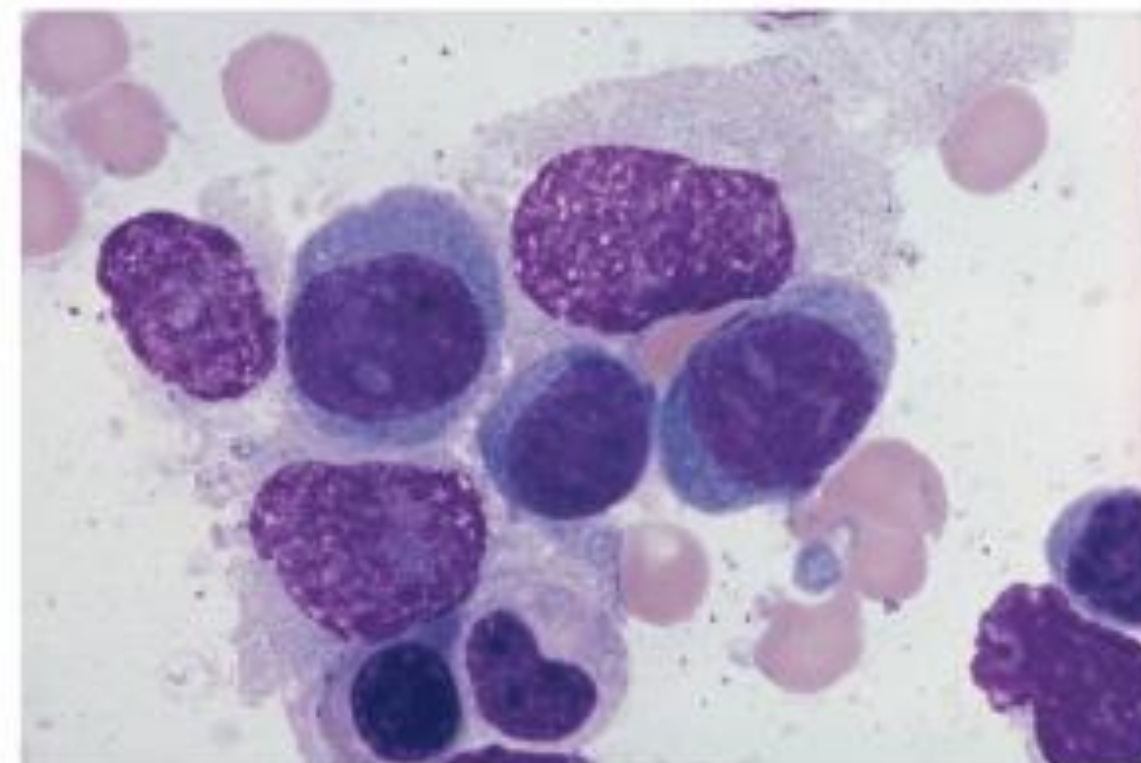
c. The intermediate-type myeloma:

- The plasma cells exhibit features intermediate between mature and immature types of myeloma.
- They have moderately dispersed chromatin and occasional small nucleoli; several have lobated nuclei, and two are binucleate.



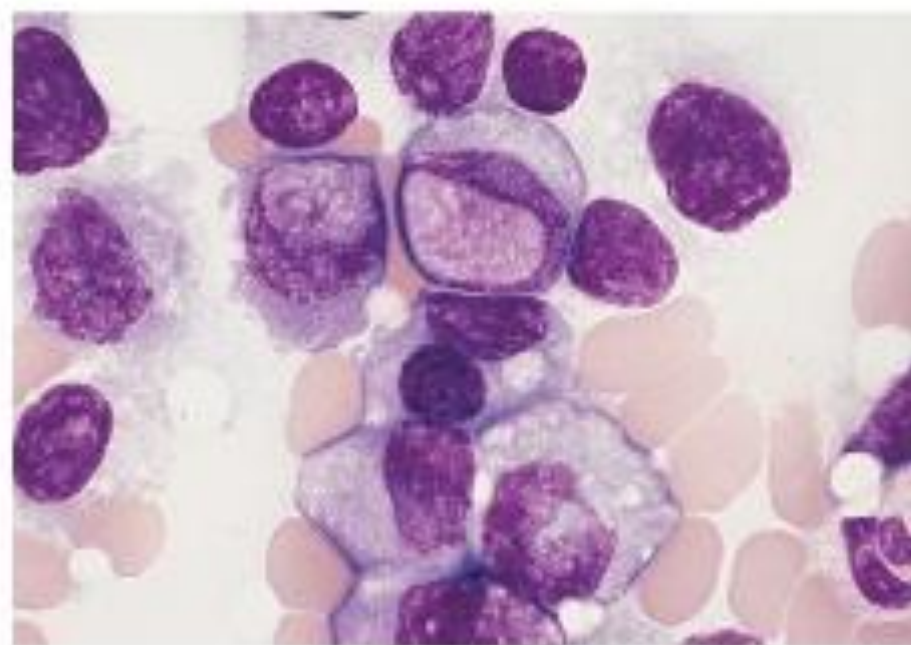
d. The plasmablastic myeloma:

- Plasma cells are atypical with a high nuclear-to-cytoplasmic ratio.
- The nuclei have dispersed chromatin and contain small nucleoli.

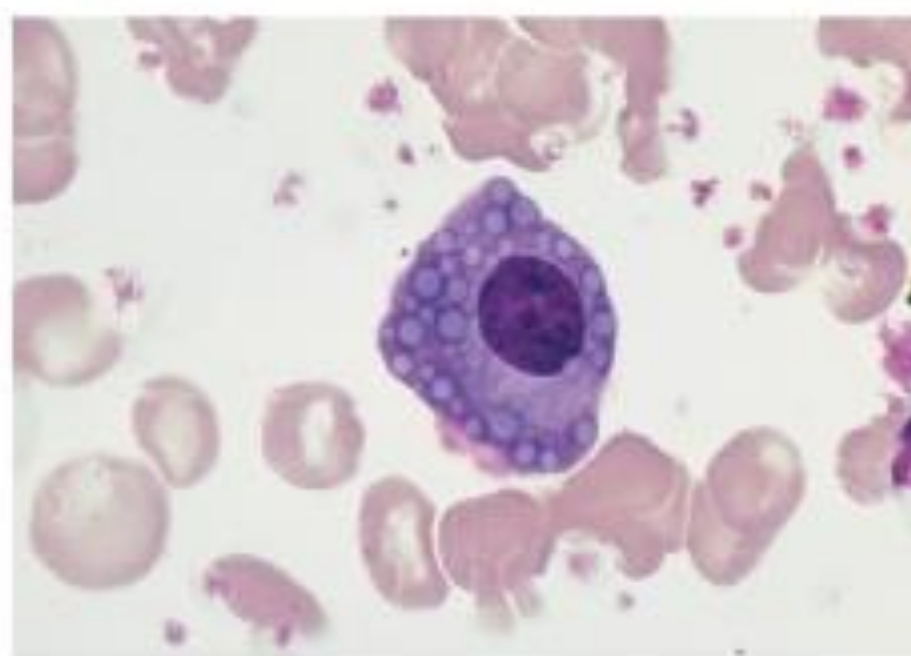


- Intracellular accumulations of immunoglobulins may produce distinctive morphological features such as:

- Mott cells or morula cells (numerous 'grape-like' pale bluish cytoplasmic inclusions)
- Dutcher bodies.
- Russell bodies (round hyaline inclusions in cytoplasm).

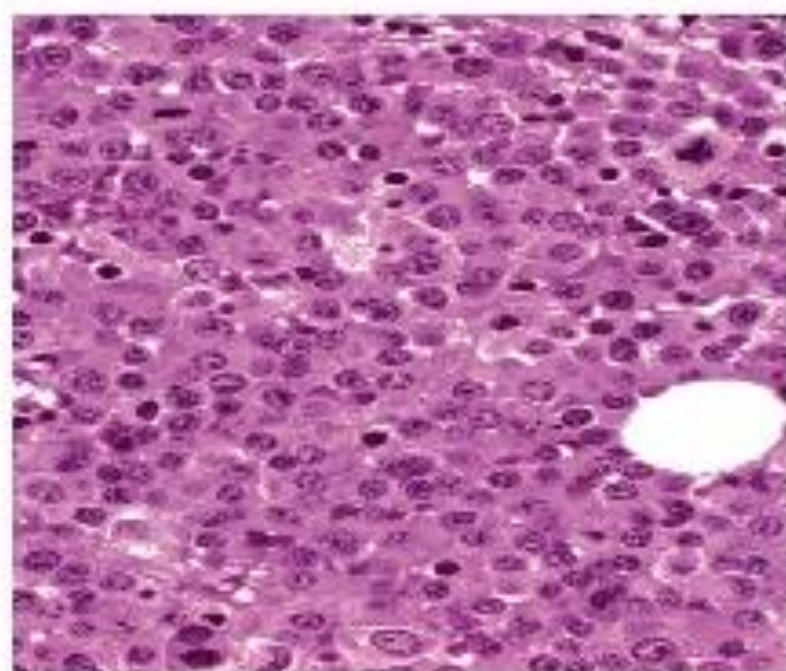
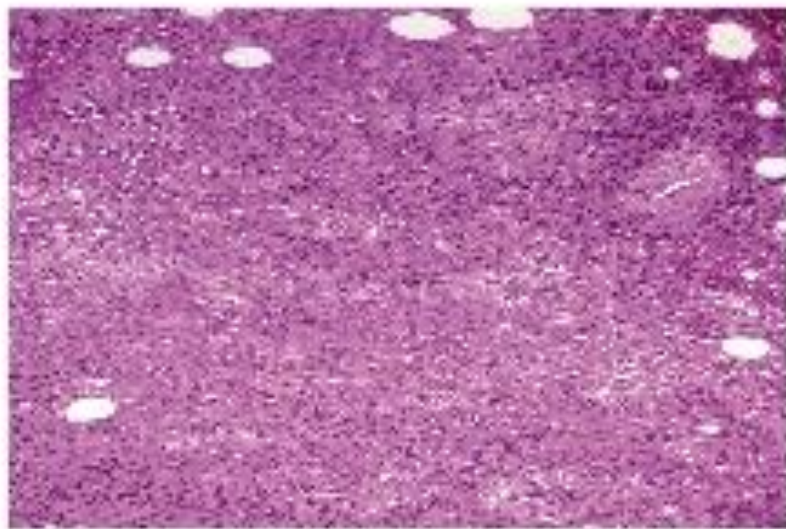


- These features also occur in reactive plasmacytosis.



2. Bone marrow biopsy:

- Large clusters or sheets of plasma cells on BM biopsy are highly suggestive of a neoplastic rather than a reactive disorder.
- A staging system has been proposed based on percentage of marrow space replaced by myeloma in bone marrow trephine biopsies:
 - **Stage I:** Less than 20% of BM is replaced by plasma cells.
 - **Stage II:** 20 to 50% of BM is replaced by plasma cells.
 - **Stage III:** More than 50% of BM is replaced by plasma cells.
- The extent of involvement in BM biopsy sections usually reflects the overall tumor burden. There appears to be good correlation between histologic stage, clinical stage, and prognosis



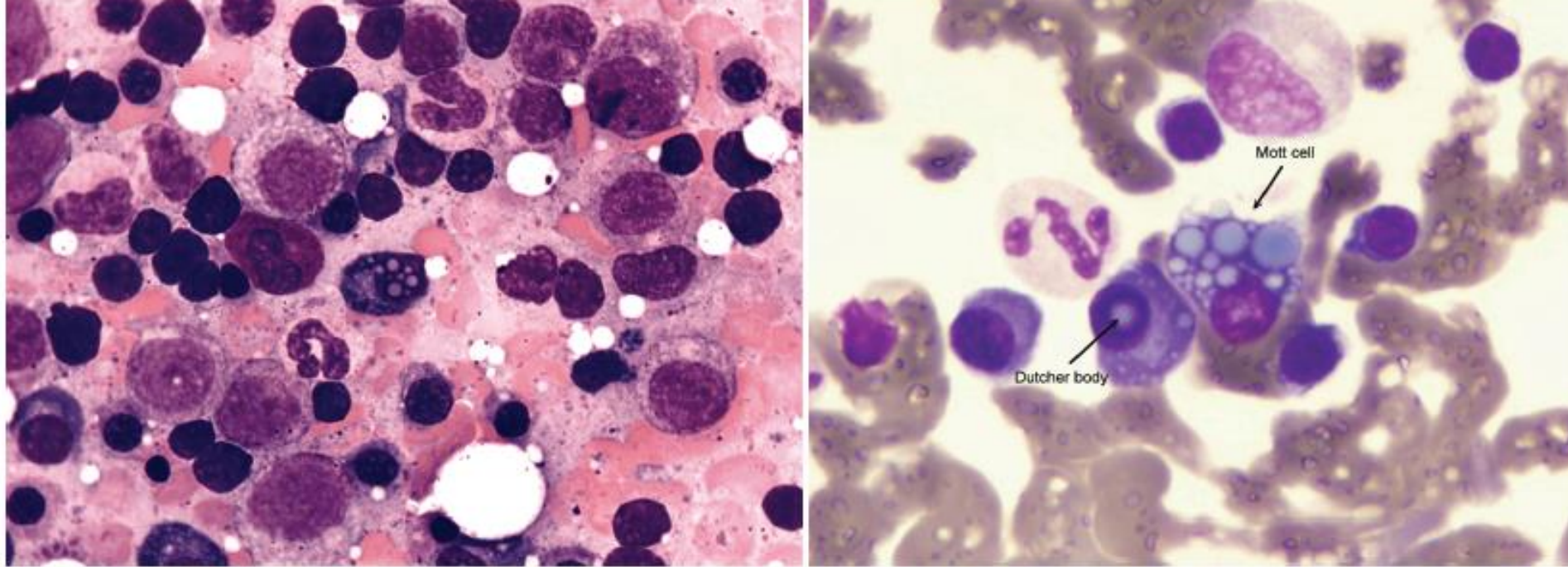
3. Immunophenotypic analysis:

Normal Plasma Cells:

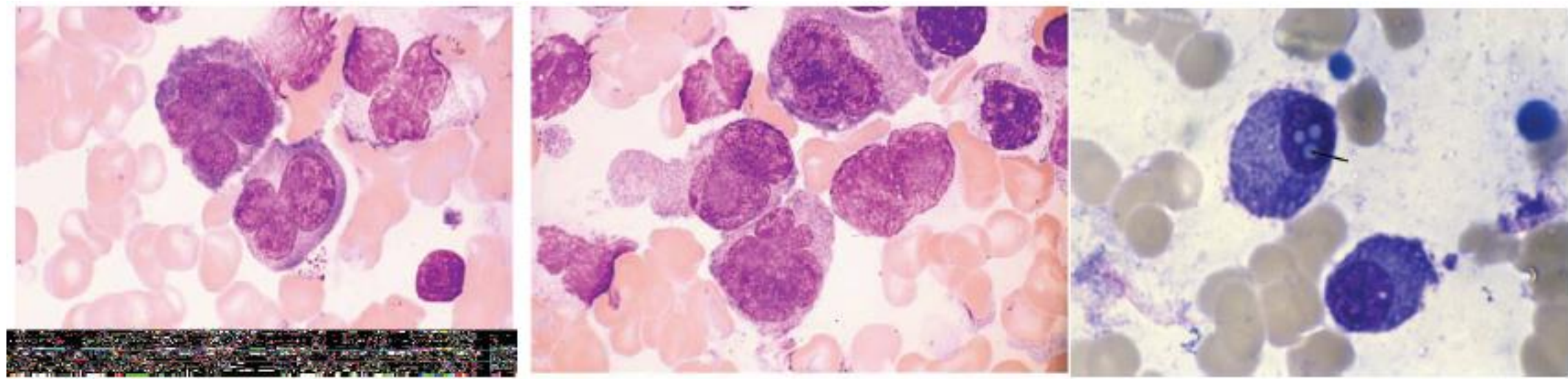
- 1. Bright CD38 expression.** CD38 expression is not specific for plasma cells, as it is seen at various levels on virtually all other nucleated marrow subsets, but normal plasma cells express higher levels of CD38 than any other normal hematolymphoid cell population.
- 2. Express CD138**, and this antigen is essentially specific for plasma cells among hematolymphoid cells.
- 3. Positive for CD19 and CD45.**
- 4. Negative for CD20 and CD56.**
- 5. Normal plasma cell populations express polytypic cytoplasmic immunoglobulin**, with kappa:lambda ratios in the range of 1-2: 1, but occasionally as high as 4: 1 in reactive plasma cell proliferations.
- 6. Additional immunophenotypic findings in normal plasma cells include bright expression of CD27 and CD81 and lack of CD28, CD117, and CD200.**

Neoplastic Plasma Cells:

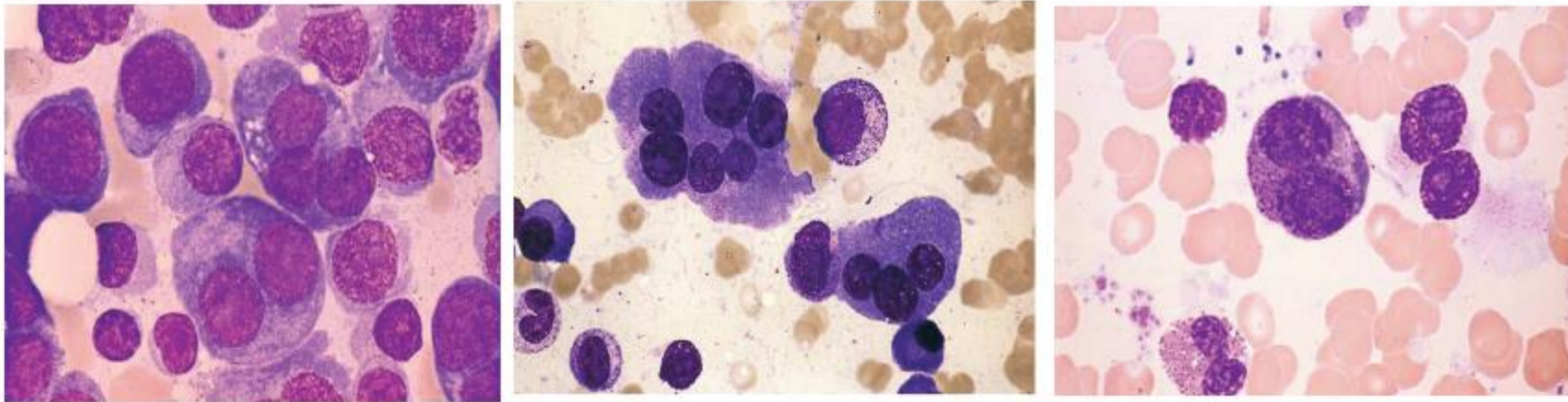
1. PCM cells express CD38 and CD138, but ***CD138 expression tends to be brighter*** and ***CD38 dimmer*** than in normal plasma cells.
2. ***CD19*** is **absent** in about 95% of PCM cases.
3. ***CD56*** is **positive** in 60% to 80%.
4. ***CD45*** decreases with maturation of plasma cells, and variability of CD45 expression is a common feature in myeloma; the plasma cells with the brightest CD45 represent the proliferative compartment.
5. **Monoclonal kappa or lambda light chains**
6. ***CD20*** is **expressed** in approximately 10% to 20% of PCMs.
7. ***CD117*** is **positive** in 30%.
8. ***CD200*** is **positive** in 60% to 75%.



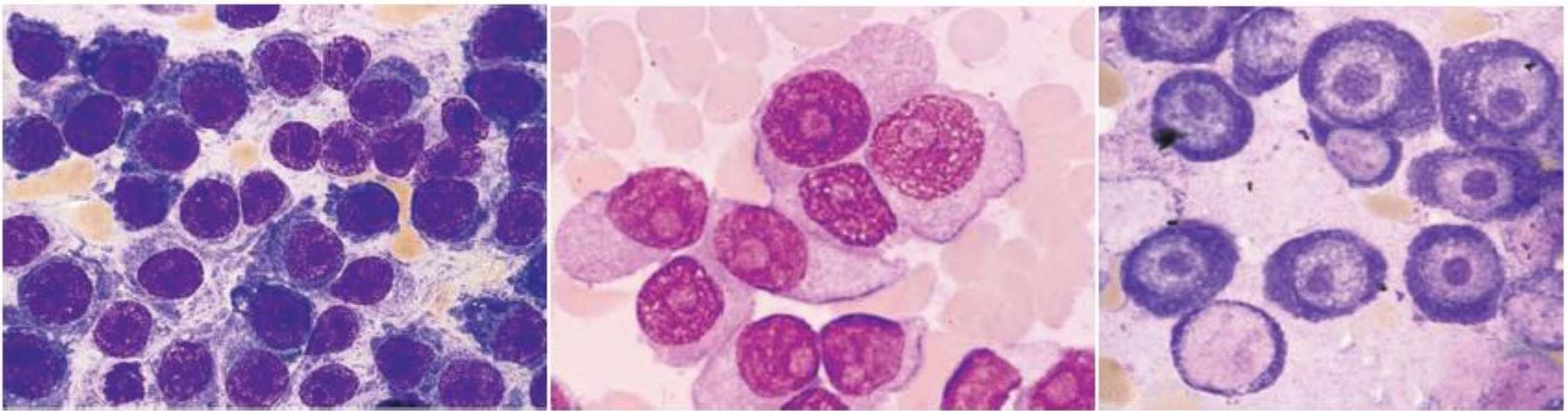
شکل ۷۷-۶۵: اجسام داچر در داخل هسته پلاسماسل‌های بدخیم



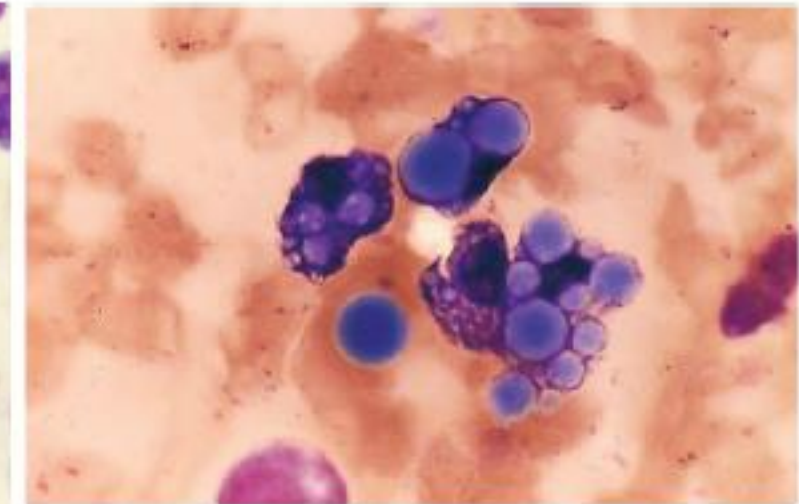
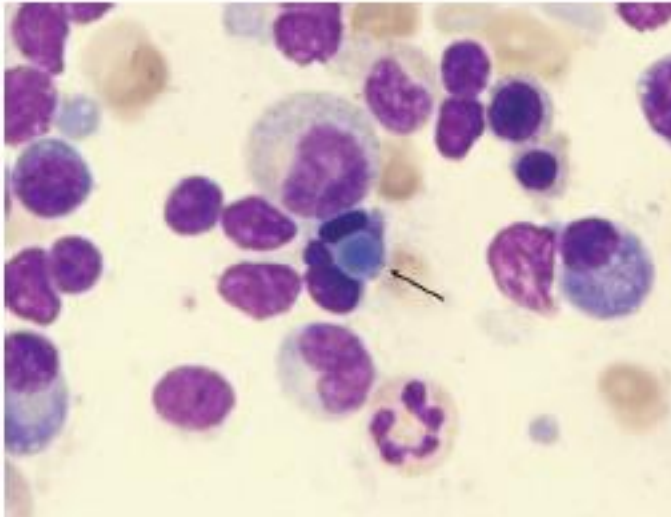
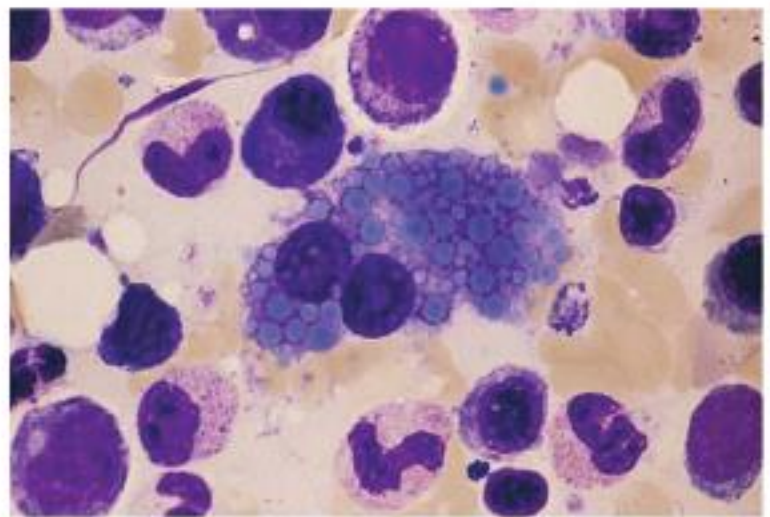
شکل ۷۷-۶۸: از راست به چپ: اجسام داچر در داخل هسته، هسته‌های لوبوله و شبیه مونوبلاست در پلاسماسل‌های نابالغ و بدخیم که نسبت N/C نامتنااسبی را نشان داده و CD33+ هستند.



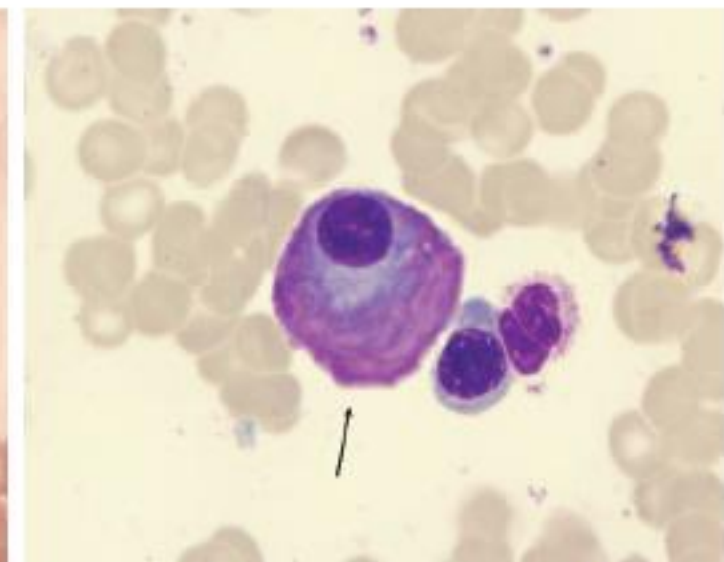
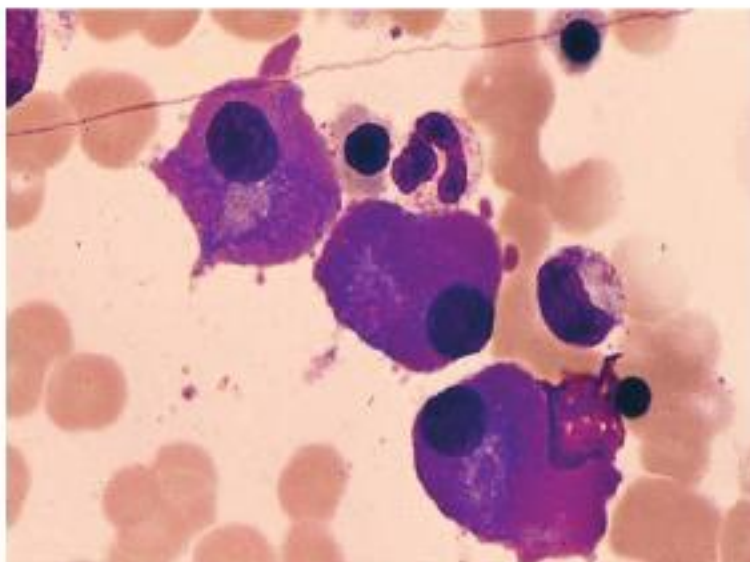
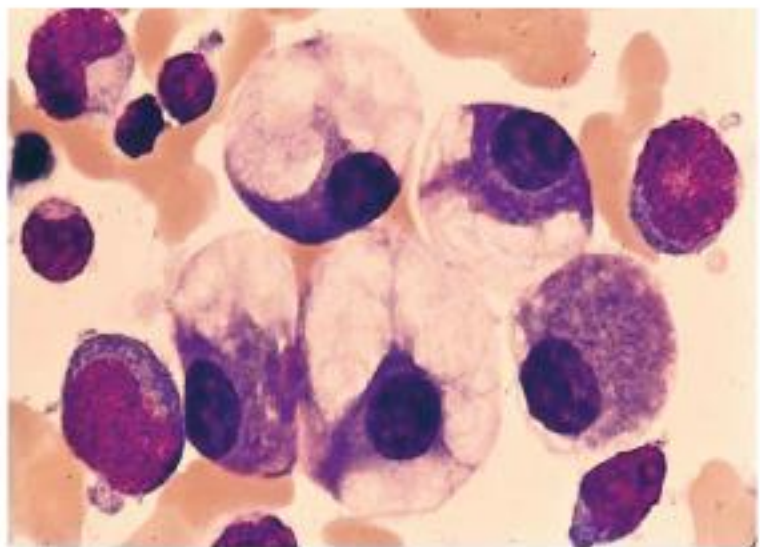
شکل ۶۶-۷۷: پلاسماسل‌های نابالغ، بدخیم و دیس‌مورفیک که به صورت دو یا چند حسته‌ای دیده می‌شوند. پلاسماسل در این حالت می‌تواند شبیه اوستئوکلاست دیده شود.



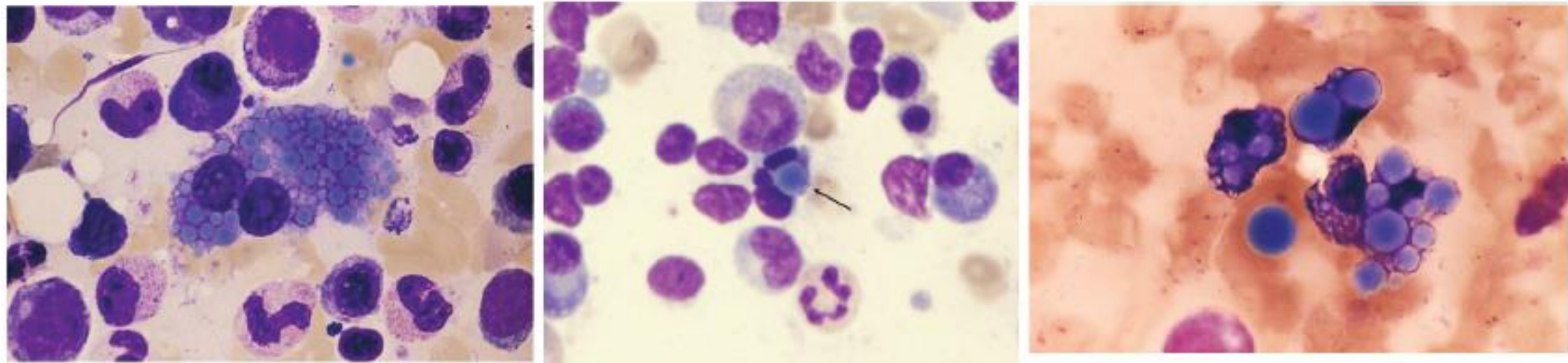
شکل ۶۷-۷۷: هستک‌های متمايز، بزرگ و منفرد در حسته پلاسماسل‌های میلومایی



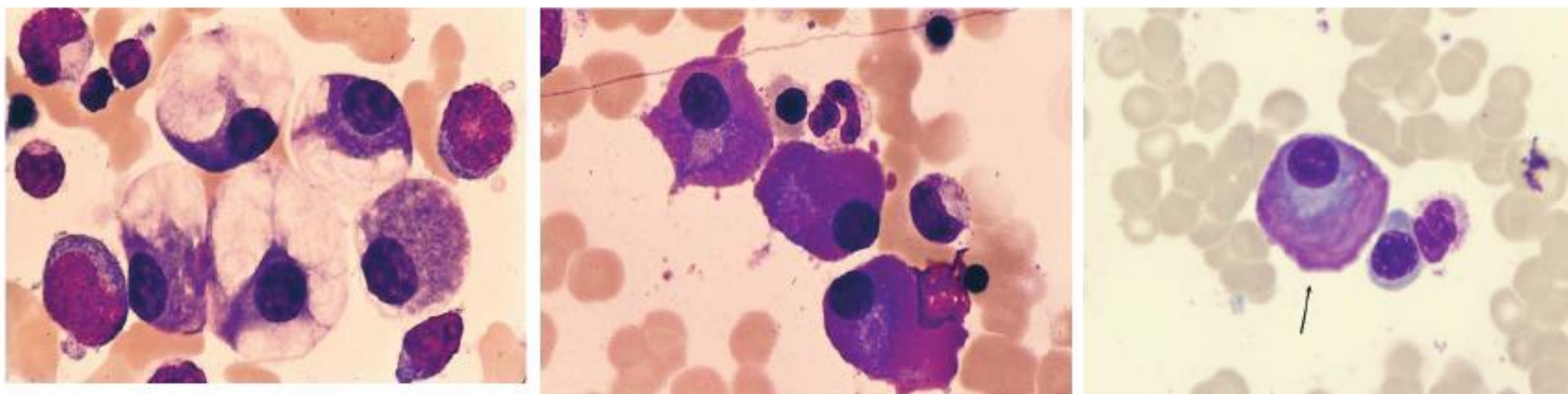
شکل ۷۷-۷۰: واکوئل های بزرگ راسل بادی در داخل پلاسماسل های میلومایی. گاهی برخی از راسل بادی ها می توانند از سلول خارج شده و در محیط آزاد شوند. اجسام راسل و داچر PAS+ هستند.



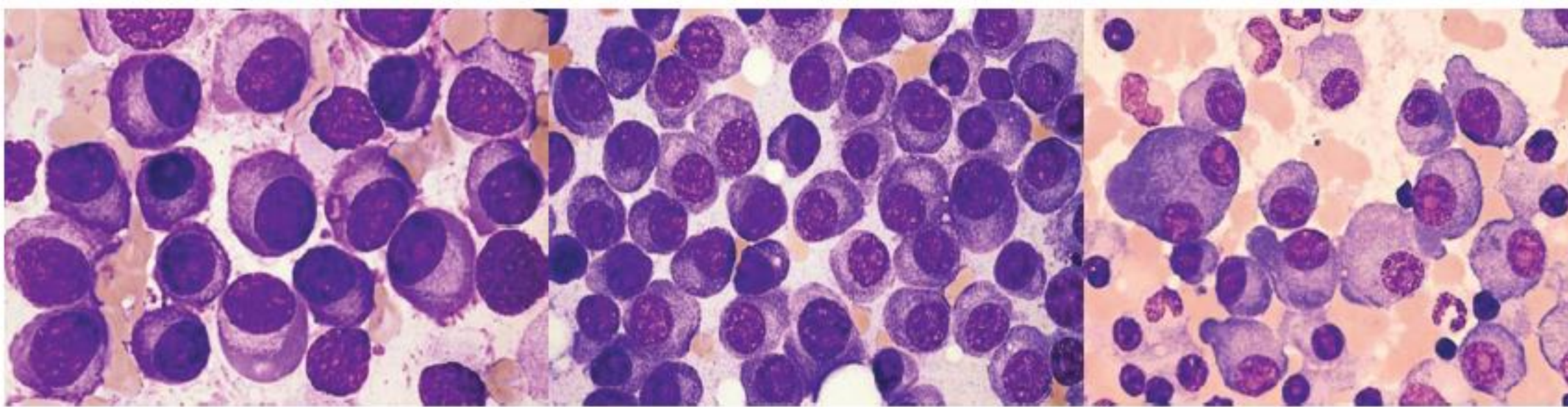
شکل ۷۷-۷۱: تصویر راست و وسط) سلول شعله مانند در یک بیمار MM:IgA که یک مورفولوژی خاص از پلاسماسل می باشد. تصویر چپ) پلاسماسل هایی با واکوئول درشت در یک بیمار میلومایی.



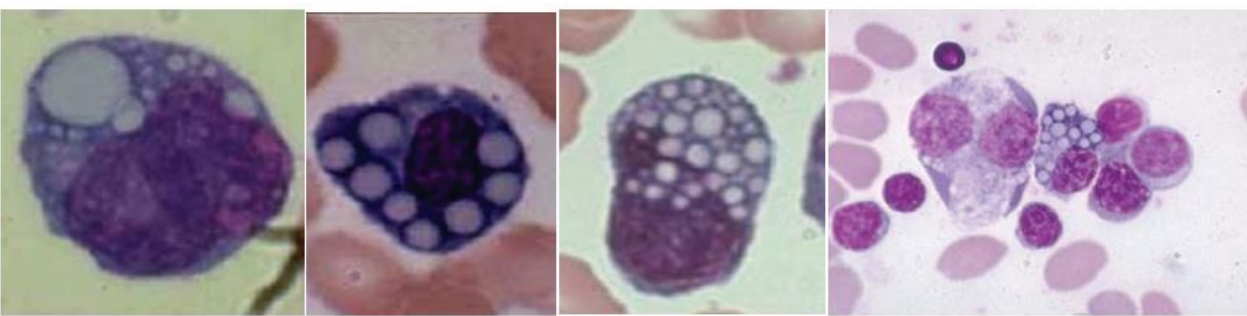
شکل ۷۷-۷۰: واکوئل‌های بزرگ راسل بادی در داخل پلاسماسل‌های میلومایی. گاهی برخی از راسل بادی‌ها می‌توانند از سلول خارج شده و در محیط آزاد شوند. اجسام راسل و داچر PAS+ هستند.



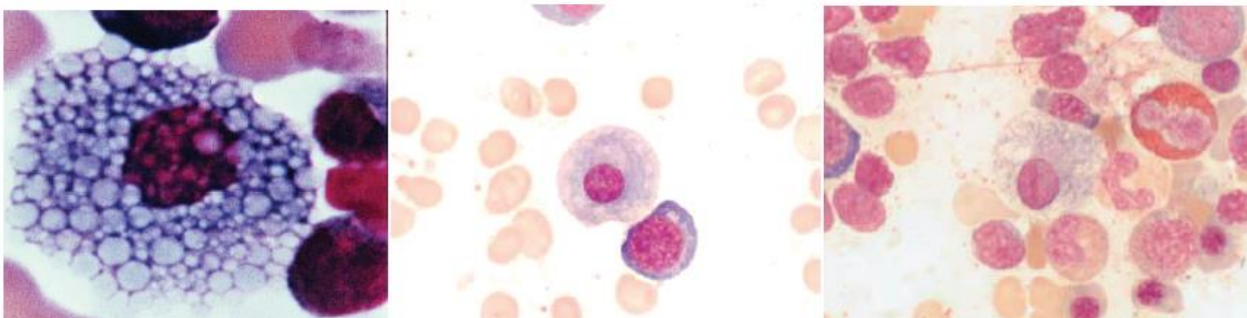
شکل ۷۷-۷۱: تصویر راست و وسط) سلول شعله‌مانند در یک بیمار MM:IgA که یک مورفولوژی خاص از پلاسماسل می‌باشد. تصویر چپ) پلاسماسل‌هایی با واکوئول درشت در یک بیمار میلومایی.



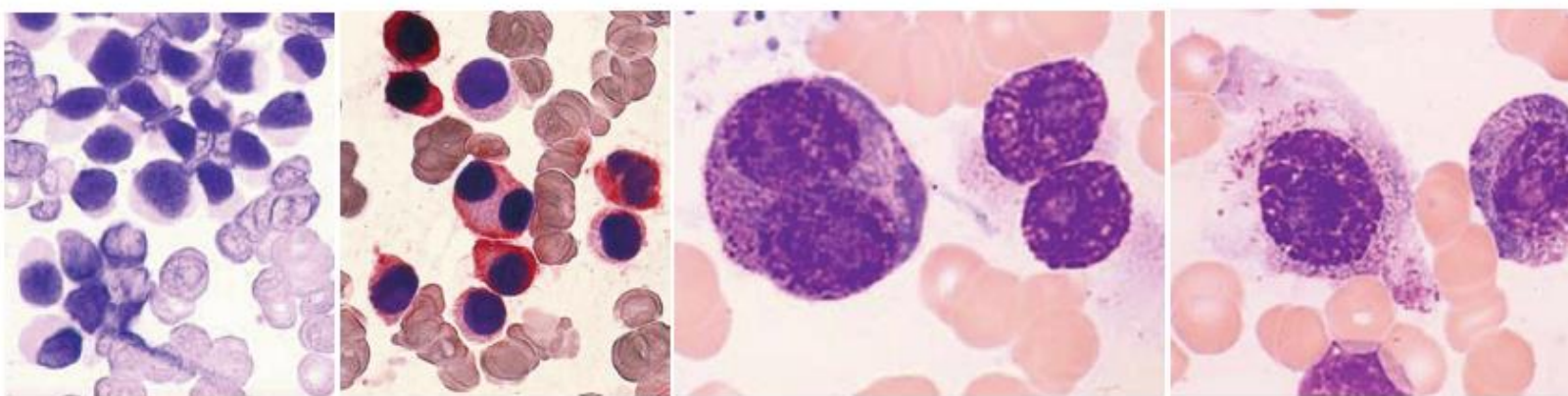
شکل ۷۷-۷۲: راست) پلاسماسل‌های نسبتاً پلنومورفیک نوأم با هستک و یک پلاسماسل دوهسته‌ای. وسط) پلاسماسل‌های بالغ فراوان با زون گلزی و هستک‌های مشخص و چپ) پلاسماسل‌های حد واسط فرم کلاسیک و فلیم سل (شعله‌ای)



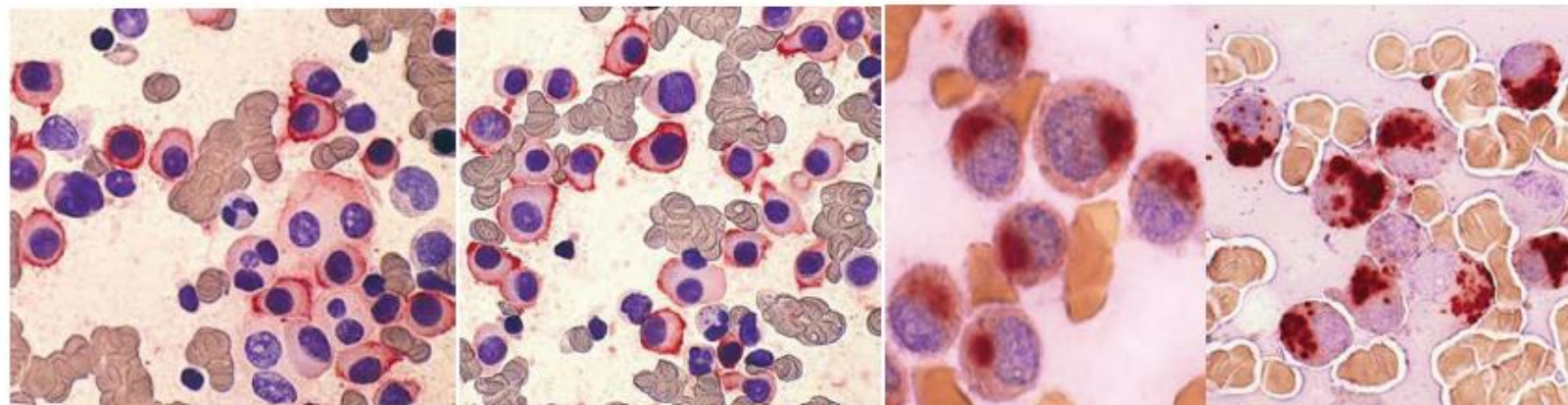
شکل ۷۷-۷۳: انواع موتسل (پلاسماسل انگوری شکل)



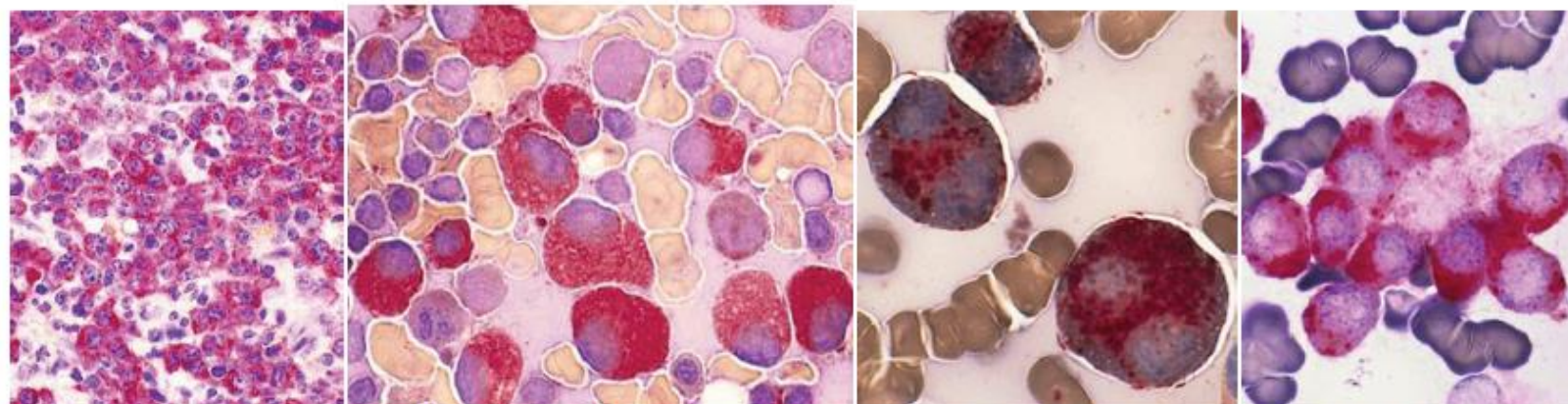
شکل ۷۷-۷۴: انواع سلوول‌های تیزوروسیت (سلول‌های مخزنی شکل)



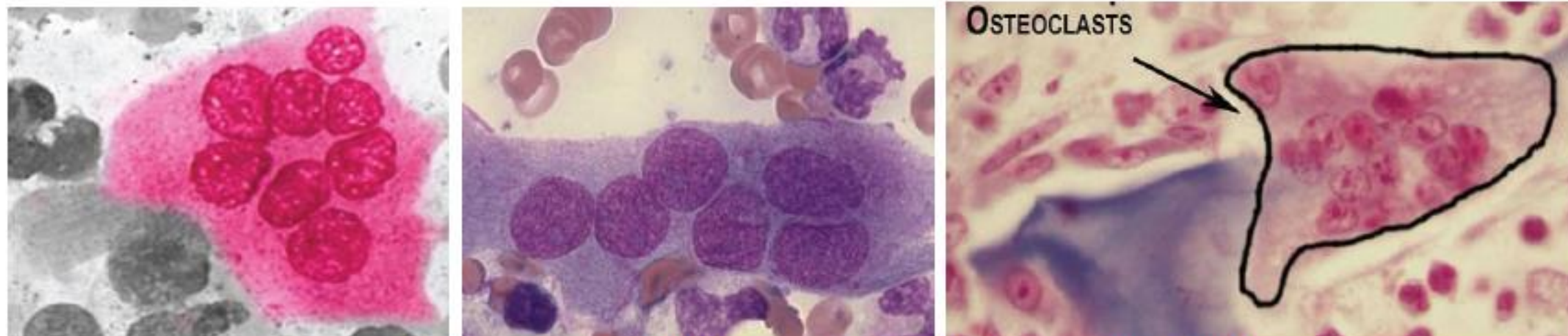
شکل ۷۷-۷۸: پلاسماسل‌های CD33+ گرانول دار که نسبت به CD13 نیز واکنش قوی نشان داده ولی نسبت به CD19 منفی می‌باشد.



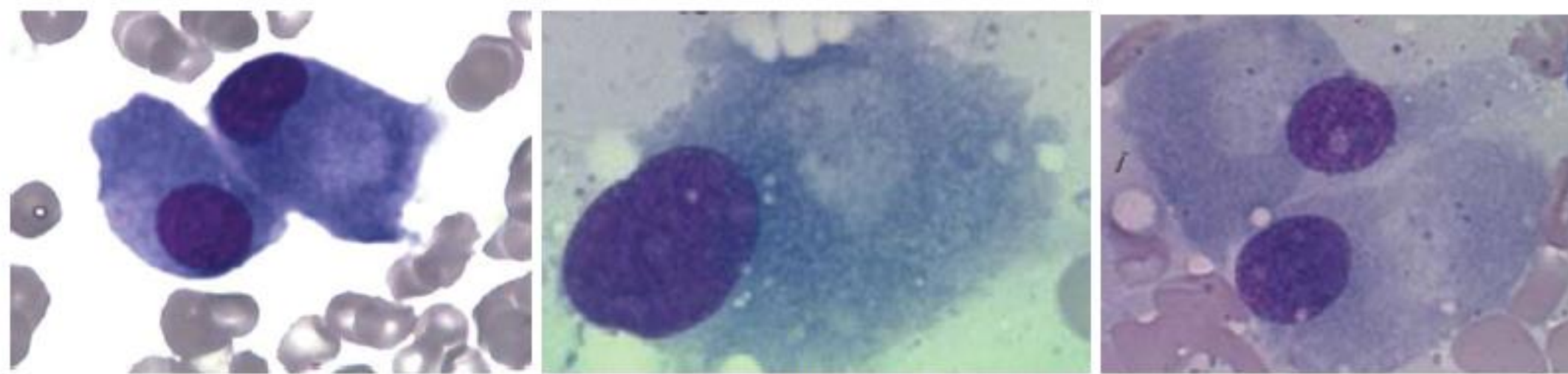
شکل ۷۷-۷۹: از راست به چپ) تصویر ۱ و ۲: واکنش مثبت نسبت به ANAE. تصویر ۳: واکنش مثبت نسبت به CD38+. تصویر ۴: واکنش مثبت برای CD56 (پروگنوز بد)



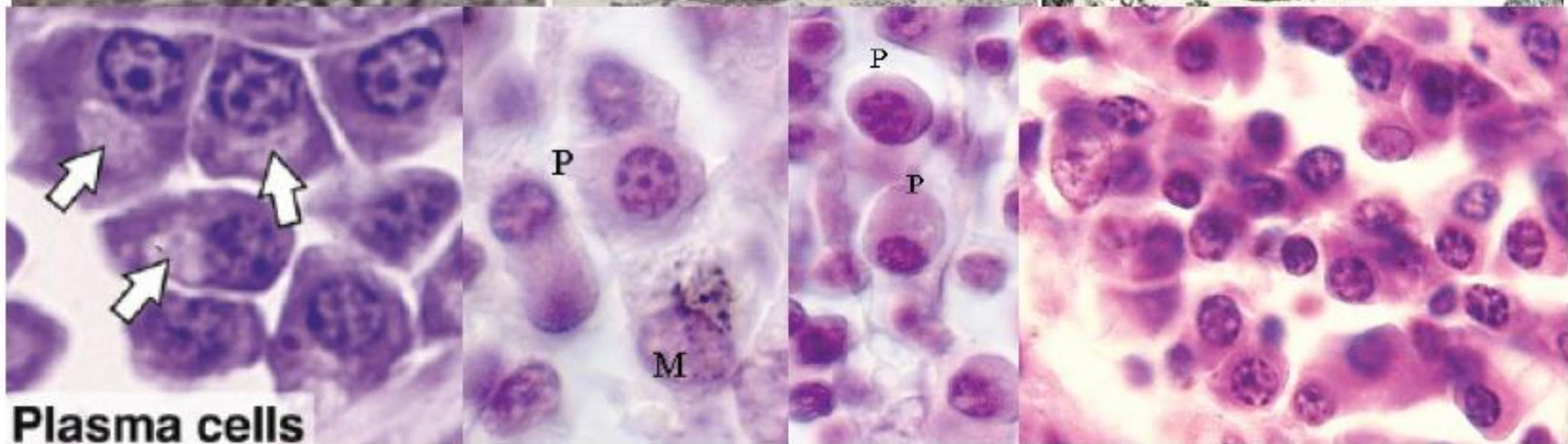
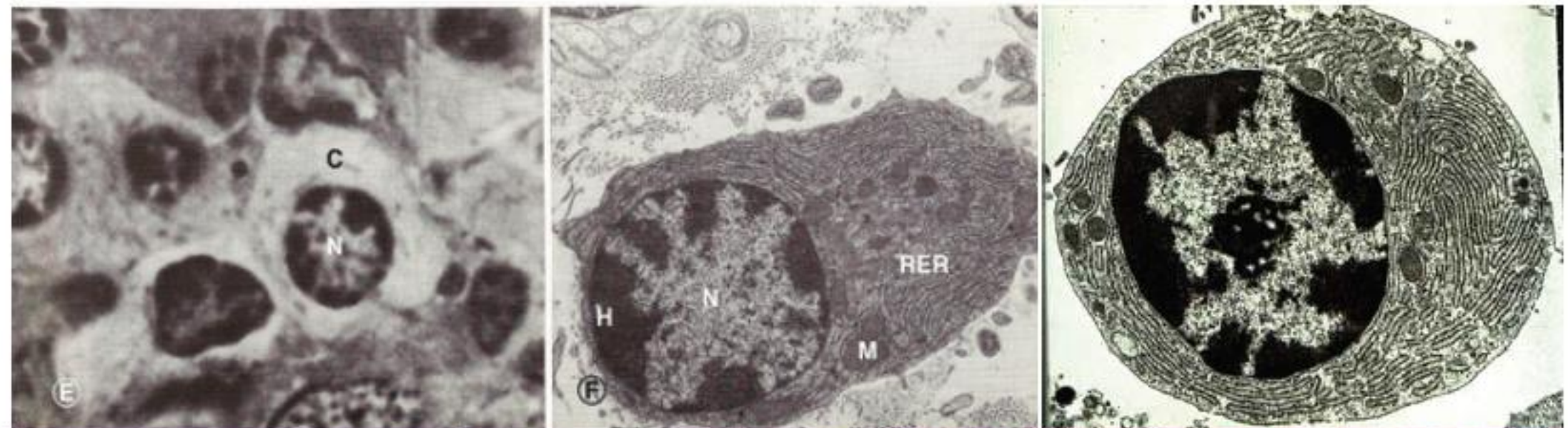
شکل ۷۷-۸۰: از راست به چپ: تصویر ۱-۴: واکنش اسید فیشاتان قوی در پلاسماسل‌های میلهمی. تصویر ۵: واکنش مثبت نسبت به CD19 در پلاسماسل‌های میلهمی کلینیکی.



شکل ۷۷-۸۹: اوستنوكلاست‌های چندهسته‌ای مشابه مگاکاریوسیت. این سلول‌ها قادر به لاست و پای کاذب در اطراف خود هستند.

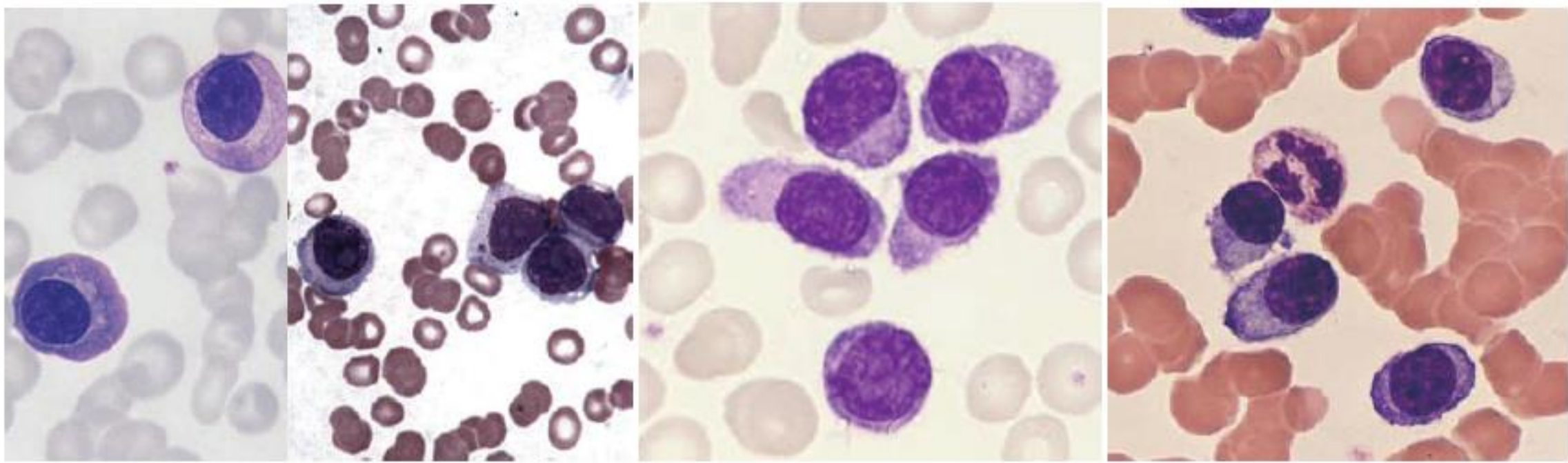


شکل ۷۷-۹۰: اوستنوبلاست‌های شبیه پلاسماسل که البته زون گلزی و هستک مشخص نداشتند و به مراتب بزرگتر از PC می‌باشند.



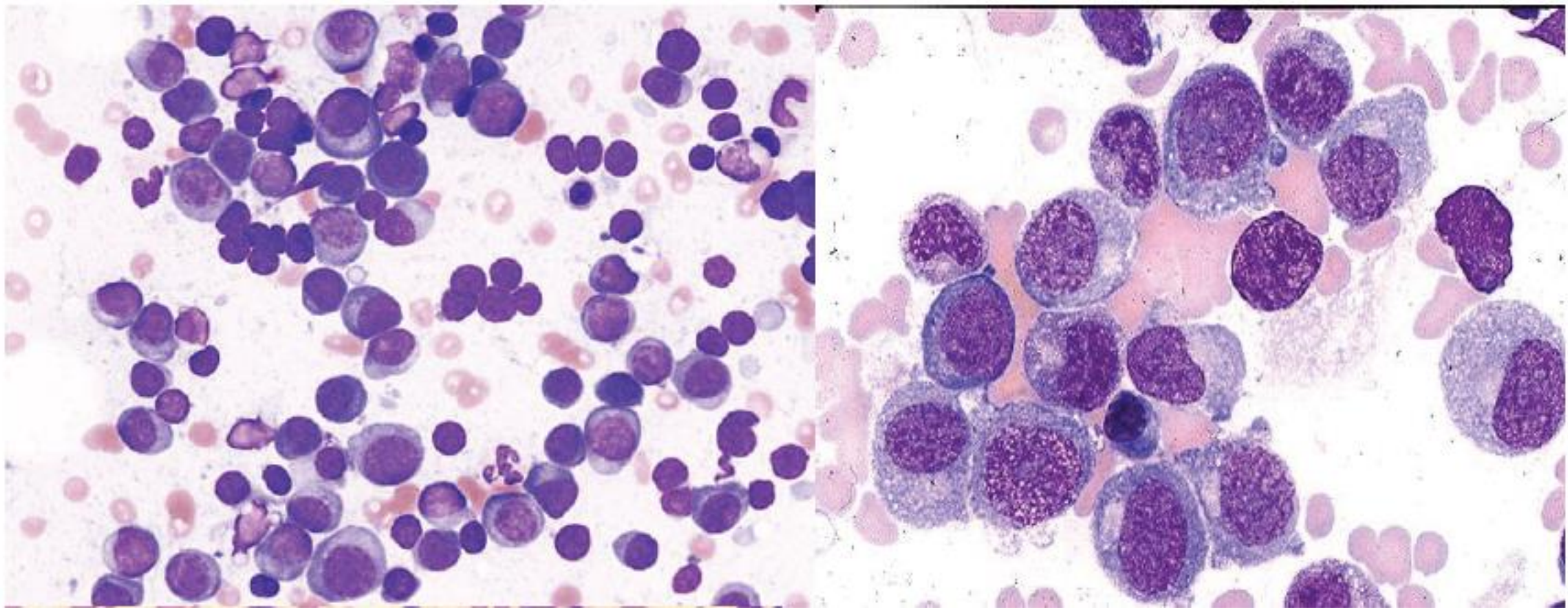
Plasma cells

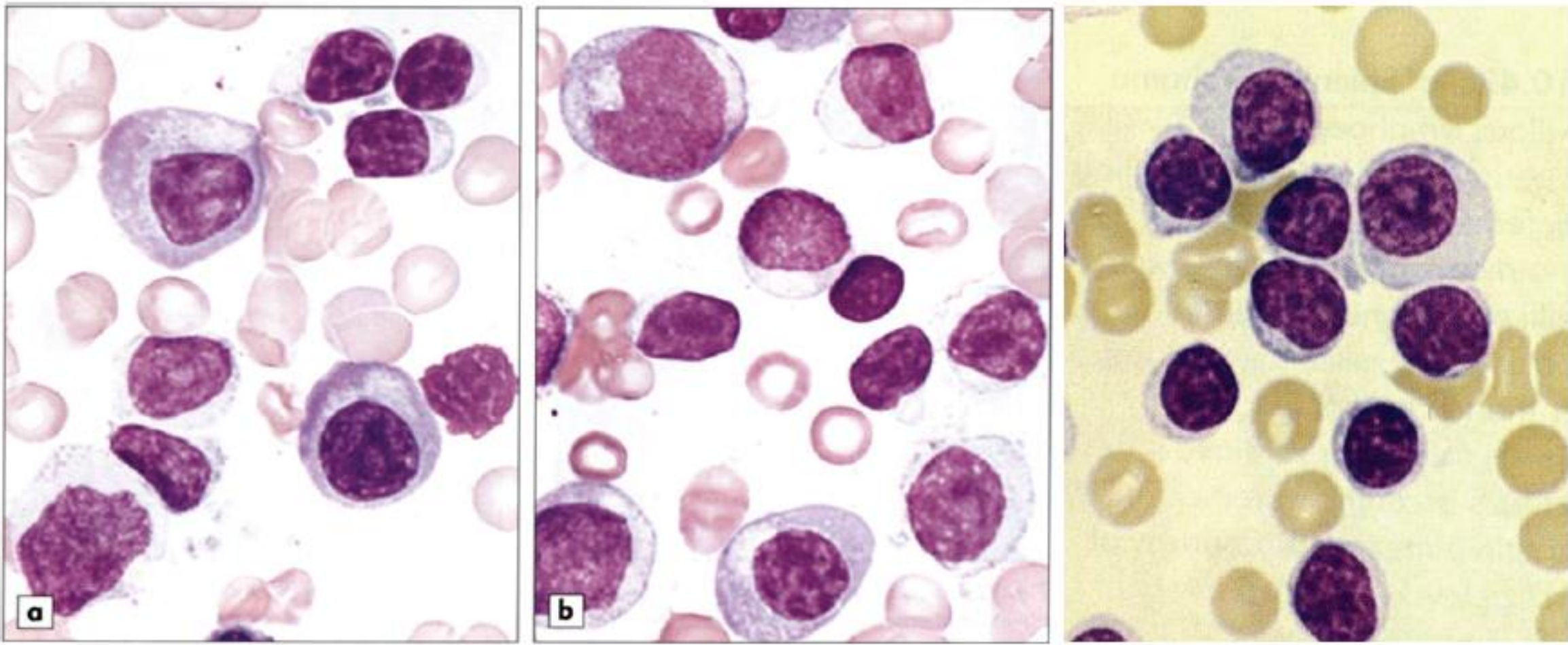
شکل ۱۵۸-۷۷: منظره چرخ درشکه‌ای پلاسماسل در برش بافتی از بیوپسی غده لنفاوی



شکل ۱۶۱-۷۷: لوسمی پلاسماسل به همراه سلول‌هایی که مشابه ایمونوبلاست هستند. به تشکیل رولو در گسترش خون محیطی بیماران توجه فرمایید.

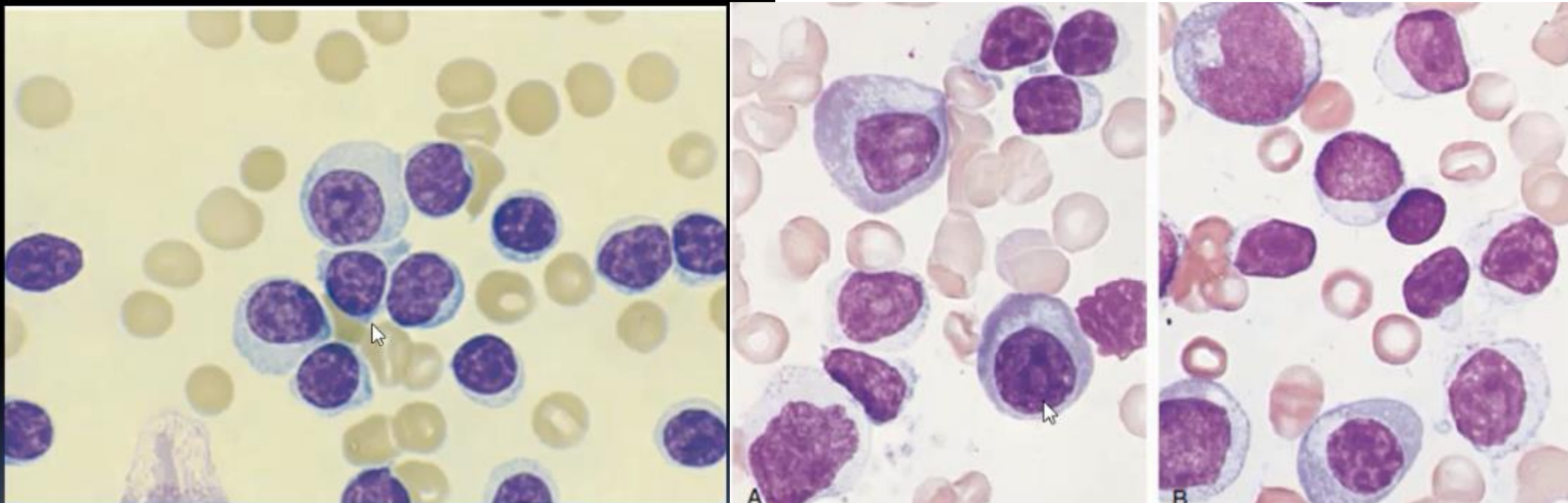
PCL

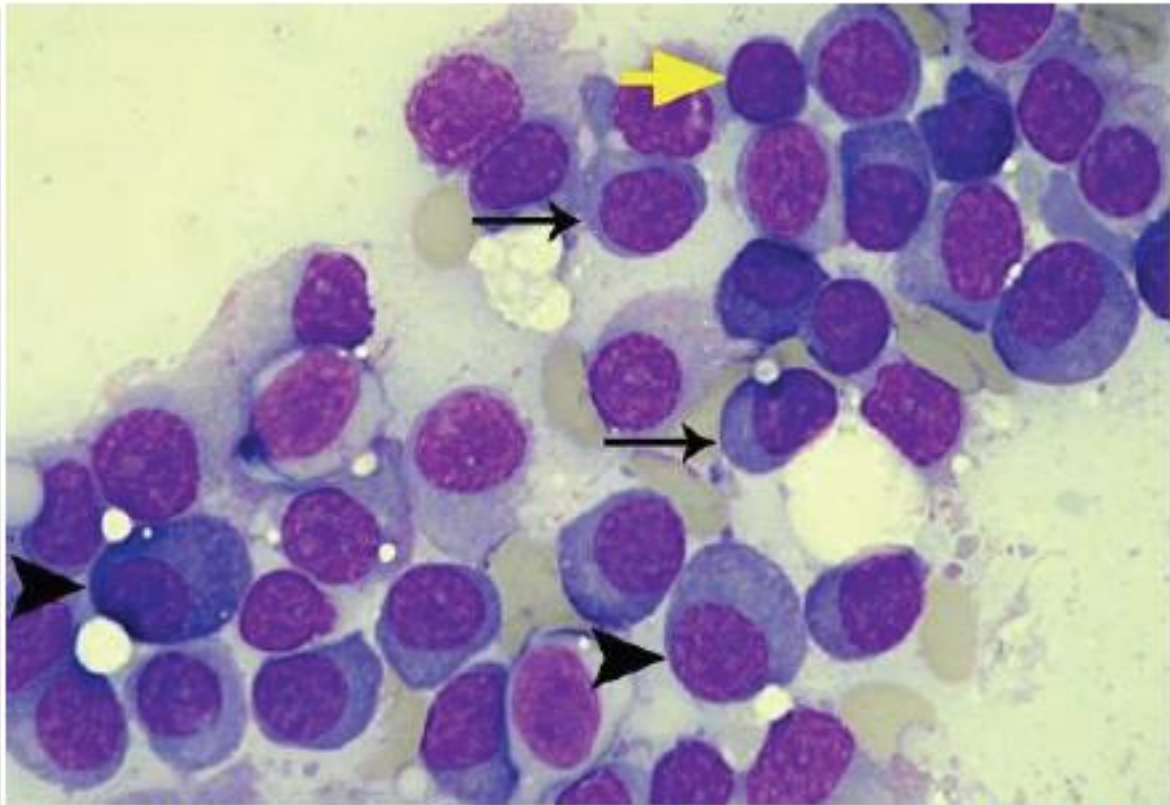
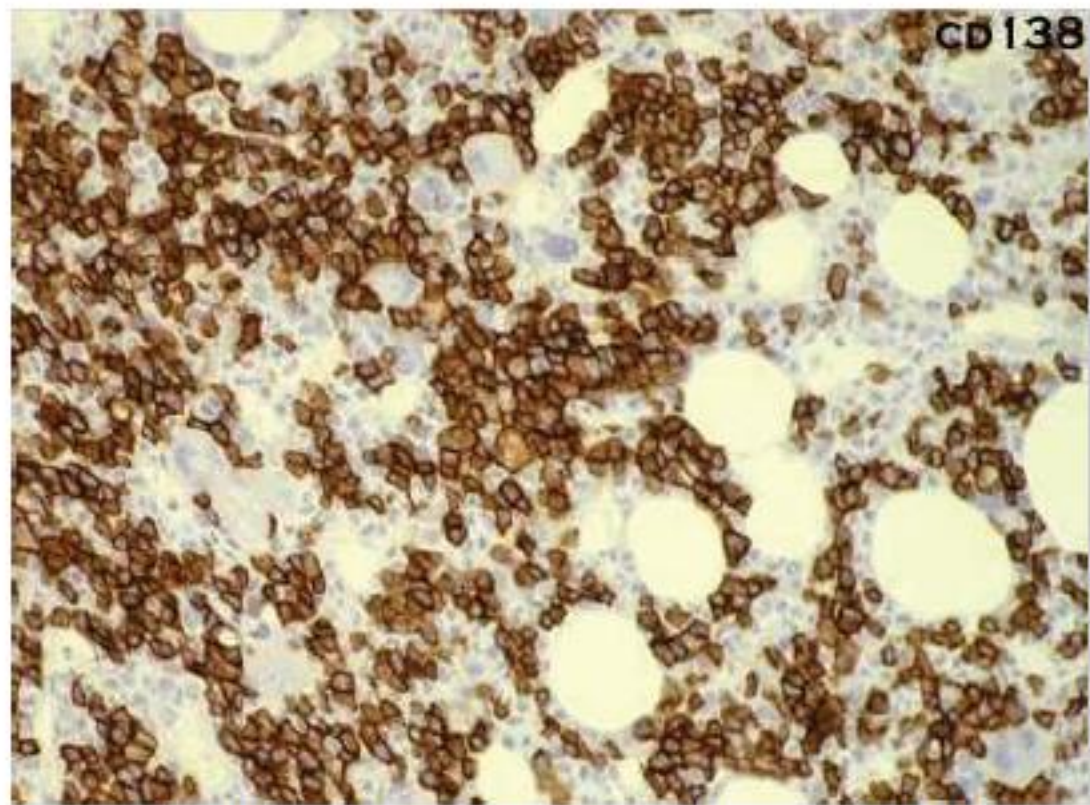




شکل ۱۹۶-۷۷: فاز لوسمیک در یک بیمار مبتلا به WM که در آن، خون و BM انبوی از سلول‌های لنفوسیت و لنفوپلاسموئید را نشان می‌دهد، سلول‌های لنفوپلاسموستیتوئید خصوصیات توأم لنفوسیت و پلاسماسل را نشان می‌دهند.

Lymphoplasmacytic lukemia

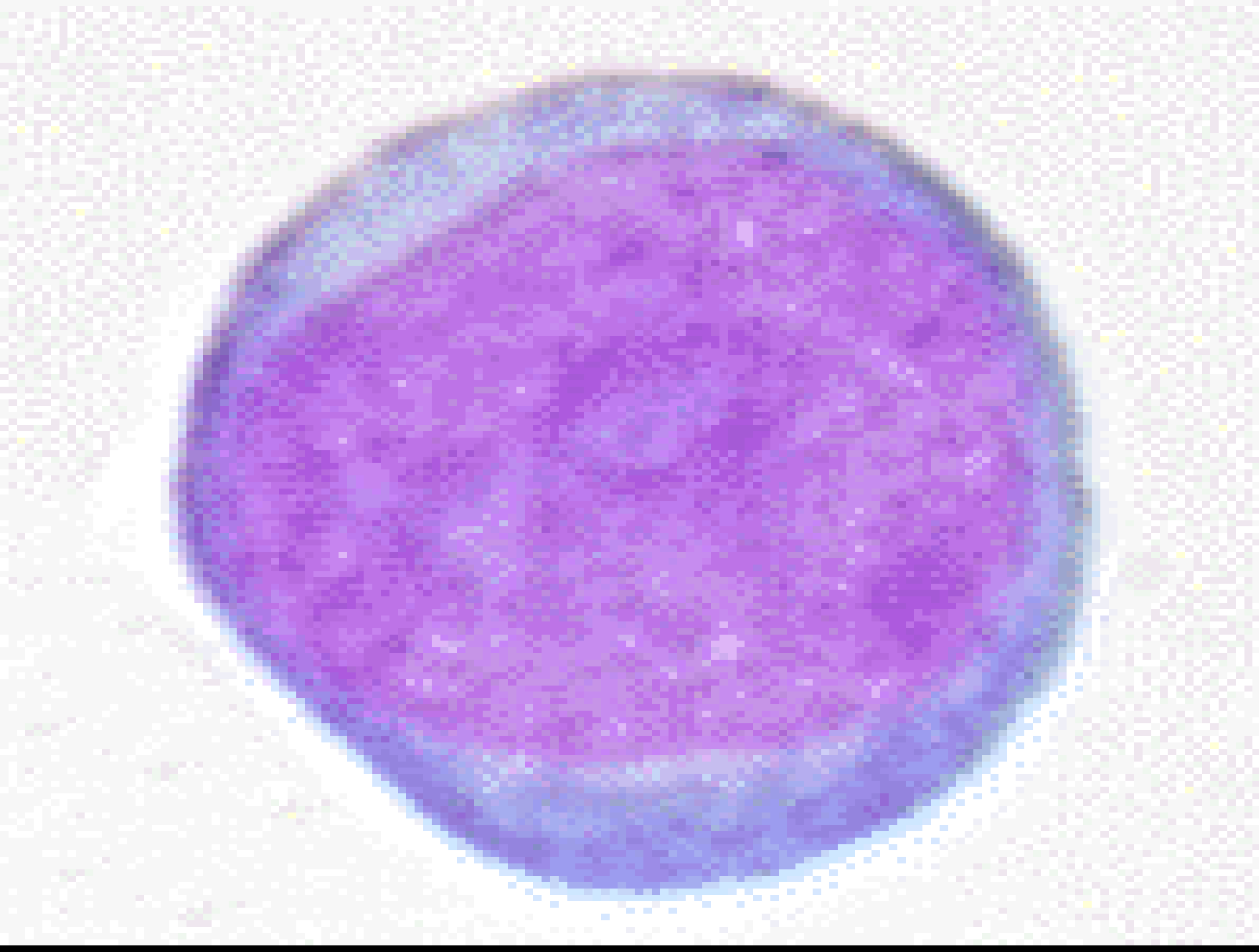


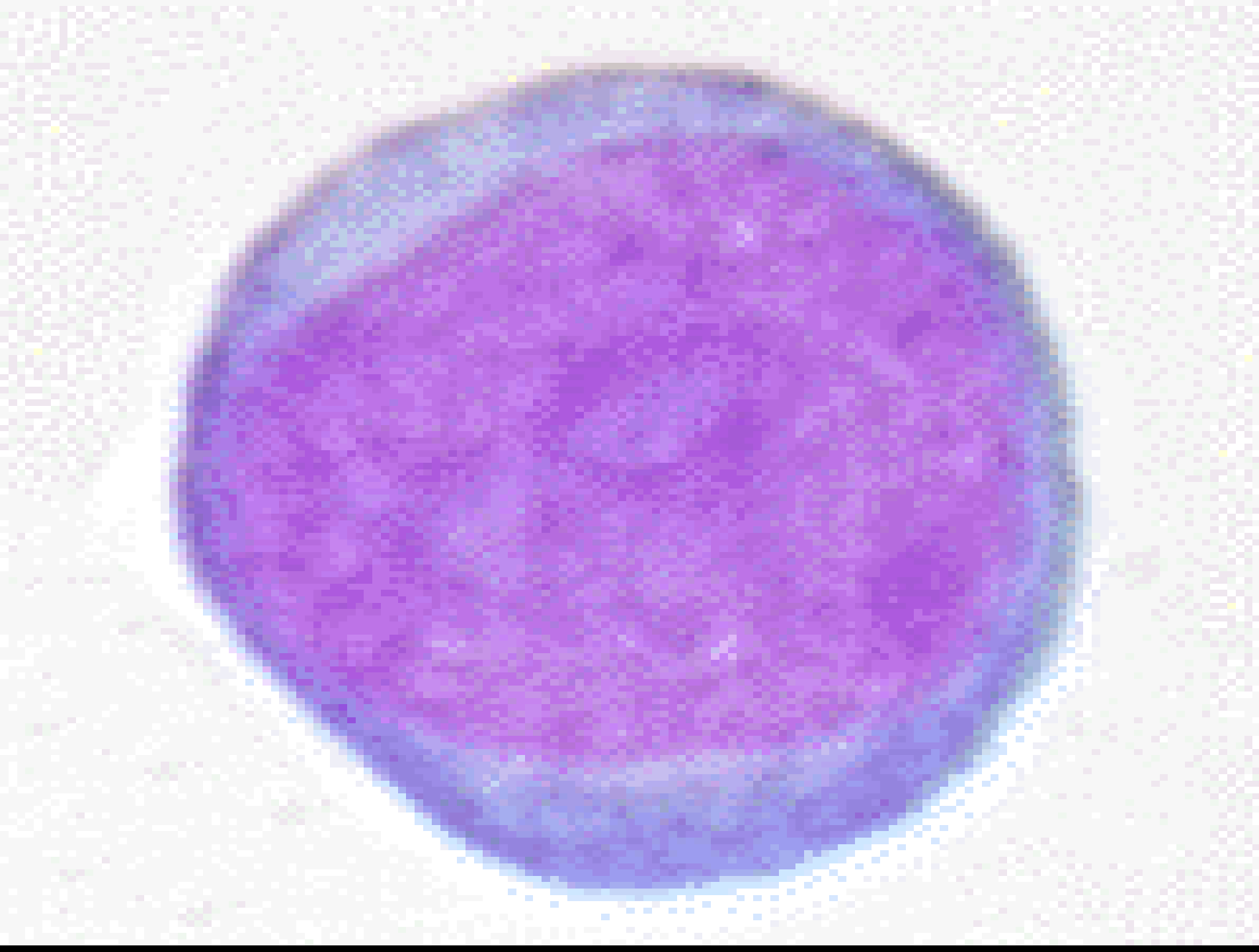


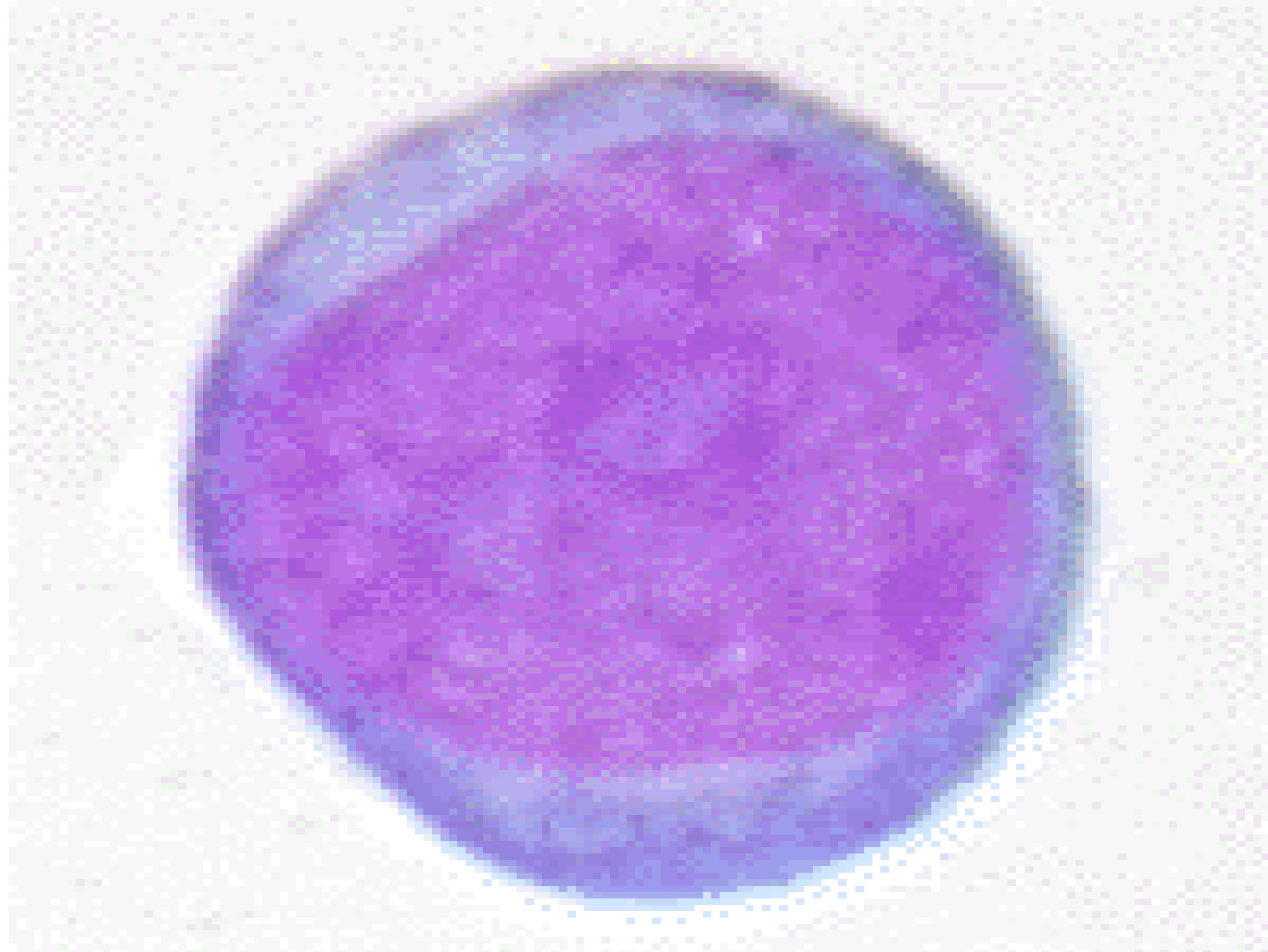
شکل ۷۷-۱۹۷: راست) بزرگنمایی از سلول‌های بیمار قبل که در آن لنفوسيت (پیکان زرد)، پلاسماسل (سرپیکان) و لنفوپلاسماسیتوئیدها (پیکان بلند) نشان داده شده است. چپ) رنگآمیزی IHC یا ایمونوپرتوشیمی با CD138 که در آن عده سلول‌ها واکنش مثبت نشان می‌دهند و اغلب به صورت کلaster دیده می‌شوند.

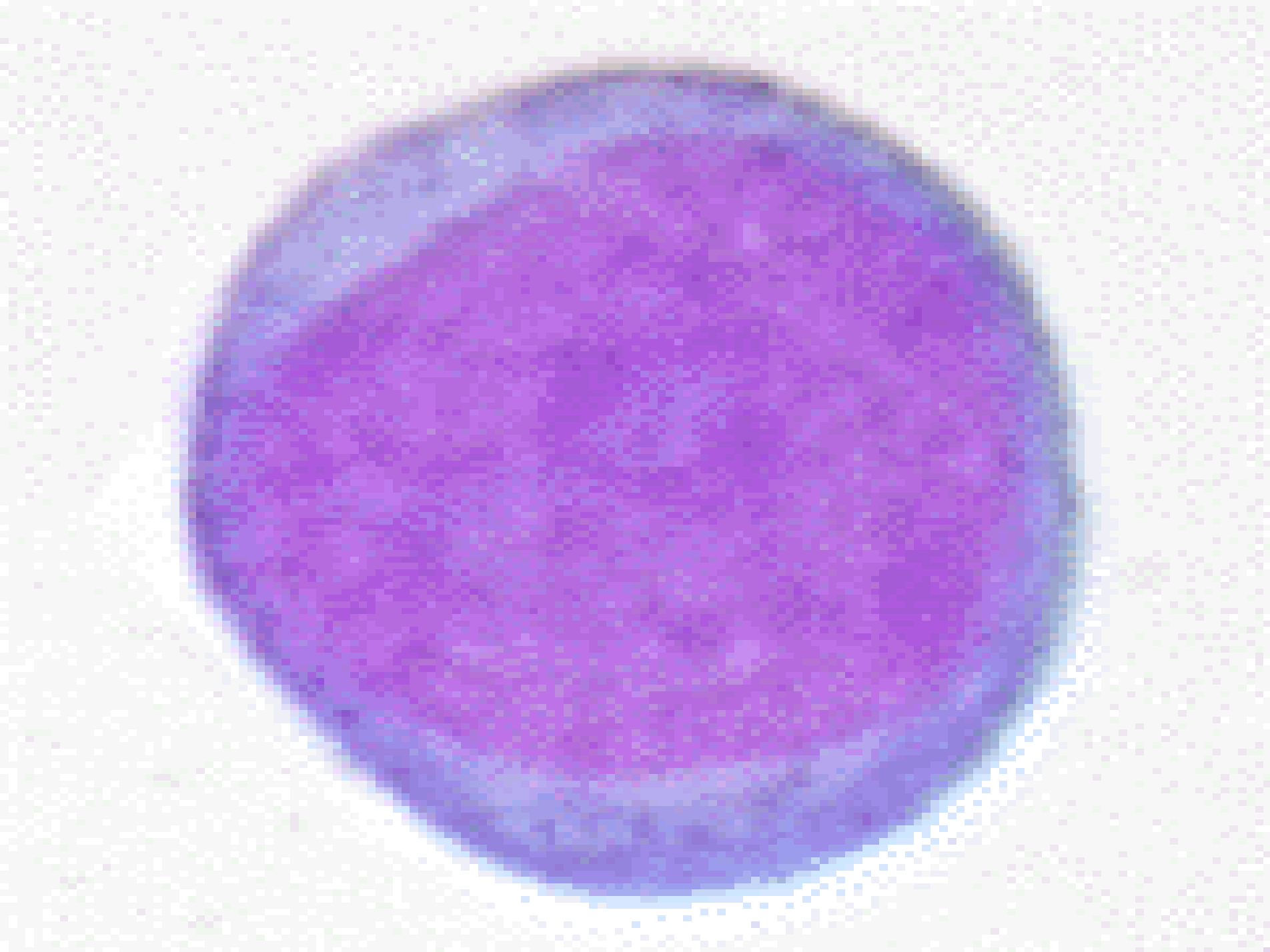
Myeloide Lineage

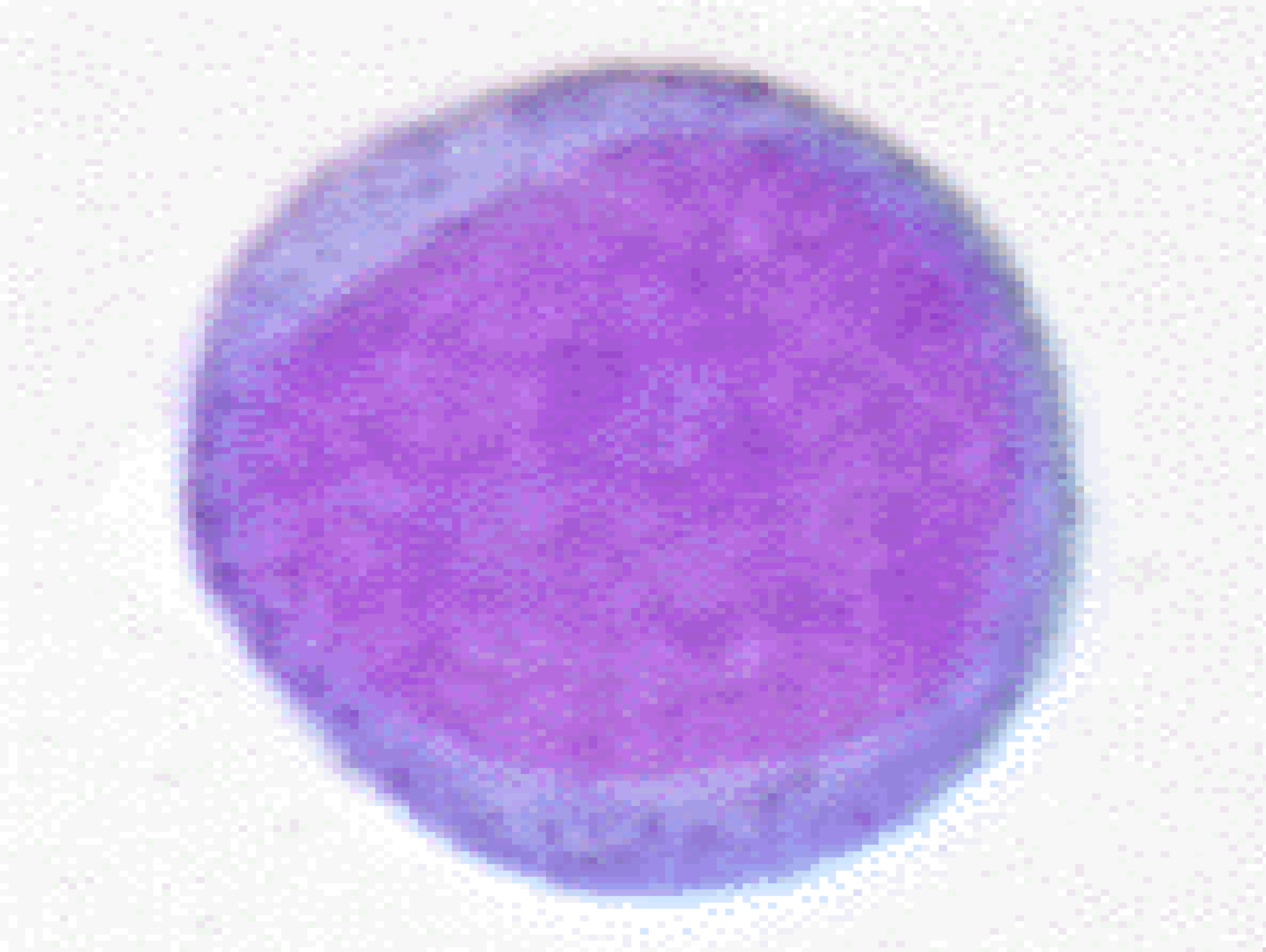
• ميلوبلاست

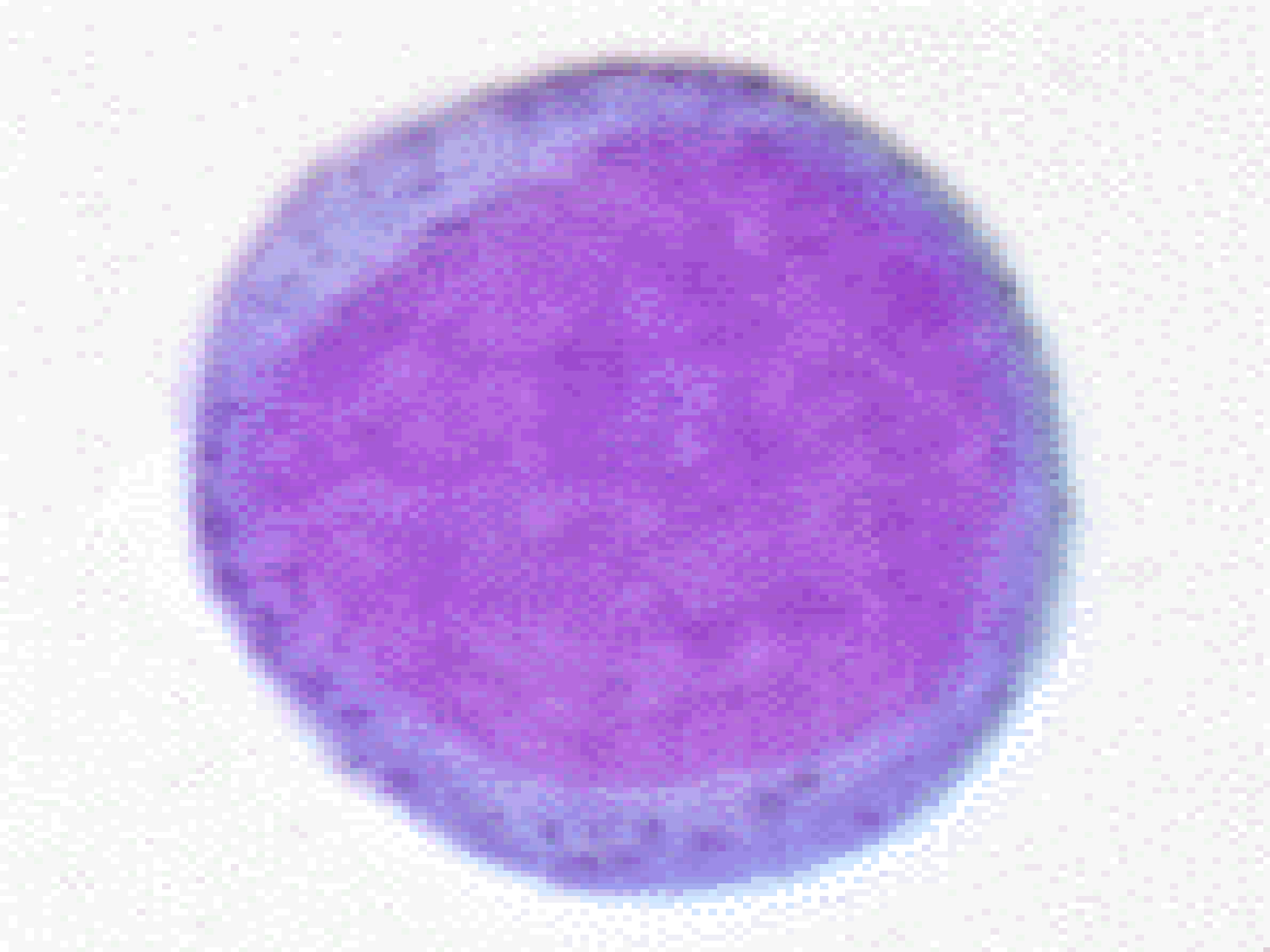


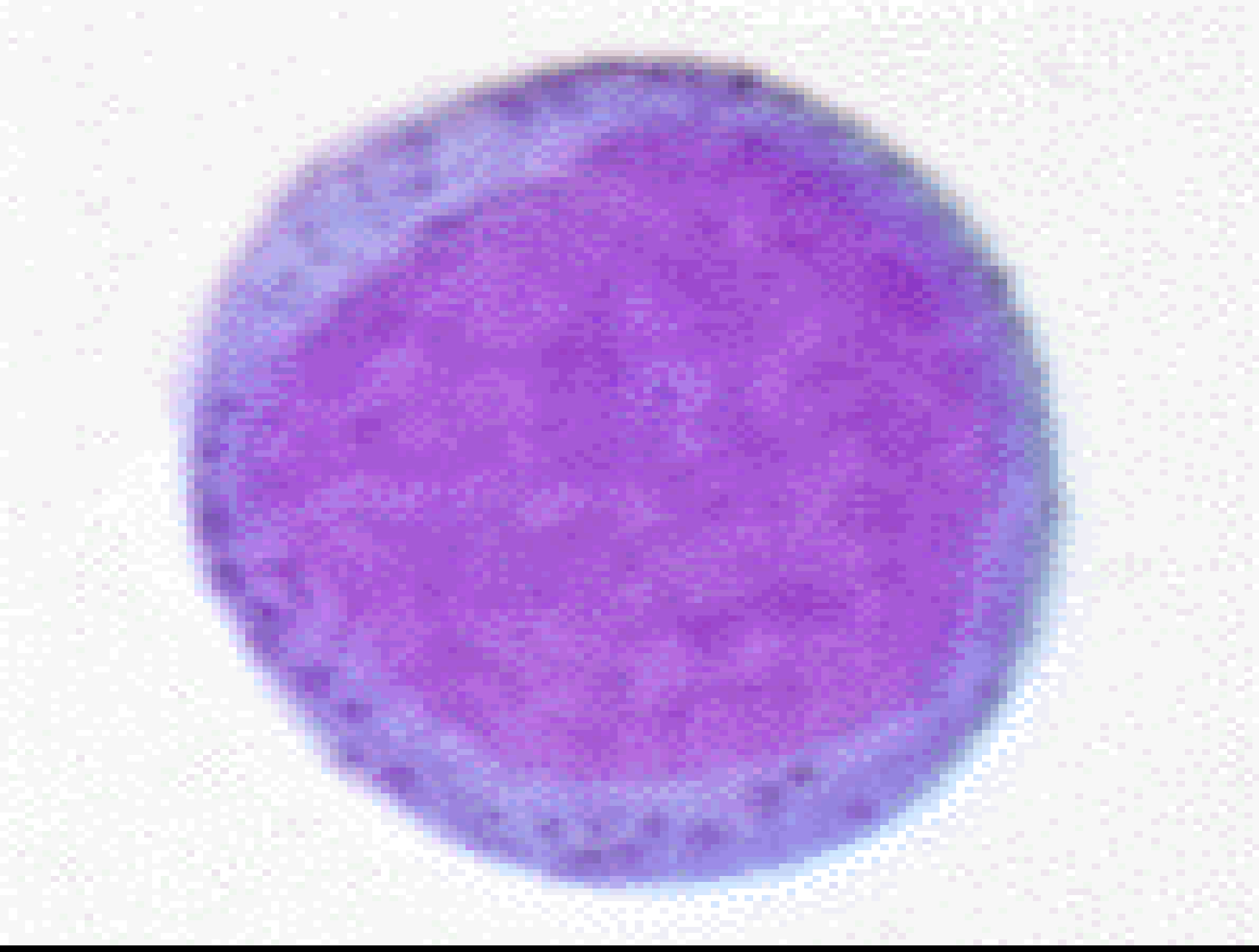


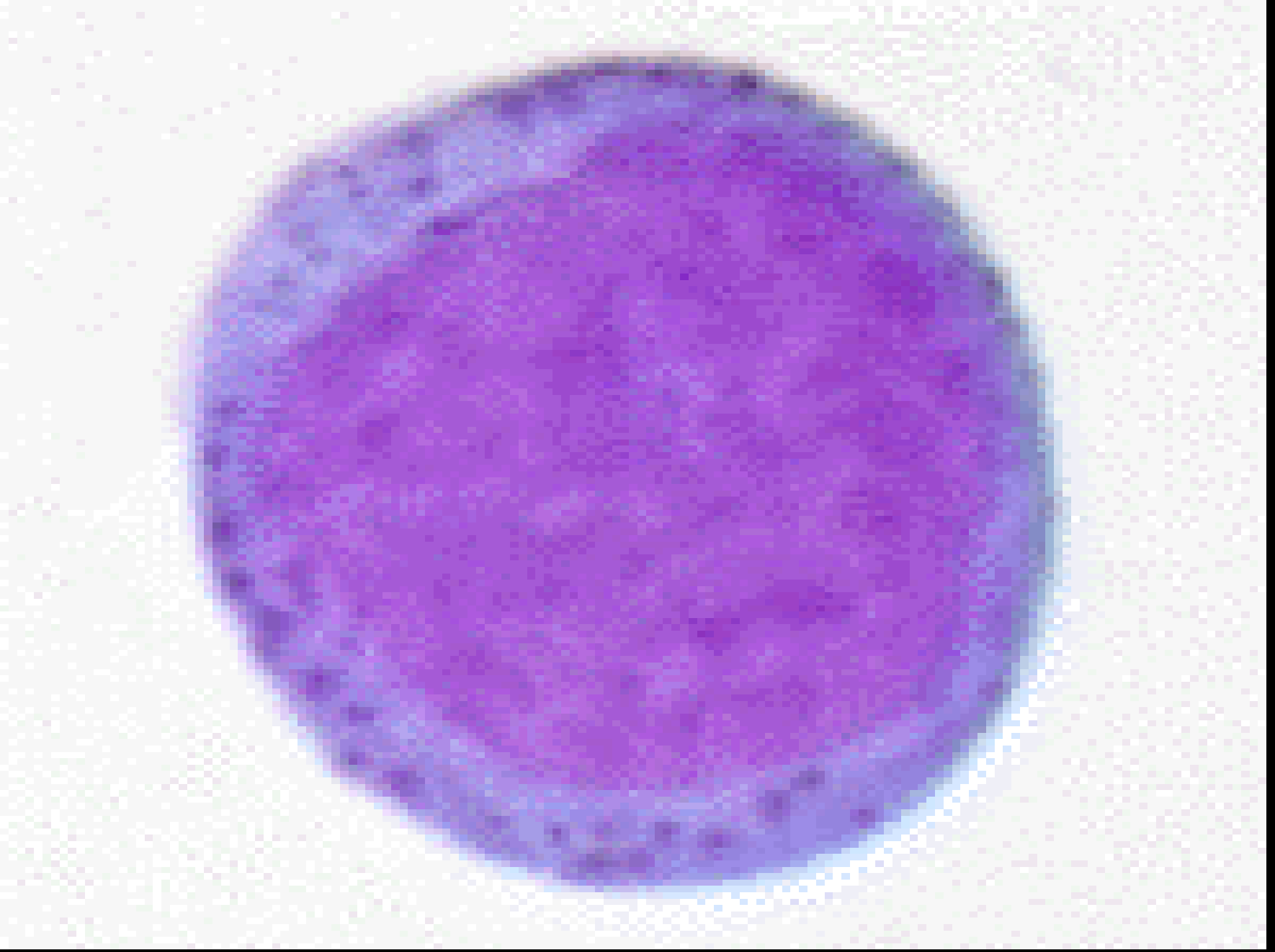


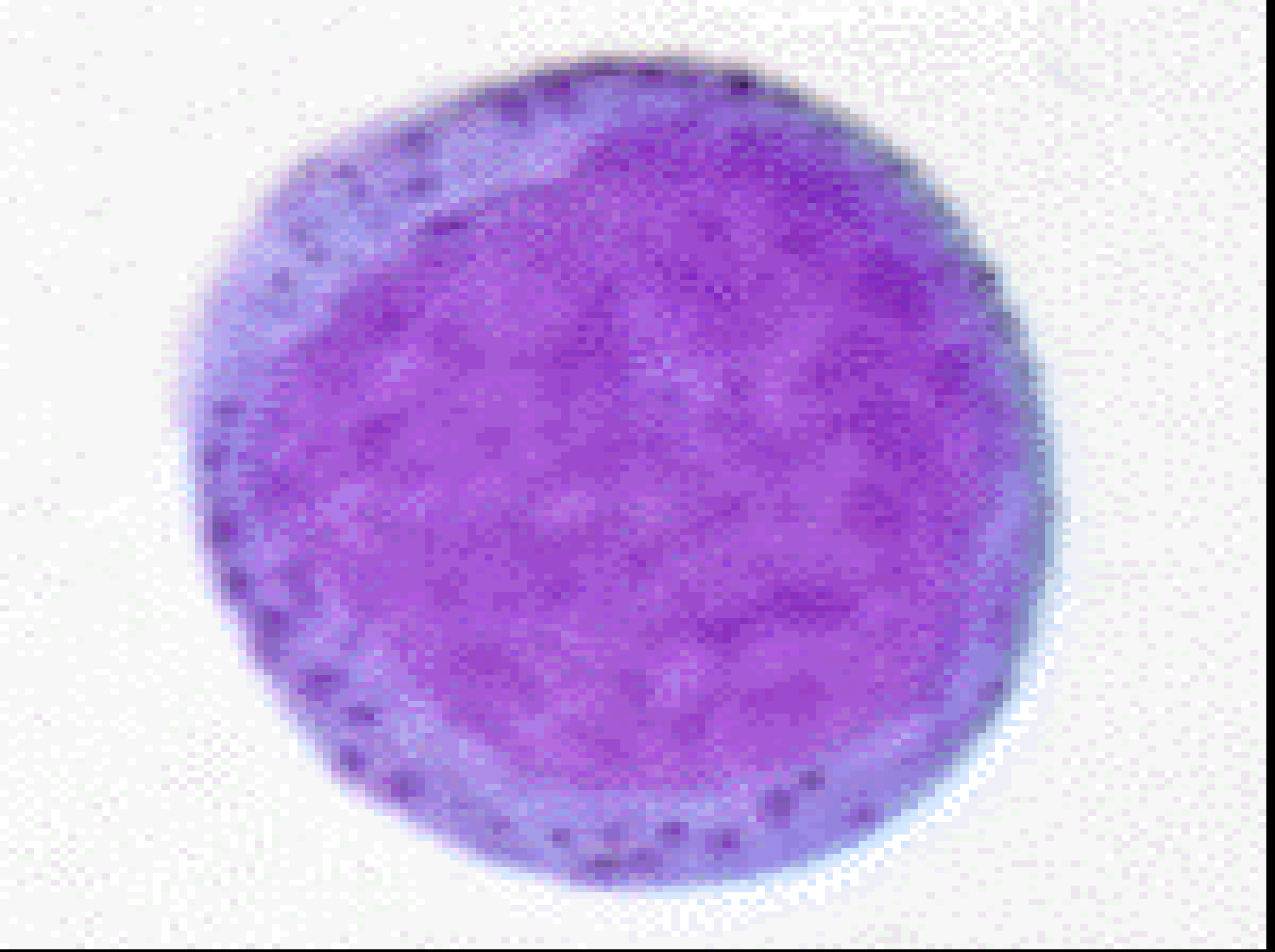


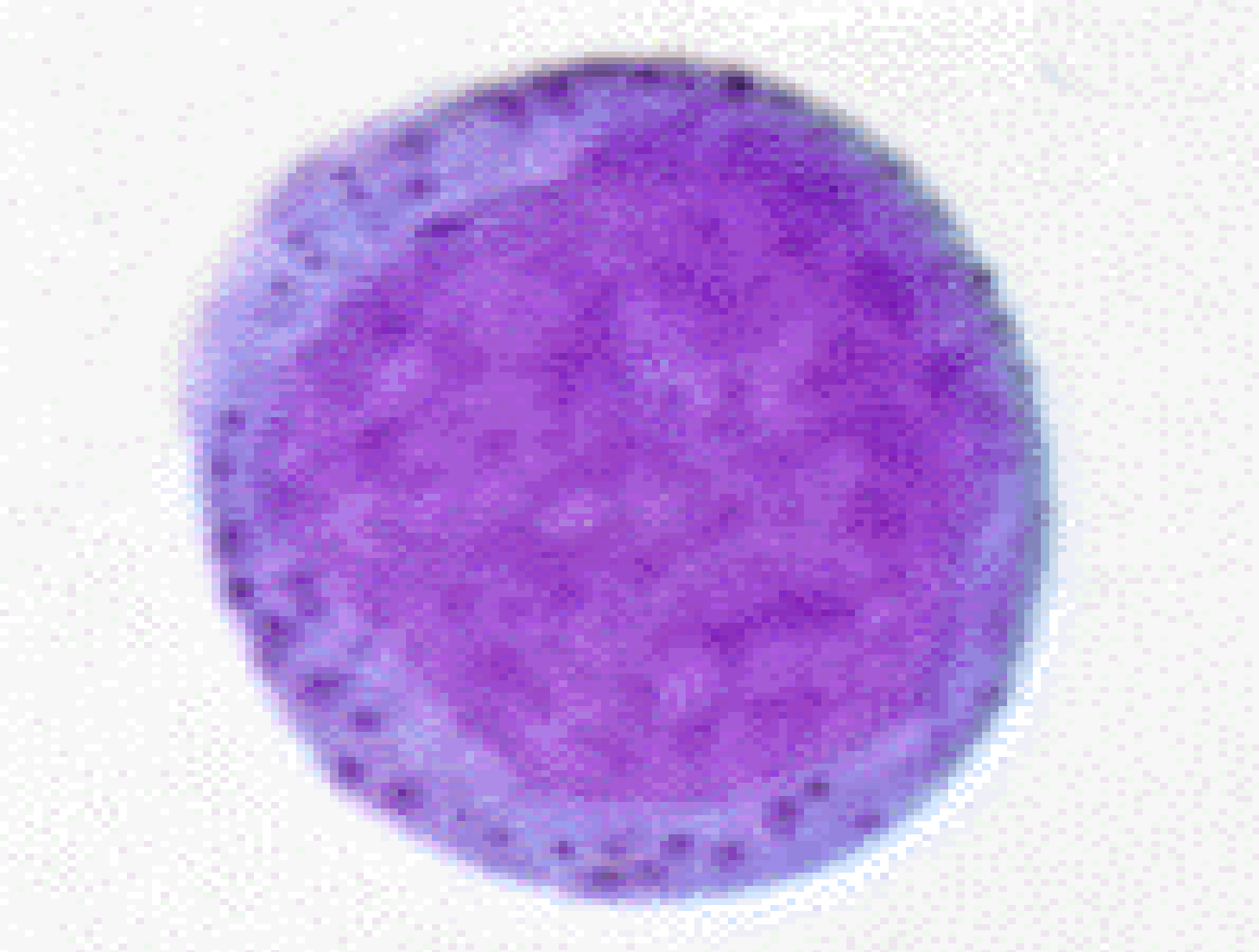


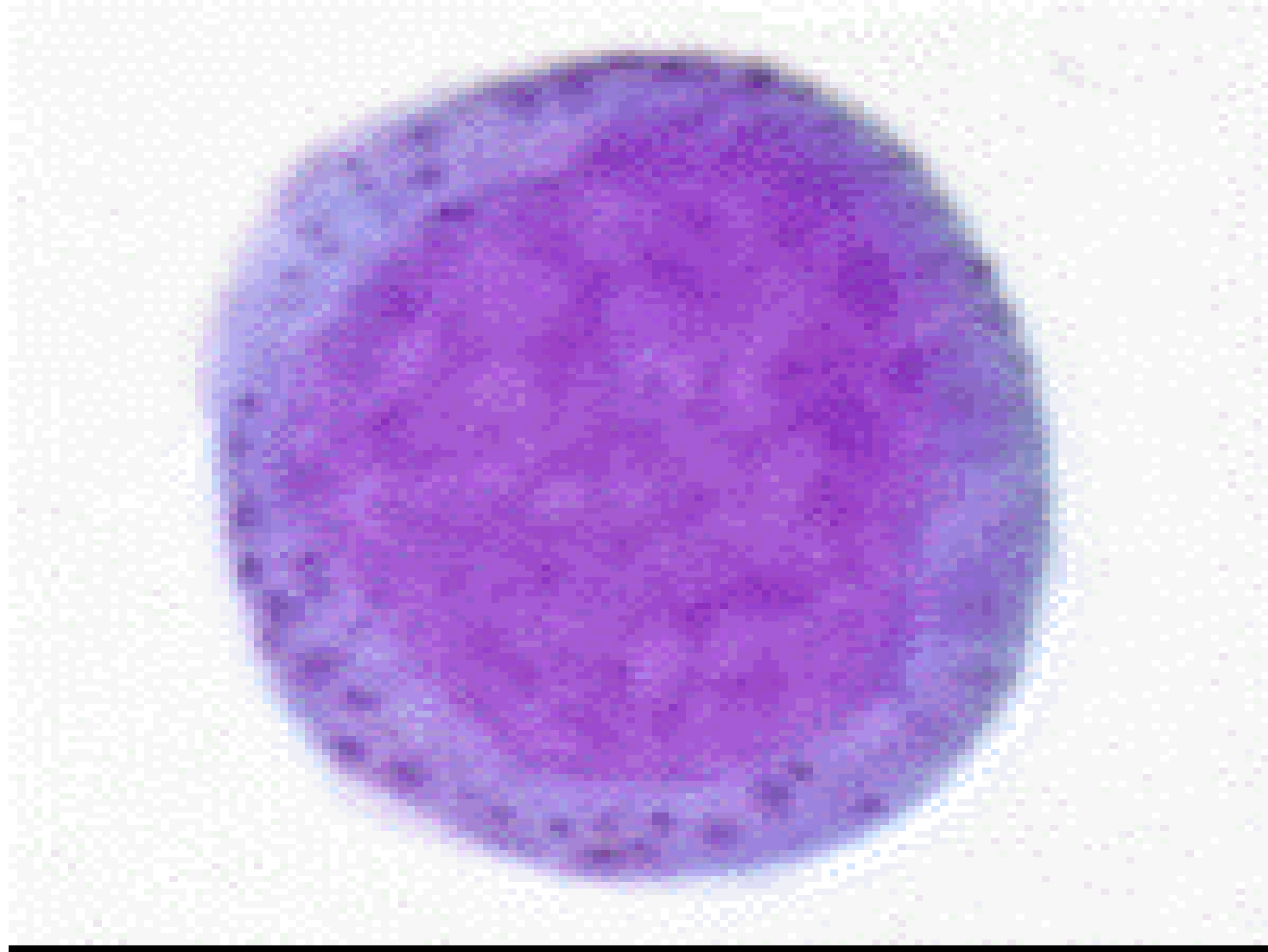


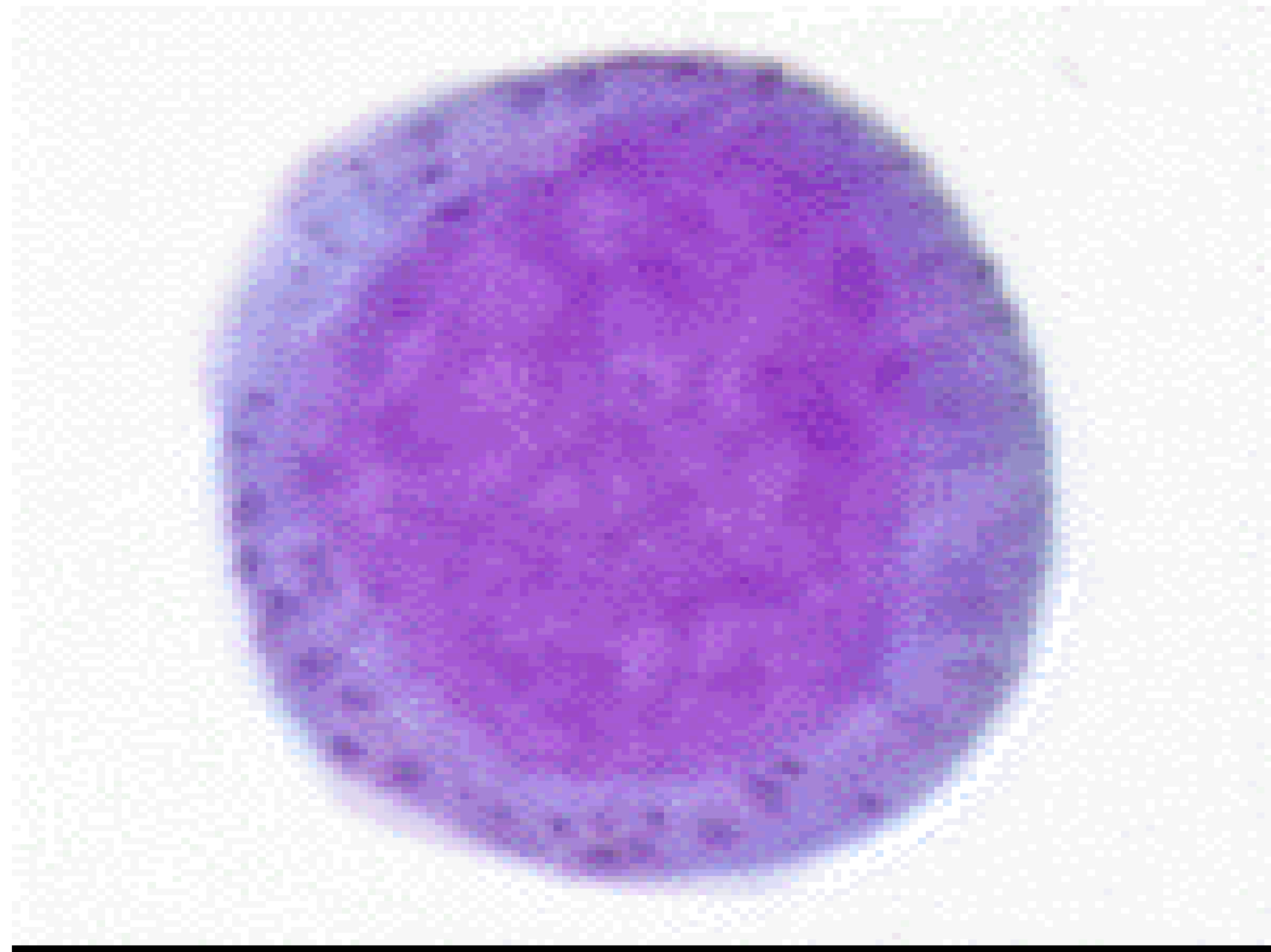


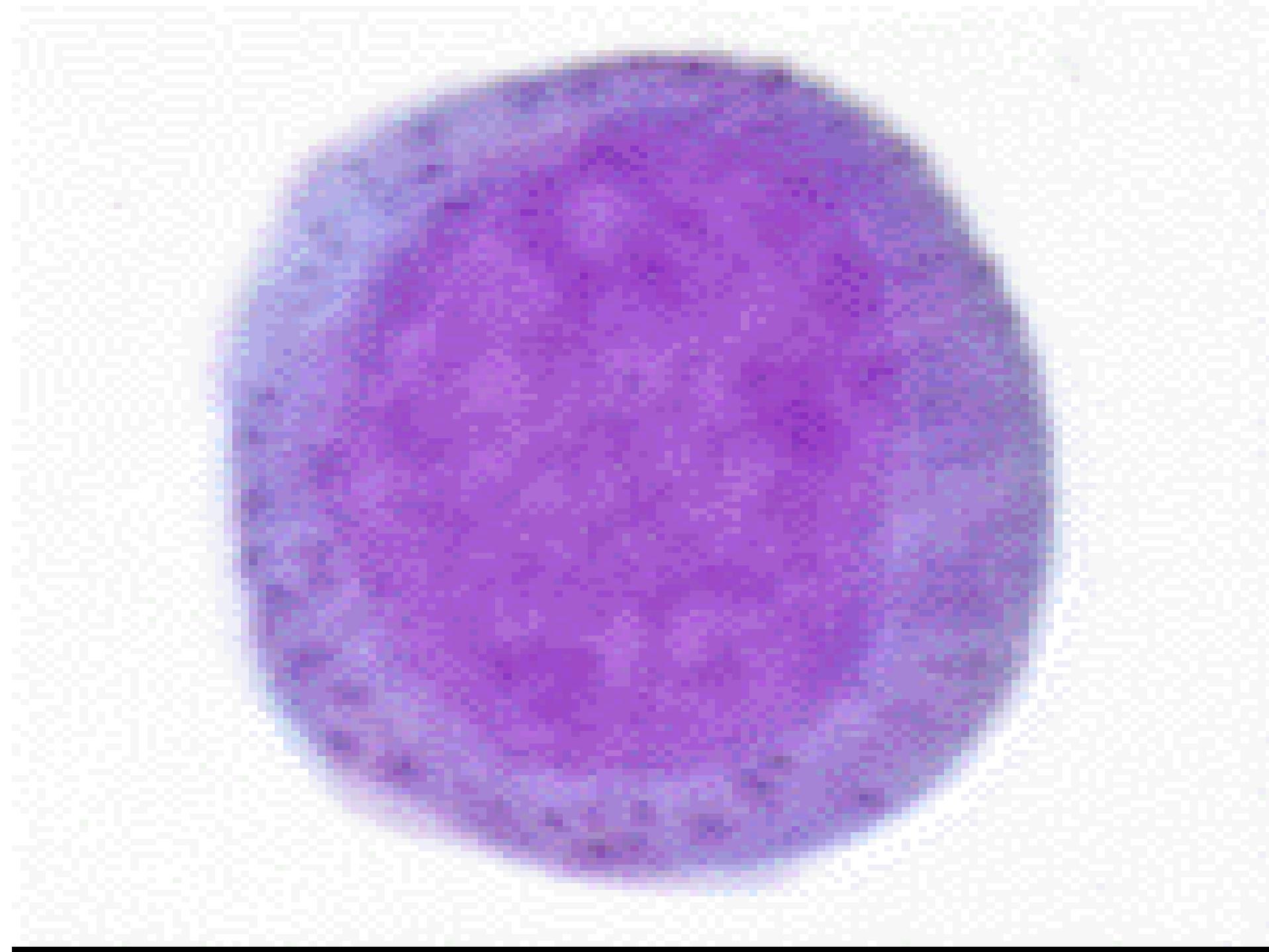


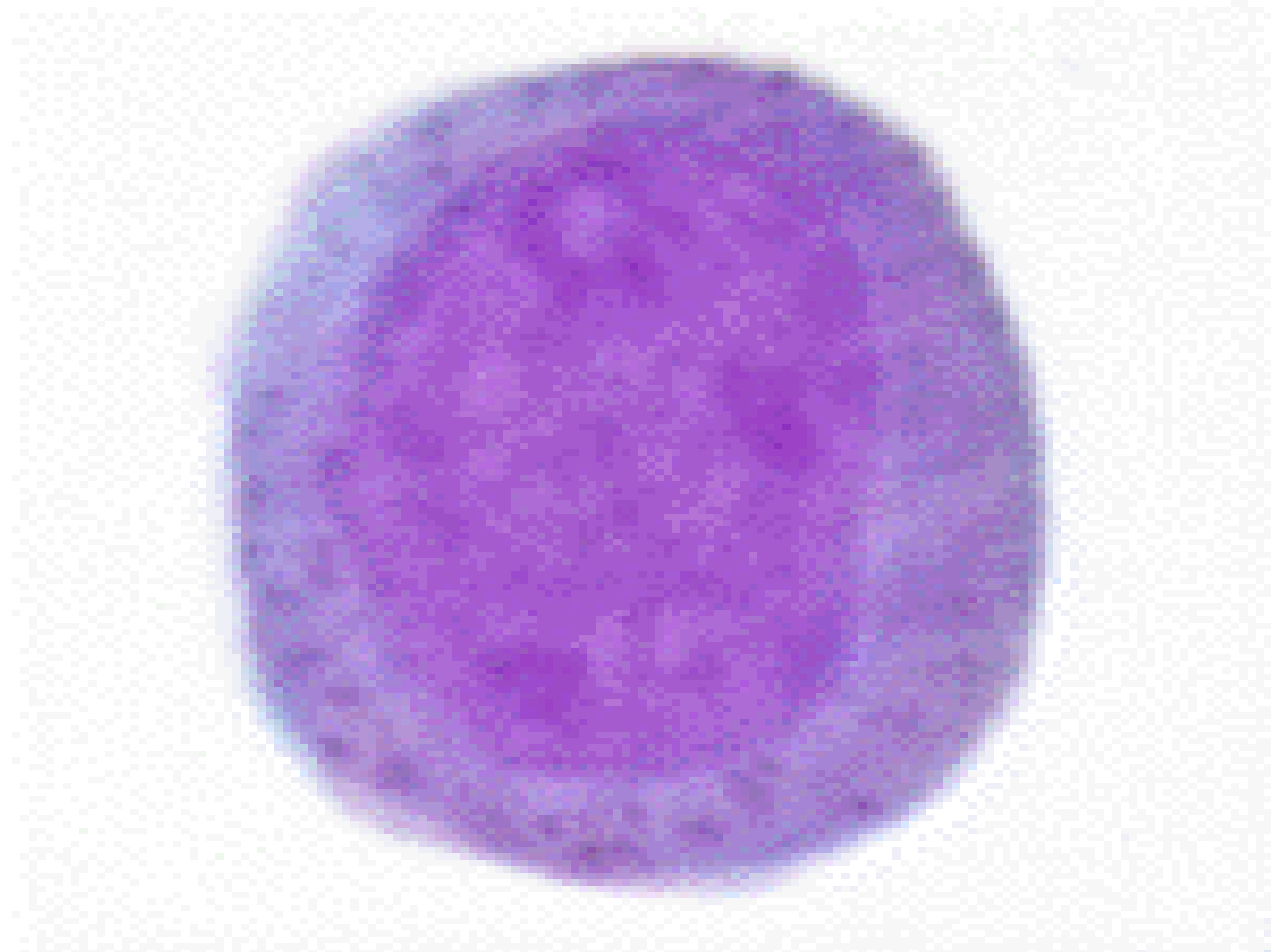


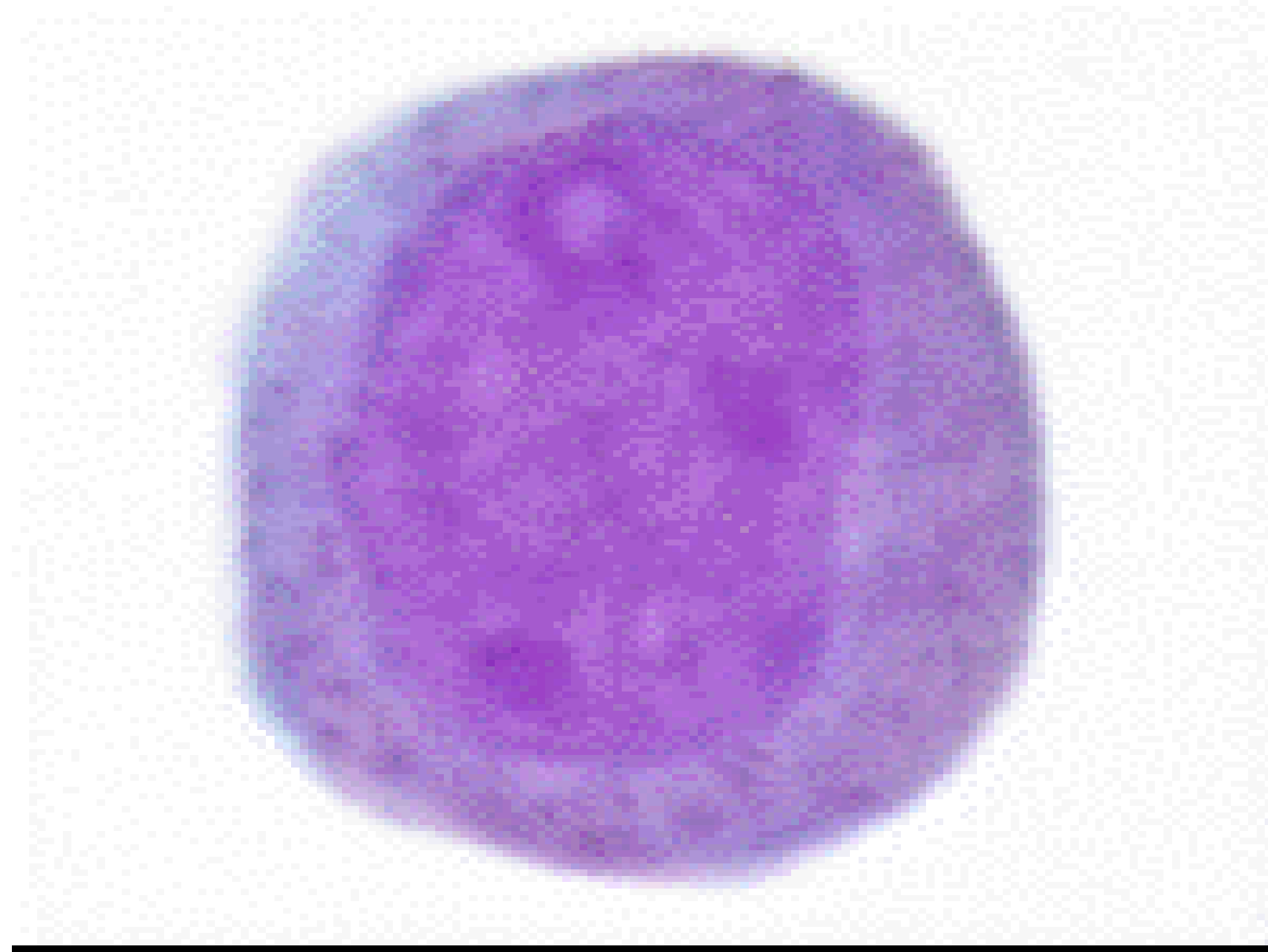


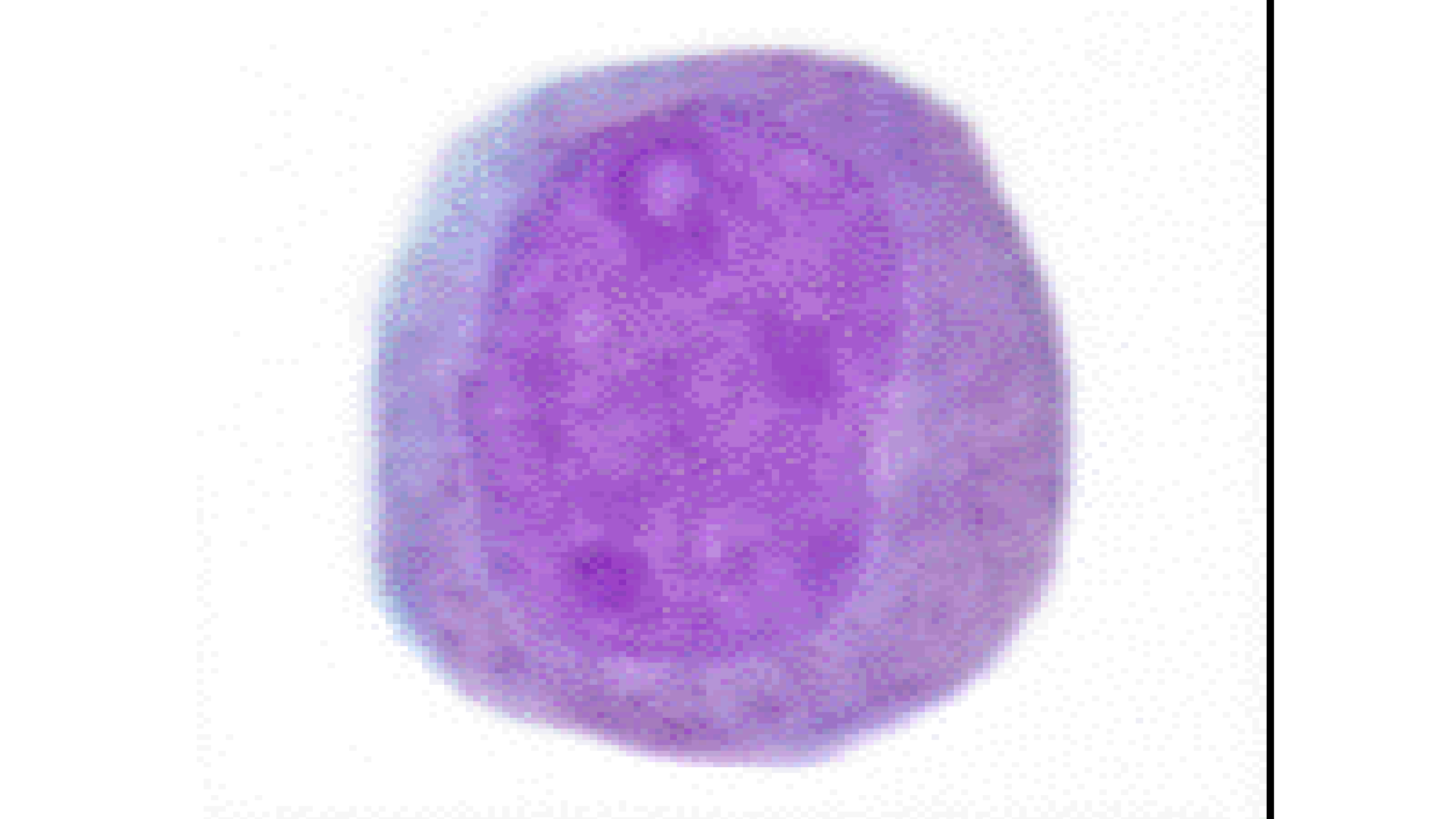


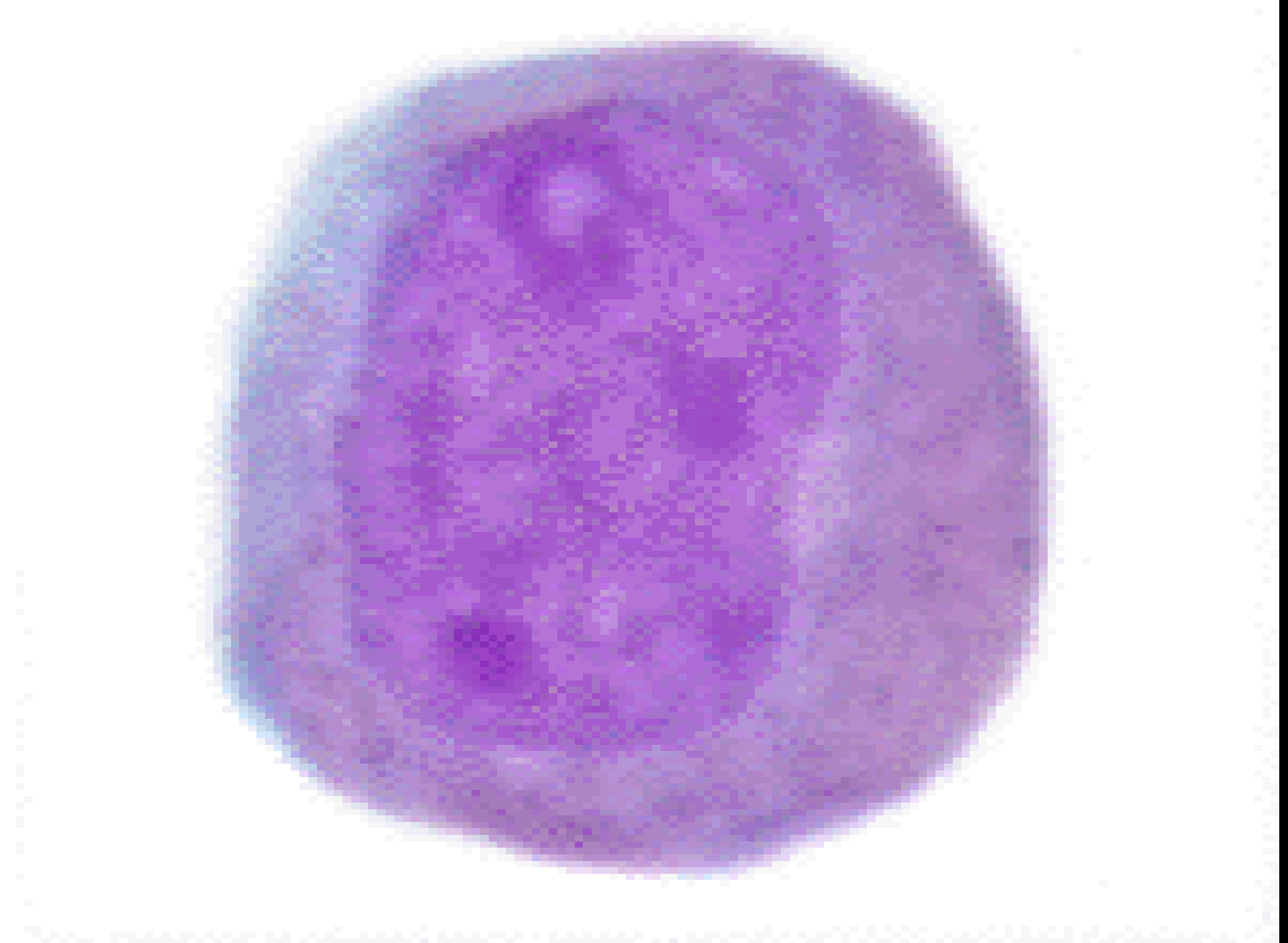


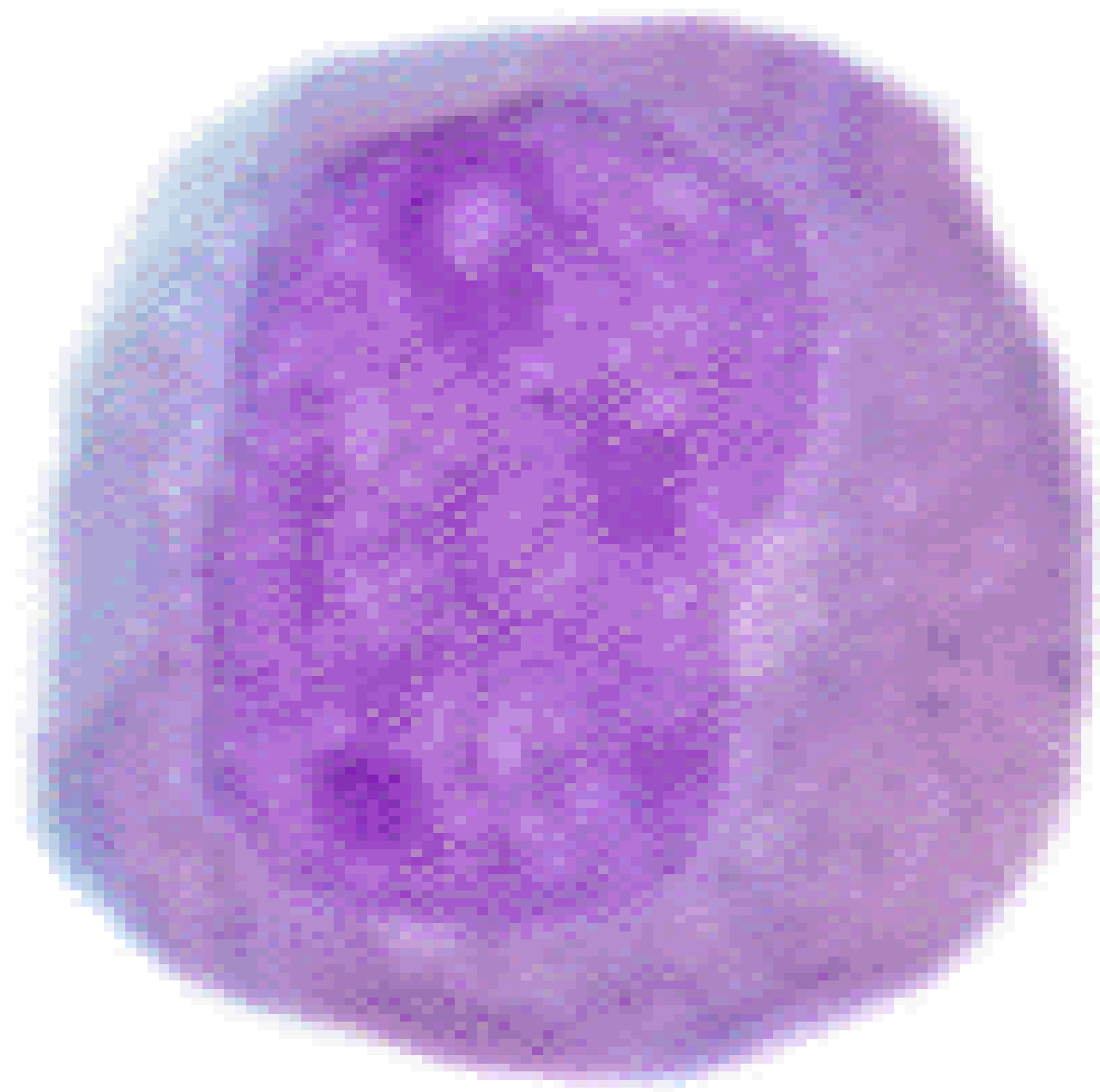












1

2

3

4

5

6

1

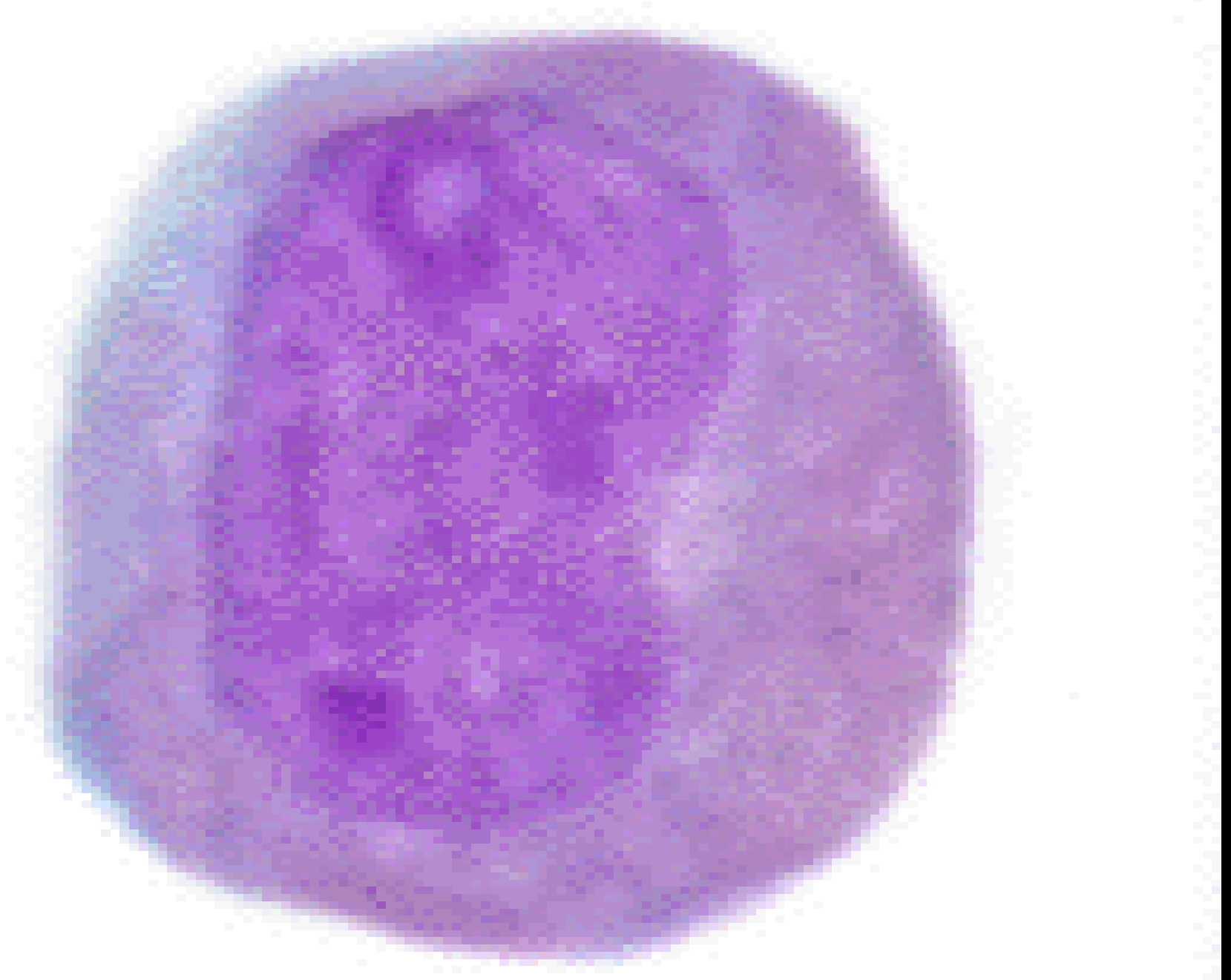
2

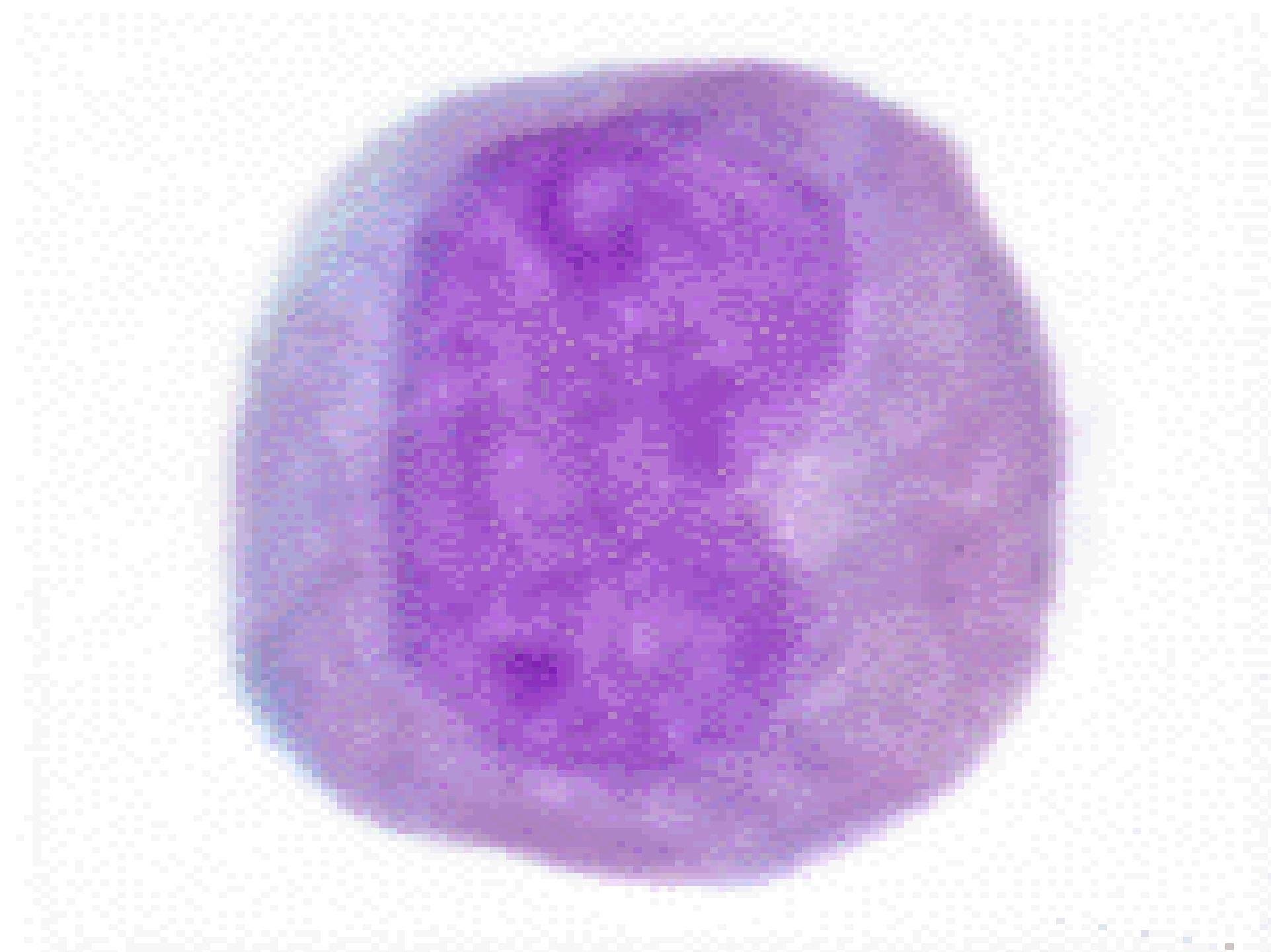
3

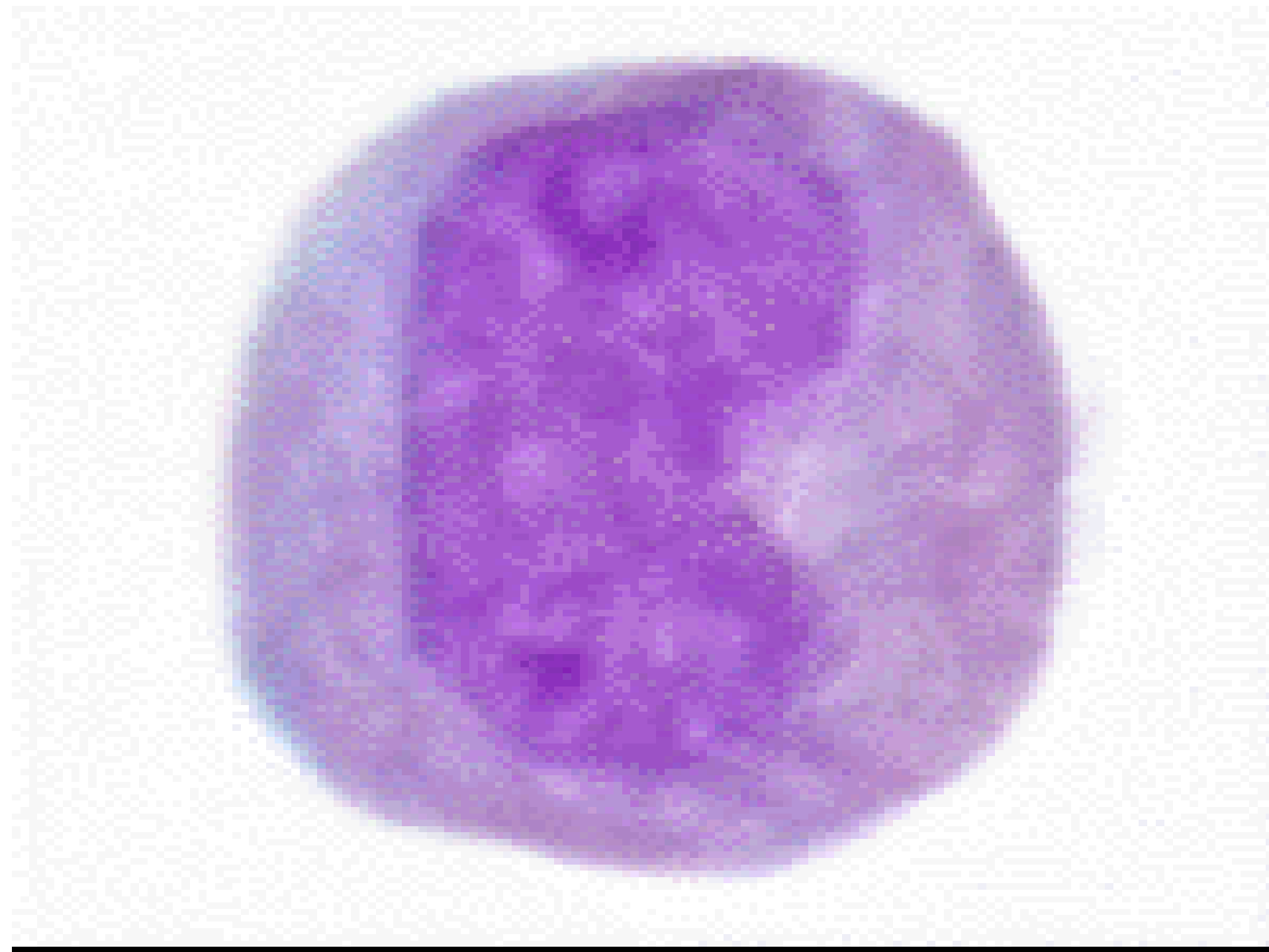
4

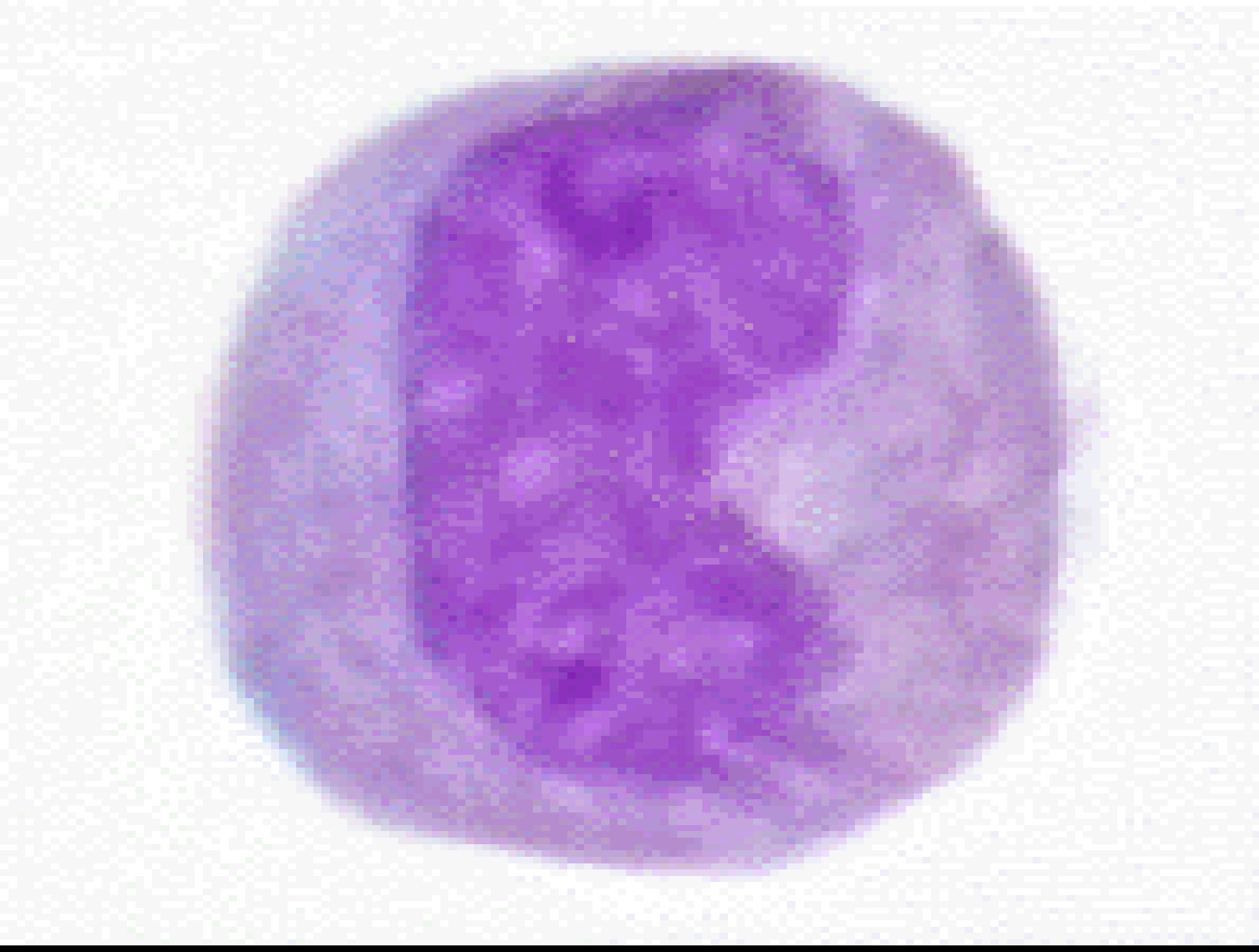
5

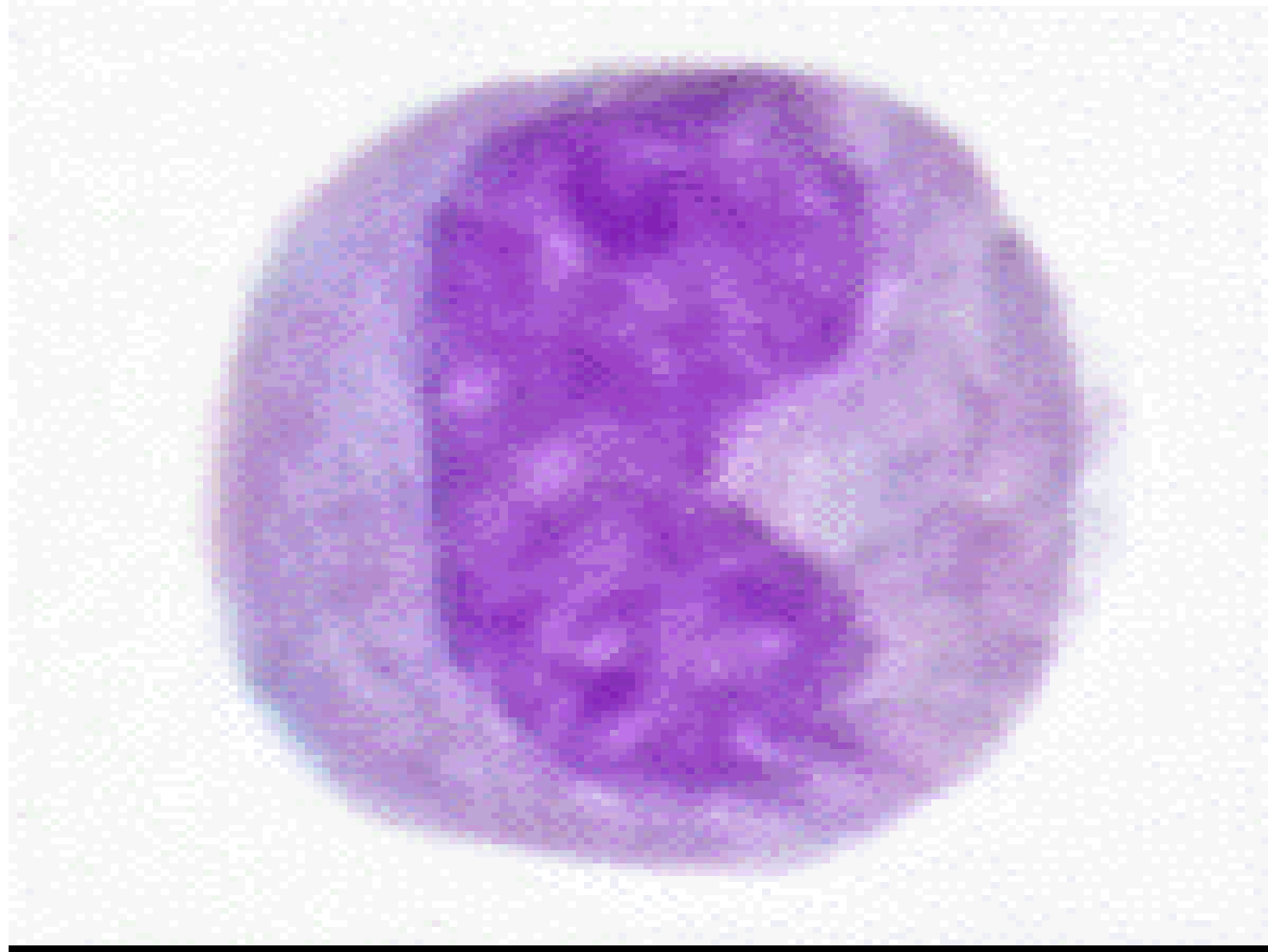
6

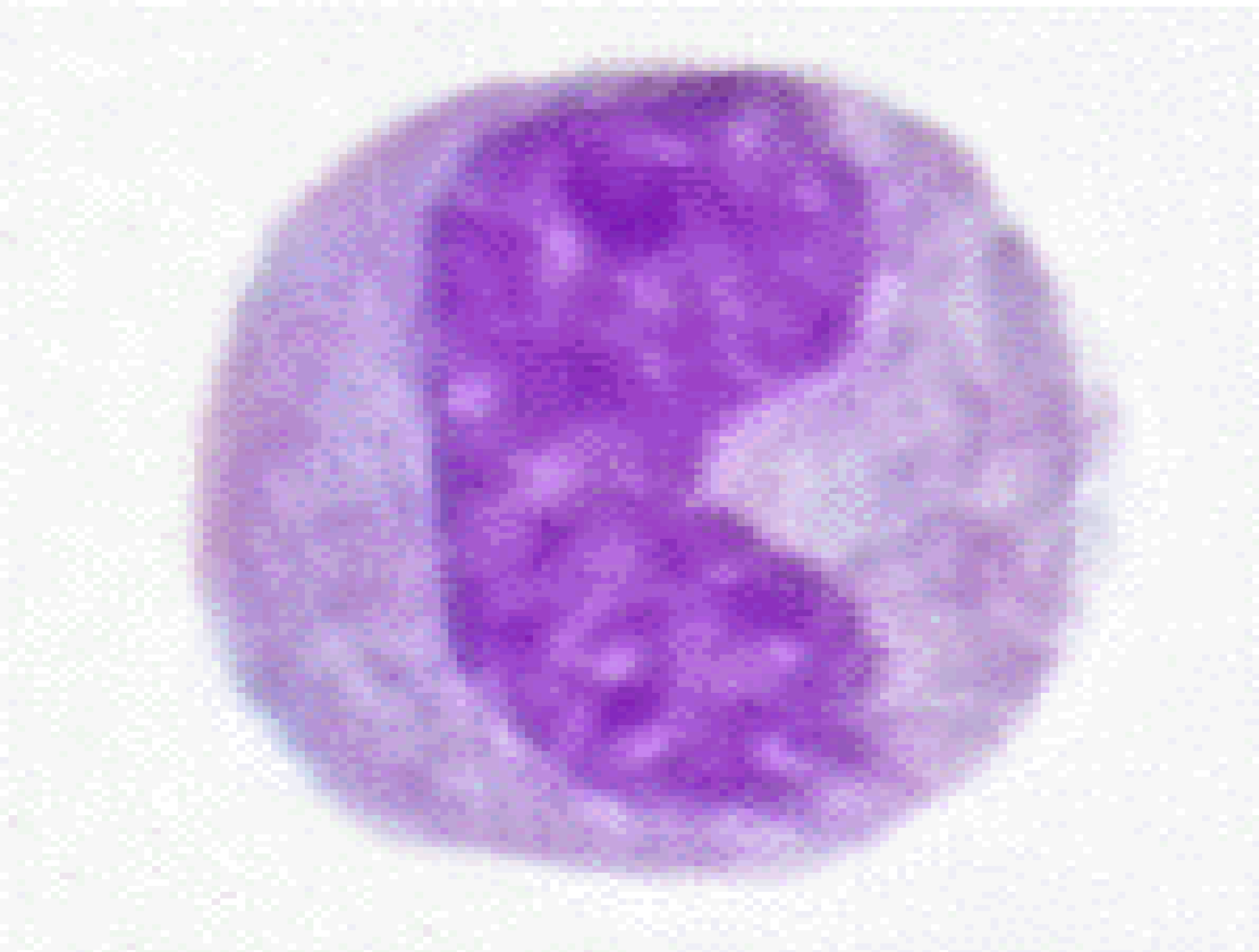


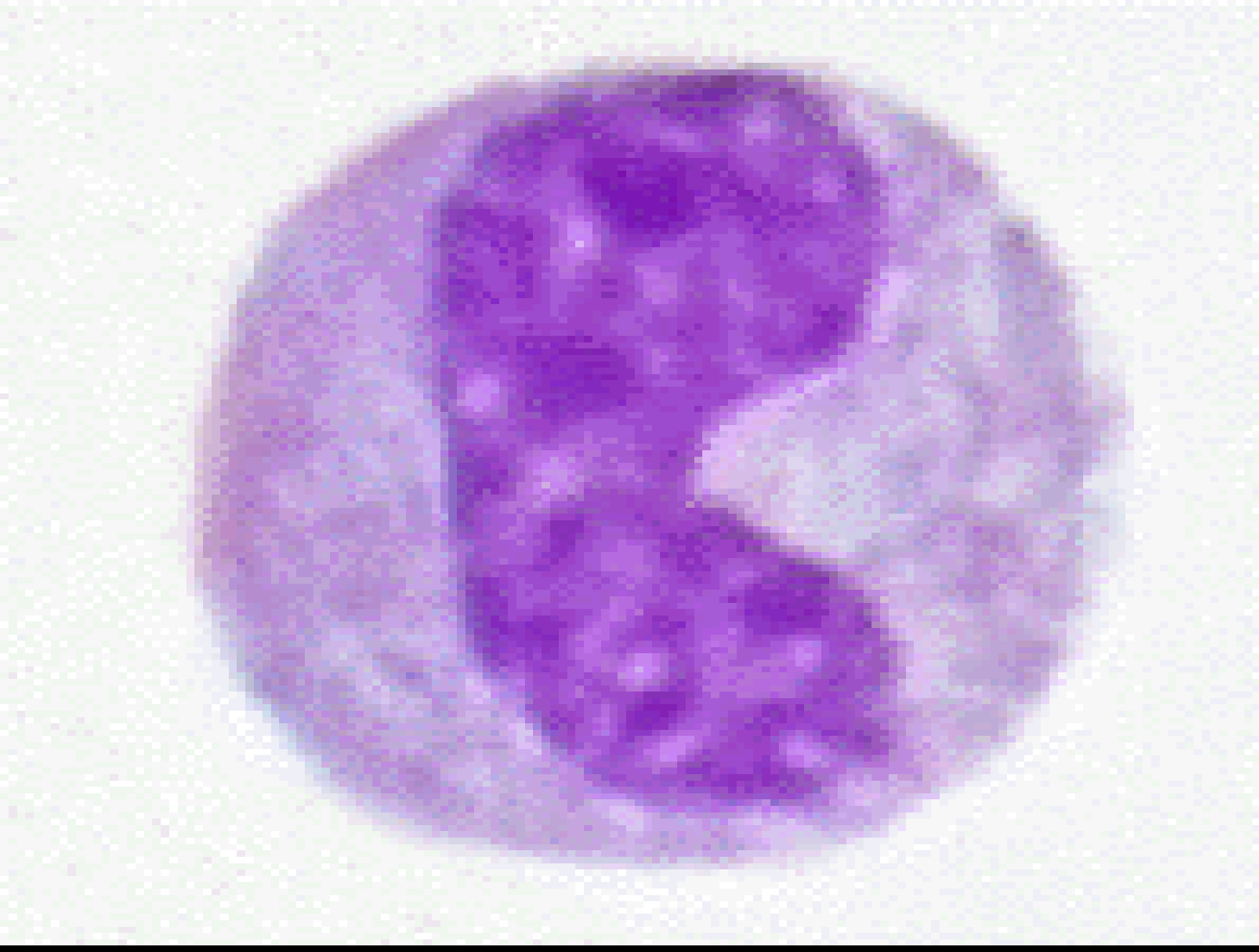




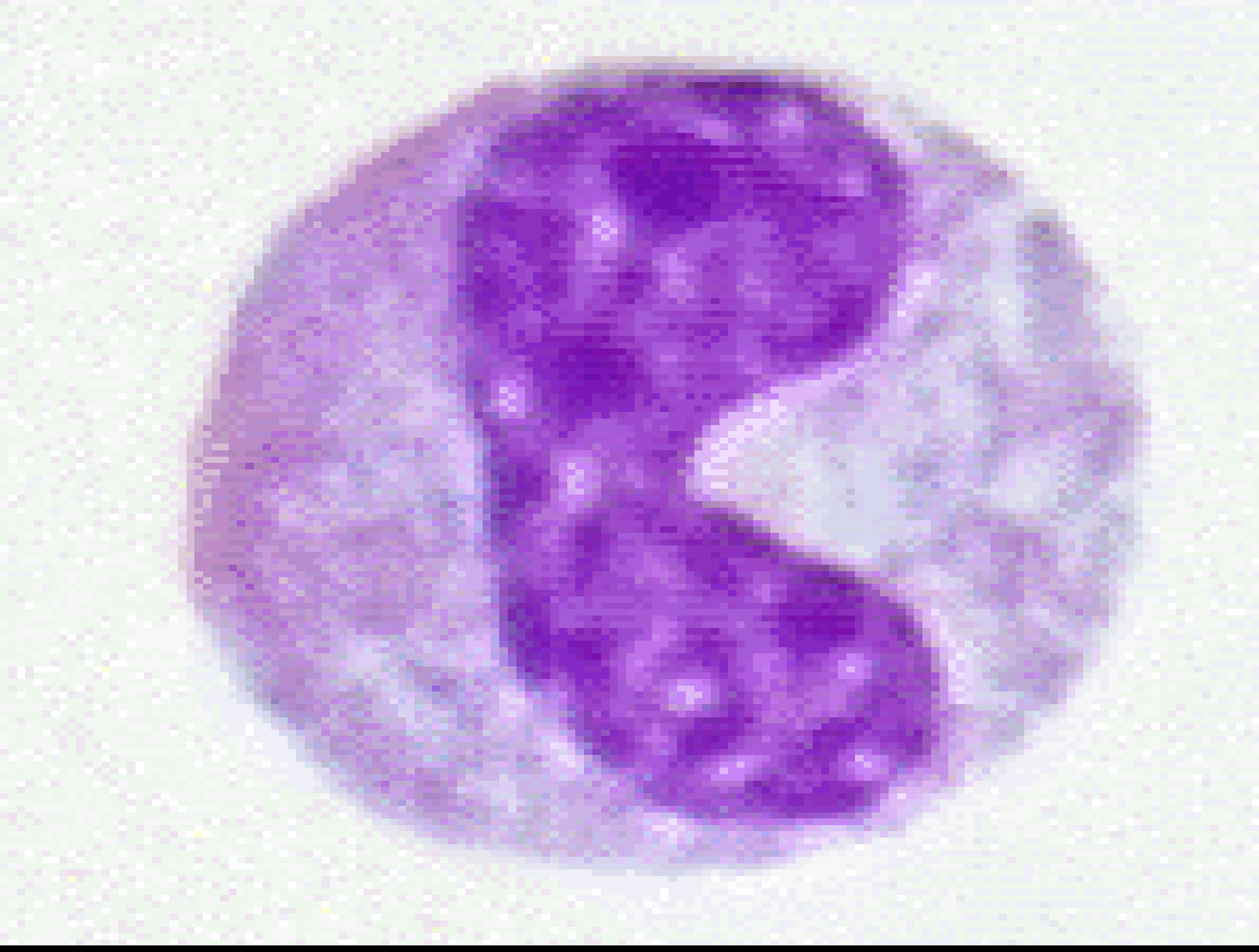




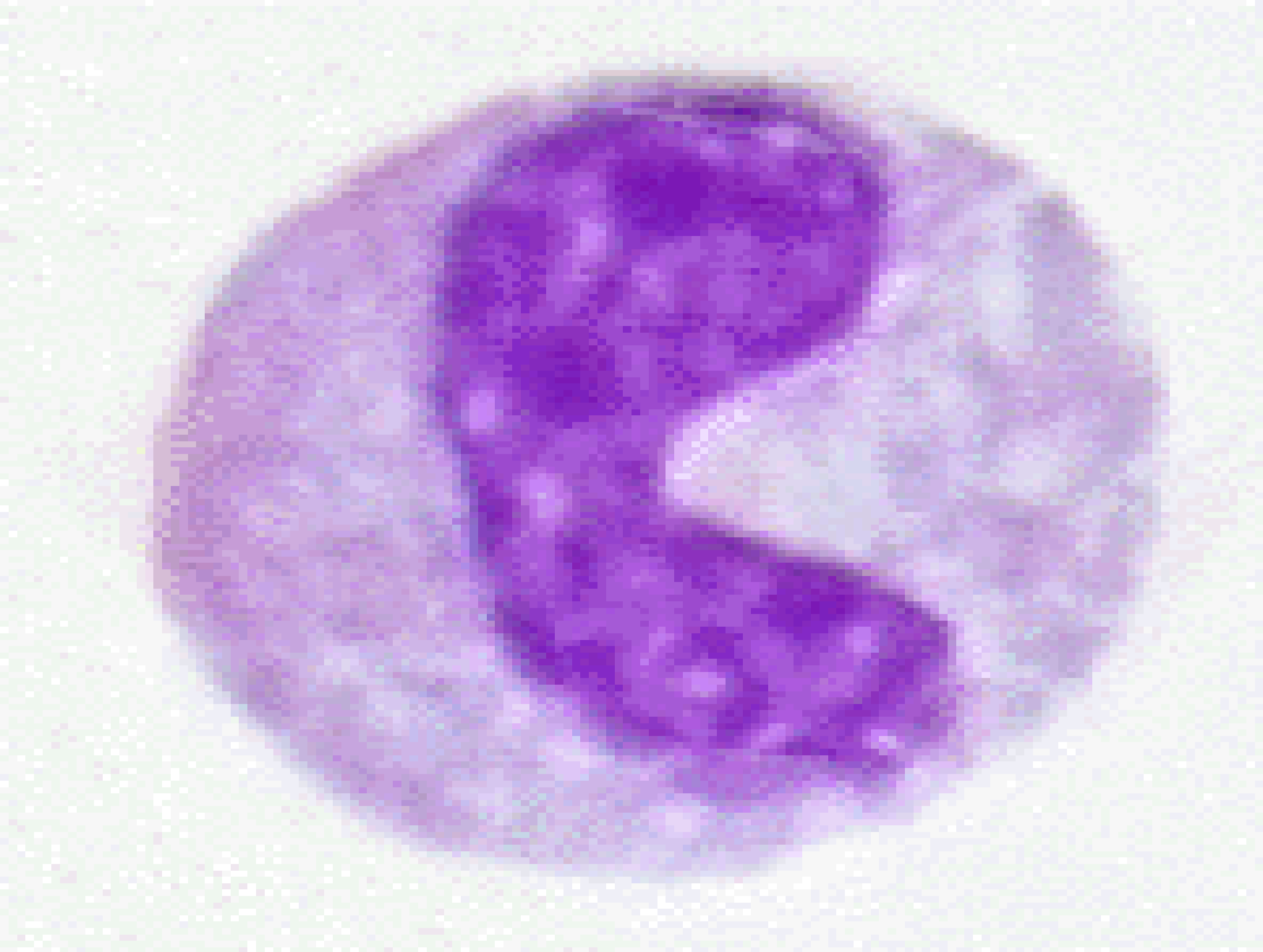














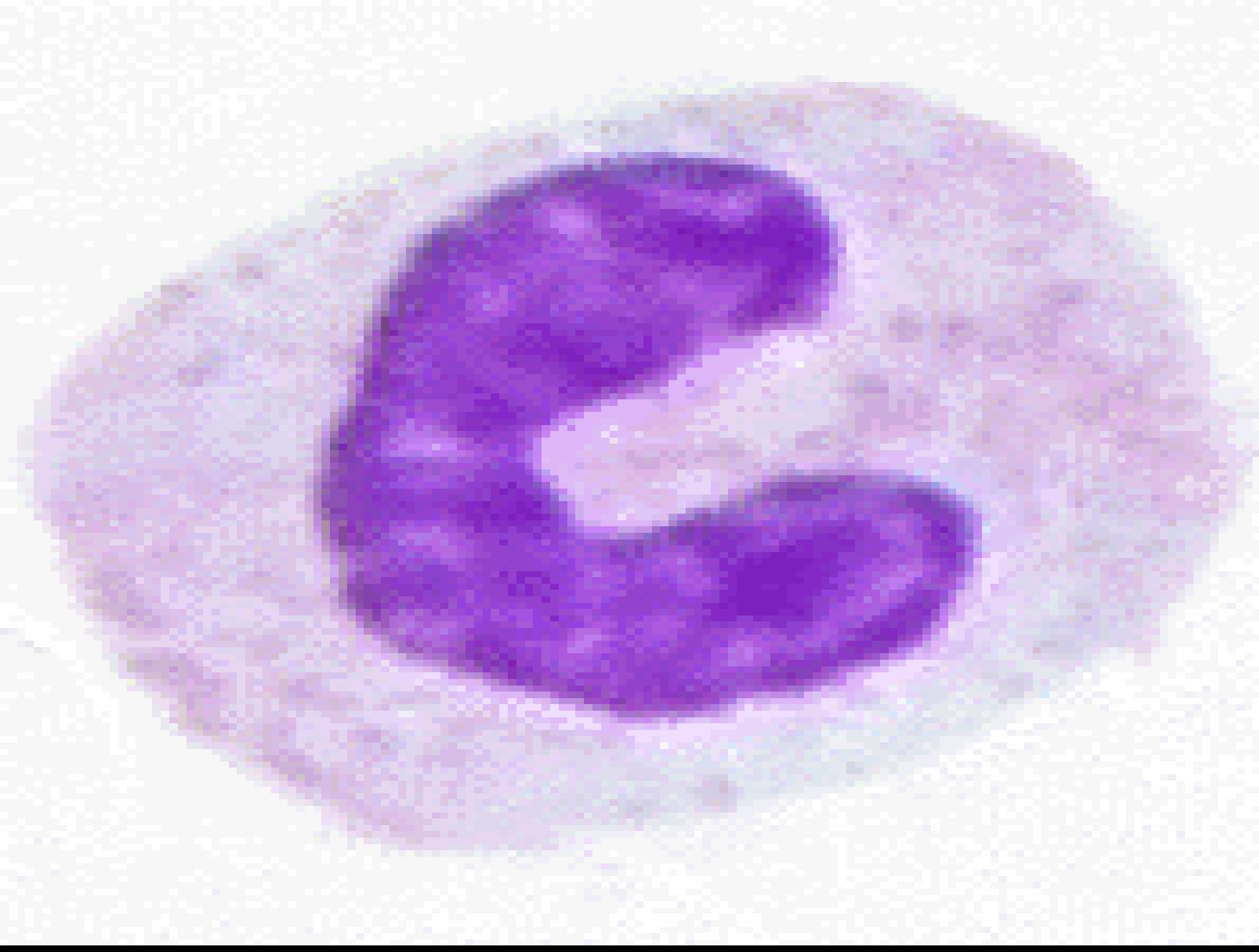










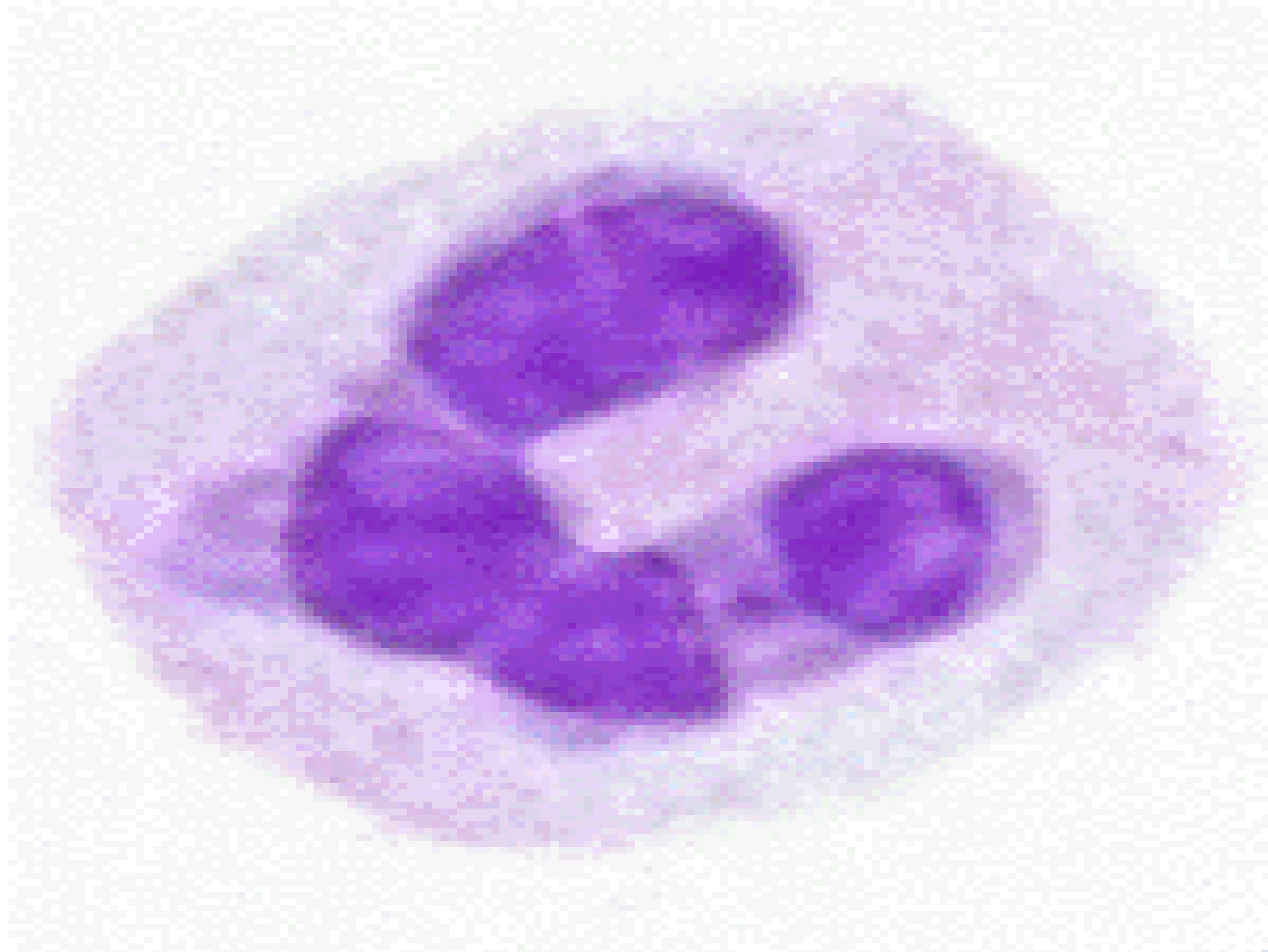


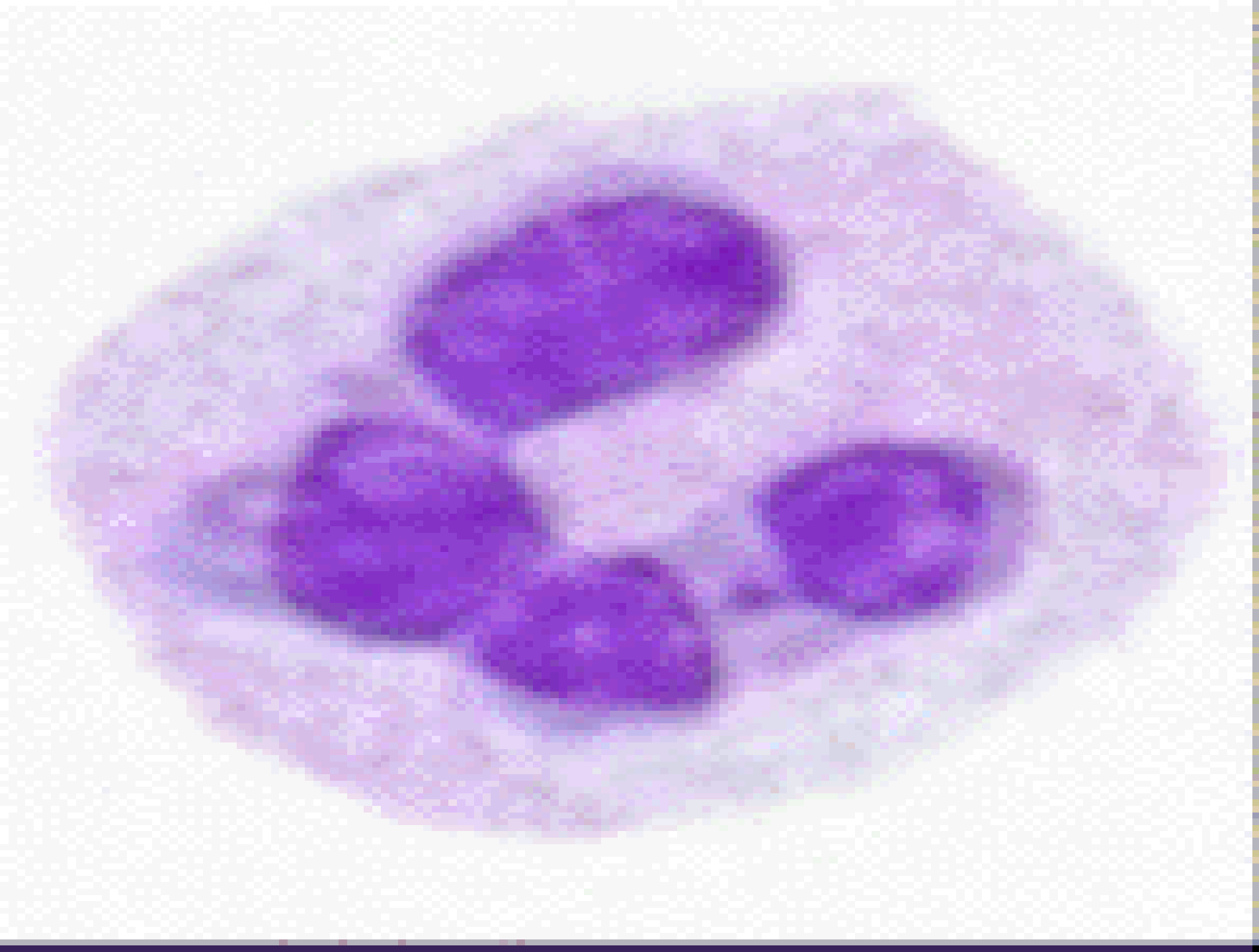


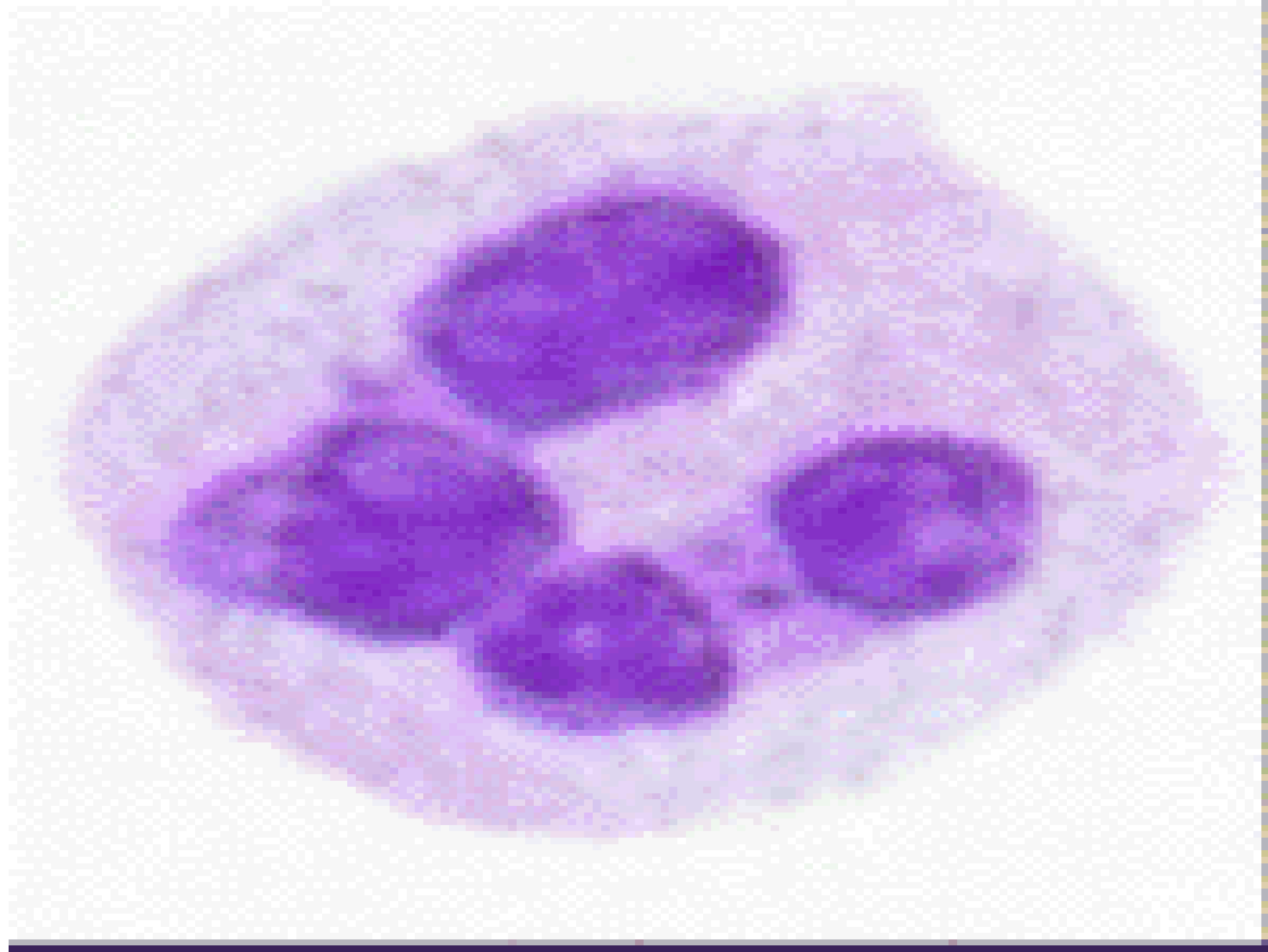


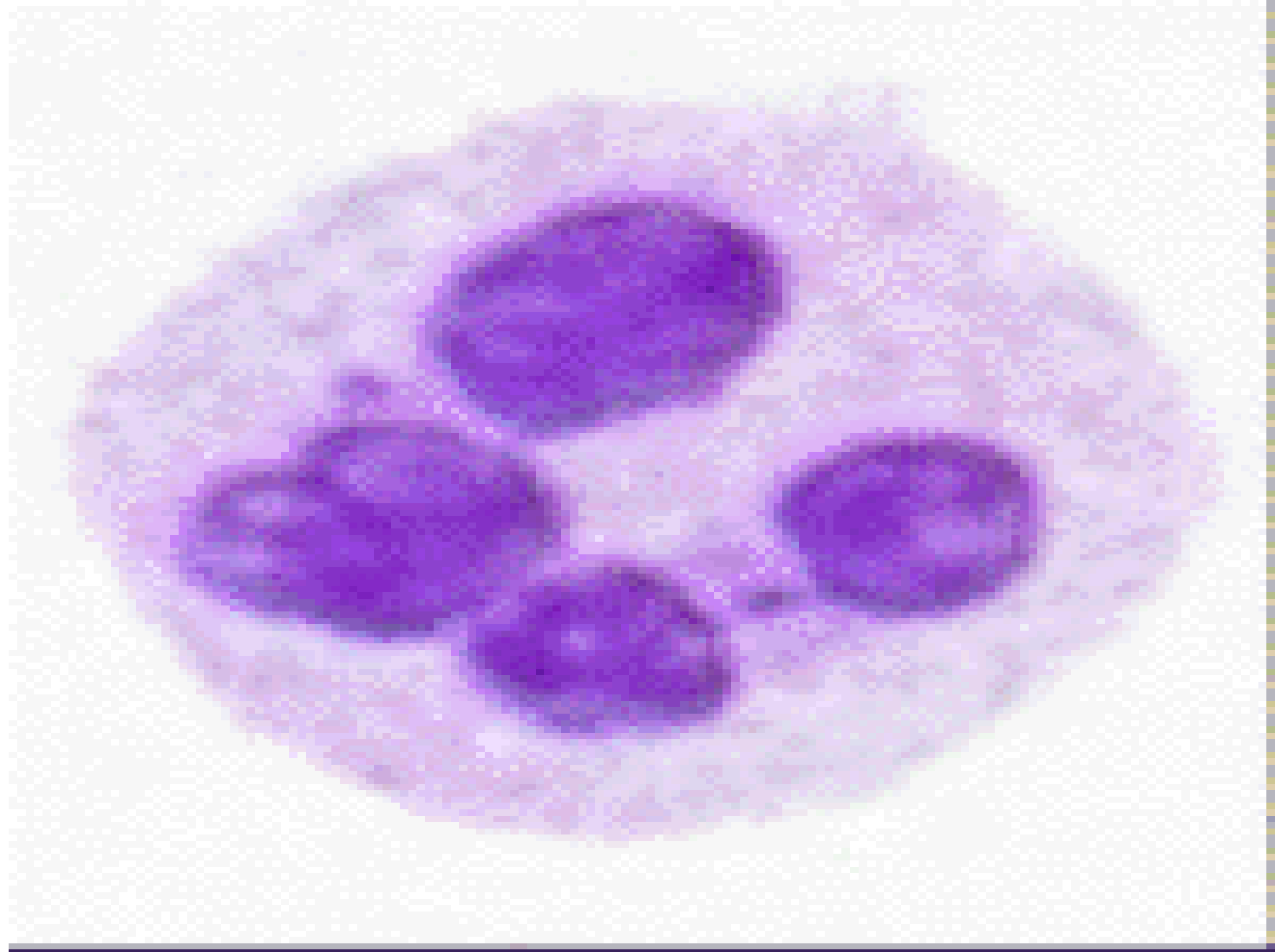


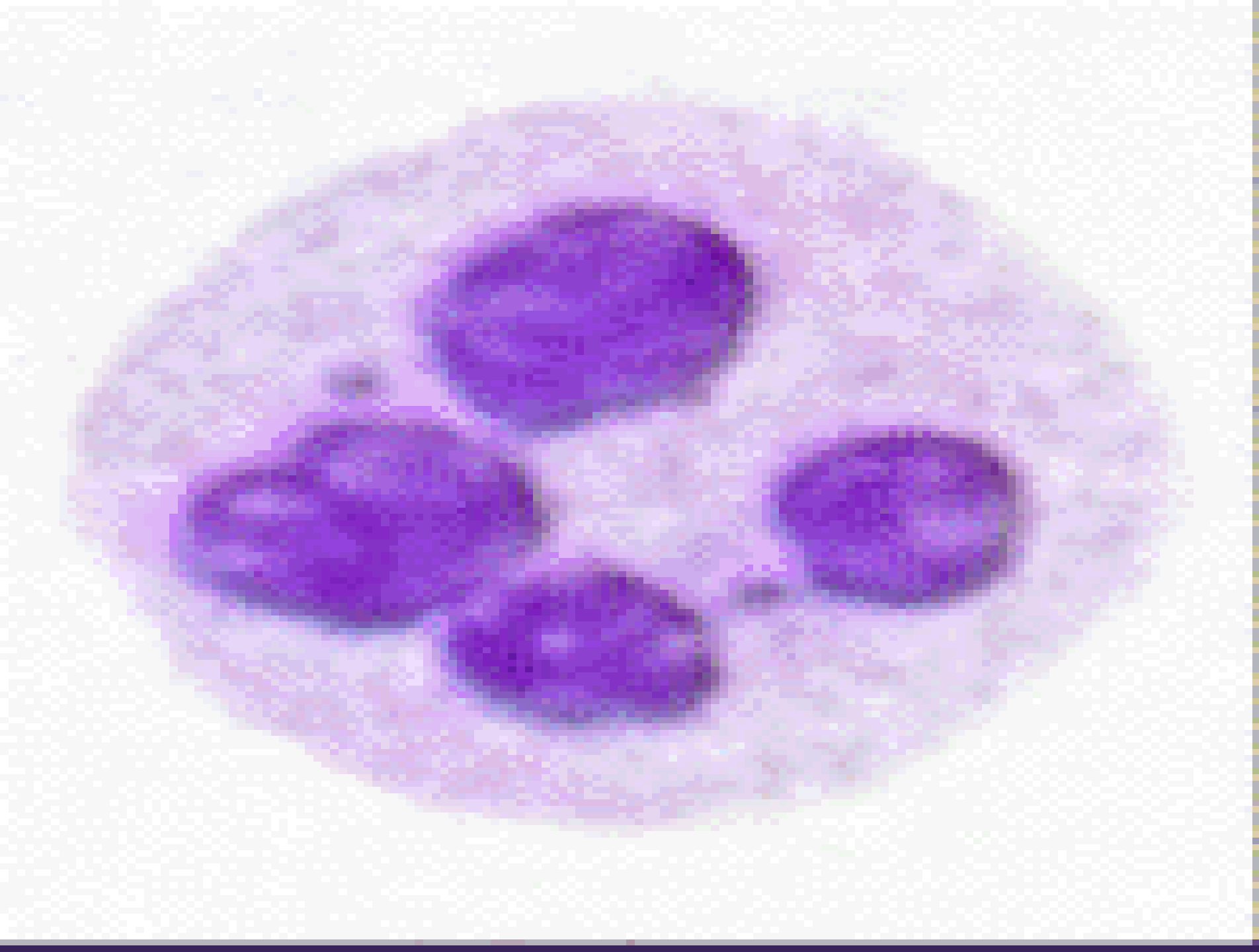


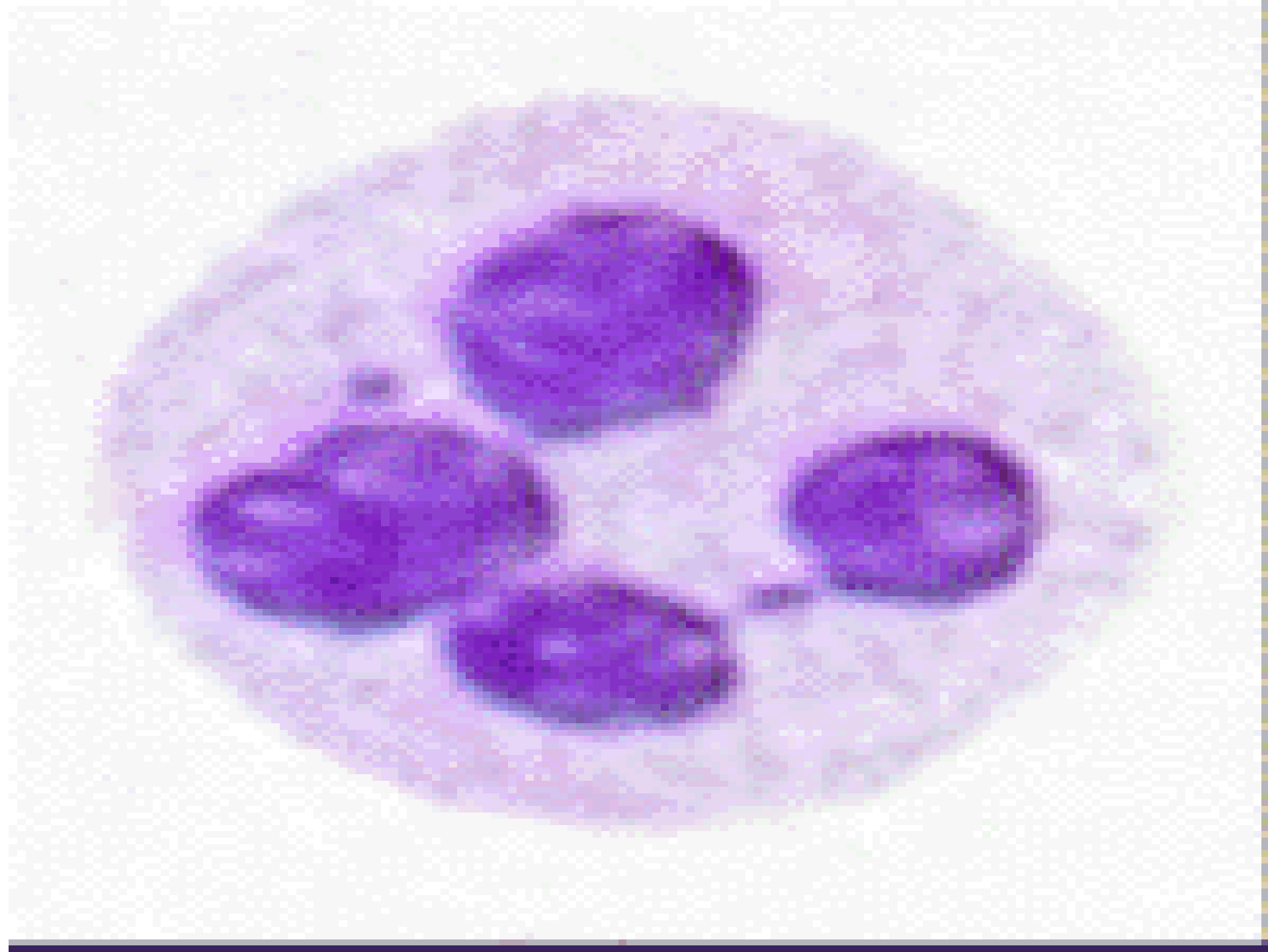








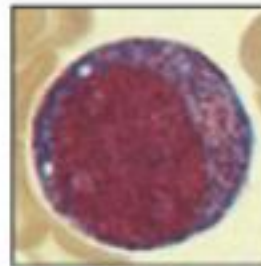




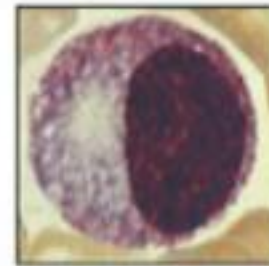
Myeloblast



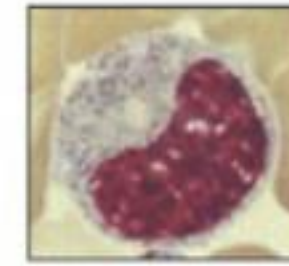
Promyelocyte



Myelocyte



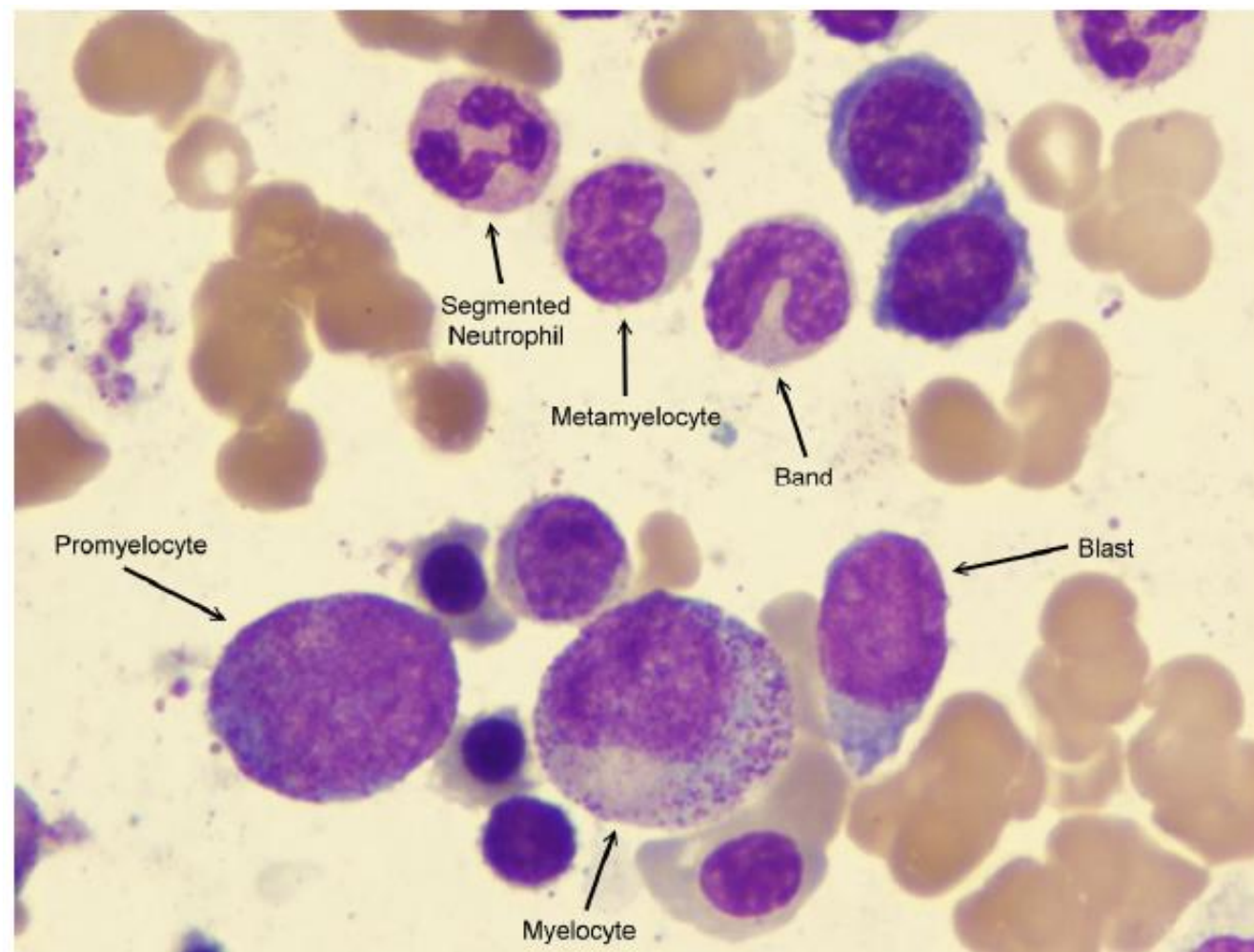
Metamyelocyte

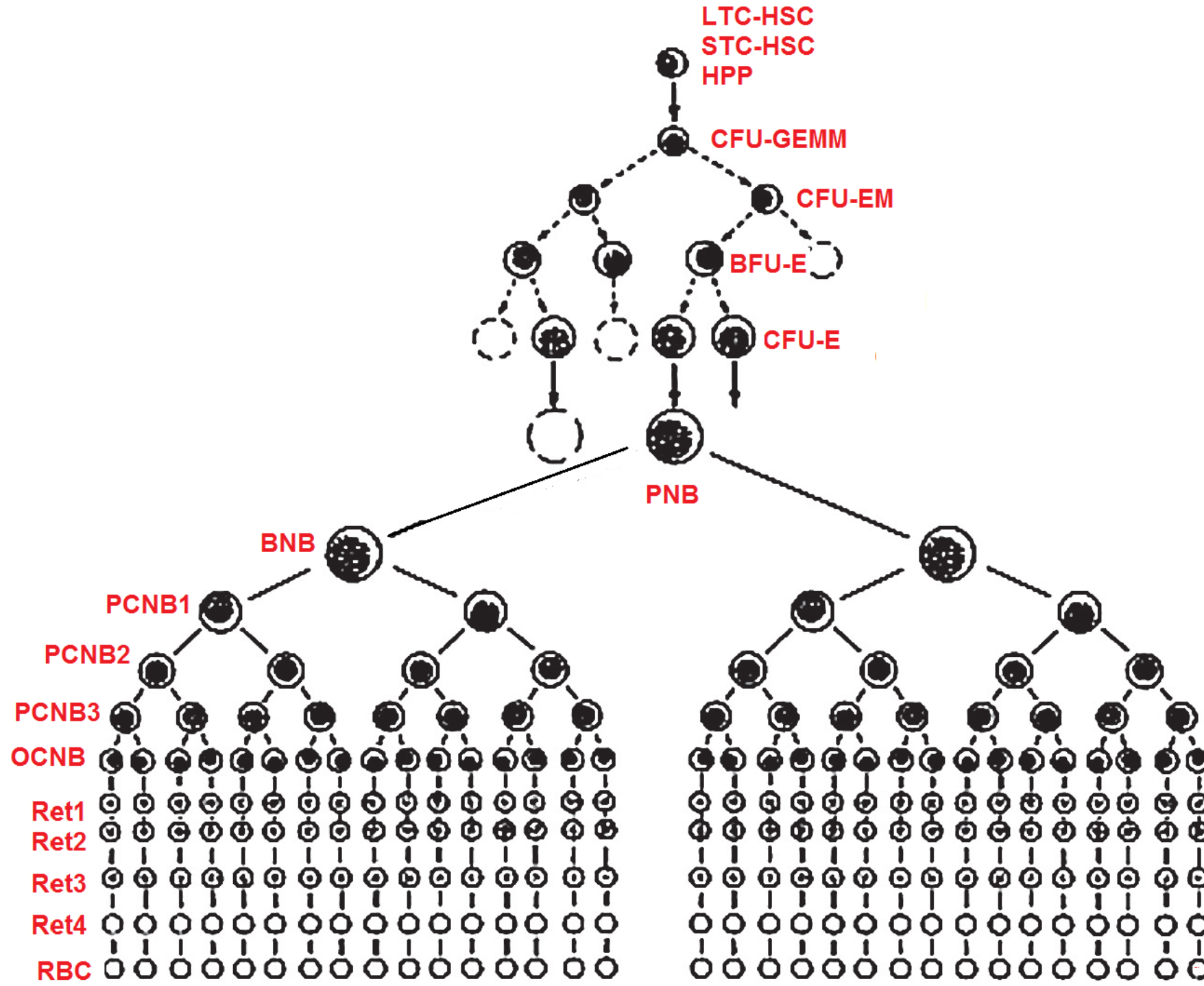


Band



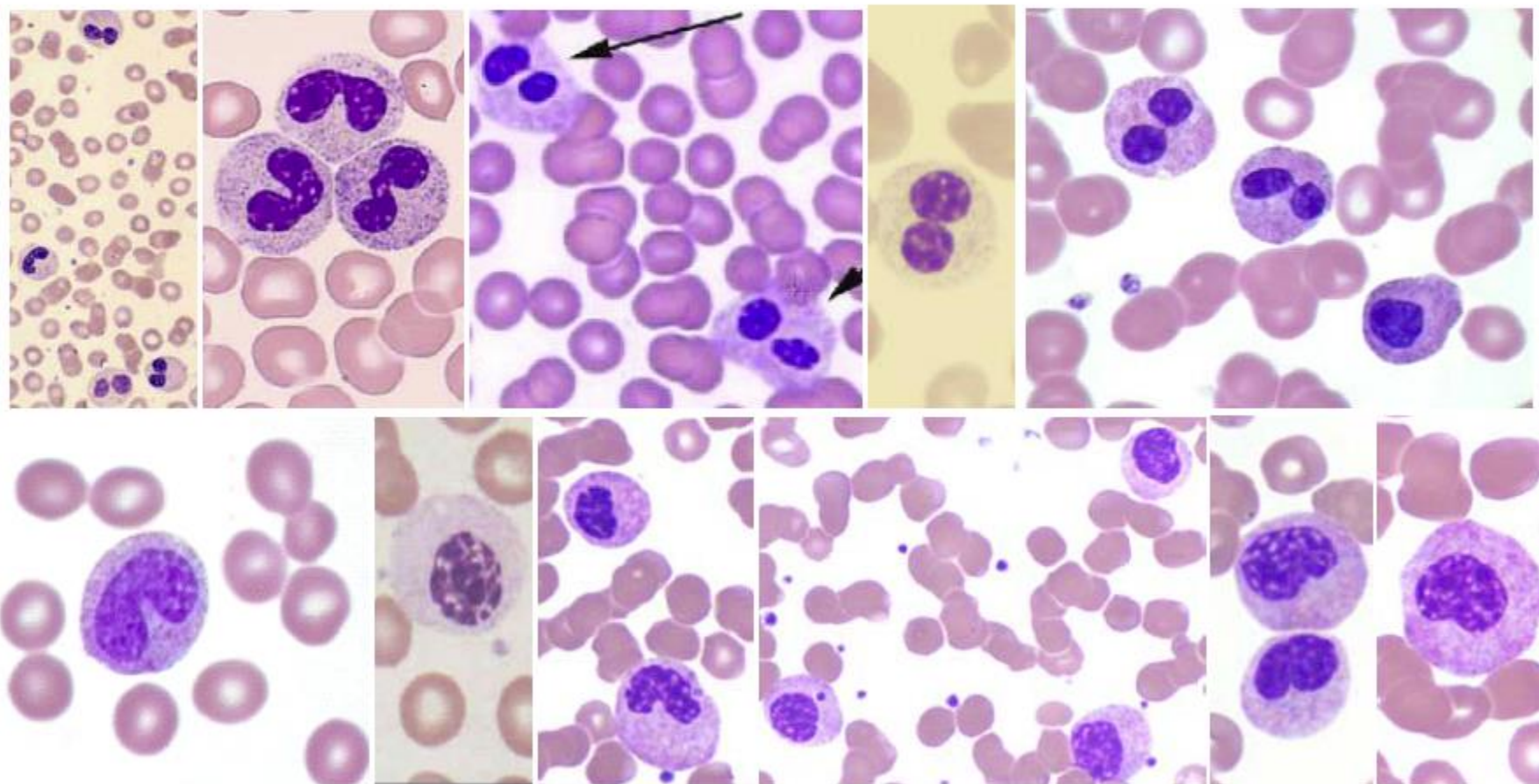
Segmented neutrophil





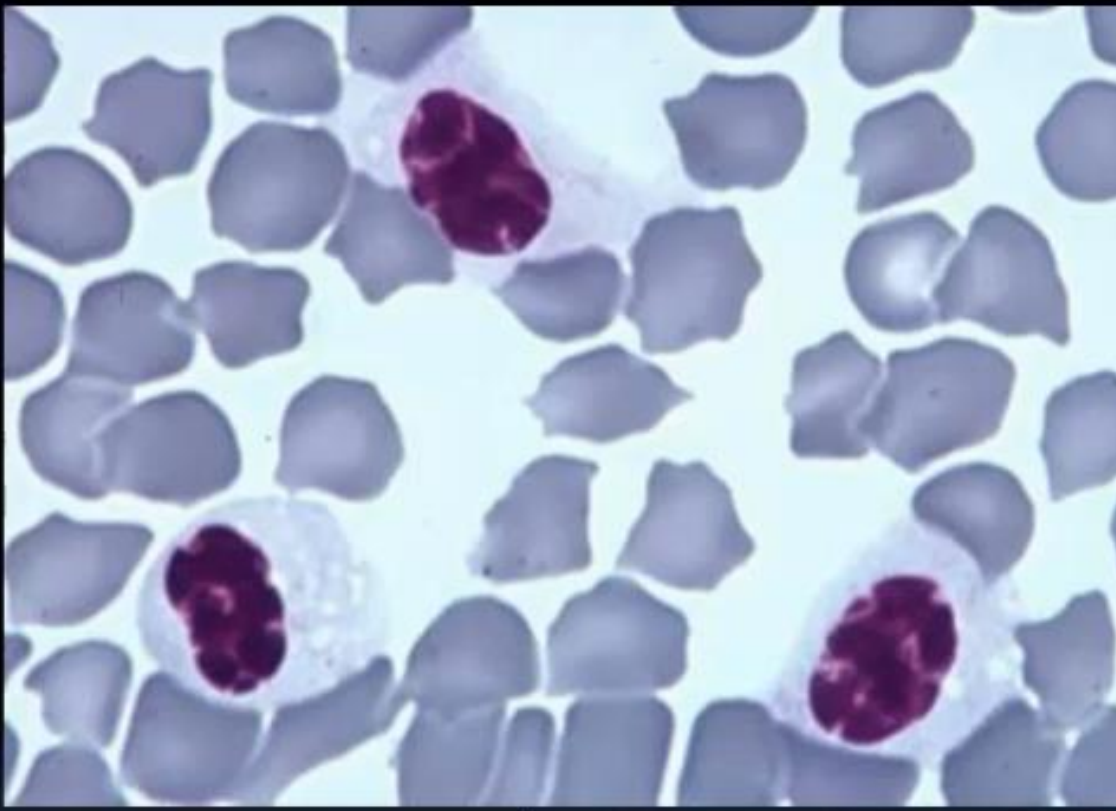
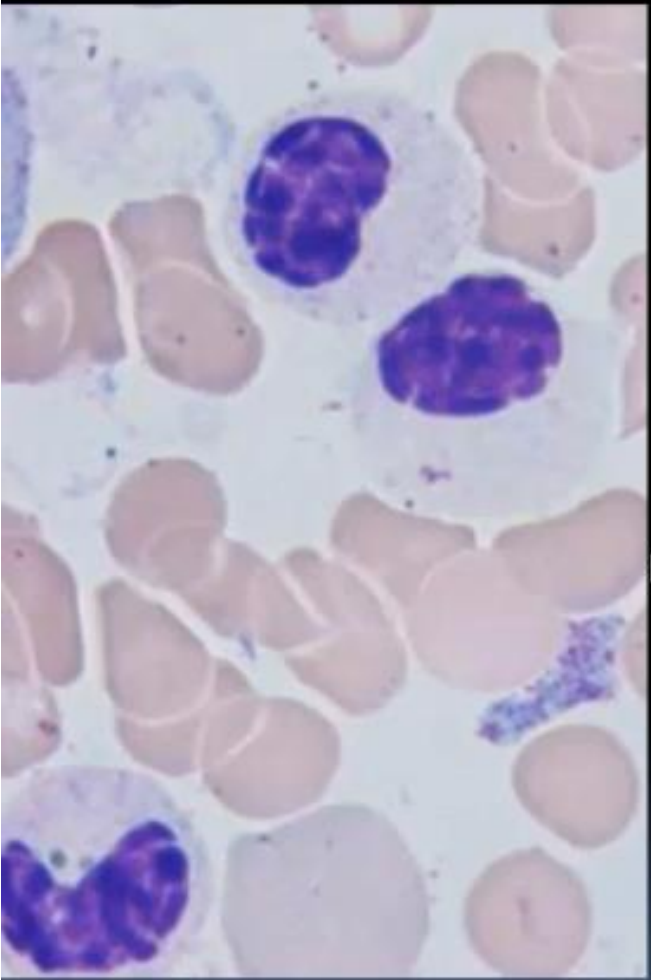


شکل ۳۶: شباهت عینک‌های پنسی یا پینس نز (عینک‌های مدل ۱۸۷۰-۱۹۳۰) به نوتروفیل‌های پلگرھیوت



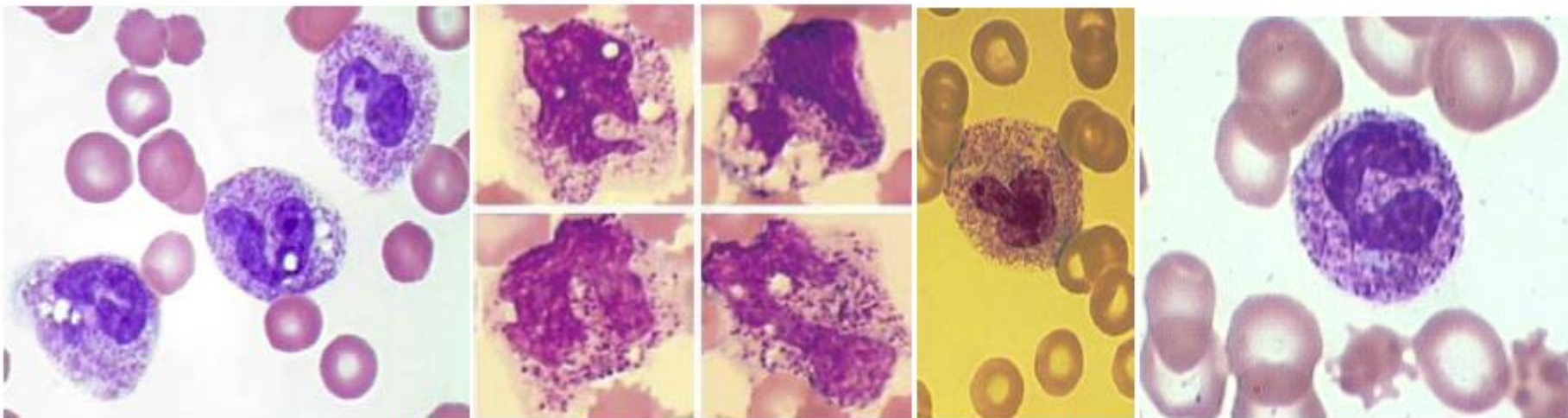
شکل ۳۷: ردیف بالا) پلگر-ھیوت هتروزیگوت و ردیف پایین) چندین تصویر از پلگر-ھیوت هموزیگوت به همراه یک متامیلوسیت (تصویر سمت چپ) که زون گلزی، سیتوپلاسم صورتی و هتروھسته فروخته و غیرمتراکم آن را از پلگرھیوت هموزیگوت مجزا می‌کند.

Homozygot pelger huet

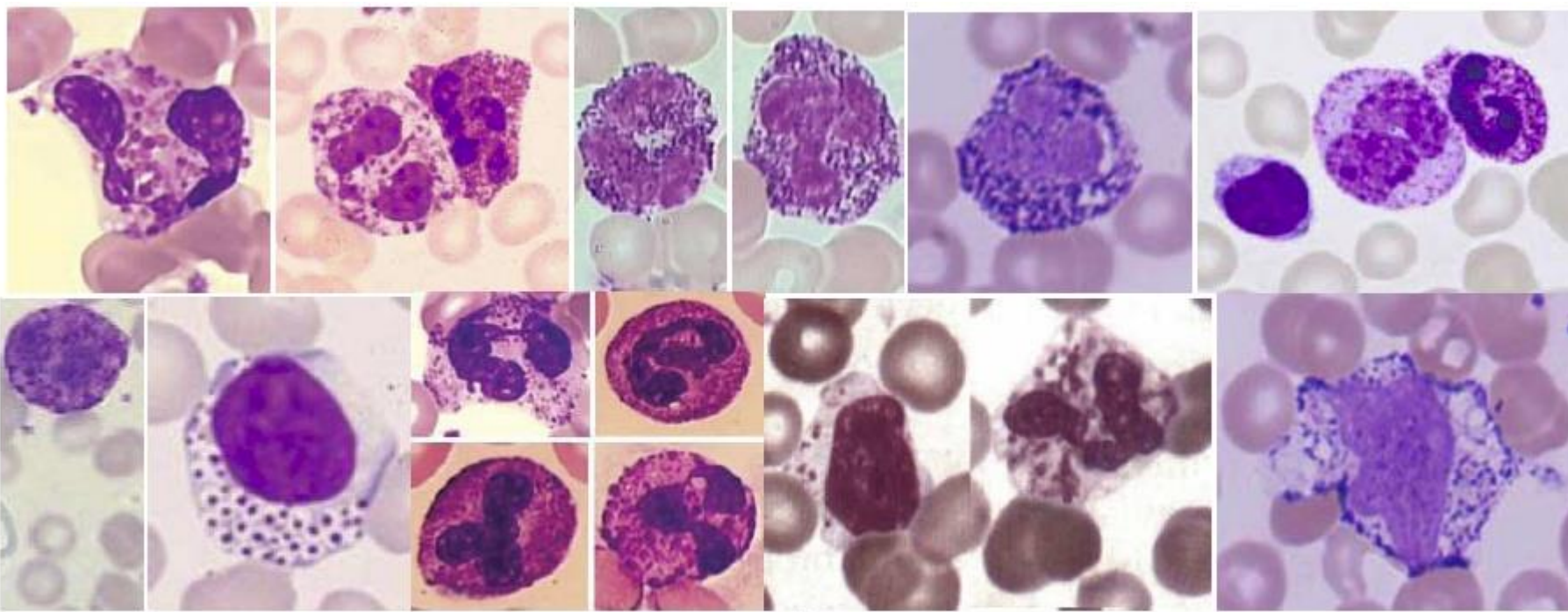


جدول ۱۱ : نقص‌های بیوشیمیایی و آزمون‌های تشخیصی در موکوپلی‌ساکاریدها (MPS) و موکولیپیدوزها (ML)

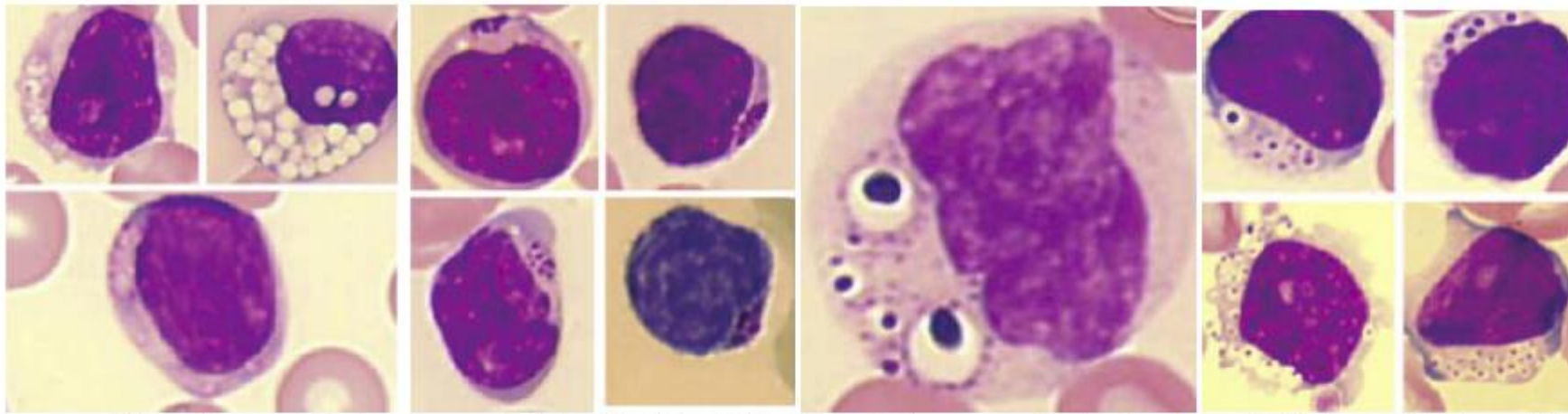
Name	Alternative Designation ^{2,3}	Enzymatic Defect	Urinary Metabolites
Mucopolysaccharidoses			
Hurler, Scheie,	MPS I	α -L-Iduronidase	Dermatan sulfate, heparan sulfate
Hunter	MPS II	Iduronate sulfatase	Dermatan sulfate, heparan sulfate
Sanfilippo A	MPS IIIA	Heparan sulfate N-sulfatase (sulfamidase)	Heparan sulfate
Sanfilippo B	MPS IIIB	α -N-Acetylglucosaminidase	Heparan sulfate
Sanfilippo C	MPS IIIC	Acetyltransferase	Heparan sulfate
Sanfilippo D	MPS IIID	N-Acetylglucosamine 6-sulfatase	Heparan sulfate
Morquio A	MPS IVA	Galactosamine 6-sulfatase	Keratan sulfate, chondroitin 6-sulfate
Morquio B	MPS IVB	β -Galactosidase	Keratan sulfate
Maroteaux-Lamy	MPS VI	N-Acetylgalactosamine 4-sulfatase (arylsulfatase B)	Dermatan sulfate
Sly	MPS VII	β -Glucuronidase	Dermatan sulfate, heparan sulfate, chondroitin 4-sulfate, chondroitin 6-sulfate
Mucolipidoses			
Sialidosis	ML I	Sialidase (neuraminidase)	Glycoprotein fragments
I-cell disease	ML II	UDP-N-acetylglucosamine: glycoprotein N-acetylglucosaminylphosphotransferase. thus Acid hydrolases lack phosphomannosyl residues.)	Glycoprotein fragments
Pseudo-Hurler polydystrophy	ML III	As for ML II but deficiency is incomplete	Glycoprotein fragments



شکل ۴۳: موارد مختلفی از واکنش توکسیک گرانولاسیون نوتروفیلی که گاهآبا واکوئل نیز همراه می‌باشد.



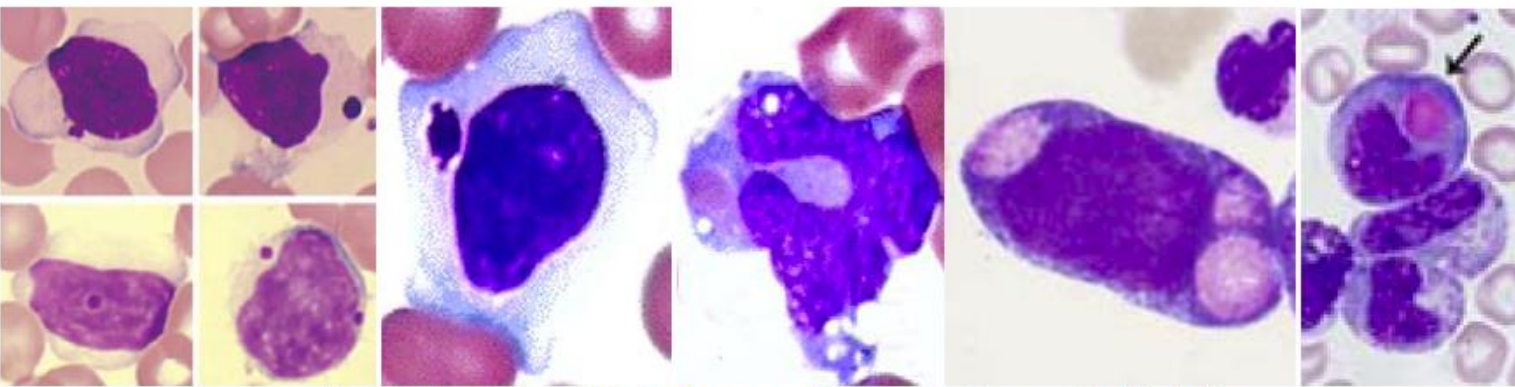
شکل ۴۴: ردیف بالا از راست به چپ) تصویر ۱، ۲ و ۴) نوتروفیل‌های با گرانول‌های درشت و آبی و شبیه توکسیک گرانولاسیون یا پرمیلوسیت یا بازوفیل، تصویر ۵ و ۶) انوزینوفیل‌های مبتلا به آدرریلی که گرانول‌های درشت بازوفیلی را نشان می‌دهند. ردیف پایین، از راست به چپ: ۱) مونوسیت، ۲) نوتروفیل، ۳) لنفوسیت، ۴) نوتروفیل، ۵) لنفوسیت گازدار یا Gasser Cell یا انوزینوفیل مبتلا به آدرریلی که در تصویر ۵ لنفوسیت‌های با گرانول‌های آبی متاکروماتیک با هاله روشن مشاهده می‌شوند.



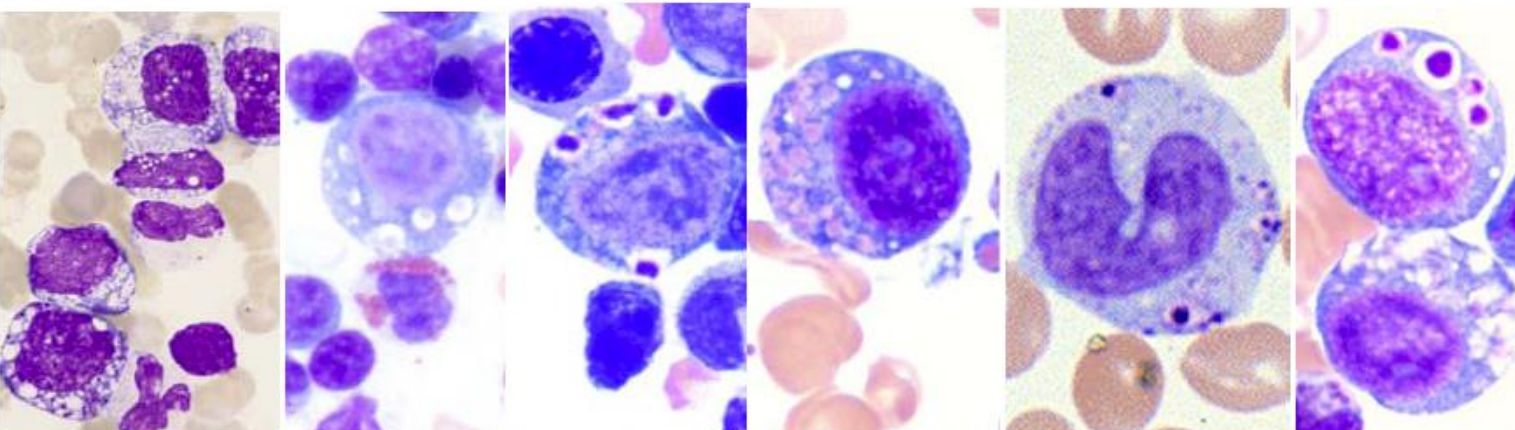
شکل ۴۹: تصویر ۱ و ۲) لنفوسيت‌های گازدار در بیماری سان فیلیو که در صورت رنگ آمیزی با آبی تولوتیدن رنگ متاکروماتیکی را در سیتوپلاسم خود نشان می‌دهد (تصویر ۳). تصویر سمت چپ (۴) نیز واکونولاسیون لنفوسيت را در بیماری هانتر نشان می‌دهد.



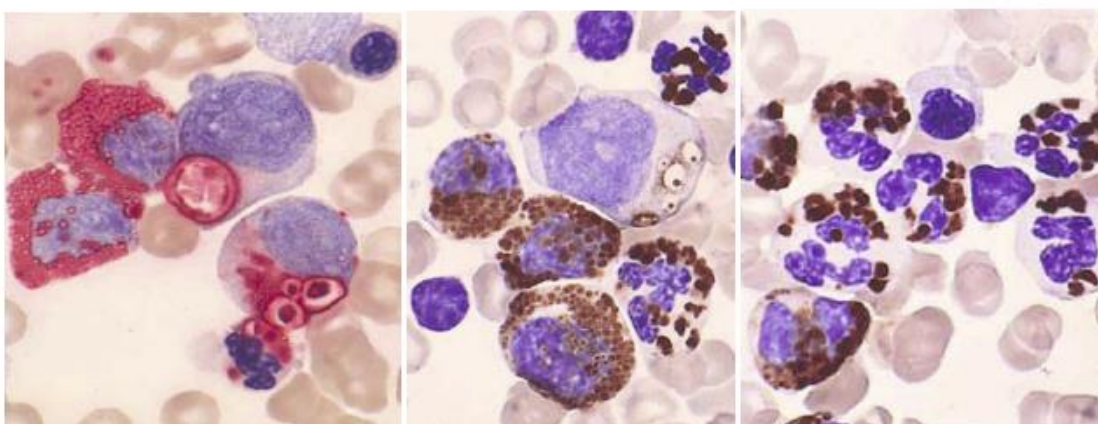
شکل ۴۵: علایم بالینی سندروم گارگوئیلیسم



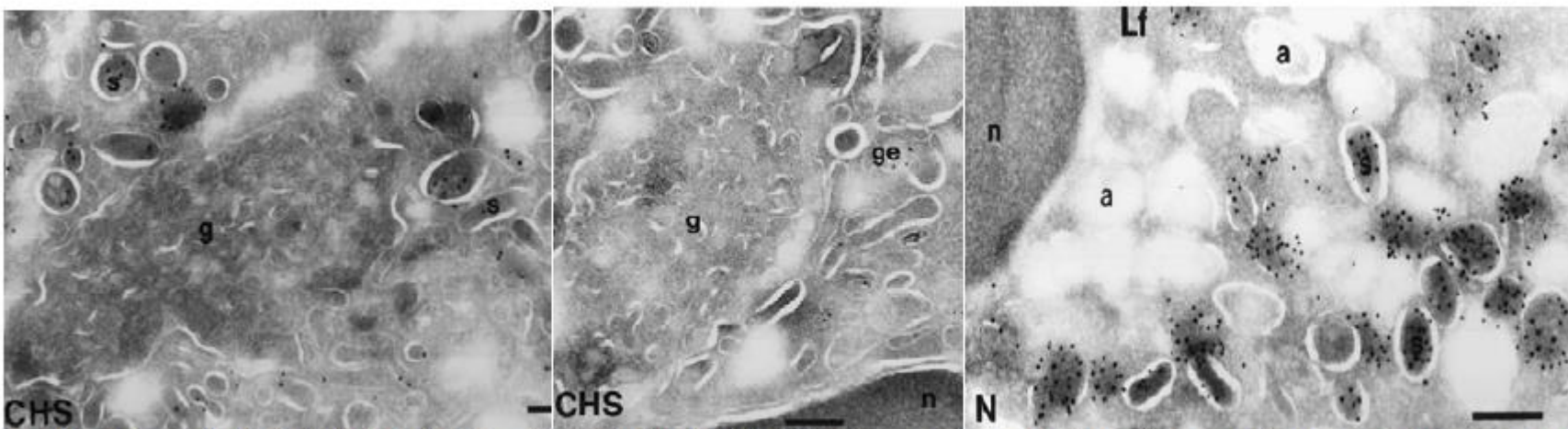
شکل ۵۲: گرانولهای درشت، گرد و صورتی CHS در مونوسیت‌ها و گرانولهای درشت و کم تعداد در انوزینوفیل



شکل ۵۳: گرانولهای درشت CHS در میلوبلاست و میلوسیت‌های BM



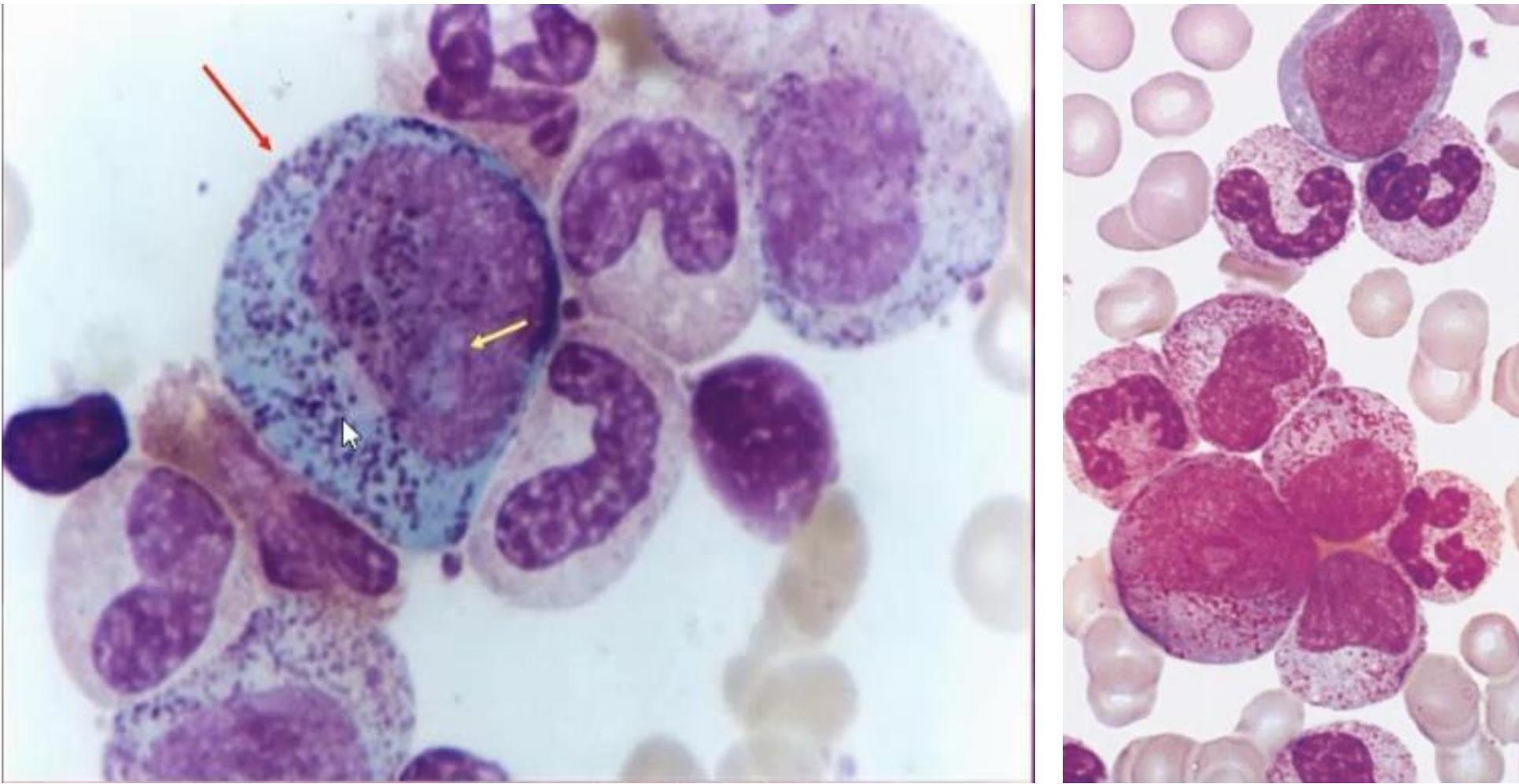
شکل ۵۴: واکنش مثبت گرانولهای نوتروفیل و میلوبلاست به MPO (رنگ قهوه‌ای) و CAE (رنگ قرمز) در بیماری مبتلا به سندروم چدیاک-هیگاشی

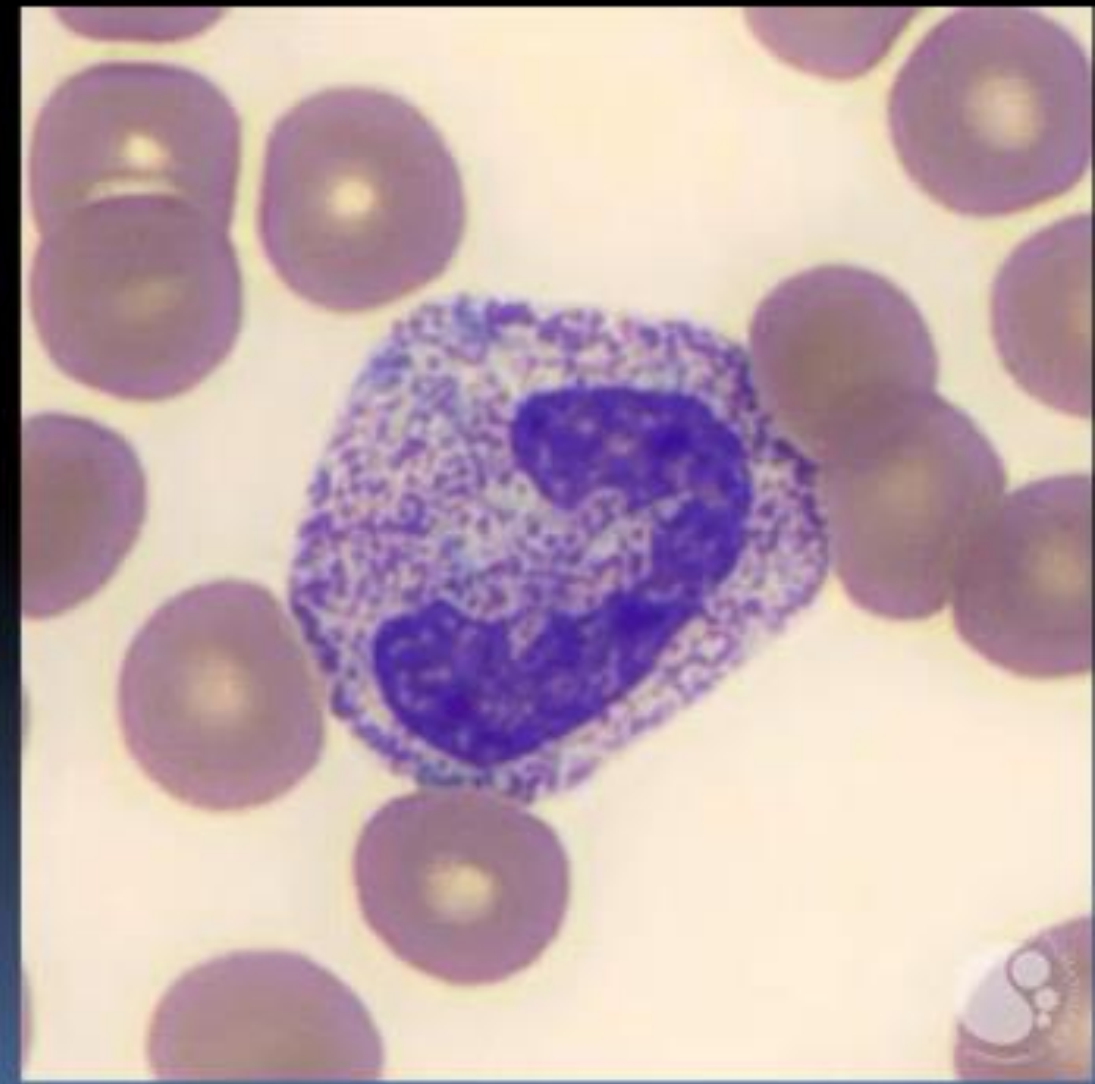


شکل ۵۵: تصویر سمت راست سیتوپلاسم یک نوتروفیل طبیعی را نشان می‌دهد که هر سه گرانول اولیه/آزروفیل (a)، ثانویه/اختصاصی (s) و ثالثیه/زلاتیناز (ge) را با سایزهای طبیعی نشان می‌دهد در حالی که در سندروم چدیاک-هیگاشی گرانول‌های بزرگ و غولپیکر+ MPO+ (g) در سایزهای بسیار بزرگ و گرانول‌های S و ge در سایز طبیعی خود مشاهده می‌شوند. در اثر ادغام گرانول‌های آзор با یکدیگر، سایز آنها بزرگ‌ولی در مقابل، تعداد آنها در سیتوپلاسم کاهش می‌یابد. از این رو سیتوپلاسم شفاف‌تر از نوتروفیل‌های نرمال دیده می‌شود.

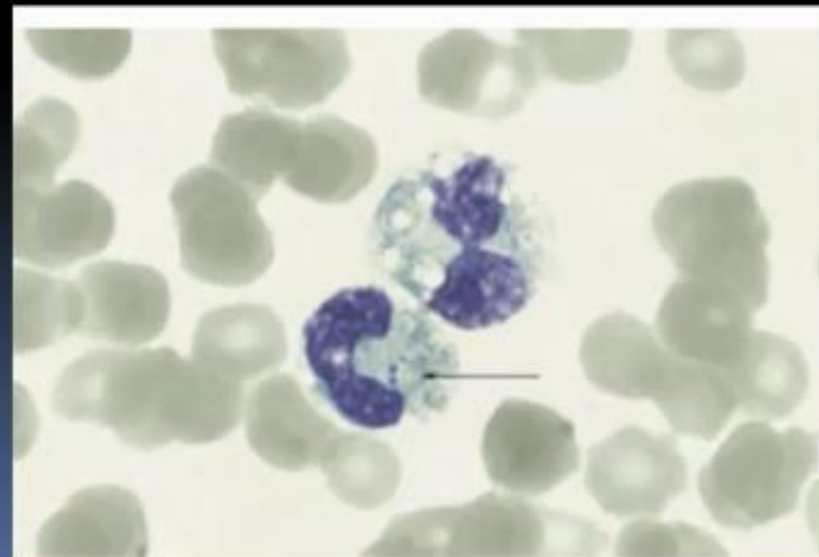
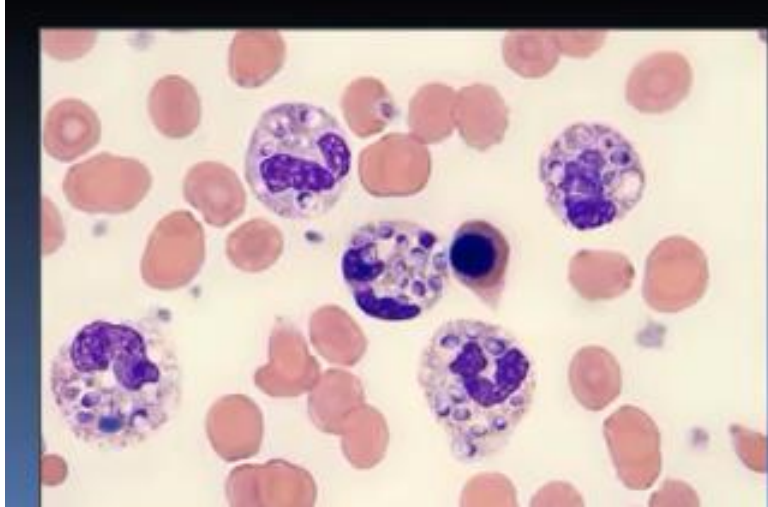
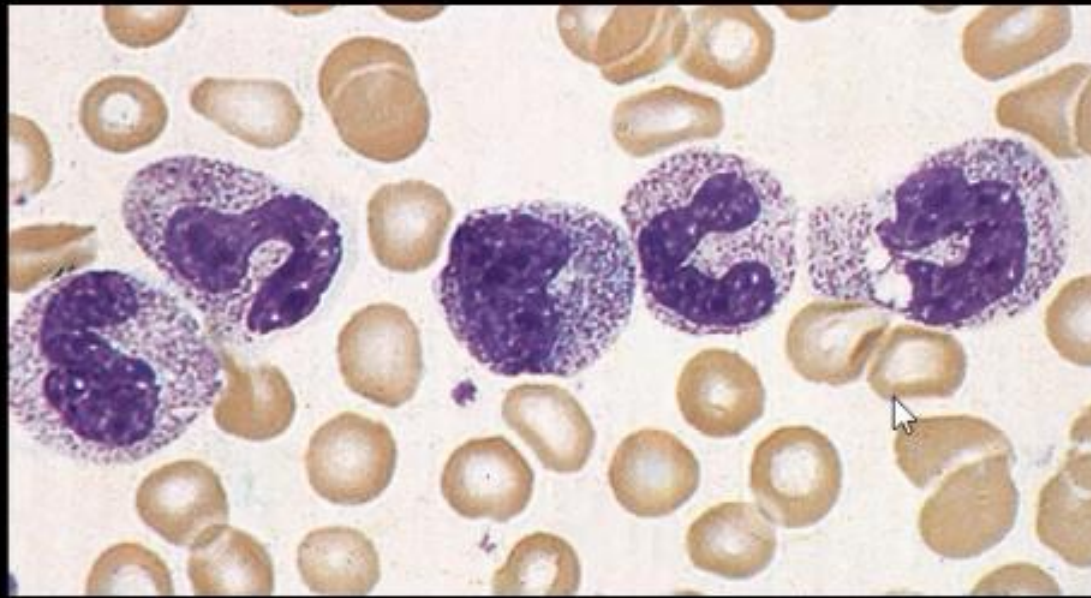
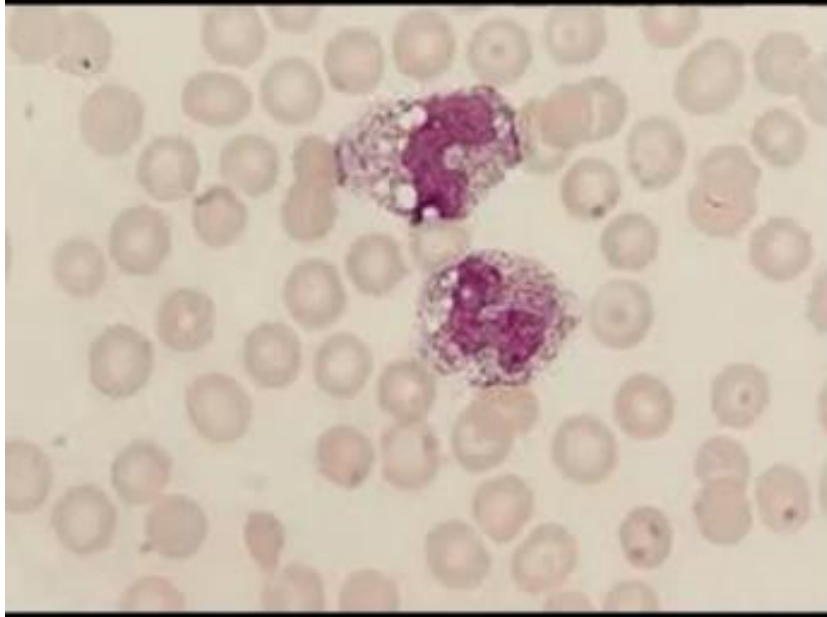


شکل ۵۶: آفت‌های دهانی ناشی از نوتروفیتی و اختلال عملکرد نوتروفیل‌ها به همراه هیپویگمانتسیون پوست و موی سر در بیمار مبتلا به CHS. نوتروفیل تیپیک سندروم نیز در خون همان بیمار نشان داده شده است. شدت آلبینیسم متغیر بوده و در برخی از بیماران باعث زالی شدید و موهای نقره‌ای سفید می‌شود.



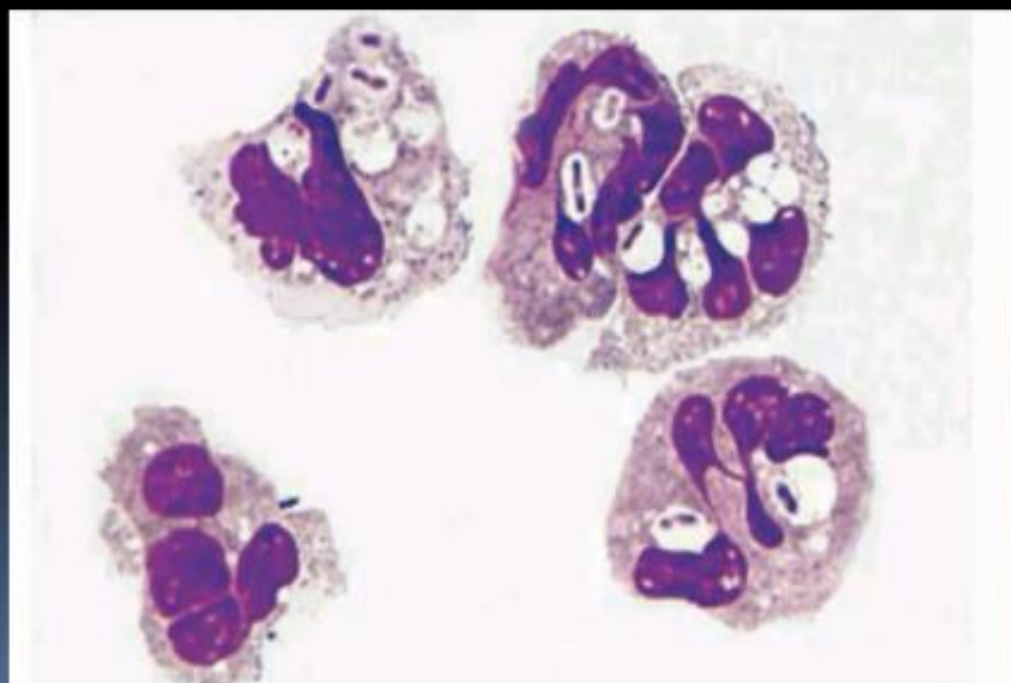
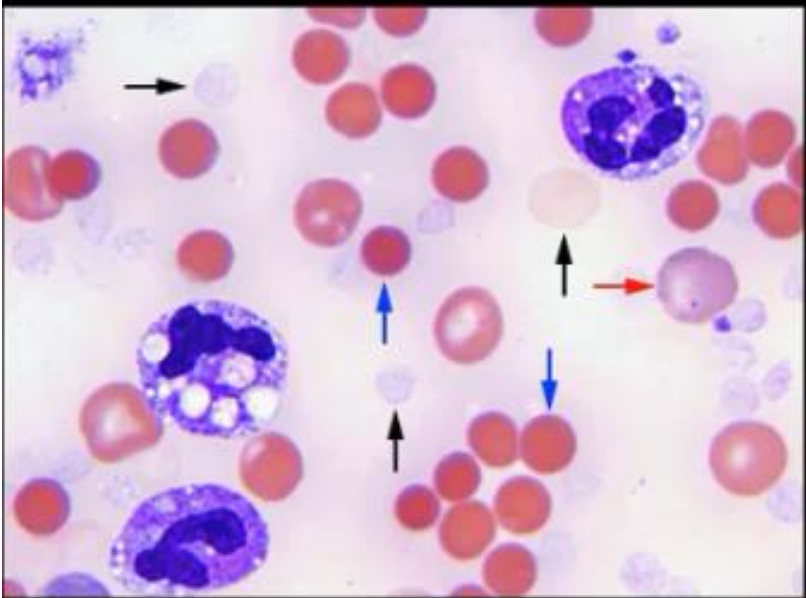


Toxic vacuolisation in sepsis



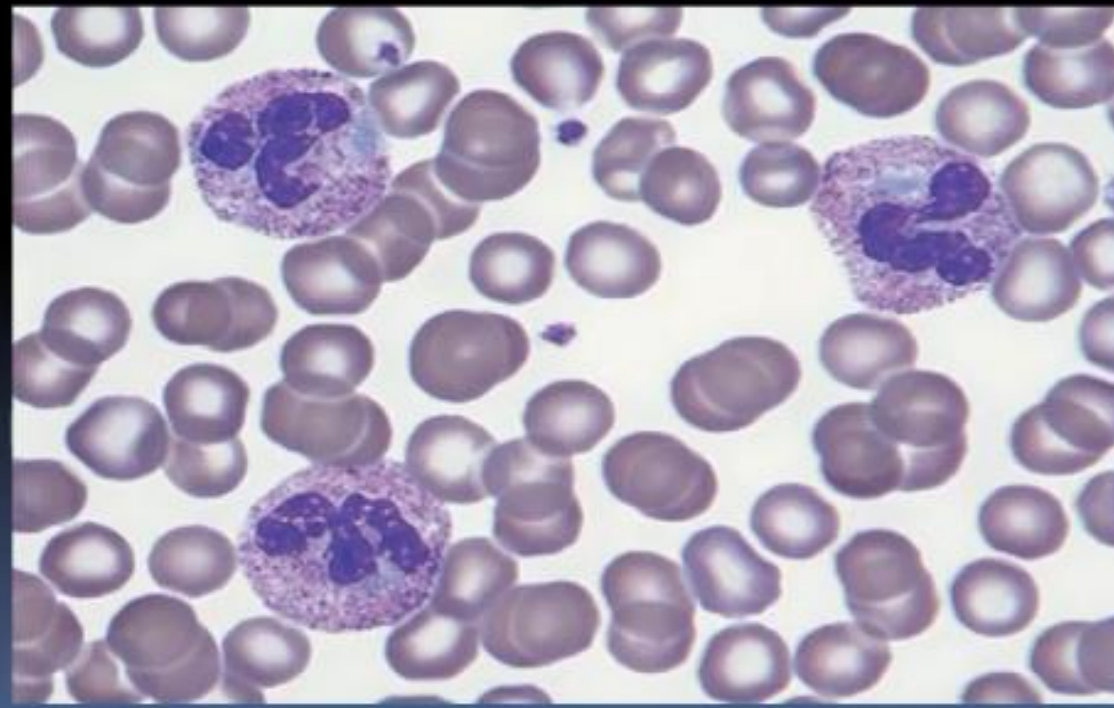
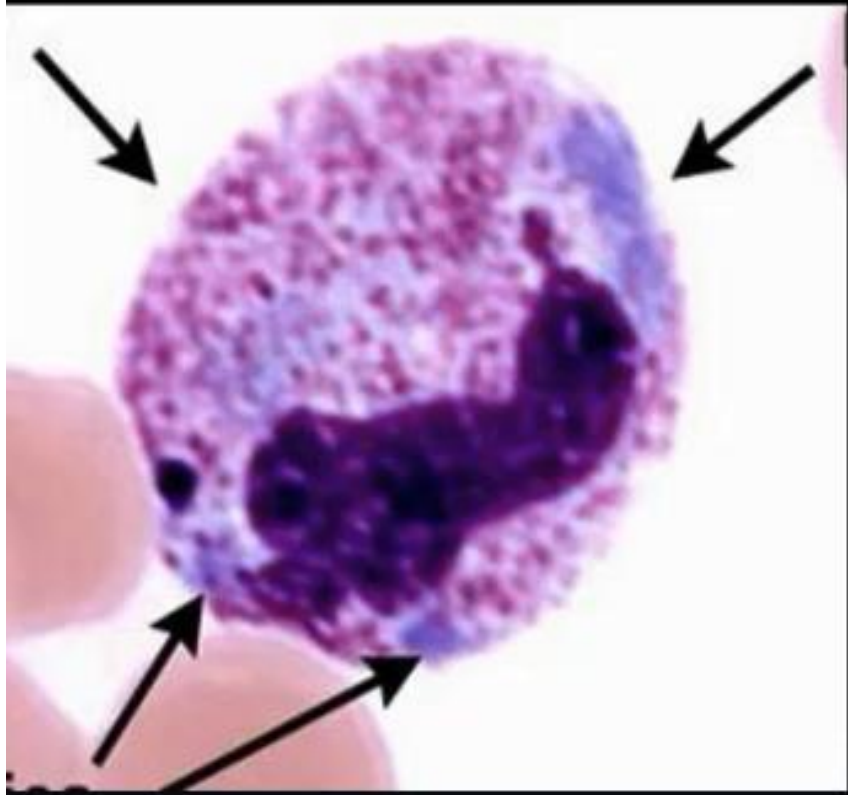
Activate

Toxic vacoulization

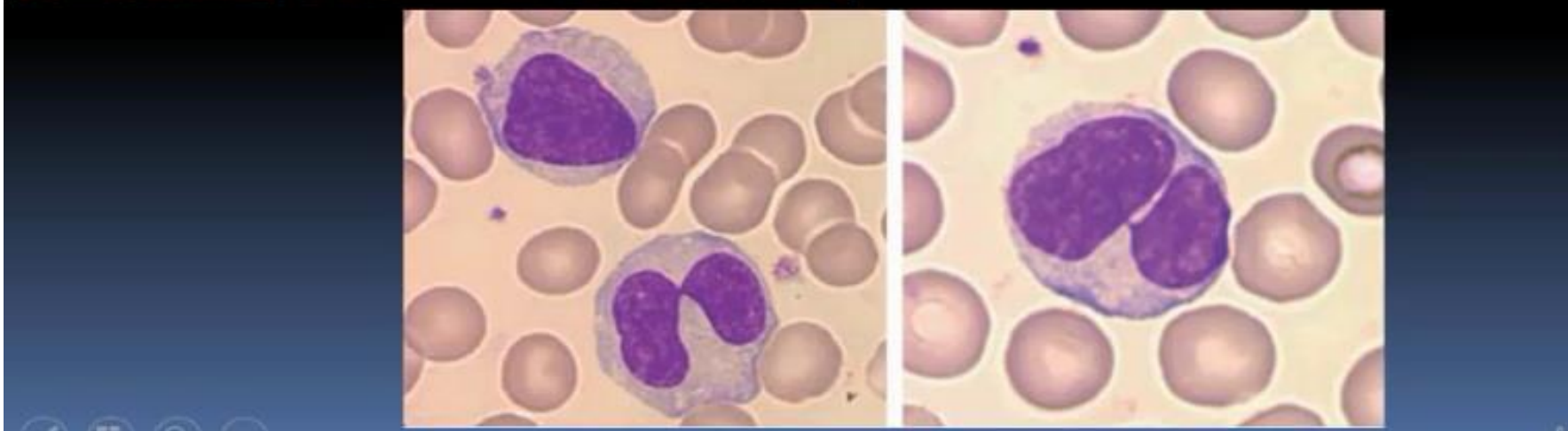
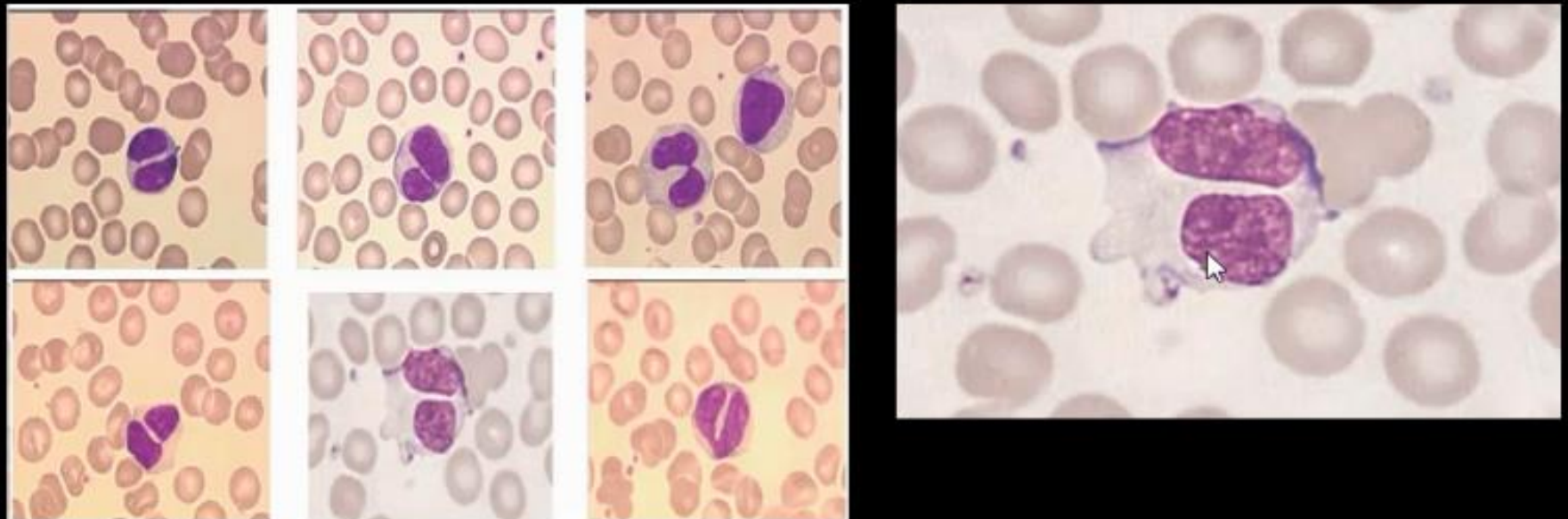


Activa

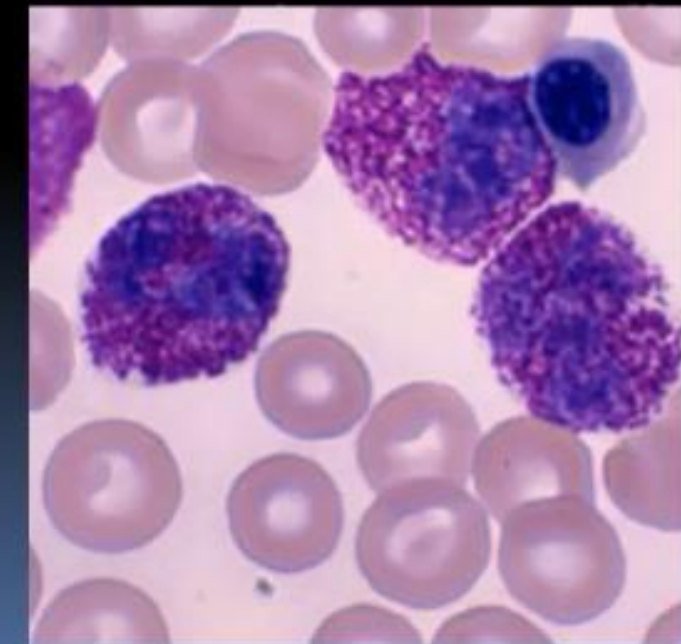
Dohle body



Binucleate lymphocyte



Alder reilly anomaly

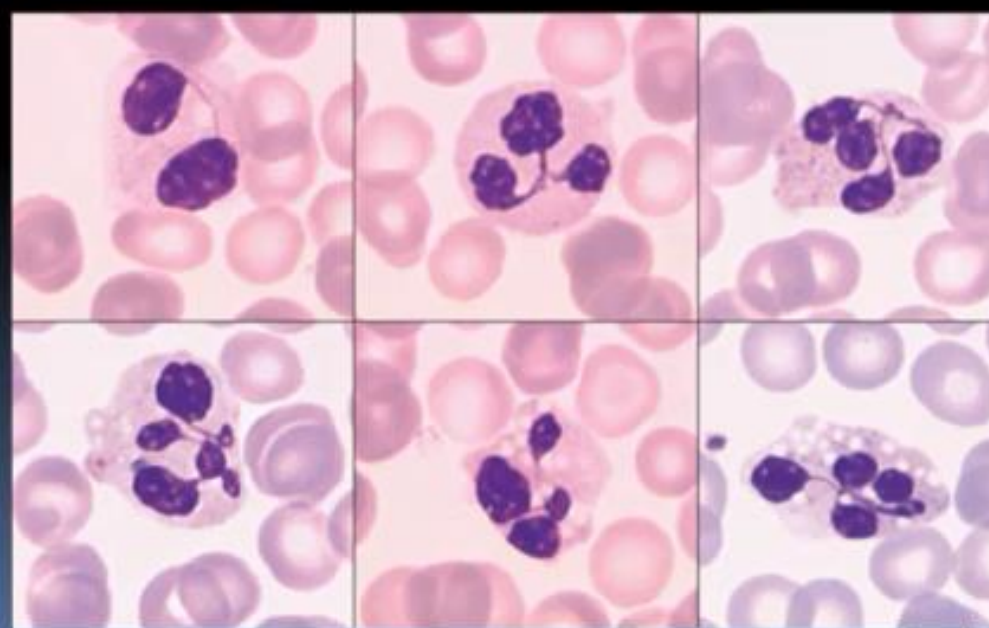
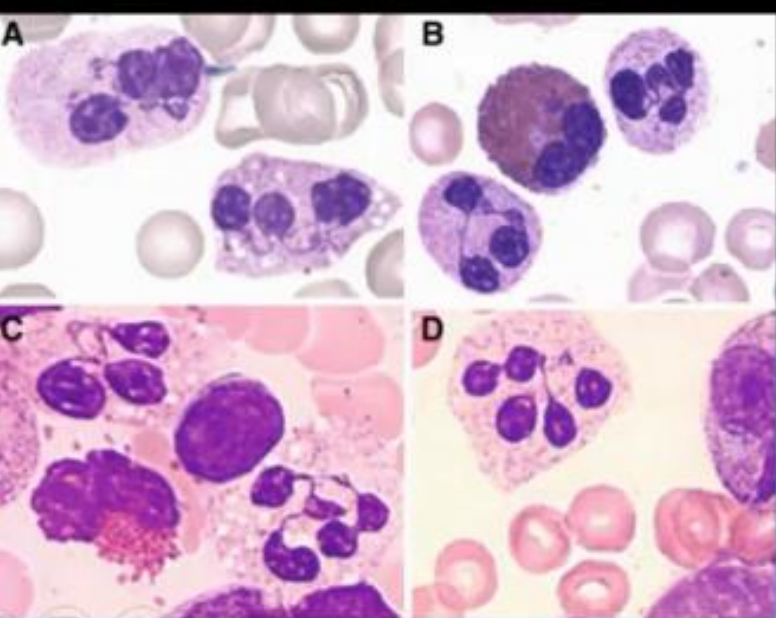


Alder reilly

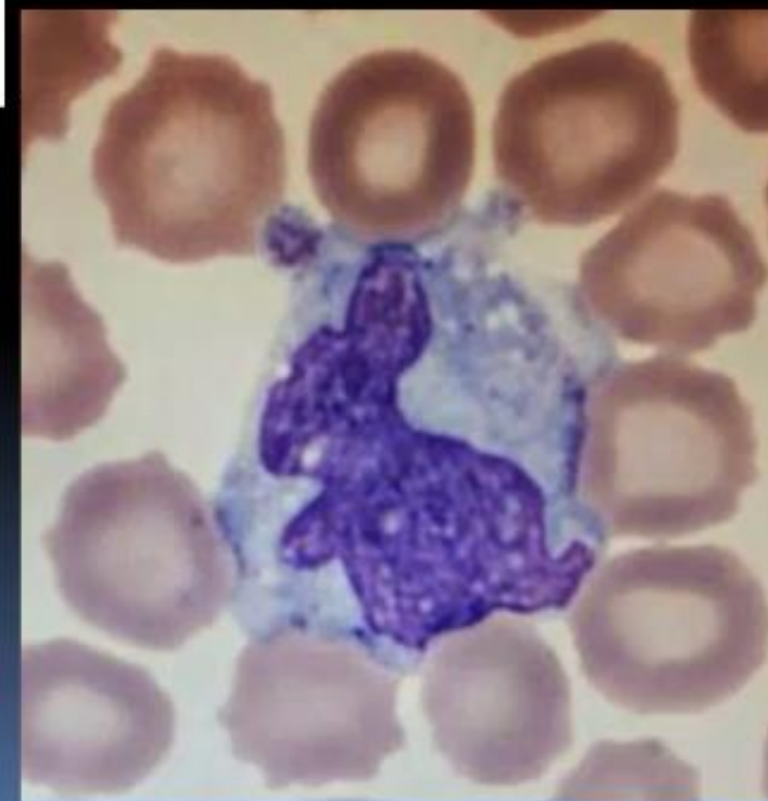
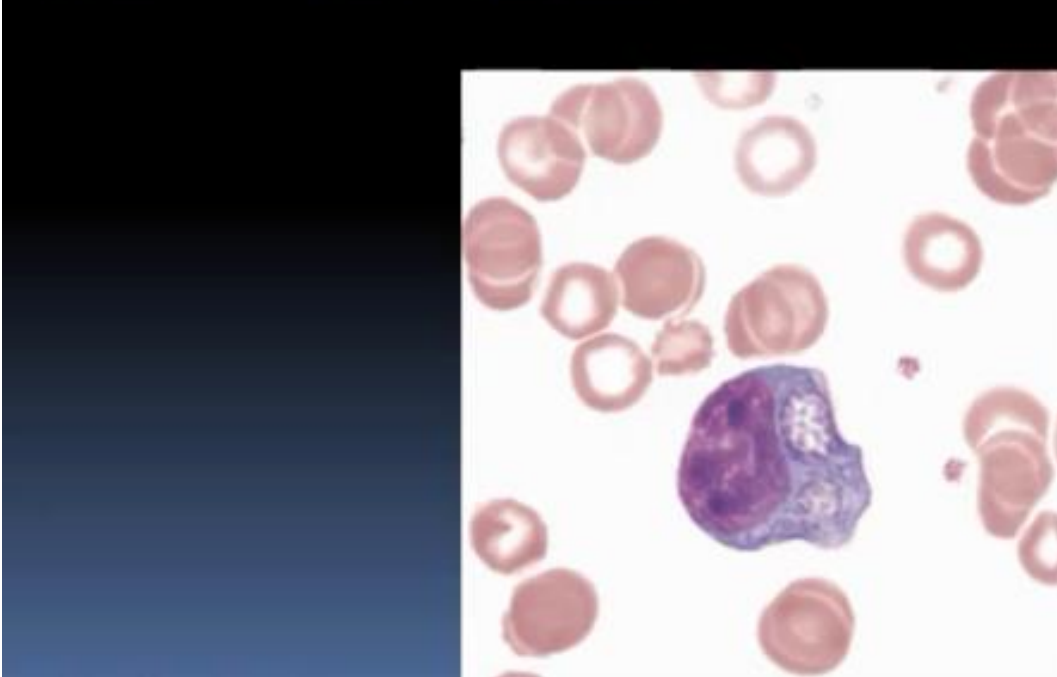
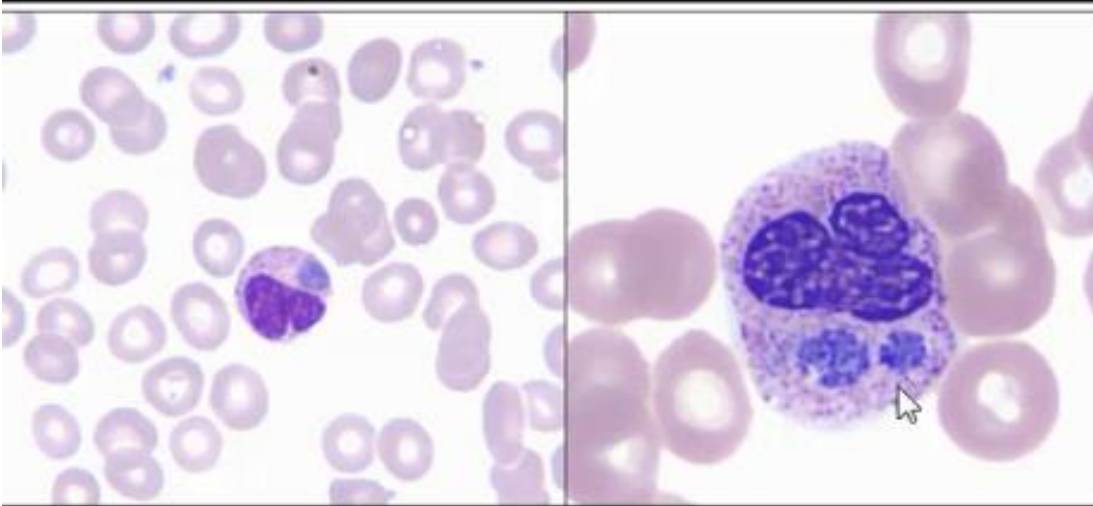


Act

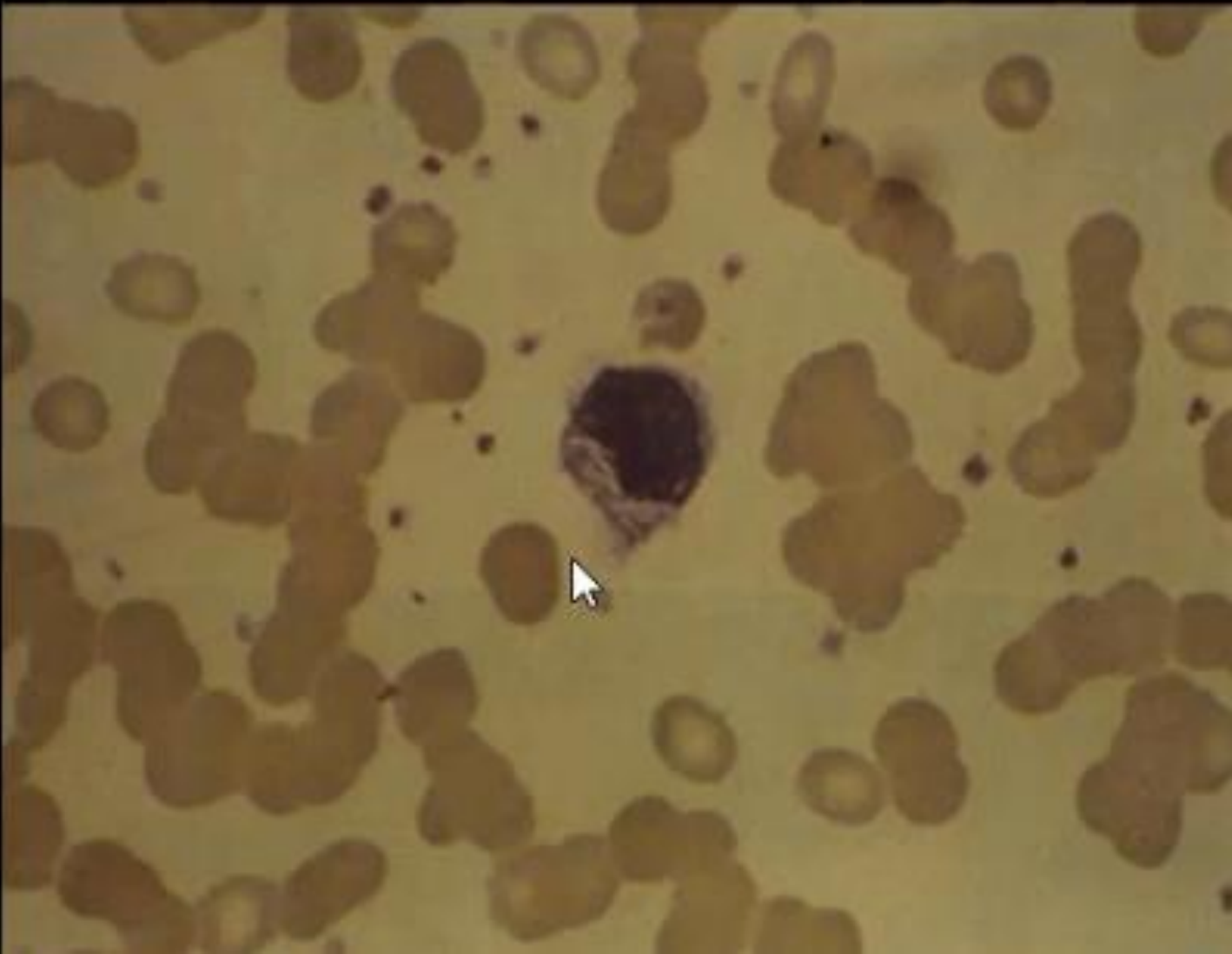
Whim syndrome



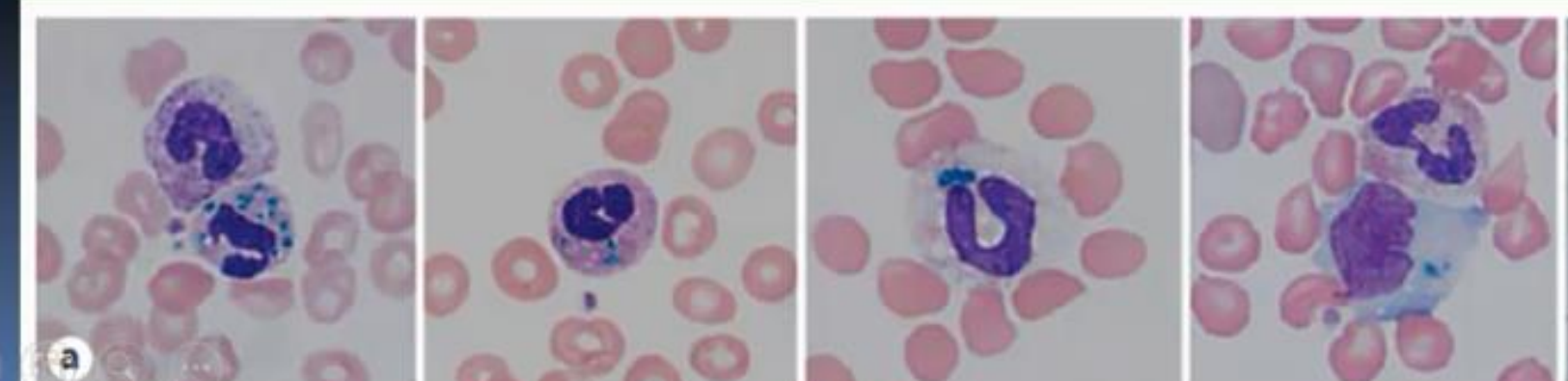
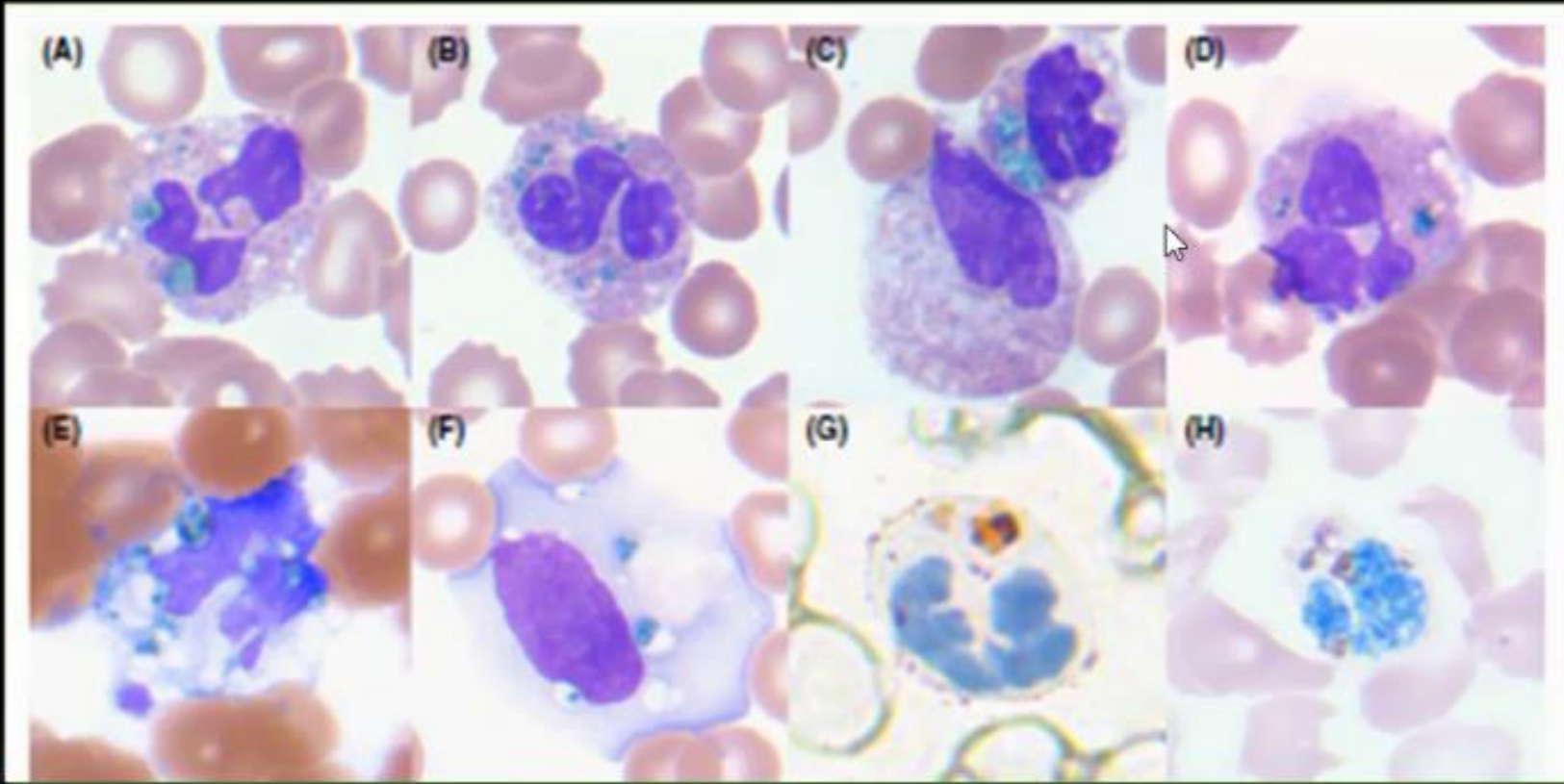
Ehrlichia

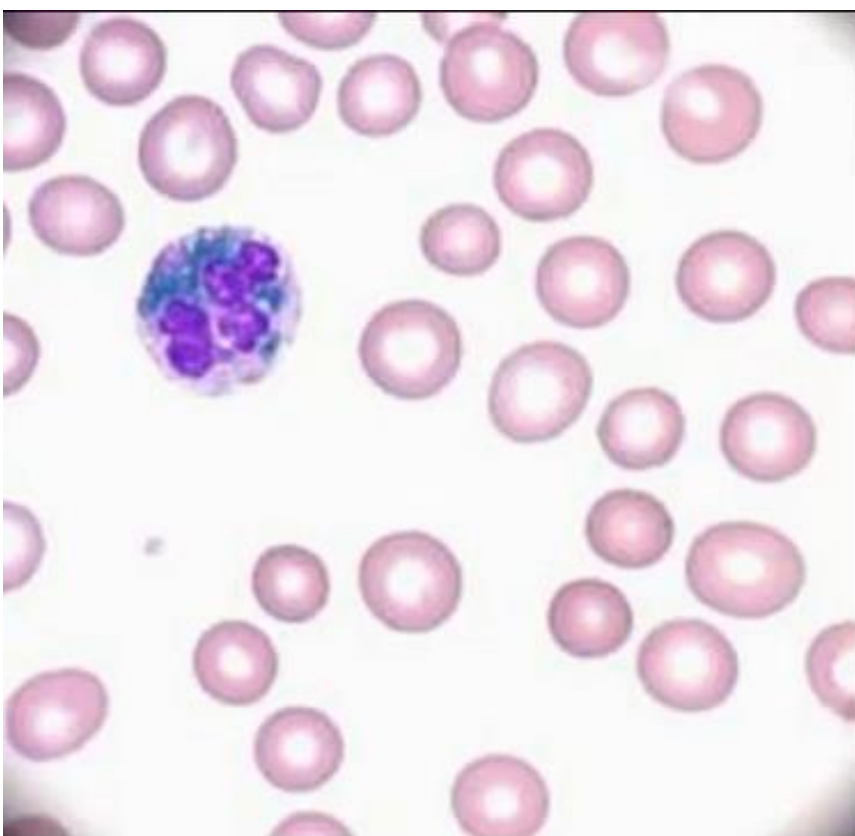


Negative image



Death inclusion





Green Neutrophilic Inclusions are
Frequently Associated With Liver Injury
and May Portend Short-Term Mortality
in Critically Ill Patients FREE



Key steps in diagnosis of AML:

1. Evaluation of an abnormal CBC for possible AML (usually step 1 for the pathologist):

- Confirm HP failures, assess for blasts/blast equivalents (see step 2), and dysplasia.

i. WBC: non-specific; in AML can be low, normal, or high.

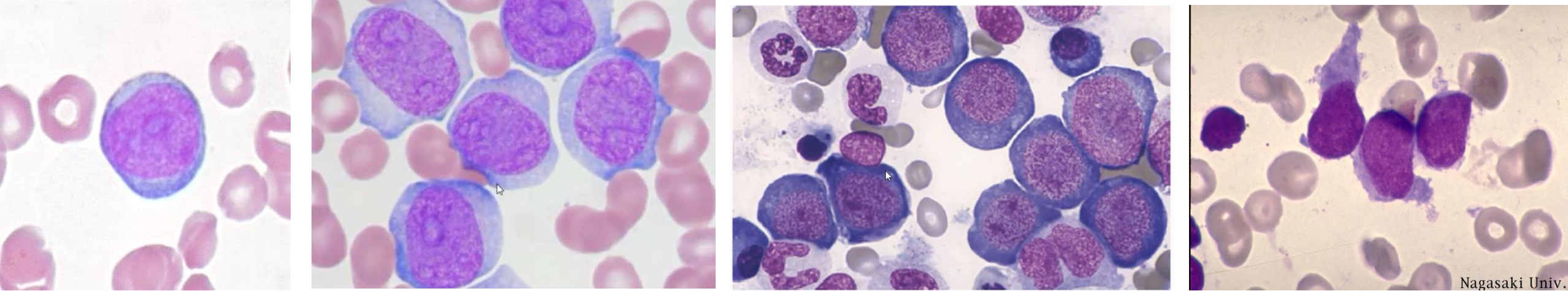
- ANC: severe neutropenia characteristic of HP failure; typical in AML, but exceptions occur.
- Circulating blasts: variable number and percent in AML, but key feature to assess in blood.

ii. RBC features: severe anemia characteristic of HP failure, an expected feature of AML.

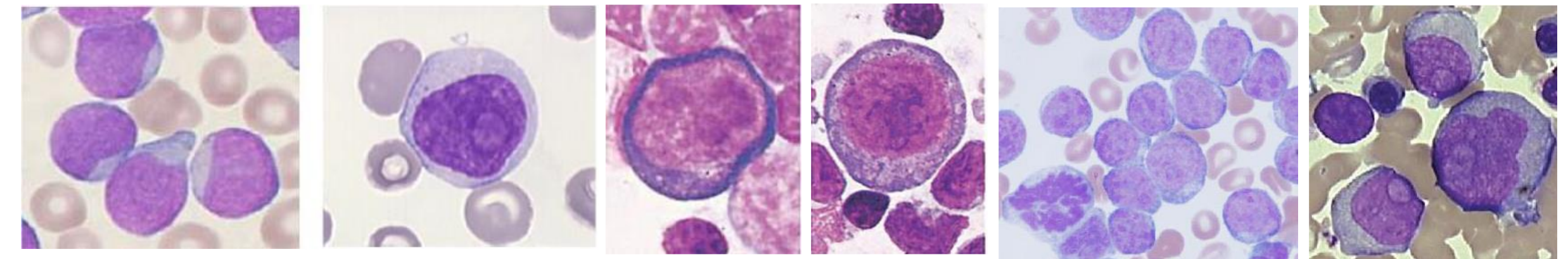
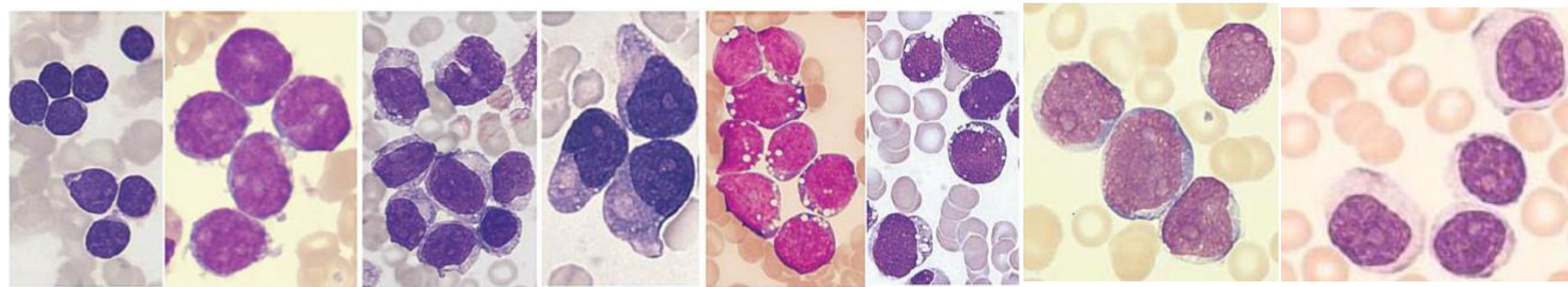
iii. Platelets: severe thrombocytopenia characteristic of HP failure

2. Identify morphologic blasts and blast equivalents in blood (and subsequent bone marrow, if performed):

- Morphologic assessment of nuclear features key for “blast” designation.
- Distinguish from blast look-alikes and other immature hematopoietic cells.
- Consider APL specifically; alert clinician if suspected based on morphology of immature cells and CBC data.
- Cytochemistry, flow cytometric immunophenotyping, genetics can all be performed on blood as needed.



Nagasaki Univ.



3. Bone marrow examination: often performed to address differential diagnoses from blood assessment or for protocol requirements.

4. Determine lineage of blasts/blast equivalents:

- Morphology (nucleus and cytoplasm).
- Cytochemistry.
- Immunophenotype.
- Consider APL specifically and alert clinician if suspected.

5. Enumeration of blasts/blast equivalents by morphology and differential cell count:

- Blood (percentage; threshold $\geq 20\%$)
- Bone marrow (percentage; threshold $\geq 20\%$): blast count $< 20\%$, but Auer rods or other distinctive morphology suggests AML
- Unique situations compromising blast count:
 - Fibrosis and/or necrosis.
 - Predominance ($\geq 50\%$) of erythroid lineage.
 - Marked hypocellularity.
 - Technically poor specimen.

6. Assess all lineages for dysplasia: (core biopsy better for megakaryocyte assessment).

7. Identify biologic subtypes of AML based on:

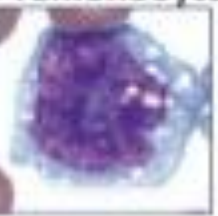
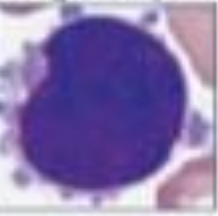
- Distinctive morphologic features (eg, multilineage dysplasia).
- Recurrent cytogenetic subtypes.
- Molecular assessment for NPM1 , CEBPA , and FLT3.
- Prior chemotherapy/radiation.
- Antecedent hematologic disorder.
- Constitutional disorder (eg, Down syndrome or other constitutional disorders).

8. For cases lacking diagnostic biologic features, exclude other differential diagnostic possibilities.

9. Lineage-based classification for AML, NOS cases lacking identifiable biologic features.

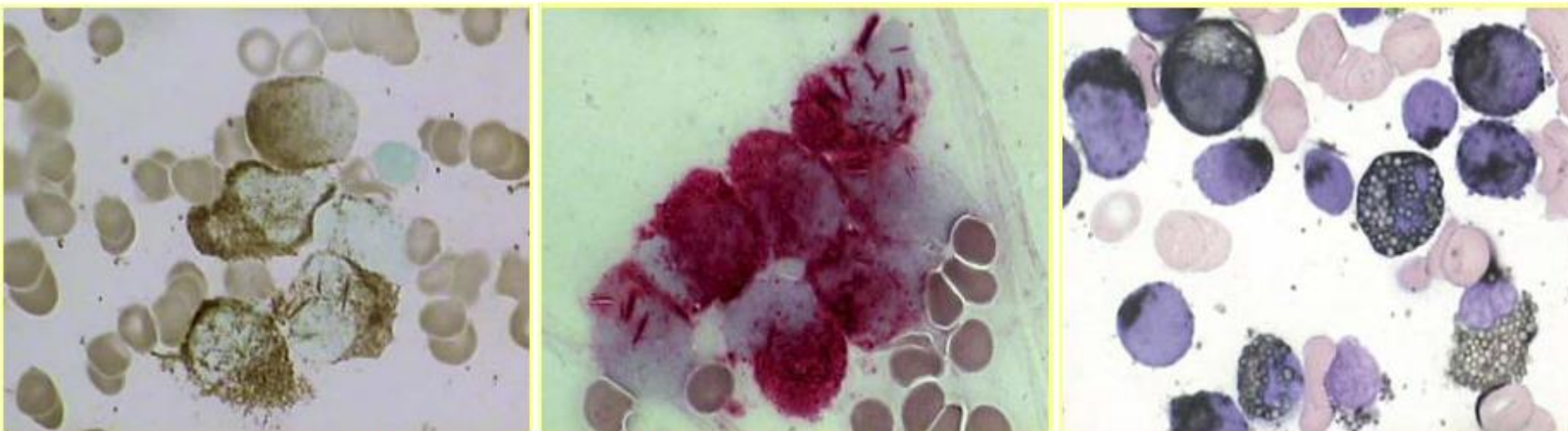
t18.4 Blasts, Blast Equivalents, Other Immature Cells in Blood and Bone Marrow

Cell Type	Key Morphologic Features	Cytochemistry	Immunophenotype/Comments*
Myeloblast 	<p>Large nucleus with finely dispersed chromatin and variably prominent nucleoli</p> <p>Relatively high nuclear/cytoplasmic ratio</p> <p>Variable number of cytoplasmic granules, may be concentrated in limited portion of cytoplasm</p>	MPO+	CD34+, CD13+, CD33+, MPO+, HLA-DR+, vCD11c+, wCD45+, CD117 usually +
Promyelocyte 	<p>Nuclear chromatin slightly condensed; nucleoli variably prominent; nucleus often eccentric, and Golgi zone may be apparent</p> <p>Numerous cytoplasmic granules that may be more dispersed throughout cytoplasm</p> <p>Blast equivalent in APL only</p> <p>In APL, intense cytoplasmic granularity usually present</p> <p>Nuclear configuration variable, but nuclear folding and lobulation characteristic of microgranular variant of APL</p>	Strong, uniform MPO+	<p>CD13+, CD33+, MPO+, wCD45+, CD34-, HLA-DR-</p> <p>Loss of HLA-DR and acquisition of strong CD15 and CD11c associated with maturation</p> <p>Gradual loss of CD33 also characterizes successive maturation stages</p> <p>CD34 usually negative in hypergranular variant; often positive in microgranular variant</p>
Monoblast 	<p>Moderate to low nuclear to cytoplasmic ratio, nuclear chromatin finely dispersed with variably prominent nucleoli; nuclei round to folded</p> <p>Abundant, slightly basophilic cytoplasm containing fine granulation and occasional vacuoles</p>	NSE+	<p>CD34-, HLA-DR+, CD13+, CD33 bright +, CD36/CD64 coexpression, vCD4+, CD11c+, wCD45+</p> <p>Usually CD34-</p> <p>Occasional cases moderate CD45+</p>

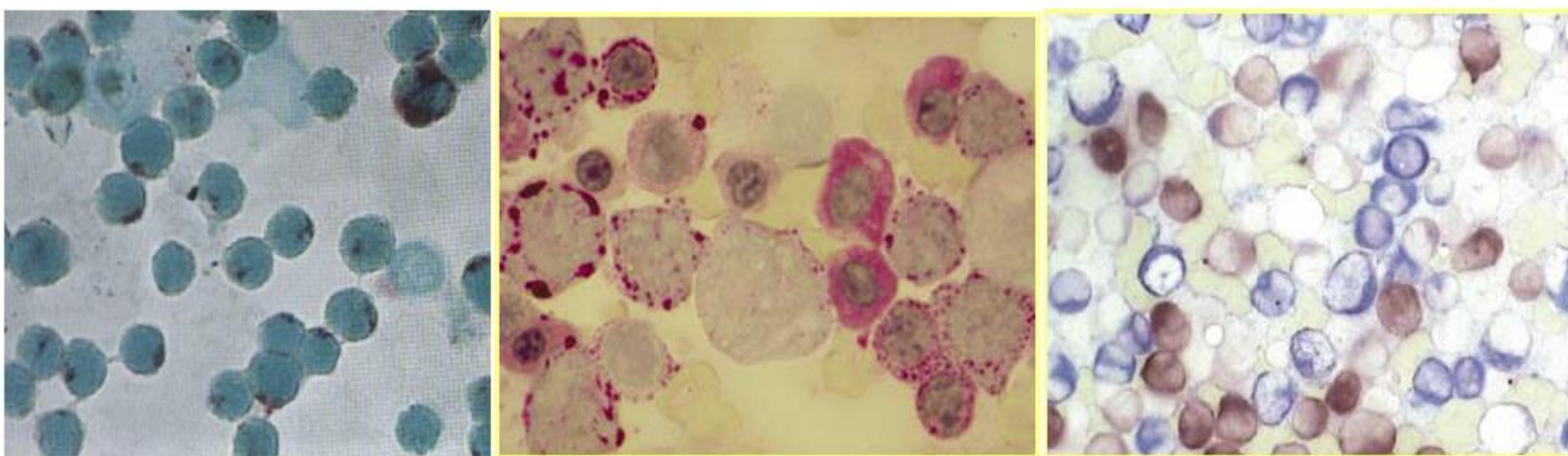
	Slightly condensed nuclear chromatin; variably prominent nucleoli Abundant finely granular blue/gray cytoplasm that may be vacuolated Very monocytic appearance with nuclear immaturity Consistent blast equivalent in AML	NSE+ 	CD36/CD64 coexpression, HLA-DR+, CD13+, CD33 bright +, vCD14+, CD4+, CD11c+, CD45+
	Relatively high nuclear/cytoplasmic ratio Nucleus round with slightly condensed chromatin; nucleoli variably prominent Moderate amounts of deeply basophilic cytoplasm that may be vacuolated Included in blast percentage <i>only</i> in acute erythroid leukemia	PAS+ 	Glycophorin A+, hemoglobin A+, CD71+, CD34-, CD45-, MPO-, myeloid antigens negative CD117 often positive
	Highly variable morphologic features; often not recognizable without special studies May be lymphoid-appearing with high nuclear to cytoplasmic ratio Nuclear chromatin fine to variably condensed Cytoplasm may be scant to moderate, is usually agranular or contains a few granules; blebbing or budding of cytoplasm may be evident Blasts may form cohesive clumps	NA 	CD34-, CD41+, CD61+, CD33 bright +, CD13-, HLA-DR- (or dim) Progressive maturation characterized by loss of CD34 and acquisition of CD42 and von Willebrand factor
	Variable morphology; not identified in either normal bone marrow or AML Often not recognizable without immunophenotyping May be lymphoid-appearing May show cytoplasmic tadpoles	MPO- 	CD4+, CD56+, CD123+, CD43+, CD45+, HLA-DR+, vTdT+ CD123 not specific; seen in subset of AMLs (Discussed in detail in Chapter 19)

جدول ۱-۶۸: خصوصیات رنگ آمیزی سیتوشیمی در نشوپلاسم‌های مختلف خونی

رنگ سیتوشیمی	خصوصیات
MPO	باعث رنگ شدن گرانول اولیه و ثانویه و آثوررادهای سلول‌های رده نوتروفیلی، گرانول‌های ائوزینوفیل (به صورت توپر) و گرانول‌های مونوسیت می‌شود. گرانول‌های یک بازویل نرمال با MPO رنگ نمی‌گیرد. معرف این رنگ در واقع سوبستراپی است که در حضور آنزیم MPO به رنگ قهوه‌ای در می‌آید.
SBB	باعث رنگ شدن گرانول اولیه و ثانویه و آثوررادهای سلول‌های رده نوتروفیلی، گرانول‌های ائوزینوفیل (به صورت گرانول حاوی کربیستال) و گرانول‌های مونوسیت می‌شود. گرانول‌های یک بازویل نرمال معمولاً با MPO رنگ نمی‌گیرد ولی گاهی به صورت متاکروماتیک (قرمز/بنفش) رنگ می‌شود. این رنگ دیواره لیپیدی گرانول‌ها را رنگ می‌کند.
NASD-CAE	باعث رنگ شدن گرانول ماستسل و نوتروفیل می‌شود، بجز در AML نوع M2:t(8;21) و M3:t(15;17) آثورادها معمولاً با این رنگ منفی می‌شوند.
ANAE	باعث رنگ شدن مونوسیت، ماکروفاژ، مگاکاربیوسیت، پلاکت، اکثریت Tسل‌ها و برخی لنفوبلاست‌ها می‌شود.
ANBE	باعث رنگ شدن مونوسیت، ماکروفاژ و موارد خاصی از Tسل‌ها می‌شود (ولی متغیر).
PAS	تمامی سلول‌های رده نوتروفیلی (به صورت گرانول که با بلوغ سلول، بیشتر و منتشرتر می‌شود)، پرمیلوبیوسیت‌های لوسمیک (به صورت منتشره)، سیتوپلاسم ائوزینوفیل (نه گرانول‌ها)، سیتوپلاسم بازویل (به صورت بلوک)، مونوسیت‌ها (به صورت گرانول در سیتوپلاسم منتشره)، نورموبلاست‌های لوسمیک (به صورت بلوک)، برخی از لنفوسیت‌های B و T و اکثر لنفوبلاست‌های لوسمیک (به صورت بلوک و در T < B) با معرف Schiff مثبت می‌شوند که این رنگ اغلب ذخایر گلیکوژنی را رنگ می‌کند.
Acid-P	نوتروفیل، اکثر Tسل‌ها، لنفوبلاست‌های T (به صورت فوکال) و درجاتی از ائوزینوفیل، مونوسیت و پلاکت را رنگ می‌کند. این رنگ ماکروفاژ، پلاسماسل، مگاکاربیوسیت و برخی مگاکاربیوبلاست‌های لوسمیک را نیز رنگ می‌کند.
Toluidin Blue	گرانول‌های بازویل و ماستوسیت
Perl's	هموسبیدرین‌های نورموبلاست‌ها، ماکروفاژها (سیدروفاژها) و گاهآ پلاسماسل را رنگ می‌کند.



شکل ۸-۸: از راست به چپ: ۱) رنگ آمیزی SBB (سیاه)، ۲) رنگ آمیزی CAE (قرمز) و ۳) رنگ آمیزی MPO (قهوه‌ای)

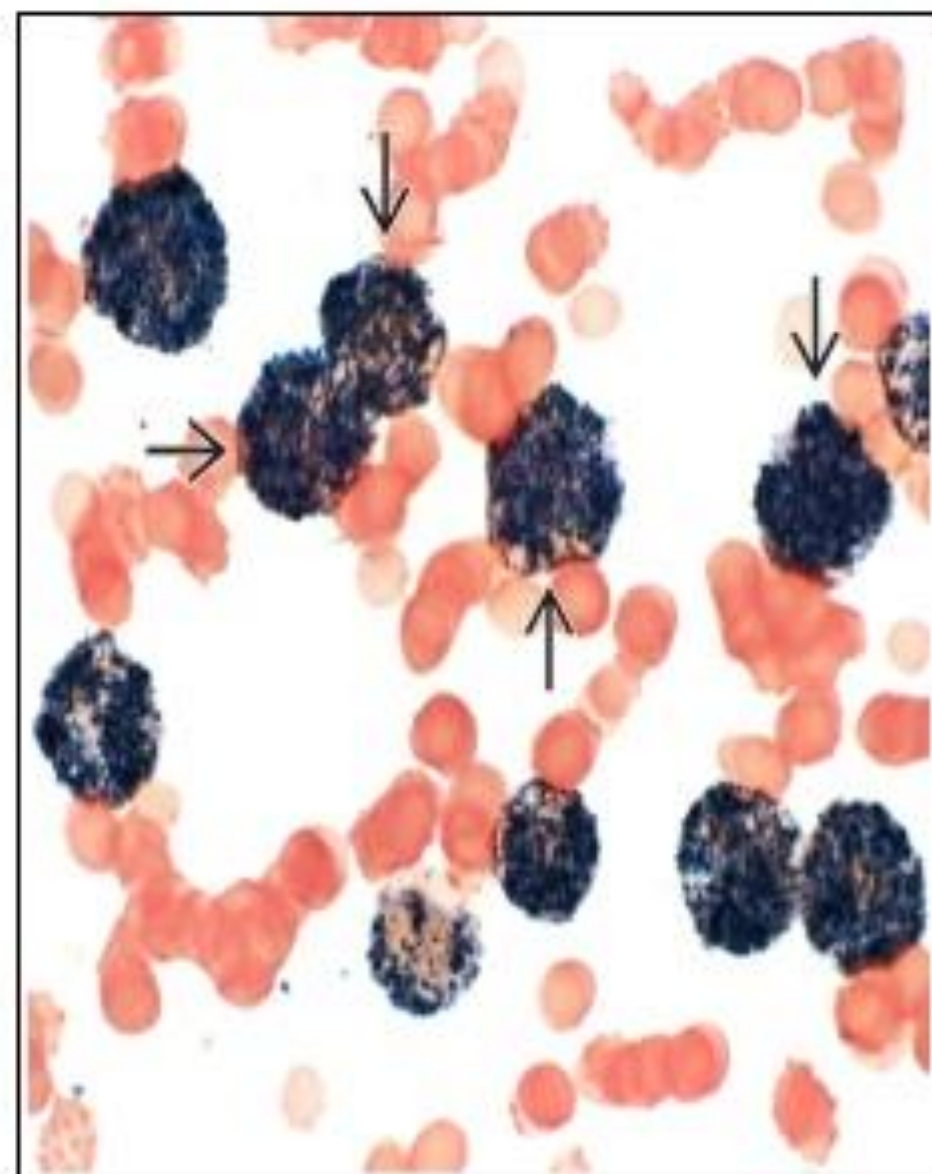


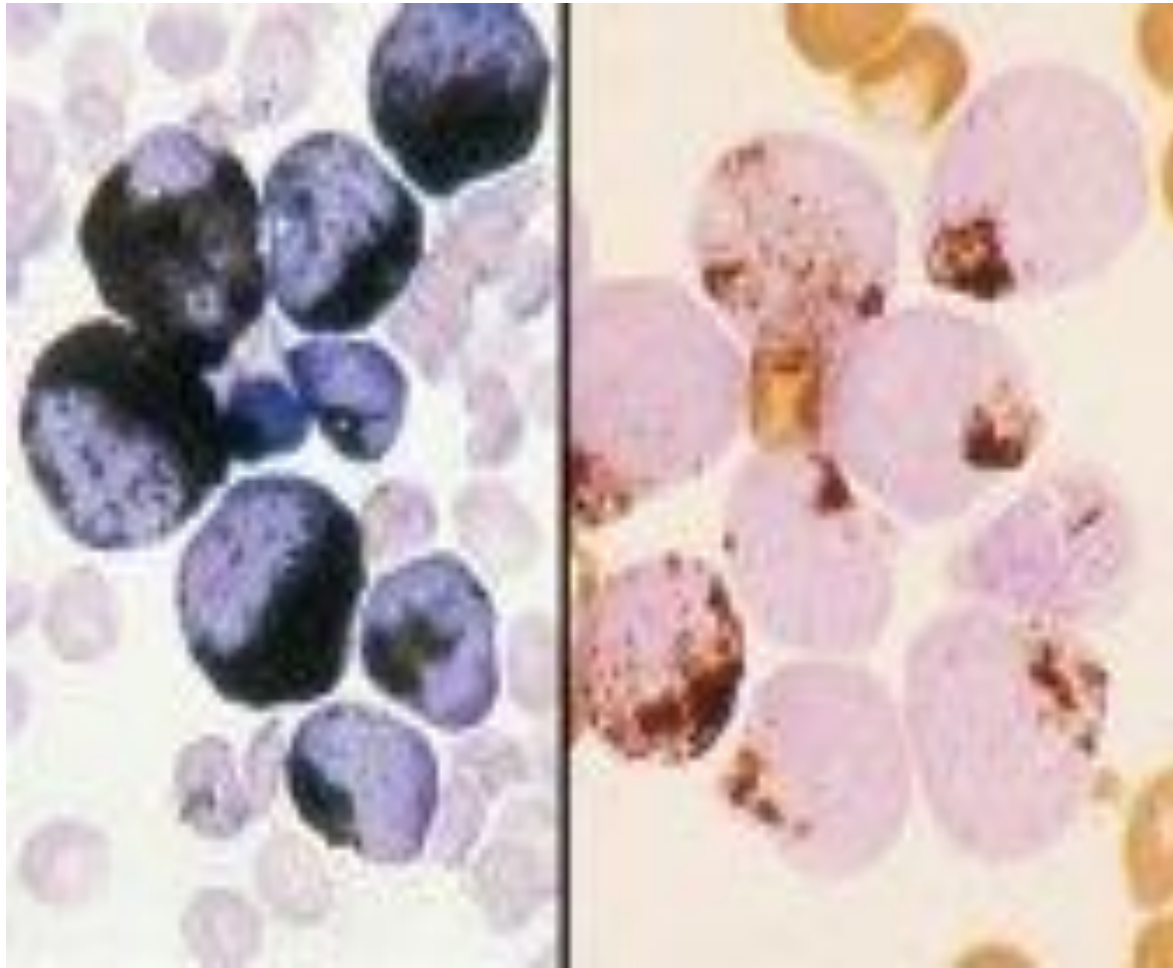
شکل ۸-۹: از راست به چپ: ۱) رنگ آمیزی دوبل استراز PAS (قهوه‌ای+آبی)، ۲) رنگ آمیزی CAE+ANAE و ۳) رنگ آمیزی Acid-P فوكال (قهوه‌ای)

2. Cytochemistry:

i. Myeloperoxidase (MPO):

- Myeloperoxidase is an enzyme located in the azurophil (primary) granules of myeloid cells.
- MPO positivity appears as coloured granules in the cytoplasm of cells mainly at the site of enzyme activity (Golgi zone).
- All the stages of neutrophil series show MPO positivity.
- In monocyte series azurophil granules are smaller and MPO activity stains less strongly and appears late during maturation.
- MPO is never seen in lymphoblasts.
- The main use of MPO is to distinguish AML from ALL.
- MPO is positive in AML subtypes M1, M2, M3 (strong positivity), and M4

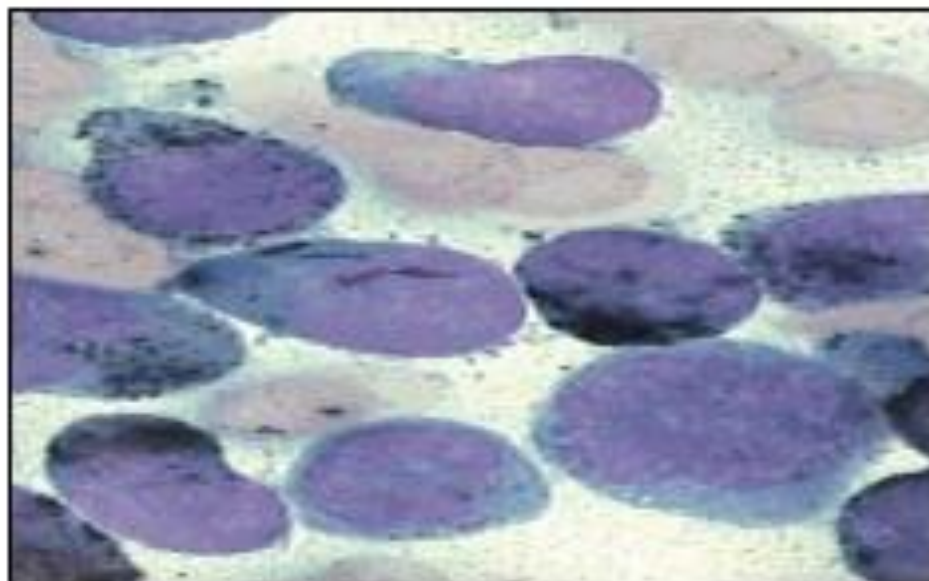




MPO (right) & Sudan black (left)
showing intense localised positivity
in blasts

ii. Sudan black B (SBB):

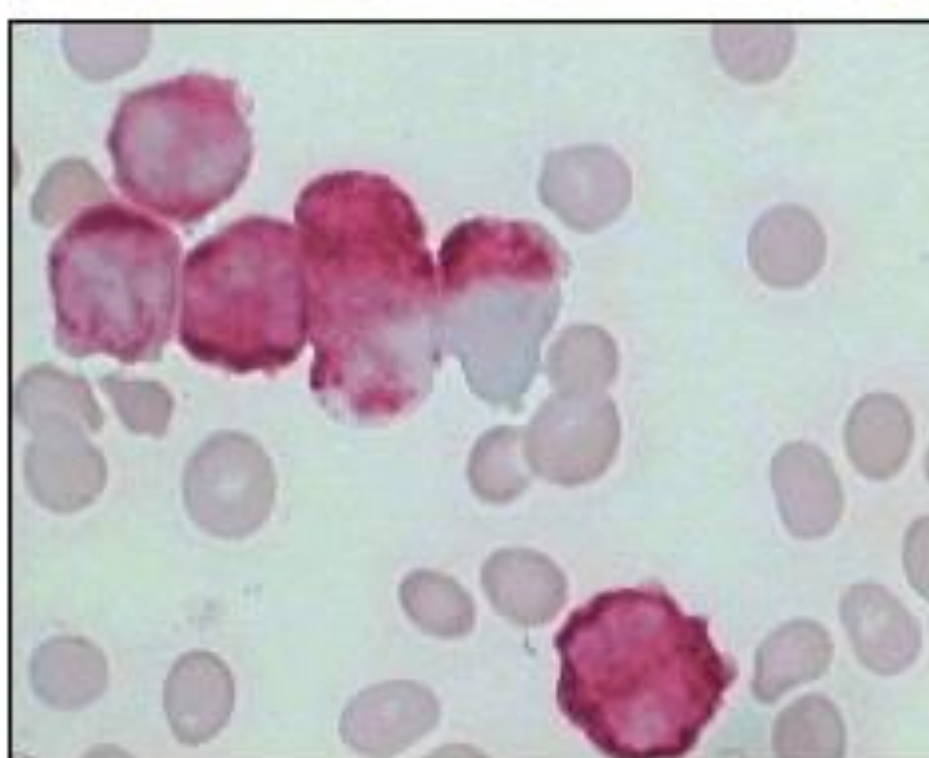
- Phospholipids in the membrane of neutrophil granules are stained by SBB. SBB positivity parallels that of MPO in neutrophil series.



iii. Esterases:

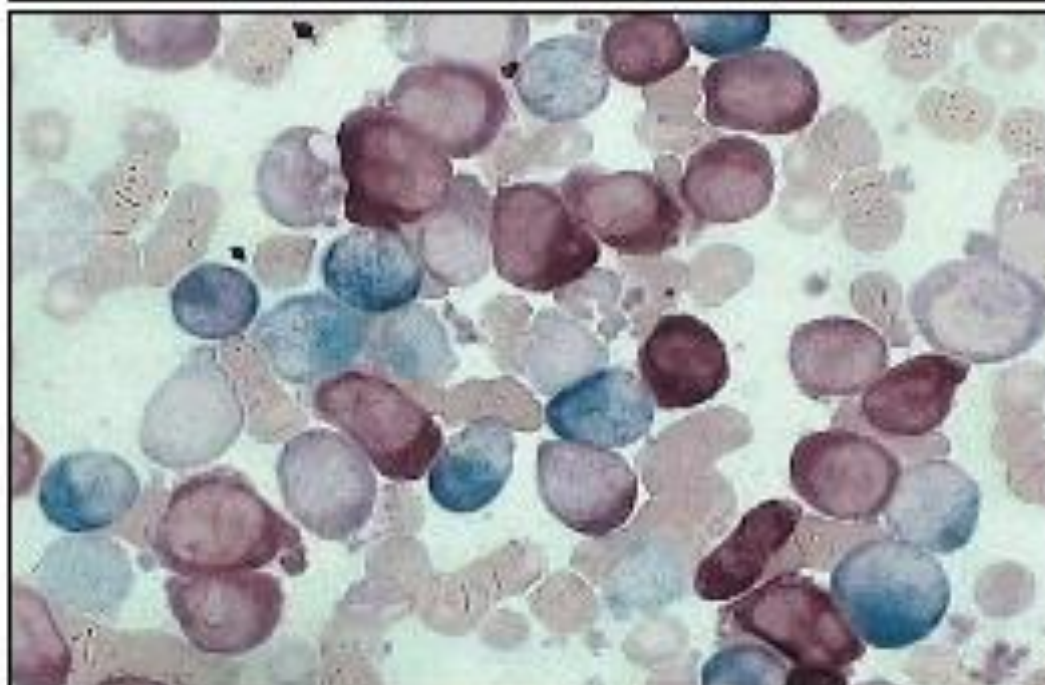
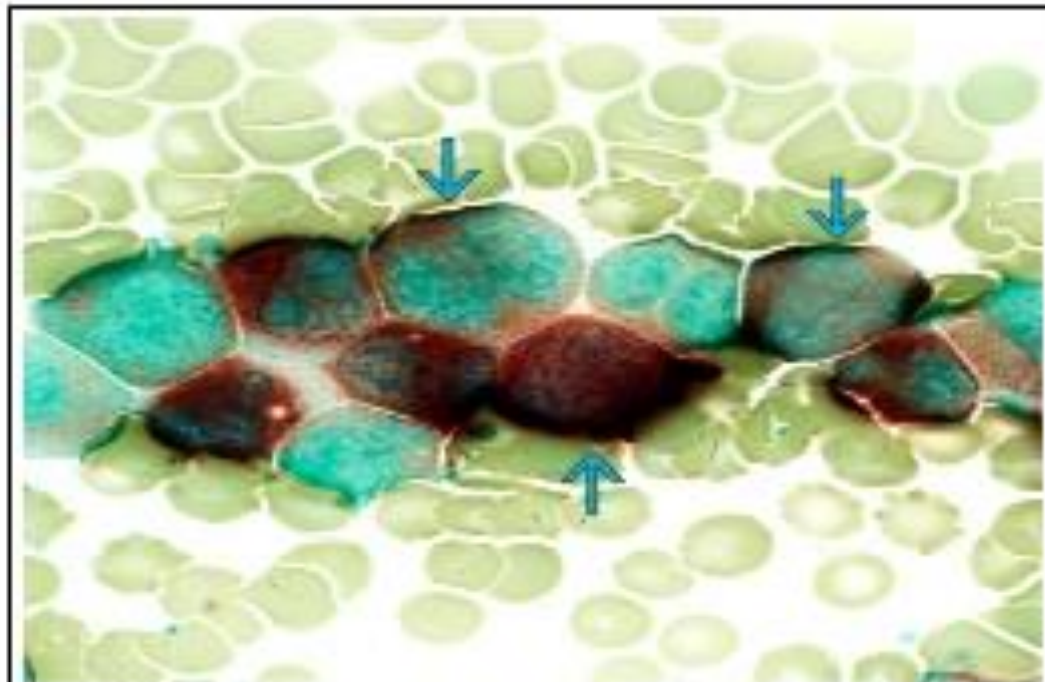
1. Chloroacetate esterase (CAE) (a.k.a. specific esterase):

- The reaction is present in all cells of neutrophil series (though less sensitive than MPO and SBB) and is negative in monocyte series.
- It is commonly used in combination with non-specific esterase (NSE) for diagnosis of leukemia with both myeloid and monocyte components (AML M4). Both esterases (CAE for myeloid and NSE for monocytic components) can be demonstrated in the same blood film; this is called as combined or double esterase reaction.

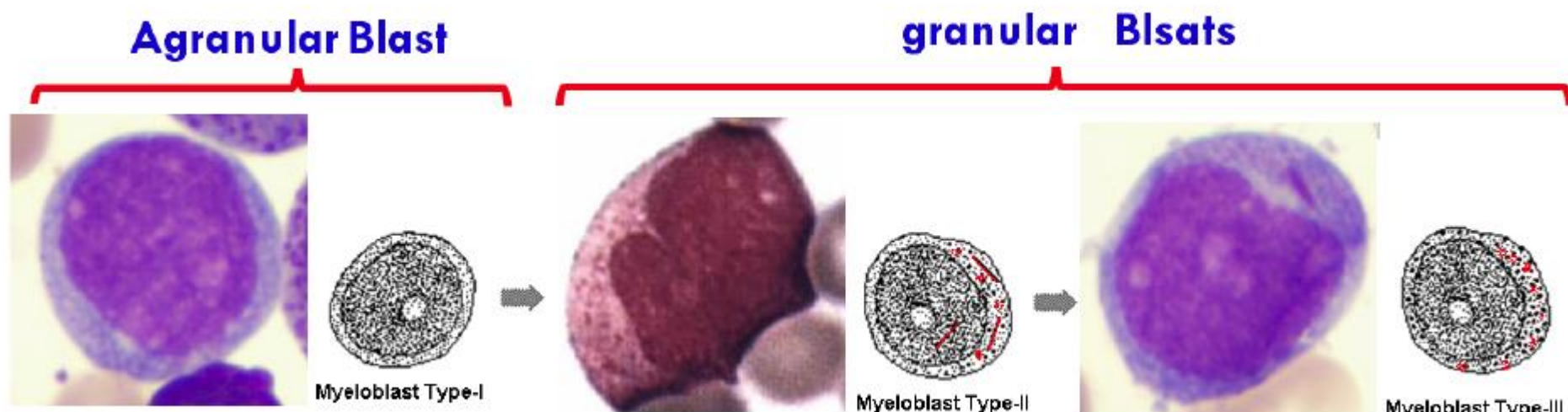


2. Non-specific esterase (NSE) reaction (usually demonstrated by ANAE or ANBE):

- α -naphthyl acetate esterase is an enzyme that is present in large quantities in monocytic cells.
- It is present in small amounts in myeloid and lymphoid cells.
- The non-specific esterase reaction is intensely and diffusely positive in monocyte series and is sensitive to sodium fluoride.
- ANAE/NASDA gives a characteristically strong diffuse reaction in monocytic leukemias (M4 & M5) and gives a localized pattern in M6 & M7.
- Esterase reaction is sensitive to inhibition by sodium fluoride in monocytes. It is partially inhibited in M4 and totally inhibited in M5.



درصد شیوع	خصوصیات	نام دیگر	کلاس
۲-۳	AML بدون تمايز میلؤئیدی و بدون بلوغ	AML	M0
۱۵-۲۰	AML توأم با تمايز و بدون بلوغ (بدون حضور سلول های بالغ)		M1
۳۰	AML توأم با بلوغ و حضور سلول های بالغ		M2
۵-۱۰	AML توأم با تمايز پرومیلوسیتی		APL M3
۱۵-۲۰	AML توأم با تمايز میلوبلاستی و مونوبلاستی		AMML M4
۱۵	AML توأم با تمايز مونوبلاستی		AMoL M5
۳-۴	AML توأم با تمايز میلوبلاستی و اریتروبلاستی		AEL M6
۱-۲	AML توأم با تمايز میلوبلاستی و مگاکاربوبلاستی		AMegL M7
نادر	AML توأم با تمايز میلوبلاستی و بازو فیلی		ABL M8



شکل ۱۲-۶۸: انواع بلاست های گرانولار و آگرانولار

BLAST CLASSIFICATION

Type 1

Typical myeloblast with open chromatin and prominent nucleoli, immature deep blue cytoplasm without granules.

Type 2

Similar to type one + presence of up to 20 discrete azurophilic granules.

Type 3

Similar to type one + numerous azurophilic granules.

Classification of AML:

I. FAB classification:

Category	Features
M0: Minimally differentiated AML	<3% of blasts have MPO or SBB staining, but there is expression of myeloid antigens on flow cytometry
M1: AML without maturation	>90% of myeloid cells are blasts; >3% of blasts positive for MPO or SBB
M2: AML with maturation	>10% of myeloid cells have maturation to promyelocytes or later stage; ≥30% myeloblasts
M3: Acute promyelocytic leukemia	<ul style="list-style-type: none">- <u>Hypergranular (75%)</u>: Predominant cell is abnormal promyelocyte with large cytoplasmic granules or numerous Auer rods.- <u>Microgranular (25%)</u>: Abnormal promyelocytes with small granules and folded nuclei.
M4: Acute myelomonocytic leukemia (AMML)	Monocytosis in blood; ≥20% of marrow cells are monocytic. - <u>M4Eo</u> : Abnormal eosinophils with large basophilic granules present in marrow.
M5: Acute monocytic leukemia	<ul style="list-style-type: none">- <u>M5A</u>: >80% of marrow cells are monoblasts.- <u>M5B</u>: Predominance of promonocytes.
M6: Acute erythroleukemia	>50% of nucleated marrow cells are erythroid precursors; >30% of nonerythroid cells are myeloblasts.
M7: Acute megakaryocytic leukemia	>50% of myeloblasts express megakaryocytic markers by flow cytometry.

IV. AML, NOS

AML with minimal differentiation

AML without maturation

AML with maturation

Acute myelomonocytic leukemia

Acute monoblastic/monocytic leukemia

Pure erythroid leukemia

Acute megakaryoblastic leukemia

Acute basophilic leukemia

Acute panmyelosis with myelofibrosis

V. Myeloid sarcoma

VI. Myeloid proliferations related to Down syndrome

Transient abnormal myelopoiesis (TAM)

Myeloid leukemia associated with Down syndrome

II. The 2016 revision of the WHO classification:

I. AML with recurrent genetic abnormalities

AML with t(8;21)(q22;q22.1);RUNX1-RUNX1T1

AML with inv(16)(p13.1q22) or t(16;16)(p13.1;q22);CBFB-MYH11

APL with PML-RARA

AML with t(9;11)(p21.3;q23.3);MLLT3-KMT2A

AML with t(6;9)(p23;q34.1);DEK-NUP214

AML with inv(3)(q21.3q26.2) or t(3;3)(q21.3;q26.2); GATA2, MECOM

AML (megakaryoblastic) with t(1;22)(p13.3;q13.3);RBM15-MKL1

Provisional entity: AML with BCR-ABL1

AML with mutated NPM1

AML with biallelic mutations of CEBPA

Provisional entity: AML with mutated RUNX1

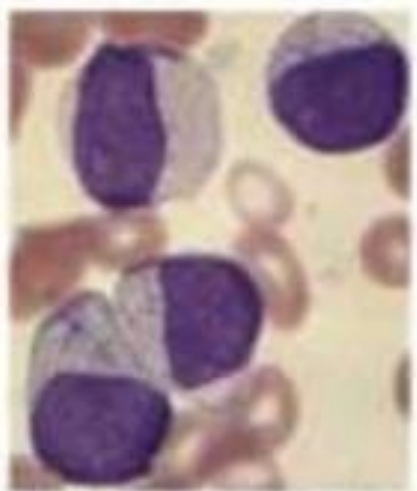
II. AML with myelodysplasia-related changes (AML-MRC)

III. Therapy-related myeloid neoplasms

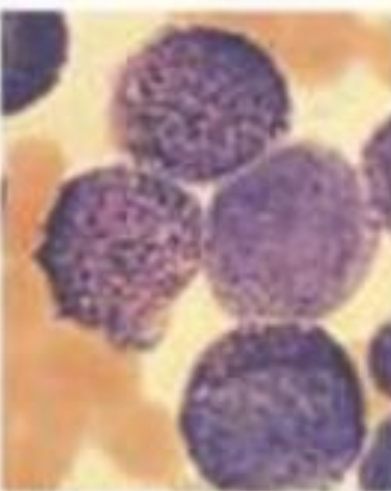
Acute myeloid leukemia with recurrent genetic abnormalities

- AML with t(8;21)(q22;q22): RUNX1-RUNX1T1
- AML with inv(16)(p13.1q22) or t(16;16)(p13.1;q22): CBF β -MYH11
- APL with t(15;17)(q22;q23): PML-RARA
- AML with t(9;11)(p22;q23): MLLT3-MLL
- AML with t(6;9)(p23;q34): DEK-NUP214
- AML with inv(3)(q21;q26.2) or t(3;3)(q21;q26.2): RPN1-EVI1
- AML (megakaryoblastic) with t(1;22)(p13;q13): RBM15-MKL1
- Provisional entity: AML with mutated NPM1
- Provisional entity: AML with mutated CEBPA

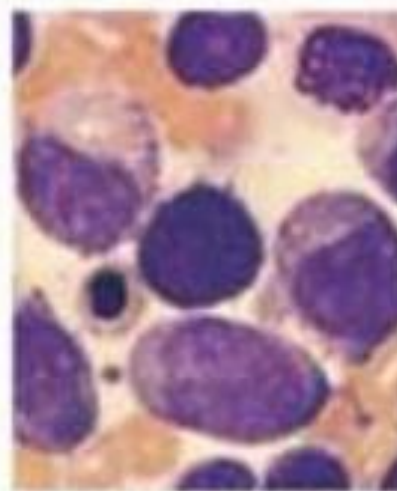
ACUTE MYELOID LEUKEMIA



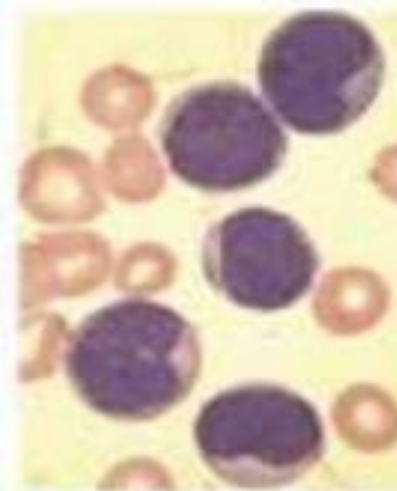
Myeloblastic



Promyelocytic



Myelomonocytic



Monocytic

t(8;21)

AML1 ETO
t(6;9)
DEK CAN

t(15;17)

PML RAR α
t(11;17)
PLZF RAR α
t(5;17)
NPM RAR α
t(11;17)
NuMA RAR α
t(17;17)
(Stat)b5 RAR α

t(8;21)

AML1 ETO
inv(16)/t(16;16)
CBF β MYH11
t(8;16)
MOZ CBP
t(6;9)
DEK CAN

t(9;11)

MLL AF9
inv (8)
MOZ TIF2
t(8;16)
MOZ CBP

Pathogenesis of Leukemogenesis

Accumulation of multiple genetic hits:

Class I and class II mutations (**Double hit hypothesis**)

Class I: Pro-proliferative signal e.g., FLT3, JAK2, KIT

Class II: Impairment of cellular maturation e.g., PML-RARA, CEBPA, RUNX1-RUNX1T1

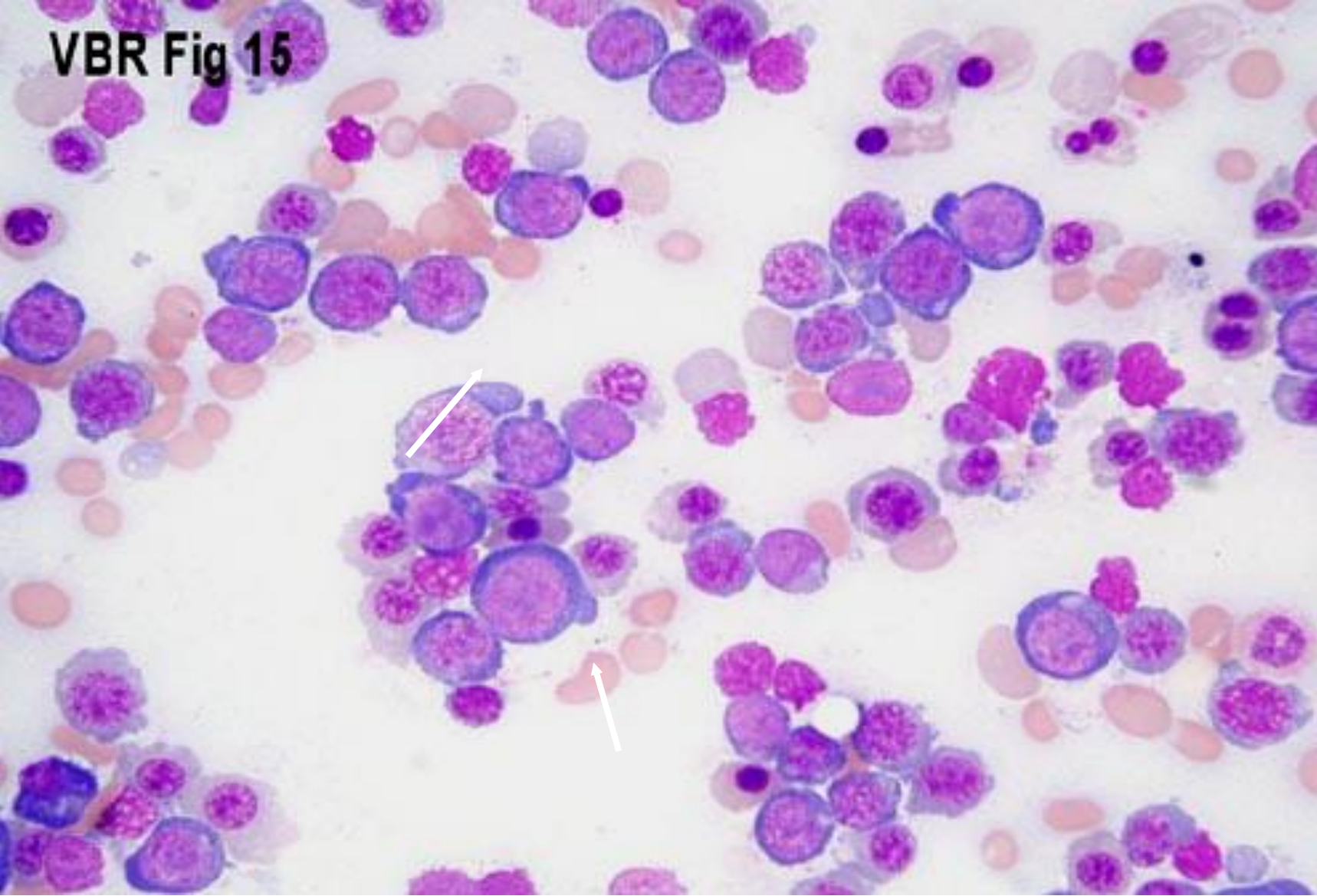
t18.2 Class I and Class II Mutations in AML

Class I Mutations (Proliferation)	Class II Mutations (Impaired Differentiation)
FLT3	PML-RARA
KIT	RUNX1-RUNX1T1
RAS	CBFB-MYH11
PTPN11	MLL fusions
JAK2	CEBPA

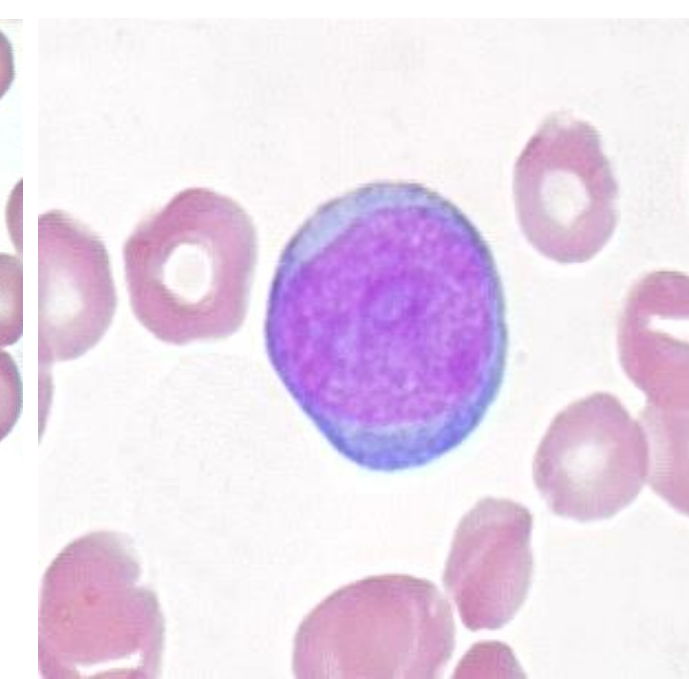
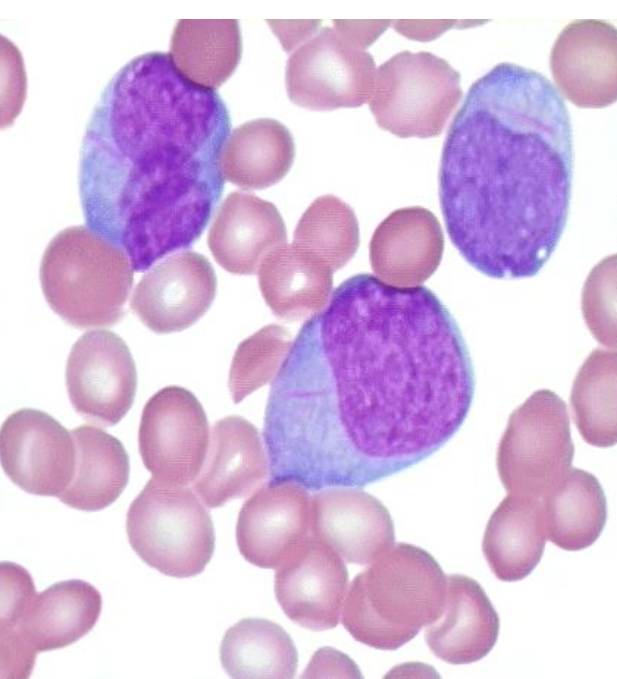
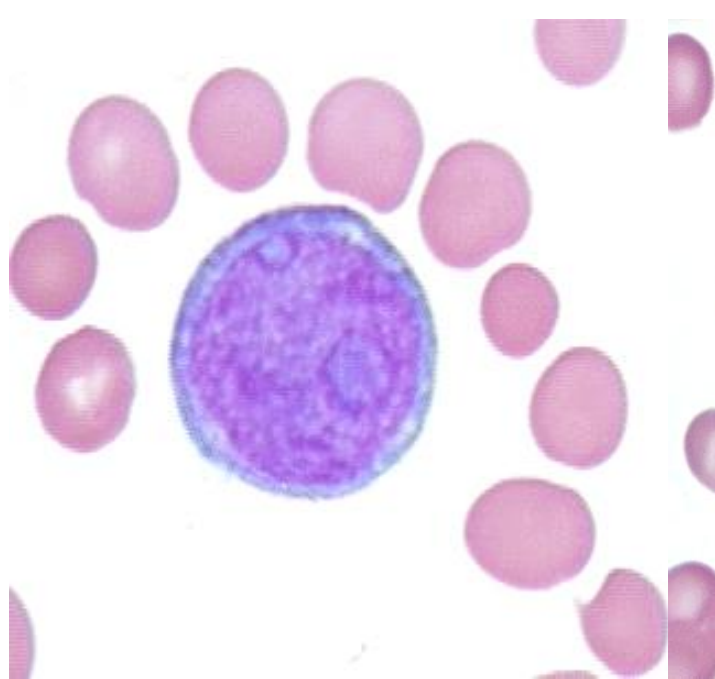
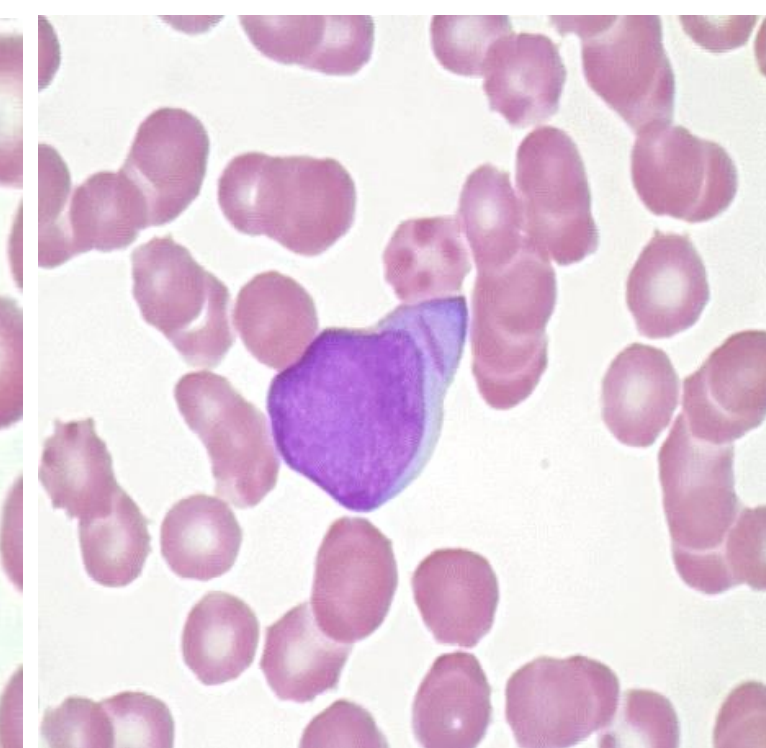
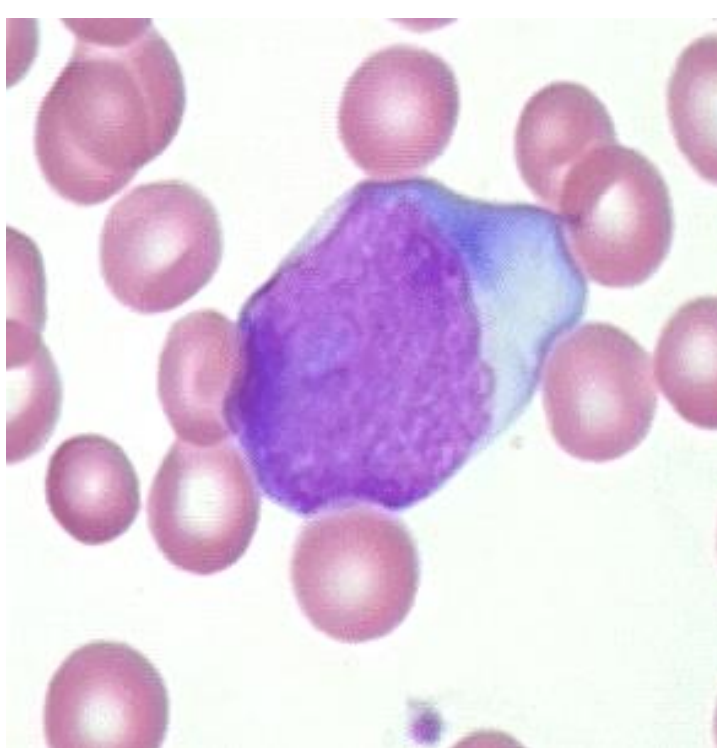
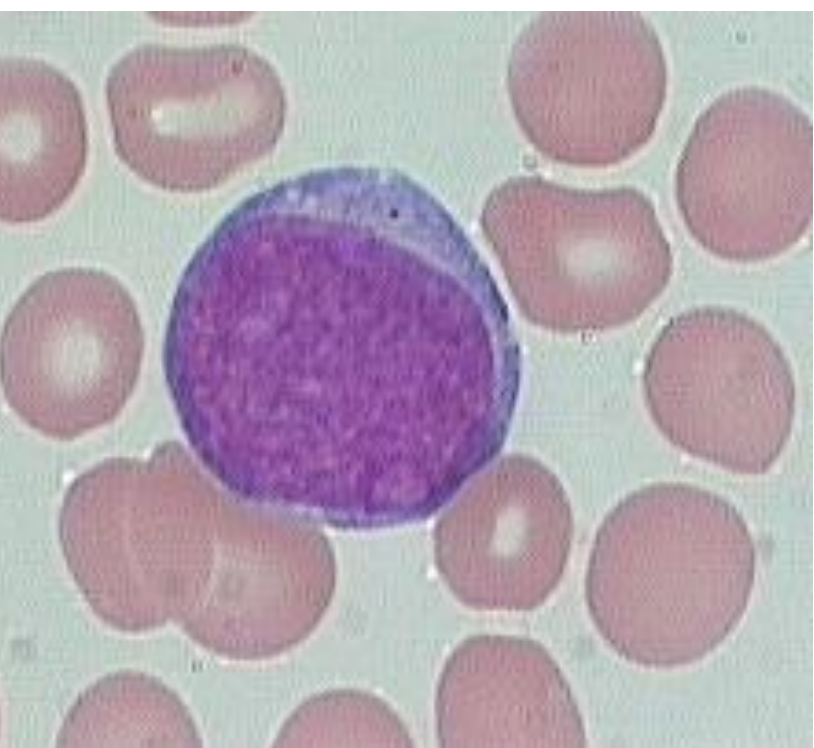
*The mechanism of leukemogenesis for *NPM1* mutations remains somewhat unclear

Reference: Nardiman 2008b

VBR Fig 15

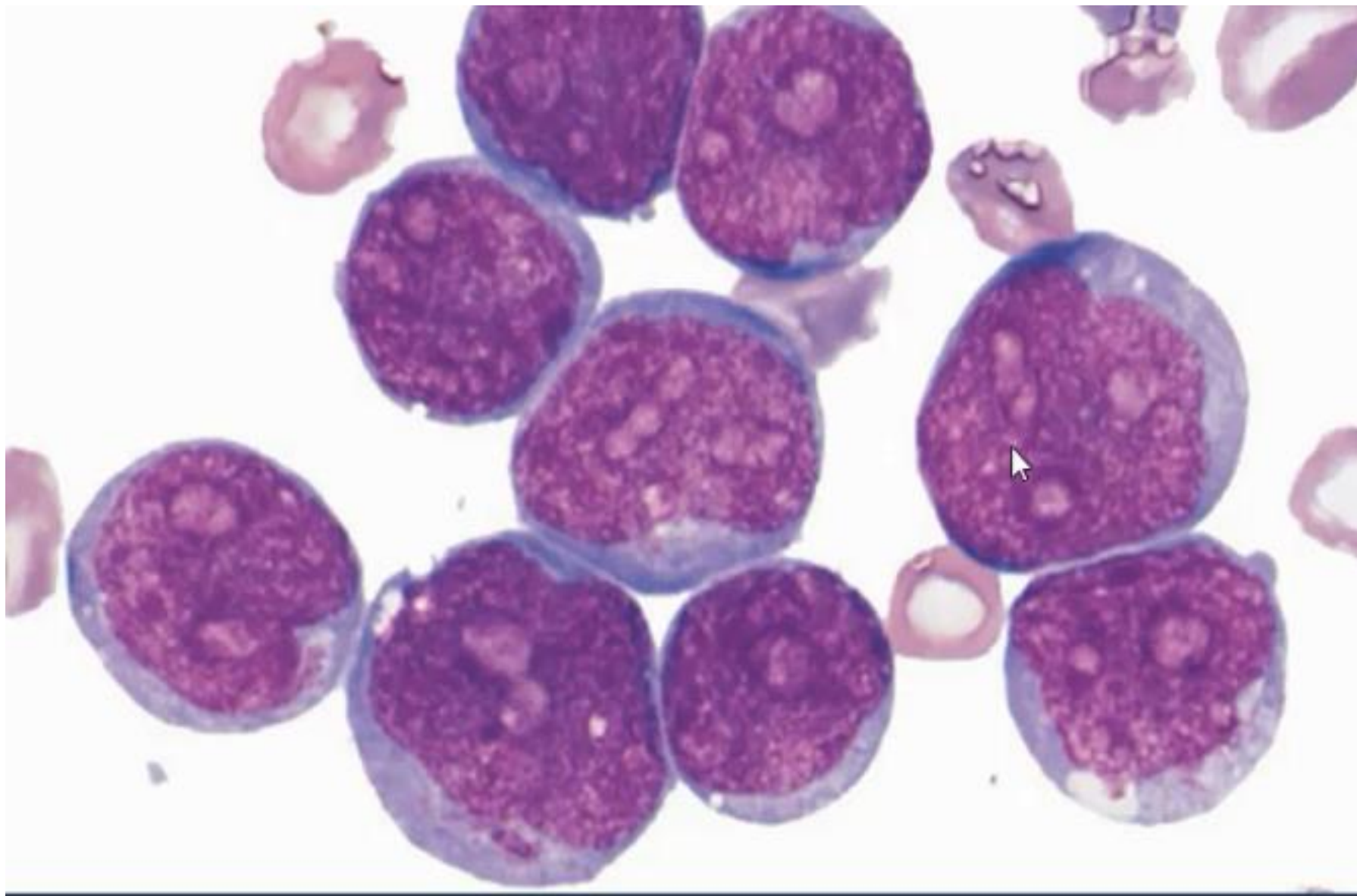


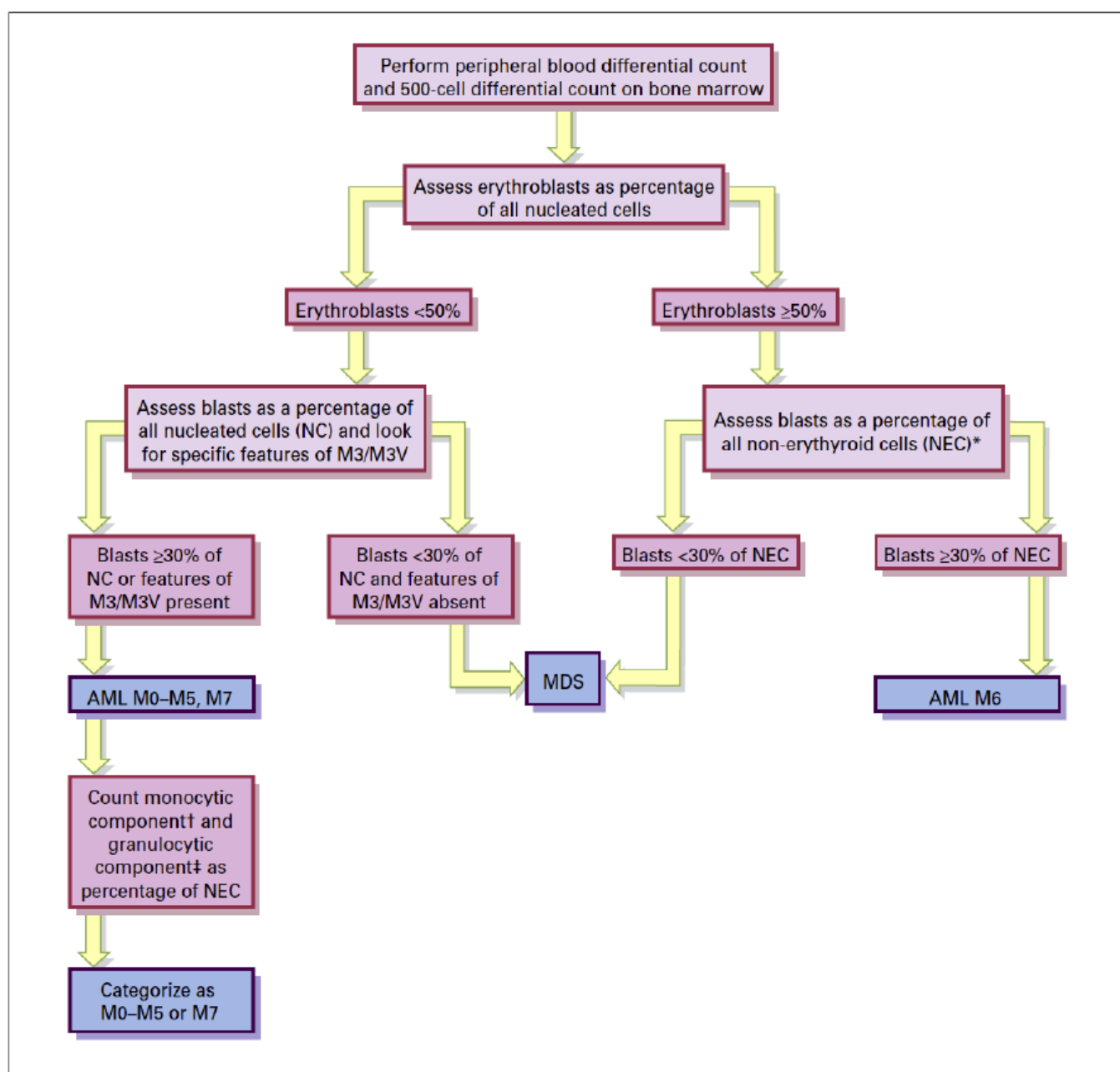
P. Smear AML



Myeloblast with auer rod







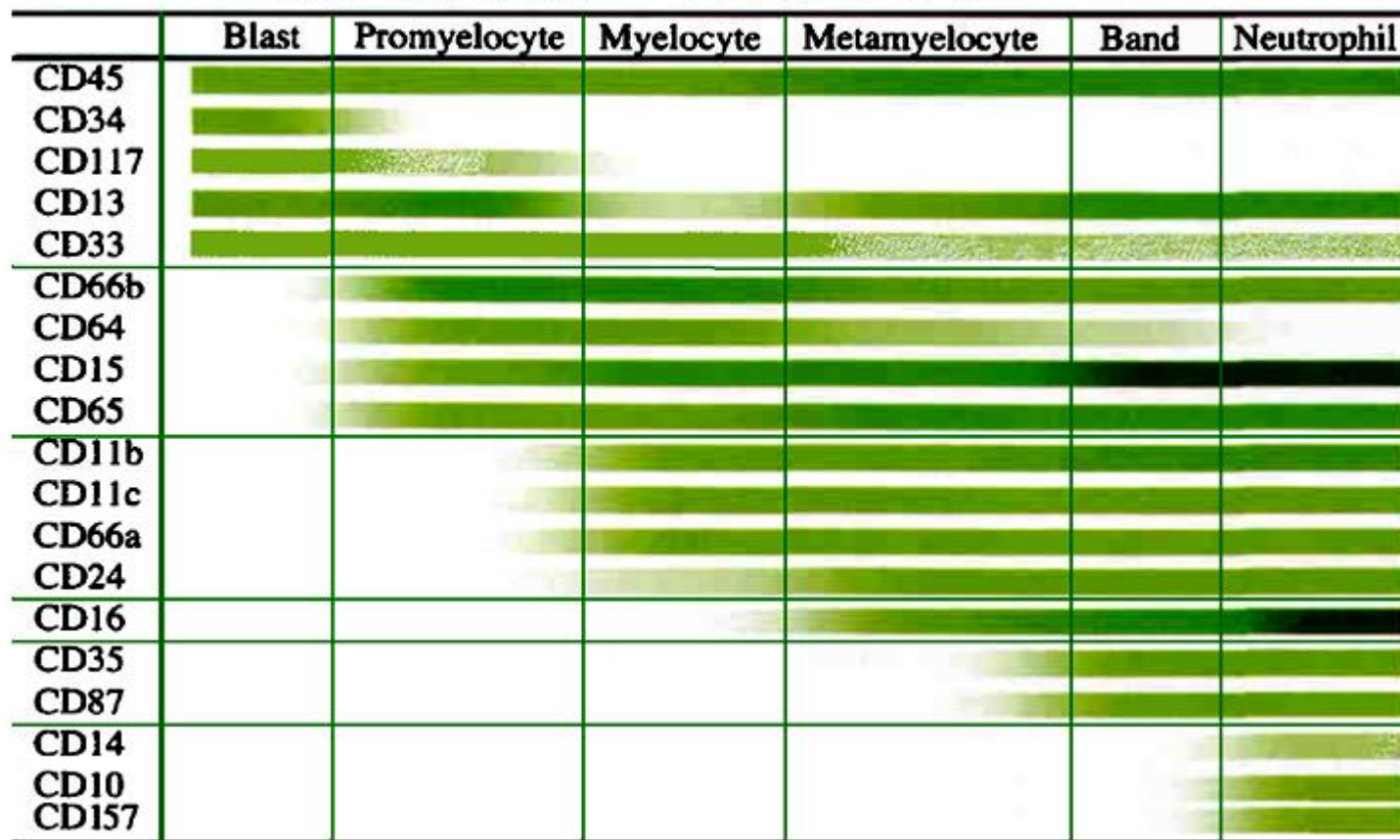
شکل ۱۱-۸؛ پروسه تشخیص AML و تشخیص افتراقی آن از MDS

* لنفوцит‌ها، پلاسماسل‌ها، ماستسل‌ها و ماکروفاژها بیز از این دسته مستثنی می‌شوند. همچنین در طبقه‌بندی‌های امروز تعداد بالاست $\geq 20\%$ کاهش پیدا کرده است.

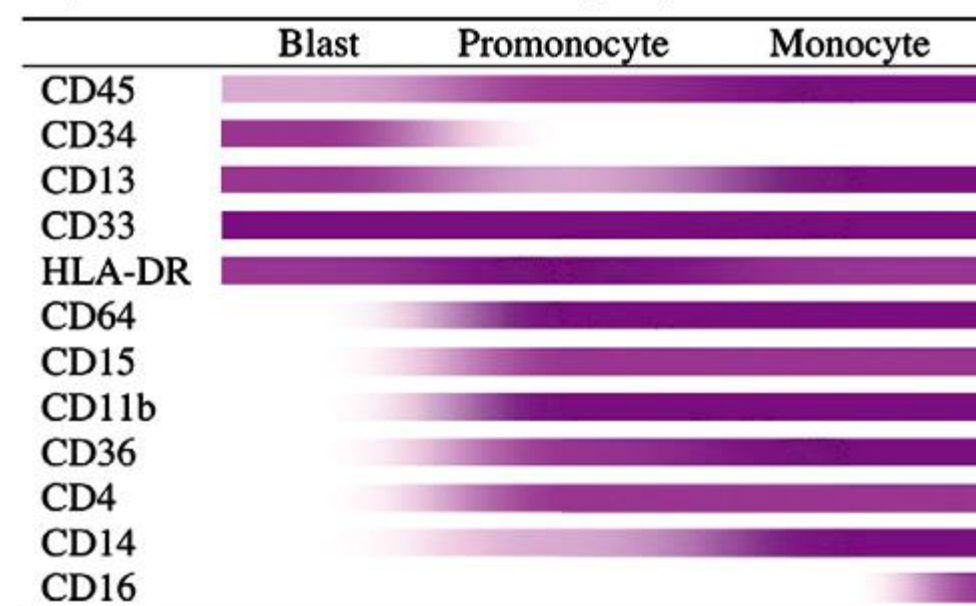
+ مونوبلاست تا مونوسیت

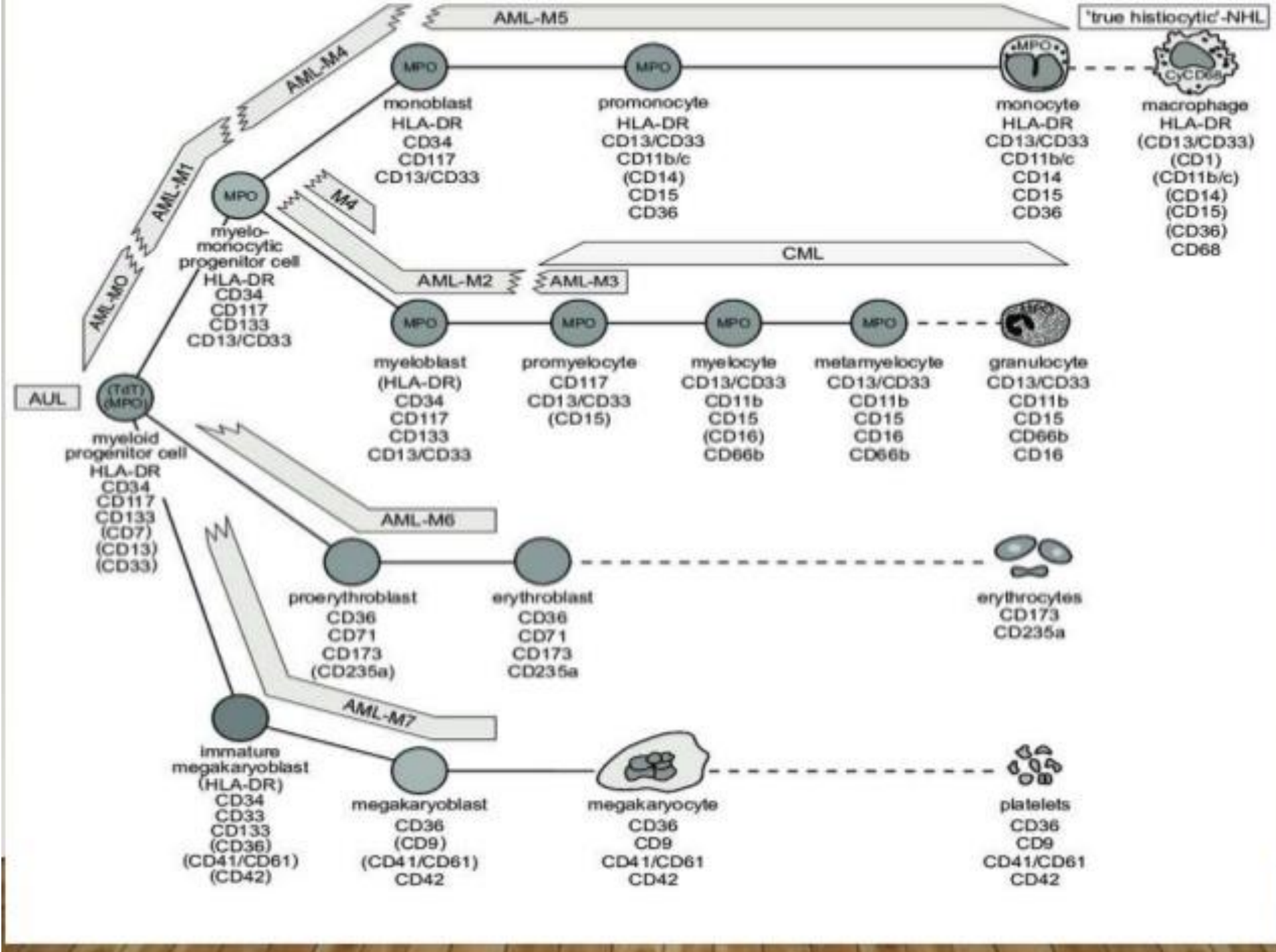
++ میلوبلاست تا لکوسیت‌های پلی‌مورفونوکلئار

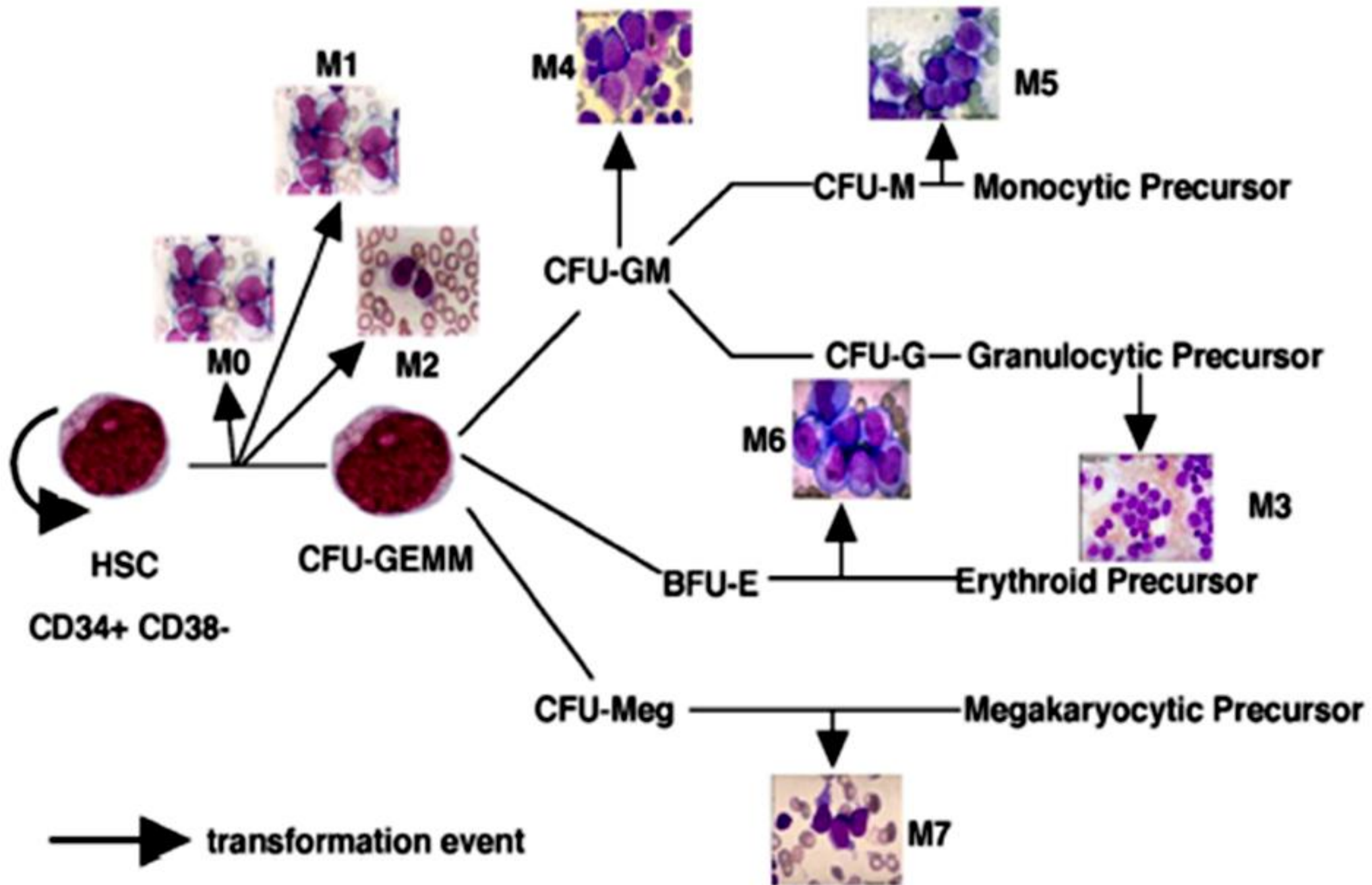
شکل ۶۷-۶۰: مارکرهای سطح سلولی در مراحل مختلف تمايز پرده کورسوري رده نوتروفیلی



شکل ۶۷-۶۱: مارکرهای سطح سلولی در مراحل مختلف تمايز پرده کورسوري رده مونوسیتی







FAB	Immunological marker
AML with minimally differentiated	CD13, CD34, HLA-DR, CD33, CD117, CD2, CD7, TdT
AML without maturation	CD13, CD14, CD33, CD34
AML with maturation and with t(8;21)	CD34, CD56
Acute promyelocytic leukemia	CD13, CD33, HLA-DR absent, CD34 negative
Acute myelomonocytic leukemia with abnormal eosinophils and inversion 16	CD13, CD34, CD11b, CD11c, CD14, CD33
Acute monocytic leukemia and 11q23 abnormalities	CD14, CD4, CD36, CD64
Erythroleukemia	Glycophorin 7, Transferrin receptor CD71
Acute Megakaryocytic leukemia	cCD41, cCD42b, cCD61

	Markers of precursor cells			Myeloid markers				Monocyte markers	
	TdT*	HLA-DR†	CD34‡	CD13	CD33	CD117	CD15	CD11b	CD14
M0	Pos. or neg.	Pos.	Pos.	Mainly pos.	Pos. or neg.	Often pos.	Mainly neg.	Mainly neg.	Mainly neg.
M1	Pos. or neg.	Pos.	Mainly pos.	Mainly pos.	Pos.	Often pos.	Mainly neg.	Pos. or neg.	Mainly neg.
M2	Neg.	Pos.	Mainly neg.	Pos.	Pos.	Pos.	Pos.	Pos. or neg.	Mainly neg.
M3§	Neg.	Neg.	Neg.	Pos.	Pos.	Pos. or neg.	Pos. or neg.	Mainly neg.	Mainly neg.
M4	Mainly neg.	Pos.	Pos. or neg.	Mainly pos.	Pos.	Pos. or neg.	Pos.	Pos.	Often pos.
M5	Mainly neg.	Pos.	Pos. or neg.	Pos. or neg.	Pos.	Pos. or neg.	Pos.	Pos.	Often pos.
M6**	Neg.	Pos. or neg.	Pos. or neg.	Pos. or neg.	Pos. or neg.	Pos.	Mainly neg.	Pos. or neg.	Mainly neg.
M7††	Neg.	Mainly pos.	Mainly pos.	Mainly neg.	Pos. or neg.	Often pos.	Mainly neg.	Neg.	Neg.
AML overall	10–20% pos.	About 70% pos.	30–40% pos.	60–90% pos.	70–90% pos.	60–70% pos.	40–70% pos.	50–60% pos.	15–40% pos.

*Also positive in acute lymphoblastic leukaemia (ALL) with the exception of the minority of cases with mature-B phenotype.

†Also positive in ALL of B lineage and in occasional cases of T-lineage ALL.

‡Also positive in many B-lineage ALL but not mature B-ALL.

§CD9 positive.

**CD36 and anti-glycophorin positive.

††CD9, CD36, CD41, CD42a, CD42b, CD61 positive.

Common symptoms of
Leukemia

Systemic

- Weight loss
- Fever
- Frequent infections

Lungs

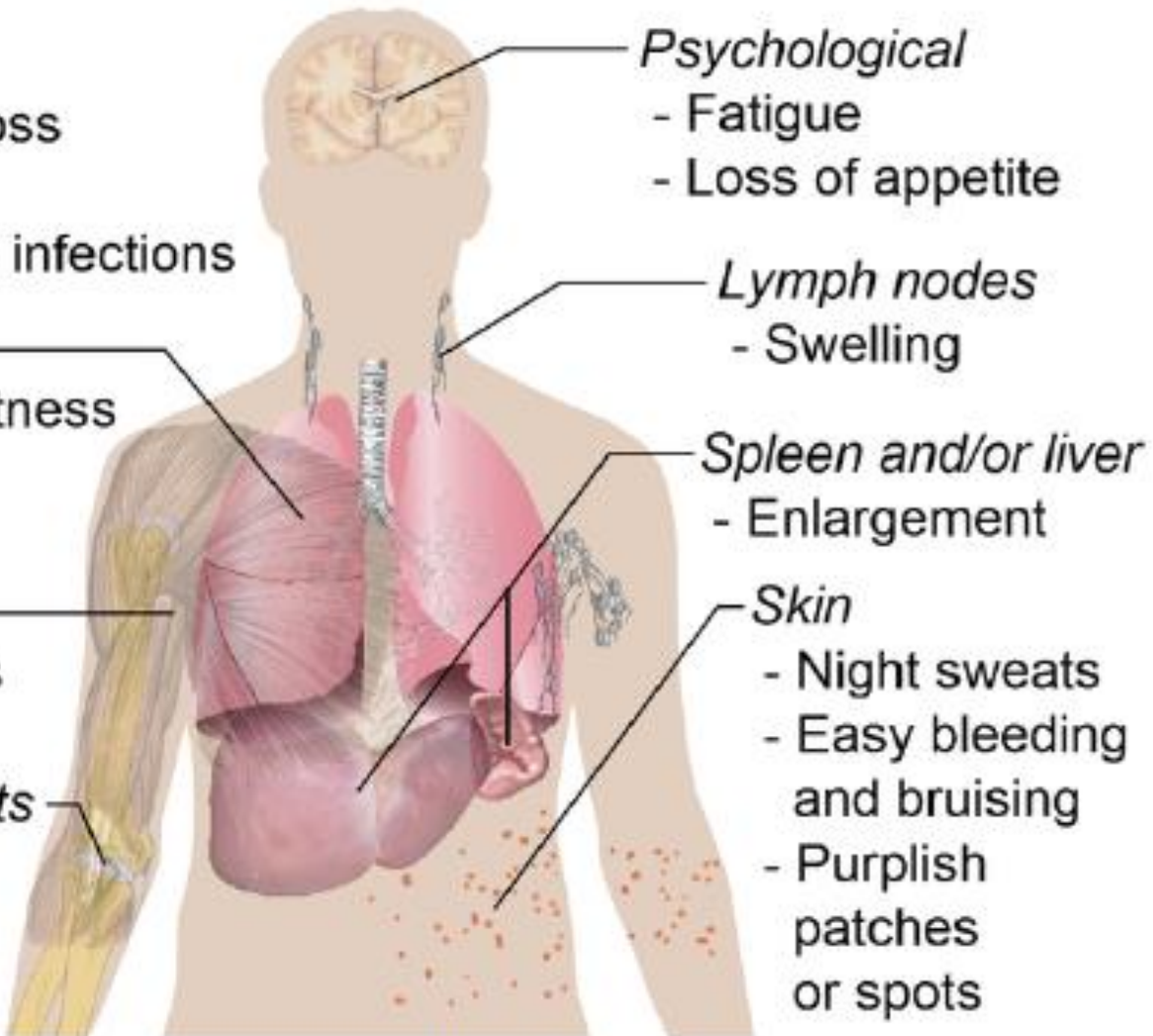
- Easy shortness of breath

Muscular

- Weakness

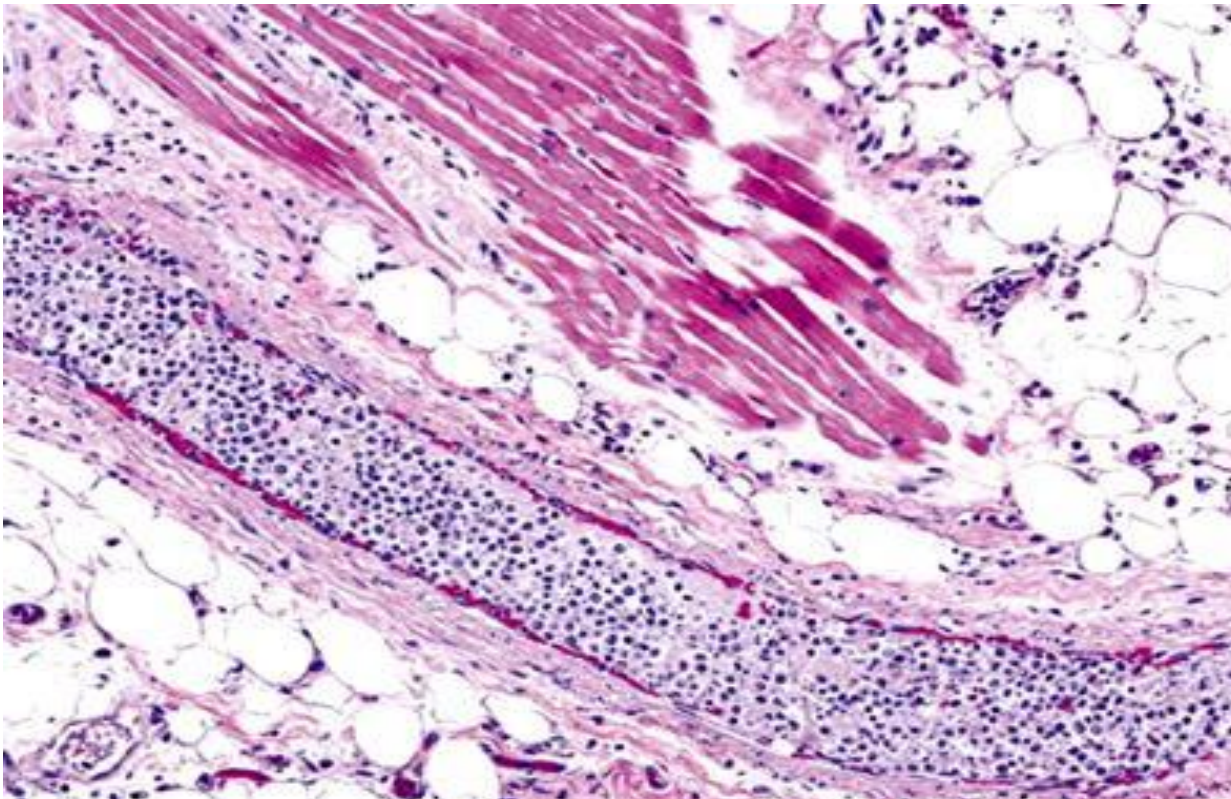
Bones or joints

- Pain or tenderness



شكل ١٦-٦٩: علایم عمومی لوسمی‌ها

Leukostasis in AML



Thornton, KA, Levis, M. FLT3 Mutation and Acute Myelogenous Leukemia with Leukostasis. *N Engl J Med* 2007; 357:1639. Copyright ©2007 Massachusetts Medical Society

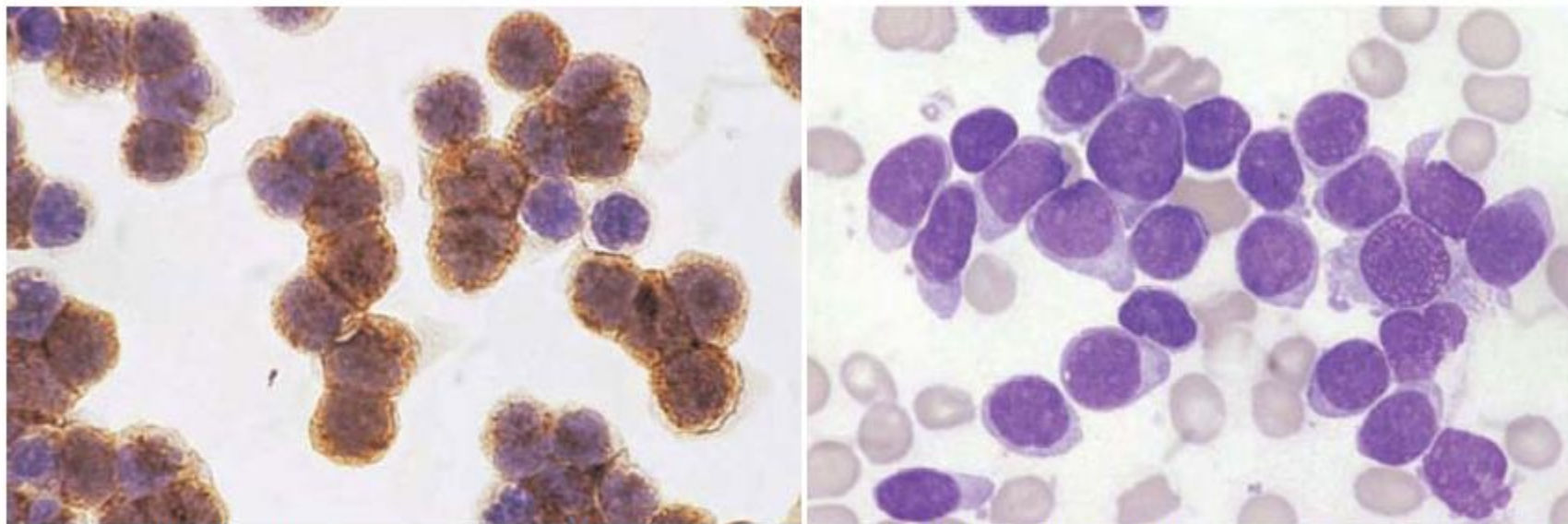
CYTOCHEMICAL FEATURES OF AML

SUBTYPE	MPO/SBB	SE	NSE
AML-M0	-	-	-
AML-M1	+	+	-
AML-M2	+	+	-
AML-M3	+	+	-
AML-M4	+	+	+
AML-M5a	-	-	+
AML-M5b	-	-	+
AML-M6	+	-	+/_
AML-M7	-	-	Strongly + using acetate as substrate

جدول ۴-۶۹: معیارهای تشخیصی M0-AML (با حداقل شواهد مبنی بر تمایز میلؤمی)

- Blasts \geq 30% of bone marrow nucleated cells
Blasts \geq 30% of bone marrow non-erythroid cells*
<3% of blasts positive for Sudan black B or for myeloperoxidase by light microscopy
Blasts demonstrated to be myeloblasts by immunological markers or by ultrastructural cytochemistry

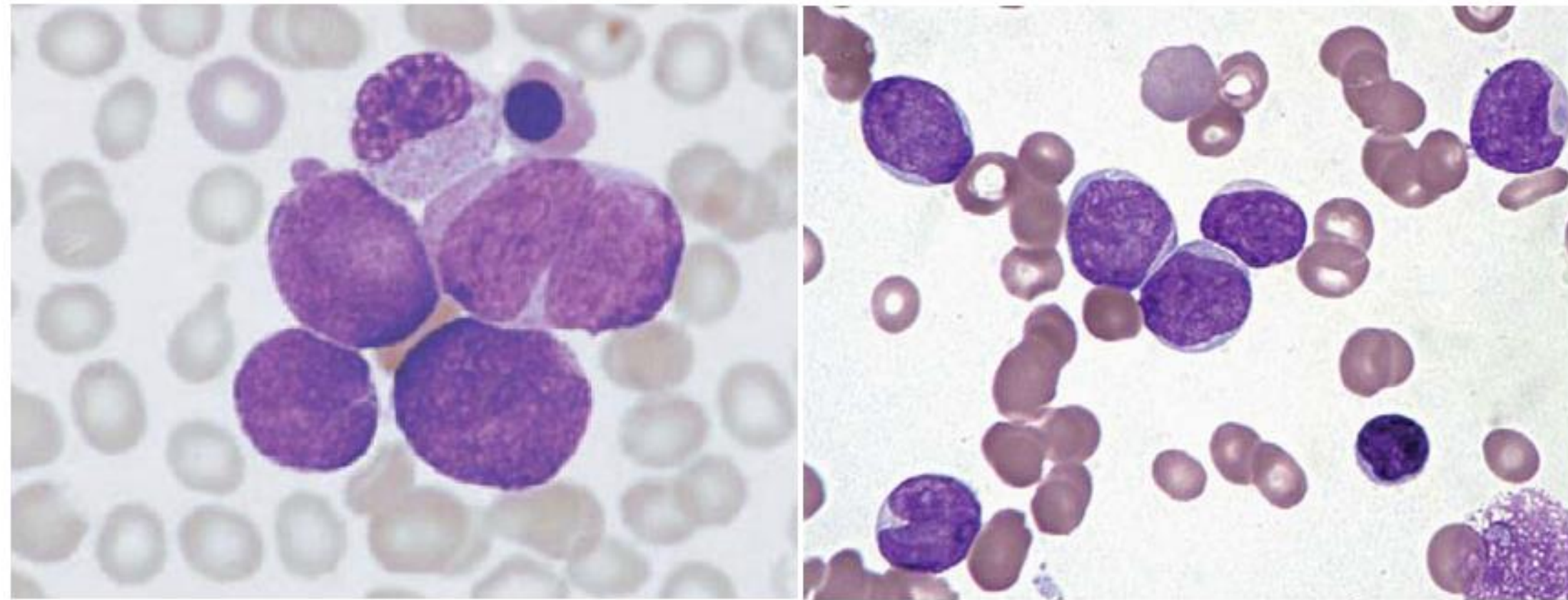
*Exclude also lymphocytes, plasma cells, macrophages and mast cells from the count.



شکل ۱۵-۶۹: راست) گستره BM یک بیمار مبتلا به M0-AML که با رنگ MGG رنگ شده و بلاست‌های آگرانولار را نشان می‌دهد. چپ) واکنش ایمونوپراکسیداز سلول‌های خون محیطی با یک آنتی‌بادی مونوکلونال ضد CD13 که بلاست‌های قویاً مشتی را نشان می‌دهد. بلاست‌ها همچنین برای CD34، HLA-DR و TdT مشتت هستند.

واکنش‌های سیتوشیمیایی در M0- AML

طبق تعریف، کمتر از ۳٪ بلاستها برای CAE MPO و SBB مثبت هستند و چنانچه میزان موارد مثبت، بیشتر شود (۳٪[>]) بیمار تحت عنوان AML-M1 طبقه بندی می‌شود. سلول‌های بلاست هیچ گونه فعالیتی در مورد NSE نشان نمی‌دهد چرا که اگر مثبت بود، جزء M5-AML طبقه بندی می‌شد. سلول‌های میلوئیدی در حال بلوغ ممکن است یک نقص پراکسیداز یا واکنش مثبت نابجا برای هر دوی CAE و NSE (ANAE و ANBE)^۲ نشان بدهند.



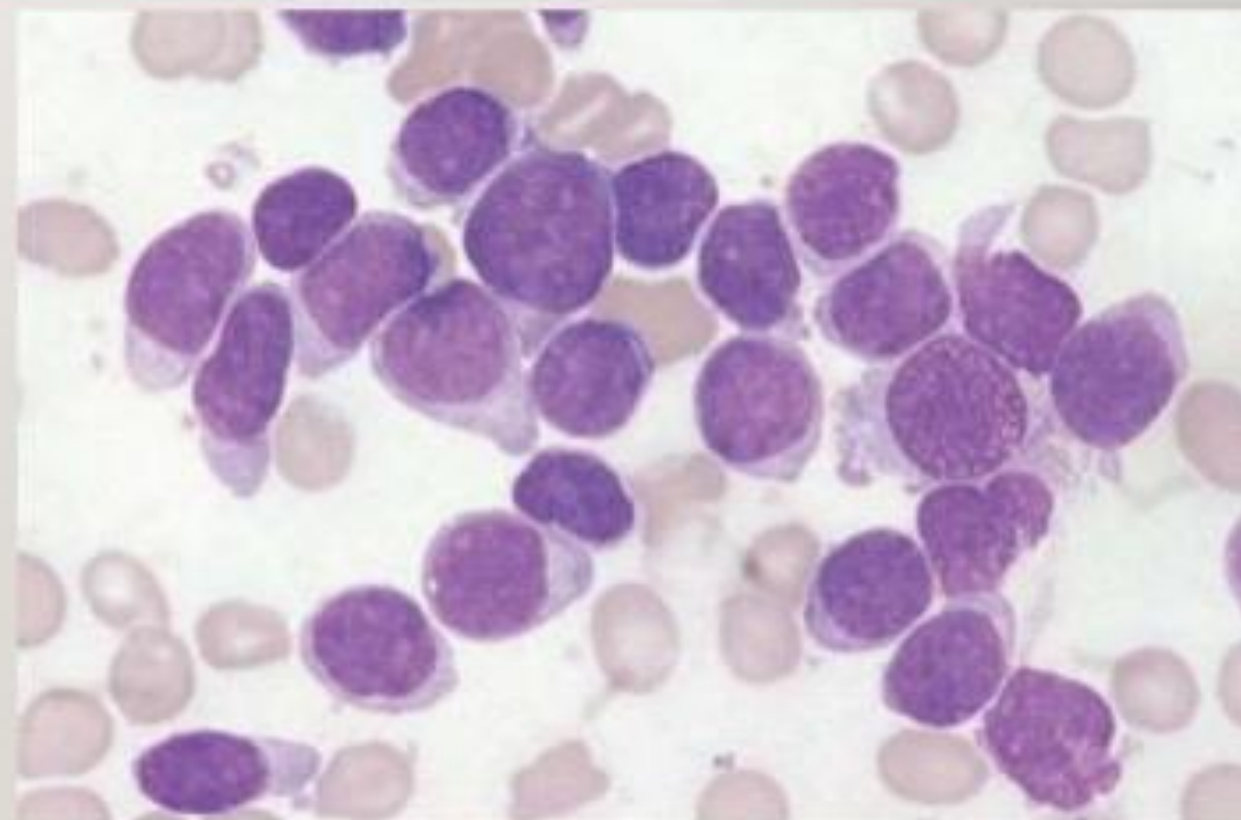
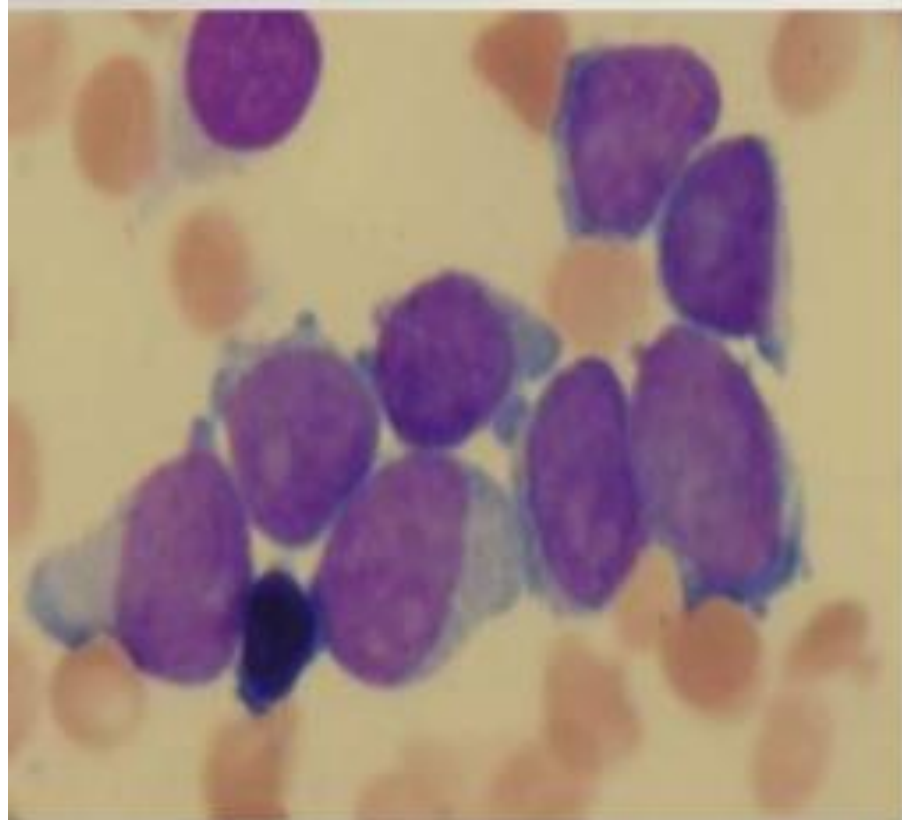
شکل ۱۴-۱۶: میلوبلاست‌های توأم با عدم تمایز و عدم بلوغ در AML-M0 (وجود یک نوتروفیل در کنار بلاست‌ها می‌تواند نشانگر تمایز نوتروفیلی باشد). لازم به ذکر است در این لوسمی بلاست‌ها پلثومورفیک، آگرانولار و دارای N/C بالا هستند.

AML-M⁰ (M⁰: MINIMALLY DIFFERENTIATED)

-
- Distinguished by absence of visible granules in cytoplasm of blast.
 - Negative -ve reactions with cytochemical stains.
 - Positive +ve for myeloid lineage markers.

CD13 CD33.

M0 AML

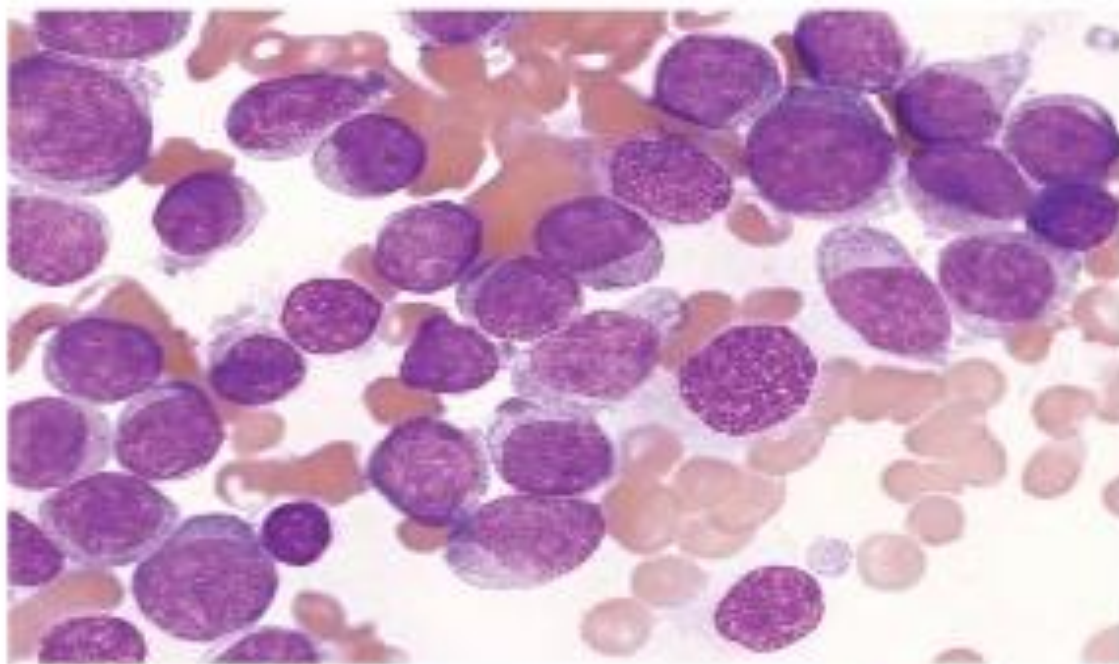


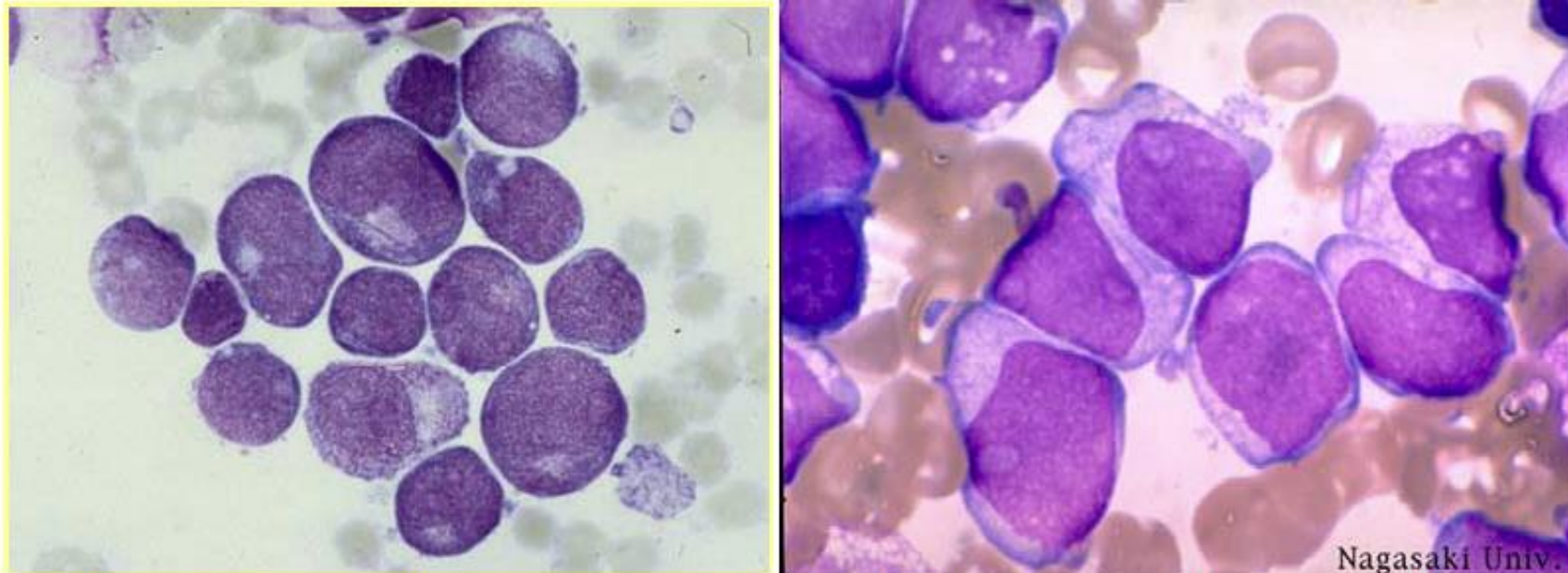
AML-M1 (AML WITHOUT MATURATION)

- AML variant and is most common in adults and in infants less than 1 year.
- 50% cases show leucocytosis.
- Lack of cellular maturation.
- Predominant cell in peripheral blood is poorly differentiated myeloblast.
- Vacuoles may be present.
- Platelets are generally decreased.
- A few blasts may have scanty azurophilic granules or Auer rod is present.

2. AML without Maturation:

- FAB type: AML-M1.
- Blasts exhibit myeloid features by morphology (granules, Auer rods) and/ or cytochemistry (MPO+).
- The blast percentage exceeds 90%, and there is no significant maturation of these leukemia cells (maturation < 10%).
- Myeloid lineage confirmed by flow cytometric immunophenotyping. Aberrant features are common.
- No recurrent cytogenetic abnormalities



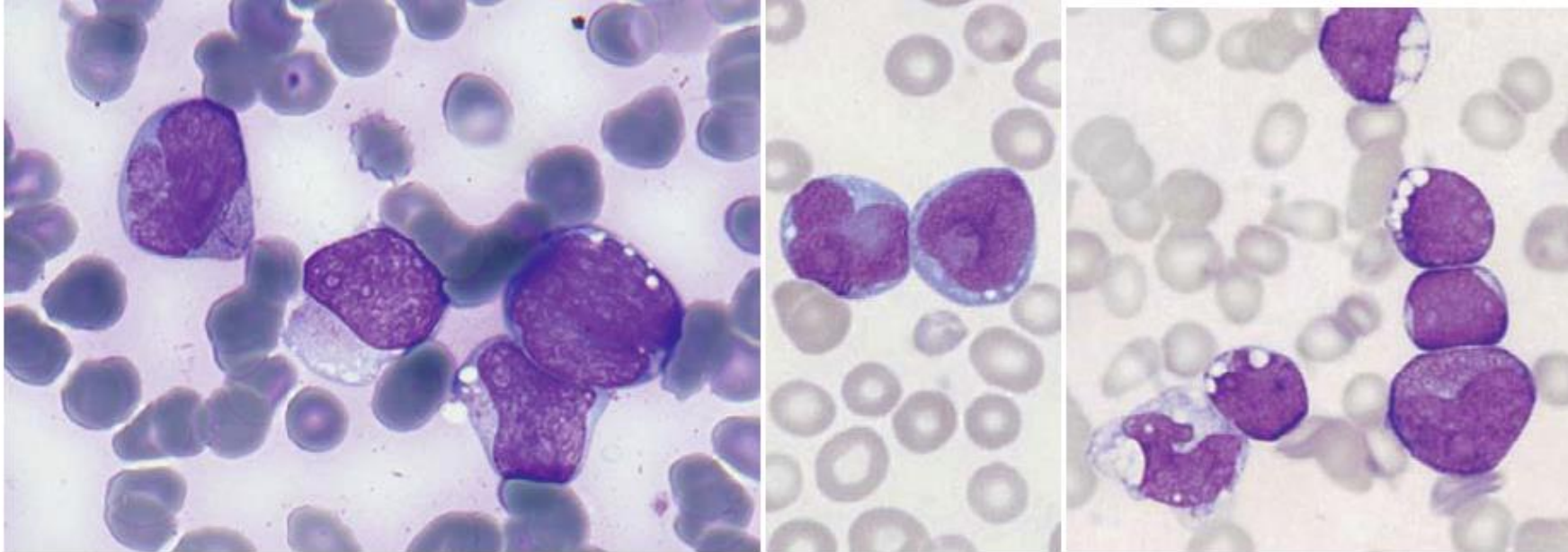


شکل ۶۹-۱۷: تصویری از میلوبلاست‌ها در AML-M1 که حضور آنور راد و تعدادی گرانول. تشخیص را به سمت میلوئیدی سوق می‌دهد ولی عدم حضور رده نوتروفیلی بالغ و حضور بالای ۹۰٪ میلوبلاست M2 را رد نموده و در مقابل مشاهده گرانول و آنور راد تشخیص M0 را رد می‌کنند. لذا بدین ترتیب تشخیص AML-M1 (تمایز میلوئیدی بدون بلوغ) تأیید می‌شود.

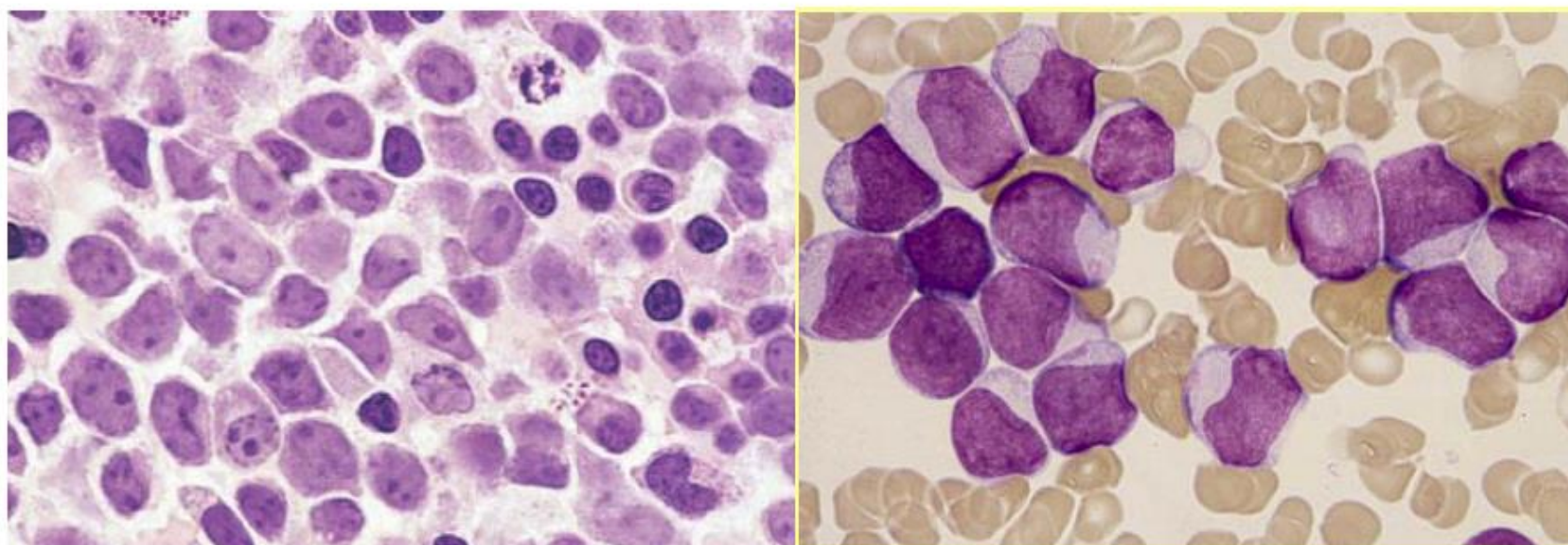
جدول ۶۹-۵: معیارهای تشخیصی M1-AML (لوسیمی میلوئید حاد بدون بلوغ)

- Blasts $\geq 30\%$ of bone marrow cells
- Blasts $\geq 90\%$ of bone marrow non-erythroid cells*
- $\geq 3\%$ of blasts positive for peroxidase or Sudan black B
- Bone marrow maturing monocytic component (promonocytes to monocytes) $\leq 10\%$ of non-erythroid cells
- Bone marrow maturing granulocytic component (promyelocytes to polymorphonuclear leucocytes) $\leq 10\%$ of non-erythroid cells

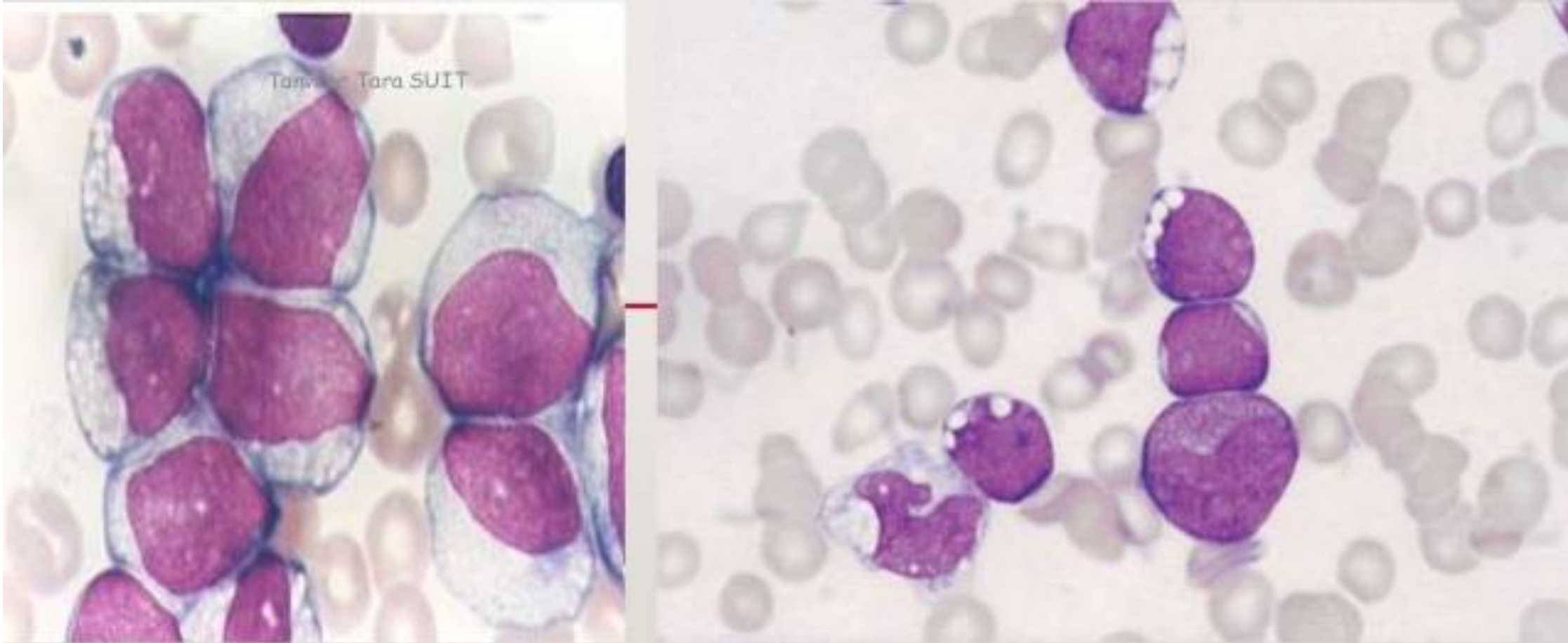
*Exclude also lymphocytes, plasma cells, macrophages and mast cells from the count.



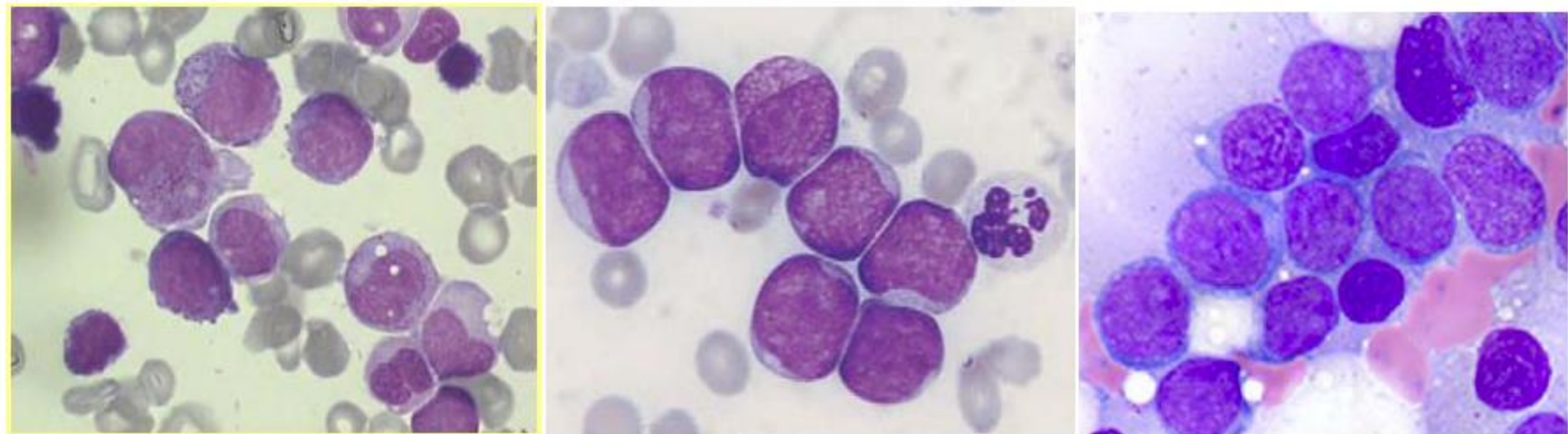
شکل ۱۸-۱۸: لام خون محیطی بیمار مبتلا به M1-AML که بلاست‌های نوع I با واکوئلاسیون سیتوپلاسمیک و لوبولاسیون هسته‌ای را نشان می‌دهد. در تصویر راست یک پرومیلوسیت، در تصویر وسط یک میلوبلاست تیپ I لوبوله و در تصویر سمت چپ یک بلاست لوبوله حاوی آثر راد نیز مشاهده می‌شود.



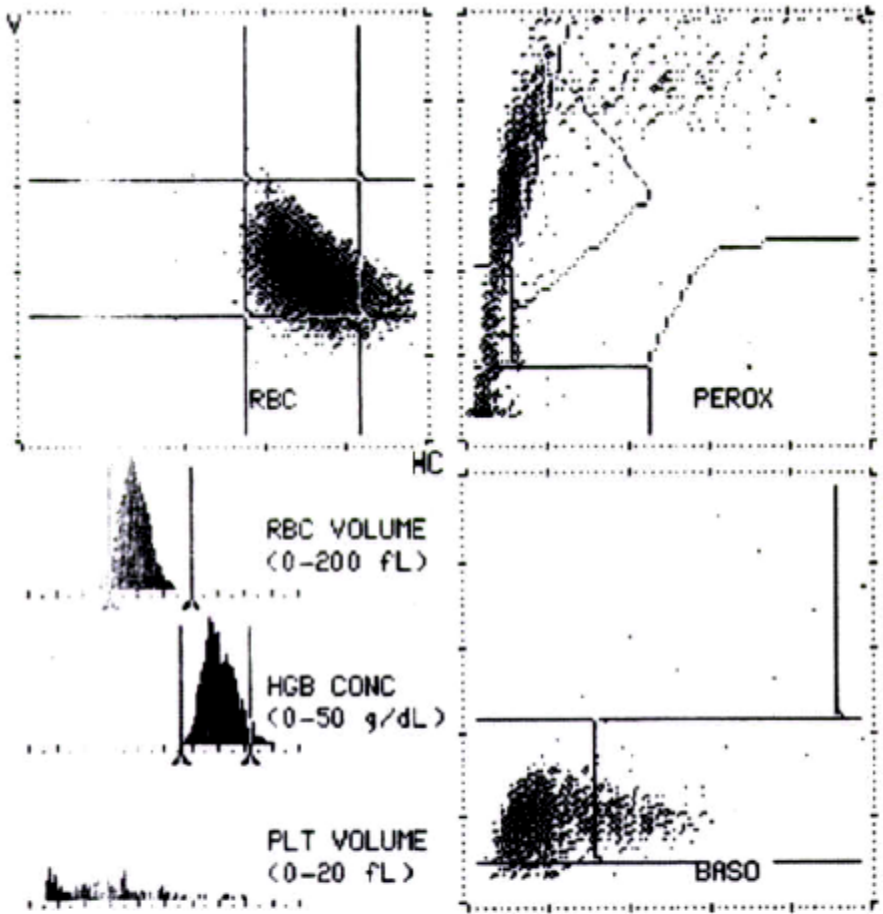
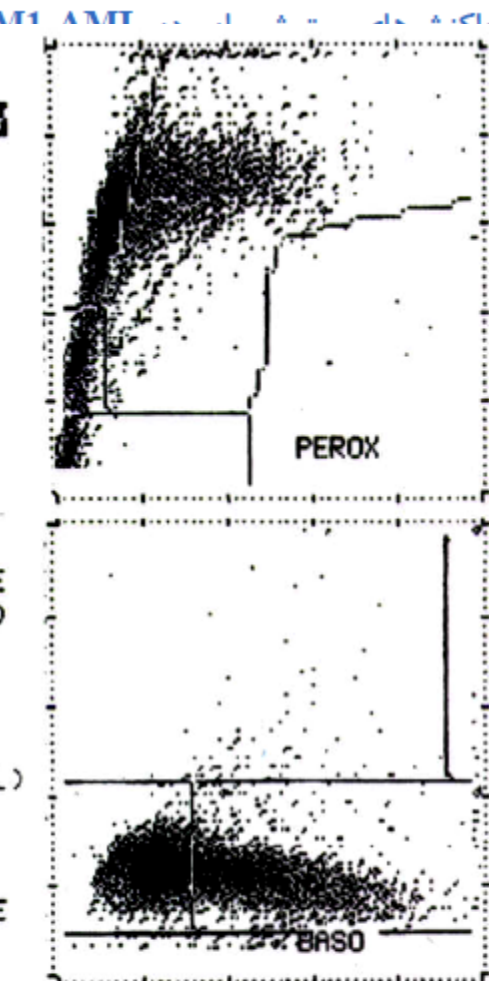
شکل ۱۸-۱۹: لام خون محیطی (راست) و بیوپسی مغز استخوان (چپ) بیمار مبتلا به M1-AML که بلاست‌های نوع I با چند جسم فی را نشان می‌دهد. در برش یاتولوزی از بیوپسی ترفن، عمدتاً سلول‌های حاضر بلاست بوده. C/N بالا و هستک مشخصی دارند و تعدادی اریتروبلاست نیز مشاهده می‌شود.



PB film of a patient with M1 AML showing blasts, some of which are heavily vacuolated



شکل ۶۹-۲۰: تفاوت میلوبلاست‌های M0، M1 و M2 (به ترتیب) که به ترتیب بر میزان تمایز و بلوغ بلاست‌ها افزوده می‌شود.



شکل ۶۹-۲۲ (چپ) سیتوگرام RBC و نمودار پراکسیداز مثبت M0 که به وسیله سل کانتر H2 ترسیم شده است. در M0 بلاست‌ها پراکسیداز منفی بوده و لذا در ناحیه LUC قرار می‌گیرند و تنها علامتی که نشان می‌دهد که این بیمار یک AML است و نه ALL، کلاستر نوتروفیل‌ها است که به دلیل دیسپلازی نوتروفیلی، از پراکنده‌گی به مراتب بیشتری برخوردار است. در کanal بازوویل، کلاستر سلول‌های تک هسته (سمت چپ کanal)، متراکم و دنس بوده و به طرف چپ کشیده شده‌اند ولی کشیدگی دم به سمت راست کمتر می‌باشد که در مجموع بیانگر افزایش سلول‌های بلاست و کاهش شدید تعداد PMN‌ها می‌باشد. در نمودار پراکسیداز نوتروفیل‌ها کم تعداد بوده و تراکم در LUC دیده می‌شود. از طرفی دیگر، تراکم در ناحیه لنفوسیت و مونوسیت نسبتاً نرمال است که به دلیل قرار گرفتن بلاست‌های تک هسته‌ای و پراکسیداز منفی در LUC می‌باشد. نمودار پلاکت نیز یک ترومبوسیتوپنی شدید را نشان می‌دهد. M7 نیز هیستوگرامی مشابه با این مورد دارد. راست) در M1 برخی از بلاست‌ها در ناحیه LUC قرار می‌گیرند ولی برخی دیگر که فعالیت پراکسیدازی مثبت دارند، به صورت نرمال در قسمت مربوط به نوتروفیل و مونوسیت قرار می‌گیرد. کanal بازوویل افزایش توانم کلاستر MN و PMN را نشان می‌دهد ولی تعداد سلول‌های بالغ چندان زیاد نیستند. هیستوگرام پلاکت نیز یک ترومبوسیتوپنی نشان می‌دهد.

M2-AML توأم با بلوغ :

زیرگروه M2 حدود ۳۰٪ از مواد ANLL را تشکیل می‌دهد. در این لوسومی میلوبلاست‌ها ۸۹-۲۰٪ از سلول‌های NEC و سلول‌های درحال بلوغ گرانولوسیتی بالای ۱۰٪ از سلول‌های NEC را تشکیل می‌دهد. سلول‌هایی که در گروه سلول‌های گرانولوسیتی درحال بلوغ قرار می‌گیرند شامل پرومیلوسیت‌ها، میلوسیت‌ها، متامیلوسیت‌ها، گرانولوسیت‌ها و سلول‌هایی هستند که از لحاظ سیتولوزی با پرمیلوسیت‌های طبیعی متفاوت بوده و به علت گرانوله شدن زیاد و شدید، در گروه بلاست قرار نمی‌گیرند. برخلاف M3، پرمیلوسیت‌ها در این لوسومی معادل بلاست درنظر گرفته نمی‌شوند و برخلاف M1، بلاست‌ها اغلب از نوع II و III هستند. آئورراد در برخی موارد دیده می‌شود که در کودکان با پیش‌آگهی مطلوب همراه بوده و احتمالاً به علت ارتباط و همراهی بین آئورراد و (21;8) t می‌باشد. خصوصیات دیسپلاستیک مثل هیپو یا هیپرگرانولاسیون، پلگرهیوت کاذب (هیپولوبولاسیون) و نوتروفیل‌های هیپرگرانولار تا حدودی شایع بوده و ممکن است در جمعیت در حال تمایز گرانولوسیتی دیده شوند. بلوغ میلوبلاست‌ها به پرمیلوسیت‌ها در هر دو گروه M2 و M3 رخ می‌دهد و در برخی از بیماران M2 نیز، پرمیلوسیت‌ها جمعیت غالب را تشکیل می‌دهند ولی از آنجا که برخی از ویژگی‌های M3 در وجود ندارد، این دو قابل تشخیص از هم خواهند بود که در ادامه به آنها اشاره می‌شود. در M2 جمعیت مونوسیتی مغز استخوان کمتر از ۲۰٪ سلول‌های NEC را تشکیل داده و دیگر شواهد تمایز مونوسیتیک نیز در آن دیده نمی‌شود، لذا از M4 هم قابل افتراق می‌باشد. پدیده بلوغ در بیشتر موارد M2 در مسیر نوتروفیلی دیده شده و کمتر شاهد بلوغ ائوزینوفیلی و بازوفیلی هستیم که در هر حال وجود این پدیده در رده ائوزینوفیلی را تحت عنوان M2-E⁰ و در رده بازوفیلی را M2-Baso می‌نامیم.

جدول ۶-۶: معیارهای تشخیص M2-AML (لوسومی میلوئیدی حاد توأم با بلوغ)

-
- Blasts \geq 30% of bone marrow cells
 - Blasts 30–89% of bone marrow non-erythroid cells
 - Bone marrow maturing granulocytic component (promyelocytes to polymorphonuclear leucocytes) $>$ 10% of non-erythroid cells
 - Bone marrow monocytic component (monoblasts to monocytes) $<$ 20% of non-erythroid cells and other criteria for M4 not met
-

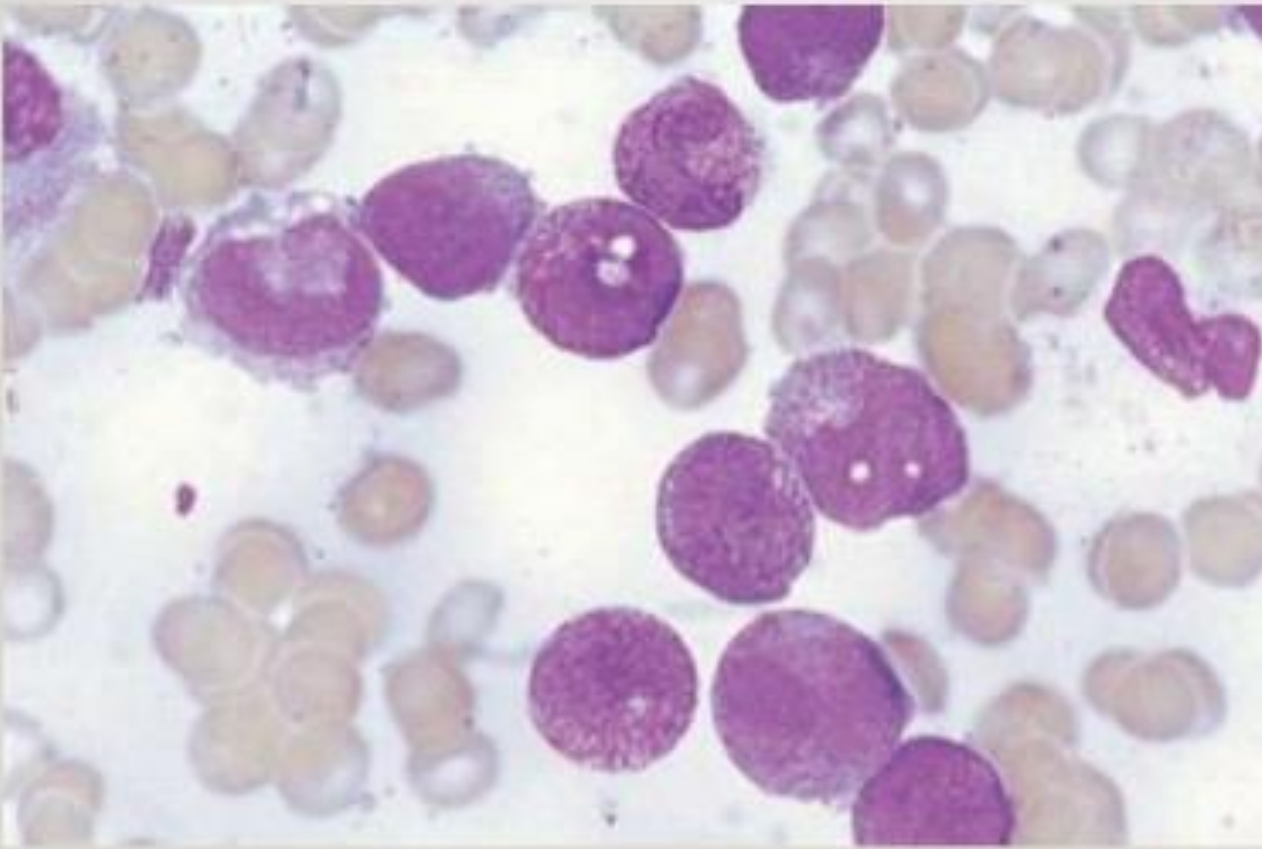
AML-M2 (MYELOBLASTIC LEUKEMIA WITH MATURATION)

- Presence of more differentiated cells in the bone marrow with maturation.
- Condition is more common in adults.
- Leucocytosis in 50% of cases.
- Thrombocytopenia
- Myeloblast are predominant cell type in peripheral blood.
- Bone marrow is hypercellular.
- Azurophilic granules in variable amount.
- Auer rods a azurophilic granules are common.

Phi bodies:

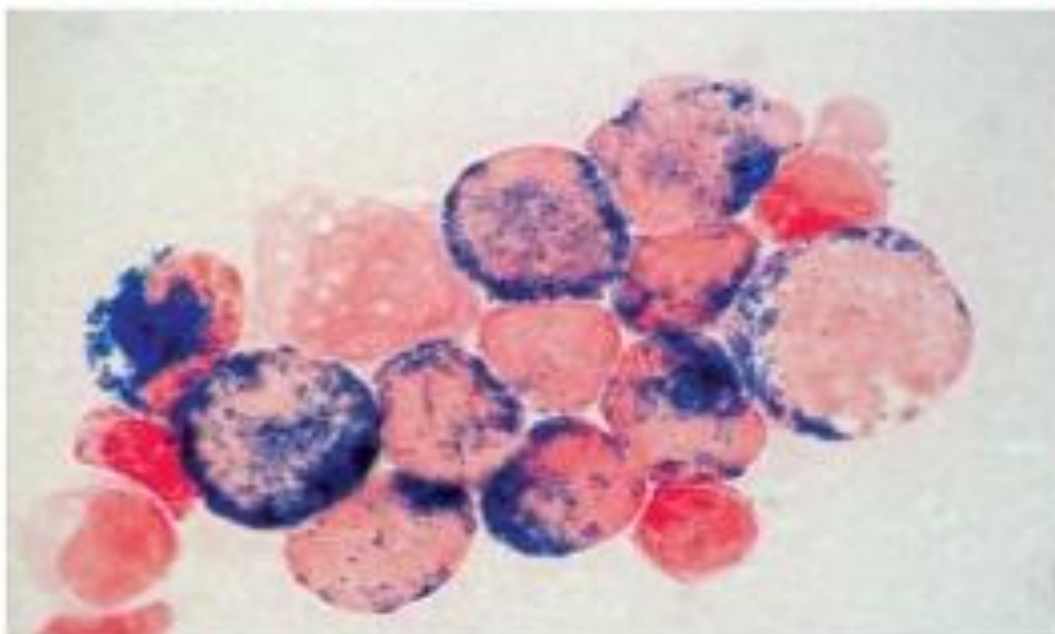
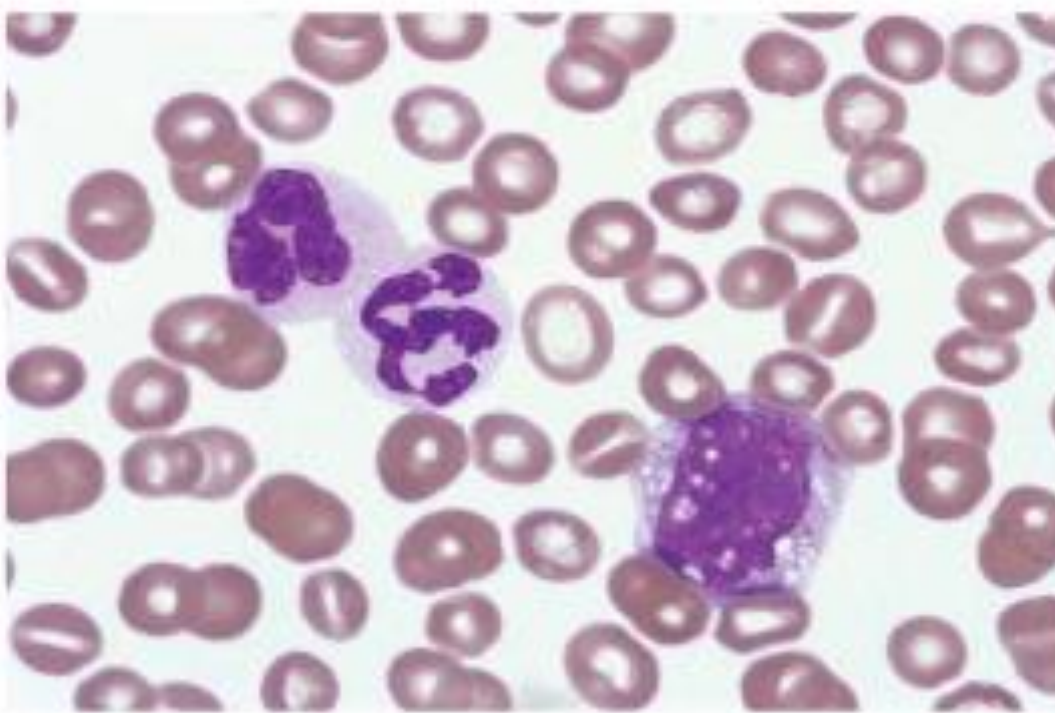
Phi bodies are variant of auer rods but are smaller and not necessarily in rod shaped.

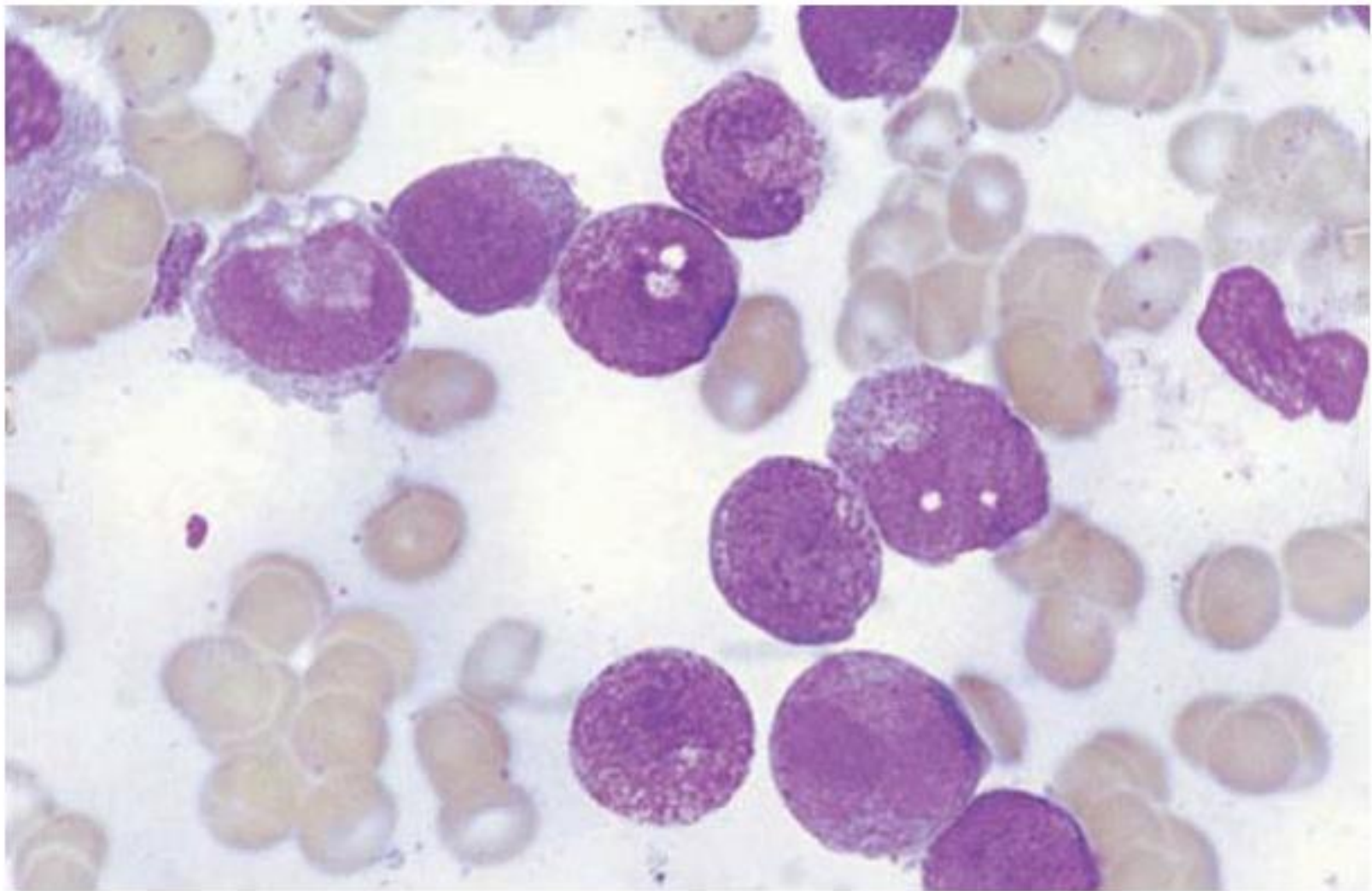
BM film of a patient with M2 AML showing unusually heavy granulation of neutrophils and precursors



3. AML with Maturation:

- FAB type: AML-M2.
- \geq 20% blast threshold.
- \geq 10% of cells are promyelocytes, myelocytes, metamyelocytes, or neutrophils.
- Monocytic component < 20%.
- Although dysplasia is common in AML with maturation, both the extent of dysplasia and the cytogenetic findings cannot fulfill AML with MDS-related changes criteria.
- Key differential diagnostic considerations are: MDS with excess blast -2 and AMML.





شکل ۲۷-۶۹: لام مغزاستخوان یک بیمار مبتلا به M2-AML که گرانولاسیون شدید غیرمعمول نوتروفیل‌ها و پیش‌سازهای آن را نشان می‌دهد.

